



Canada

Québec

Travaux réalisés dans le cadre de l'Entente auxiliaire Canada-Québec sur le développement minéral

Couloirs de déformation de la Sous-Province de l'Abitibi

Cette étude s'est effectuée en coopération avec le Centre d'Études sur les Ressources minérales de l'UQAC

Réal Daigneault



Ce document est une reproduction fidèle du manuscrit soumis par l'auteur sauf pour une mise en page sommaire destinée à assurer une qualité convenable de reproduction. Le manuscrit a cependant fait l'objet d'une lecture critique et de commentaires à l'auteur de la part de Jean-François Couture et Sylvain Lacroix avant la remise de la version finale au ministère.

MB 96-33

1996



Gouvernement du Québec
Ministère des Ressources naturelles
Secteur des mines

Table des matières

Liste des zones de déformation	iii
Liste des figures.....	v
Liste des tableaux et annexe.....	v
Remerciements.....	vi
Introduction et mise en contexte	1
Déformation au sein de la Sous-province de l'Abitibi.....	1
Objectifs de l'étude.....	6
Subdivisions et géologie générale.....	6
Présentation des fiches de zones de déformation.....	7
Éléments composants les fiches de ZD.....	7
1) Identification de la ZD	7
2) Sommaire géologique.....	7
3) Paramètre géométriques.....	13
4) Estimation visuelle, l'échelle IDEF.....	13
5) Fabriques	14
6) Autres caractéristiques	14
7) Mouvement.....	14
8) Paramètres extrinsèques.....	17
Principaux résultats de l'étude.....	17
Paramètres intrinsèques	17
Vergence des zones de déformation.....	18
Composante de mouvement	18
Paramètres extrinsèques.....	22
Classification des zones de déformation.....	23
Fiches de zones de déformation	26
Liste des références.....	111

Fiches de zones de déformation

101 - Cadillac-Ouest.....	27
102 - Cadillac-centre-ouest	28
103 - Cadillac-centre-est	29
104 - Cadillac-Est.....	30
110 - Fortune.....	33
111 - Pelletier.....	31
112 - Francoeur	32
113 - Dumagami	33
114 - Dalember.....	34
120 - Roc d'Or.....	35
129 - Joubi.....	36
131 - Louvicourt.....	37
132 - Sigma 2.....	38
133 - Sleepy.....	39
134 - Dunraine.....	40
135 - Colombière.....	41
136 - Aumaque.....	42
137 - Sigma sud	43
138 - Manitou	44
140 - Senneville.....	45
150 - Parfouru-sud	46
151 - Parfouru-nord.....	47
152 - LaPause.....	48
153 - Rivière-Héva	49
154 - Malartic	50
155 - Manneville-sud.....	51
200 - Manneville - nord.....	52
202 - Destor-Porcupine	53
203 - Bolduc.....	54
210 - Central-Duparquet.....	55
211 - St-Mathieu.....	56
212 - Figuery	57
213 - Uniacke	58
216 - Lyndhurst.....	59
221 - Dagenais.....	60
222 - La Reine	61
223 - Duvan.....	62
224 - Deméloïze	63
225 - Macamic.....	64
226 - Landrienne.....	65
228 - Croteau.....	66
230 - Paramount.....	67
231 - St-Viateur.....	68
232 - Jonpol.....	69
233 - Dalquier.....	70
235 - Macamic-nord.....	71

237 - Authier	72
238 - Duvay.....	73
300 - Chicobi-sud.....	74
301 - Chicobi-nord	75
302 - Clermont	76
303 - Normétal	77
304 - Laberge.....	78
307 - Boivin-Paradis.....	79
400 - Laflamme-Sud	80
401 - Laflamme-Nord	81
406 - Harricana	82
415 - Quévillon.....	83
419 - Chieftain.....	84
420 - Cameron.....	85
424 - Mountain.....	86
428 - Esther.....	87
432 - Pusticamica	88
433 - Doda.....	89
500 - Casa-Berardi.....	90
501 - Guercheville	91
502 - Rémick.....	92
506 - Taibi - nord.....	93
507 - Brouillan.....	94
511 - Matagami	95
519 - Madeleine.....	96
520 - Verneuil.....	97
521 - Fancamp.....	98
522 - LaDauversière	99
523 - Queylus.....	100
525 - Audet.....	101
532 - Renault	102
533 - Nottaway.....	103
550 - Kapunapotagen.....	104
556 - Sauvage.....	105
580 - Faribault	106
582 - France.....	107
591 - Barlow.....	108
600 - Bordure-nord.....	109
603 - Matagami-nord.....	110

Liste des figures

Figure 1 - Carte géologique de la Sous-province de l'Abitibi	2
Figure 2 - Carte du grain structural de la Sous-province de l'Abitibi	3
Figure 3 - Carte de localisation des stations de contrôle	11
Figure 4 - Localisation et identification des zones de déformation	15
Figure 5 - Classification des zones de déformation par pendage	19
Figure 6 - Classification des zones de déformation par vergence	20
Figure 7 - Classification des zones de déformation par mouvement	21
Figure 8 - Classification générale des zones de déformation	25

Liste des tableaux et annexe

Tableau 1 - Définitions et nomenclature	5
Tableau 2 - Sommaire des zones de déformation de la Sous-province de l'Abitibi . 8, 9, 10	
Tableau 3 - Liste des abréviations utilisées	12
Tableau 4 - Critères de terrain servant à attribuer l'indice de déformation IDEF.....	16
Tableau 5 - Caractéristiques et classification des zones de déformation	24
Annexe 1 - Liste des données structurales.....	115

Remerciements

Ce rapport représente le fruit d'une étroite collaboration et de nombreux échanges avec les géologues du Service géologique du Nord-Ouest. Plusieurs des sites visités l'ont été grâce à l'assistance ou suite aux suggestions des différents chefs de projets et géologues résidents du ministère au cours des années 1990 à 1993. Des remerciements plus particuliers sont adressés à Monsieur Jean-Yves Labbé, actuellement géologue régional au SGNO, qui a participé intensivement aux travaux de terrain des années 91 et 92 et à Madame Marie-Claude Thérien qui a travaillé avec acharnement à l'élaboration de la base de données. Les assistants de terrain, Christian Dicaire, Michel Chapdelaine et Christine Vaillancourt sont également remerciés pour leur travail soutenu.

Introduction et mise en contexte

Ce document représente le rapport final du projet "Couloirs de déformation de l'Abitibi" exécuté par Réal Daigneault du Centre d'études sur les Ressources minérales de l'UQAC pour le compte du MRNQ. On y donne les résultats de l'étude sous la forme de fiches structurales qui permettent de présenter les données de manière uniforme facilitant ainsi les comparaisons et le repérage. Les données présentées dans ce rapport ont été recueillies au cours des années 1990 à 1993. Bien que l'ensemble du territoire québécois de l'Abitibi soit présenté, seules les zones ayant un accès routier ont pu être étudiées. Comme plusieurs secteurs n'ont pas fait l'objet de relevé, il est bien entendu que ce rapport ne donne qu'une vision partielle de la problématique d'ensemble.

Le tracé de zones de déformation est basé sur les données recueillies dans le cadre du projet (présentées en annexe) ainsi que sur les données disponibles provenant des cartes de compilation géoscientifiques du MRNQ (échelle 1:20 000). Les cartes aéromagnétiques du MRNQ ont également été utilisées pour extrapoler les tracés. Une classification et une interprétation sommaire des zones de déformation sont également proposées bien que le véritable but de ce rapport est de présenter les données et d'établir une procédure permettant la description des zones de déformation à l'échelle de la Sous-province de l'Abitibi. De fait, l'emphase de ce rapport porte davantage sur la présentation des caractéristiques des zones de déformation plutôt que sur leur interprétation. Cette stratégie vise à donner au lecteur des éléments tangibles lui permettant de faire sa propre analyse.

Déformation au sein de la Sous-province de l'Abitibi

La Sous-province de l'Abitibi (SPA, Figure 1) est caractérisée par une déformation hétérogène qui se manifeste par des zones fortement déformées alternant avec des zones peu ou pas déformées. La complexité de la déformation est une autre caractéristique qui varie spatialement, certains secteurs s'exprimant par des déformations complexes pouvant être reliées en apparence à plusieurs événements de déformation alors que d'autres ne s'expriment que par une déformation intégrable dans un système simple.

La déformation visible à l'échelle de l'Abitibi représente le résultat final de l'accumulation successive de plusieurs événements de déformation qui ont eu lieu d'une manière hétérogène dans le temps et dans l'espace. Une période de déformation par raccourcissement en un point donné pourrait se faire simultanément avec une période d'extension et de volcanisme en un autre point donné. Toutefois, certaines constantes semblent être respectées à travers l'ensemble de la sous-province. La plus importante est la présence d'un grain structural régional d'attitude E-W, matérialisé par des plis régionaux de direction E-W auxquels est associée une fabrique planaire dominante (Figure 2) et que l'on désignera dans le texte simplement comme étant la schistosité régionale indépendamment qu'elle soit le résultat de processus tectoniques distincts dans le temps.

La concentration localisée de la déformation permet d'introduire le concept de zone de déformation (ZD) correspondant à des zones où les roches montrent une déformation significativement plus forte que celle de leur environnement. La transition entre la déformation typique d'une ZD et celle que l'on qualifie de régionale hors de la ZD peut être progressive. L'histoire de la déformation que l'on peut établir au sein d'une ZD n'est pas représentative de ce qui se passe au niveau de la déformation régionale. La déformation polyphasée que l'on rapporte en Abitibi pourrait être expliquées par cette complexité interne et ne pas refléter nécessairement des épisodes distincts de déformation sur l'ensemble de la région.

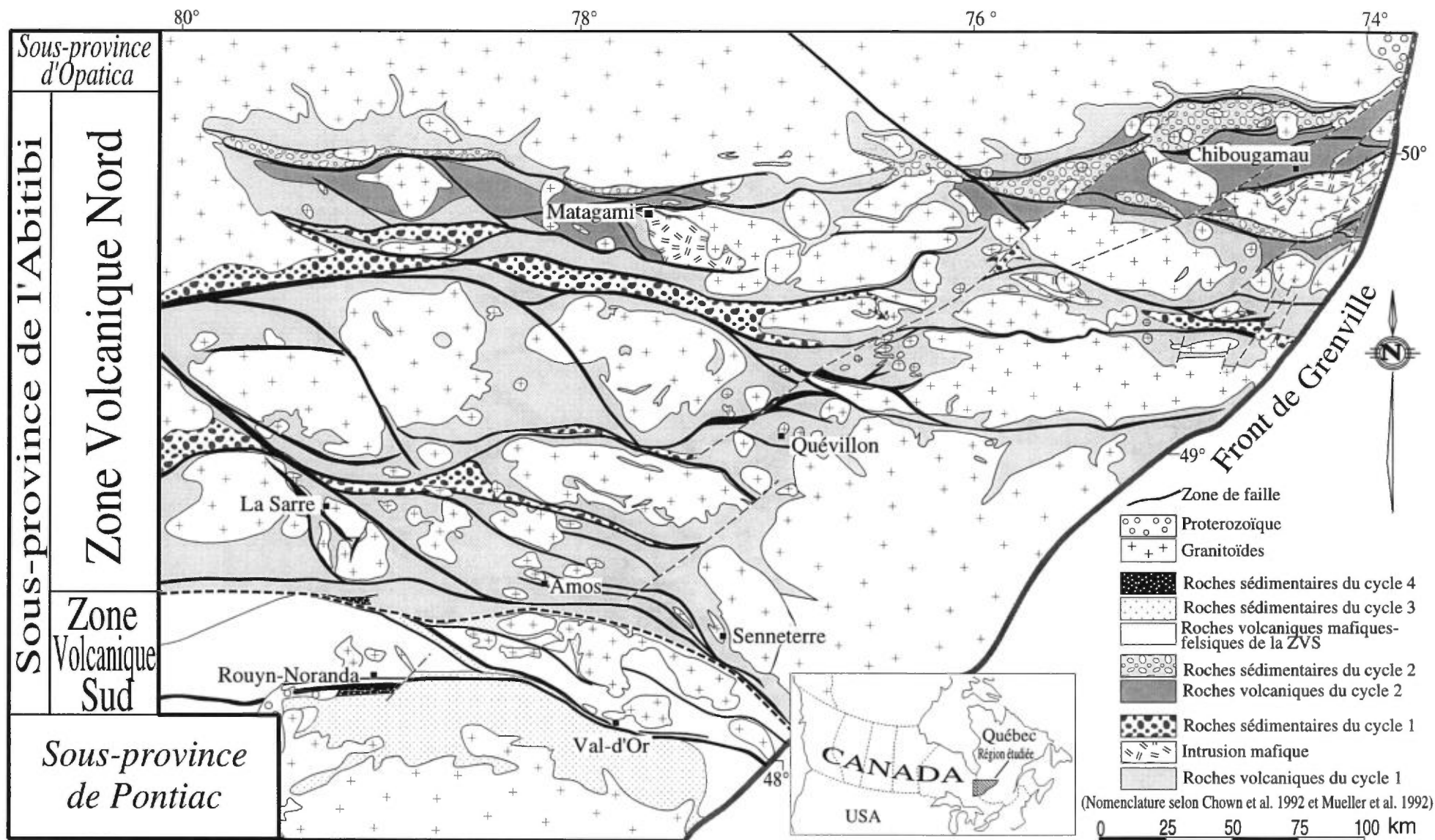


Figure 1 - Carte géologique de la Sous-province de l'Abitibi (modifiée de Chown et al 1992)

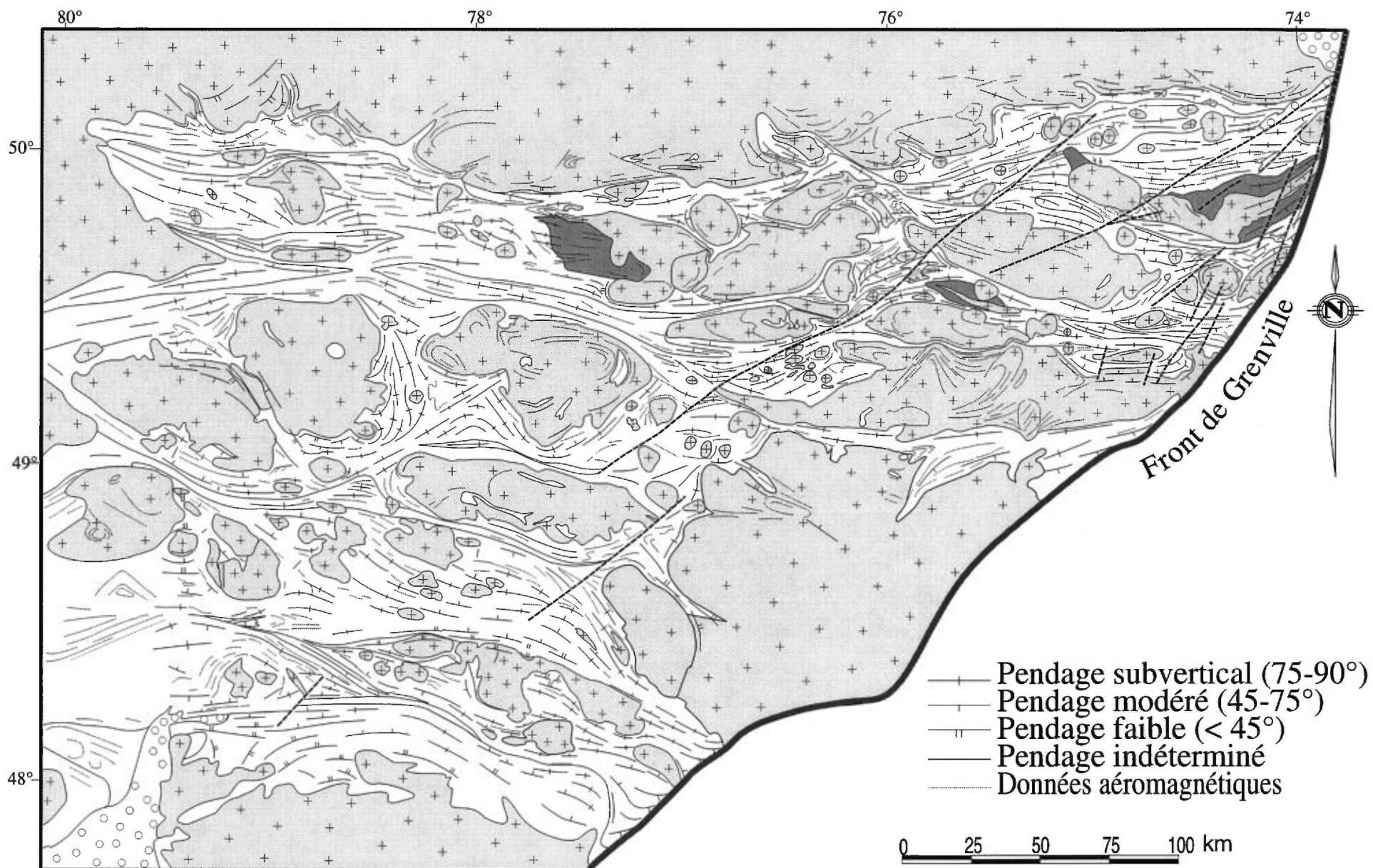


Figure 2 - Carte du grain structural de la Sous-province de l'Abitibi (modifiée de Chown et al. 1992)

Les ZD de la Sous-province de l'Abitibi présentent des caractéristiques variables mais peuvent être regroupées en famille en fonction de paramètres descriptifs. Plusieurs ZD de l'Abitibi sont communément associées à des discontinuités structurales d'échelle régionale communément désignées failles, zones de cisaillement, couloirs de déformation ou zones tectoniques (Hubert et al. 1984, Ludden et al. 1986; Daigneault et Archambault 1990, Hocq 1990; Dimroth et al. 1983, voir liste des définitions au tableau 1). La discontinuité structurale est un terme descriptif qui représente la trace de la surface interprétée de ces différents éléments. Ces discontinuités sont bien connues pour le contrôle qu'elles exercent sur le plan métallogénique et pour leur rôle dans l'évolution géodynamique des ceintures de roches vertes. Comme les discontinuités structurales ont des extensions régionales, les ZD associées prennent la forme de couloirs qui longent la discontinuité et où l'intensité de la déformation est significativement plus élevée que pour l'ensemble de la région. Ces couloirs de déformation sont généralement confinés à un volume qui, en plan, correspond à une surface tabulaire de largeur variable mais significativement plus longue que large. On peut présumer que ces couloirs ont des extensions très importantes également dans la troisième dimension.

L'interprétation actuelle du tracé des grandes discontinuités structurales à l'échelle régionale est largement basée sur les données géophysiques. Les grands conducteurs électromagnétiques et magnétiques subparallèles au grain structural régional sont utilisés comme balises pour tracer la majorité des structures d'échelle régionale. Ces outils géophysiques permettent d'extrapoler la position de structures connues ponctuellement et même, dans certains cas, de spéculer sur de nouvelles structures. Cette approche, bien que réaliste, ne permet pas de faire ressortir l'importance réelle et relative des différentes structures ou failles. Certaines discontinuités structurales sont bien documentées (p. ex. la faille de Cadillac), mais dans les faits, l'état des connaissances des zones de déformation ductile est relativement restreint à l'échelle de la SPA. Le manque de données structurales sur la majorité de ces grandes structures peut nous amener à des généralisations inadéquates. Cette lacune de l'information vient d'une part de la faible densité d'affleurement dans certaines régions de la SPA et d'autre part de la difficulté à traiter et à interpréter les zones complexes de déformation. Certaines discontinuités de la SPA bien connues en certains points sont par la suite extrapolées à l'échelle régionale. Elles peuvent, de plus, porter plusieurs noms selon la région et les géologues responsables de leur mise en carte.

Au niveau des interprétations, peu de critères permettent de discriminer les zones importantes parmi la multitude de zones présentes au sein de la SPA. Dans certains cas, l'importance de la discontinuité est interprétée en fonction de l'envergure du couloir de déformation associé. Dans d'autres cas, la discontinuité est uniquement le fruit d'une déduction et le terrain ne permet pas l'observation d'éléments pouvant être associés à une zone de déformation importante. Le problème survient au moment de la représentation et du traitement de toutes ces discontinuités. Lors de la mise en carte, les discontinuités de la SPA apparaissent sous une représentation uniforme, sans discrimination, mettant sur un même plan des structures probablement fondamentales comme la faille de Cadillac avec de zones de déformation plus modestes et peut-être sans grandes conséquences.

Une autre problème doit également être considéré. La présence d'une zone de déformation n'est pas nécessairement synonyme de faille ou de zone de cisaillement. Les matériaux géologiques possèdent au départ différentes propriétés rhéologiques faisant en sorte que la réaction à la déformation sera différente. Ces propriétés peuvent, de surcroît, être modifiées lors des processus d'altération hydrothermale. Ainsi, des zones d'altération

Tableau 1 - Définitions et nomenclature

Faille (s.s.):	Plan de rupture produit par une déformation à caractère fragile et le long duquel un bloc s'est déplacé par rapport à un autre.
Zone de cisaillement (s.s.):	Zone de déformation ductile en régime non coaxial (cisaillement simple) sans rupture.
Faille ductile:	Terme utilisé dans certains cas pour exprimer la transition entre la faille fragile et la zone de cisaillement.
Zone de déformation:	Terme descriptif qui englobe toute zone fortement déformée ductilement indépendamment du ou des processus en cause (coaxial et non coaxial).
Couloir de déformation:	Zone de déformation appliquée à un volume qui, en plan, correspond à une surface tabulaire de largeur variable mais significativement plus longue que large.
Discontinuité structurale:	Limite ou contact produit tectoniquement entre deux groupes de roches distincts ou entre deux domaines lithotectoniques différents; peut se faire avec ou sans couloir de déformation associé.
Zone tectonique:	Association de plusieurs discontinuités structurales et de zones de déformation qui isolent des blocs de roches (copeaux) de natures différentes et difficiles à corrélés avec le reste de l'empilement stratigraphique.
Auréole de déformation:	Zone de déformation développée en périphérie des massifs granitoïdes.

volcanogènes par exemple vont engendrer le ramollissement des matériaux et provoquer une plus grande susceptibilité à la déformation. La déformation ductile régionale et celle reconnue dans les zones de déformation se caractérisent par un développement irrégulier et hétérogène. La présence de zone d'altération antérieure permet de focaliser la déformation donnant comme résultat la superposition de zones de déformation sur des zones d'altération (p.ex. Labbé et al. 1992), sans nécessairement signifier la présence d'une zone de faille majeure i.e. une zone marquée par un déplacement majeur d'un compartiment par rapport à un autre. De plus, des zones de déformation peuvent être générées en bordure de pluton ou dans les flancs d'un pli régional sans que cela ne devienne une zone de cisaillement ou de faille. Afin de faciliter la compréhension, les définitions utilisées dans ce texte sont résumées au tableau 1.

Objectifs de l'étude

Les différents objectifs de cette étude sont: 1) de faire un constat préliminaire de l'état des connaissances relatives aux failles et couloirs de déformation d'échelle régionale, 2) d'établir une procédure permettant de caractériser et classer les différentes zones de déformation par leurs signatures structurales, leurs paramètres géométriques et leurs cinématiques, et 3) de porter un jugement sur l'importance relative des différentes structures en termes de déplacement et de signification.

Subdivisions et géologie générale

Plusieurs nomenclatures existent pour la Sous-province de l'Abitibi (Goodwin et Ridler 1970, Dimroth et al. 1982, Ludden et al. 1986). Les divisions utilisées dans cette étude sont celles de Chown et al. (1992) et de Mueller et al. (1996) qui ont redéfini la Sous-province de l'Abitibi en une zone volcanique nord (ZVN), qui couvre la majeure partie de la sous-province, et une zone volcanique sud (ZVS) qui correspond au segment de Rouyn-Noranda - Val-d'Or (Figure 1). Les roches de la zone volcanique nord sont interprétées comme ayant une histoire volcanique, plutonique et structurale commune avec des âges variant entre 2730 et 2710 Ma (Corfu et al. 1989; Mortensen 1993 a,b; Goutier et al. 1994). La ZVN est dominée par un premier cycle volcanique interprétée comme une large plaine sous-marine de roches volcaniques mafiques sur laquelle se superposent des édifices mafique-felsique parsemés, suggérant un volcanisme d'arcs diffus. On y retrouve également des bassins sédimentaires intra-arcs (cycle 1) caractérisés par des faciès turbiditiques de type flysch (Mueller et Donaldson 1992). Un second cycle volcanique est reconnu dans la portion nord de la ZVN. Il se caractérise par un volcanisme mafique-felsique relié à l'émergence de l'arc et à la formation de bassin sédimentaire (cycle 2) représentant des faciès de cônes alluvionnaires.

La portion québécoise de la ZVS peut être séparée en deux blocs distincts soit le bloc de Malartic (Hubert 1990, Desrocher et al. 1993) et le bloc de Blake River (Dimroth et al. 1982). Le bloc de Malartic a été interprété comme un plateau océanique composé de coulées ultramafiques et de roches volcaniques mafiques et felsiques (2705-2700 Ma; Desrocher et al. 1993) délimitées par des bassins sédimentaires de type flysch (cycle 3 de Mueller et Donaldson 1992). Le Groupe de Blake River (2703-2698 Ma) a été comparé à un arc océanique immature composé de basalte tholéitique à la base qui évolue vers des séquences calco-alcalines au sommet (Dimroth et al. 1982). Des bassins sédimentaires de type molasse (généralement nommés de type Timiskaming) sont reconnus au nord et sud du Blake River et sont interprétés comme des bassins formés le long de faille de décrochement (Mueller et al. 1996). Le lien entre la ZVN et la ZVS est caractérisé par une séquence de turbidite du cycle sédimentaire 3 (Sédiment de Caste).

Présentation des fiches de zones de déformation

Les données relatives aux zones de déformation sont présentées sous la forme de fiches permettant d'uniformiser la représentation d'une zone de déformation donnée et ainsi de comparer les zones les unes avec les autres. Un total de 88 fiches résumant la majeure partie des données du projet sont incluses dans ce rapport et les principaux résultats sont résumés au tableau 2. Certaines des fiches ne contiennent pas suffisamment de stations de contrôle pour permettre une évaluation juste des caractéristiques de la ZD. Elles sont tout de même présentées dans ce rapport afin d'établir une base de comparaison. Les points de contrôle ayant servi à caractériser les ZD sont localisés à la figure 3 et avec plus de précision sur chacune des fiches. Ces points sont également énumérés à l'annexe 1. Les abréviations utilisées dans les fiches sont présentées au tableau 3.

Éléments composants les fiches de ZD

1) Identification de la ZD

Nom: Le nom présenté est celui attribué par l'auteur sur une base informelle et uniquement de manière à faciliter les descriptions. Il peut s'agir dans certains cas du nom le plus communément utilisé ou bien d'un nom choisi en fonction d'une localité géographique située à proximité de la zone de déformation.

Autre(s) nom(s): Cette rubrique permet de faire les corrélations avec d'autres attributions. Les mots "lac" ou "rivière" régulièrement présents dans les attributions ont été enlevés pour alléger les nomenclatures. Par exemple la ZD du Lac Sauvage porte le nom "Sauvage".

No: Un numéro d'identification a également été attribué à chacune des zones de déformation (Figure 4). Ce numéro vise à faciliter le traitement et le repérage à l'aide de système d'information à références spatiales. Il part de 100 et augmente en progressant vers le nord. Ainsi la zone de Cadillac qui est la structure la plus au sud dans cette étude porte les numéros 101 à 104 tandis que le couloir de bordure nord porte le numéro 600. Il peut arriver, comme c'est le cas pour la zone de Cadillac, qu'une même structure soit séparée en plusieurs segments. Ceci a été fait dans le but d'isoler certaines signatures structurales contrastantes. Cela a été réalisé uniquement dans le cas de structures ayant un bon contrôle. Les changements des numéros d'identification au niveau de la centaine (p.ex. 100 vers 200) ne vise encore une fois qu'à faciliter le repérage bien que ces changements correspondent aux divisions de la SPA jugées les plus importantes par l'auteur.

2) Sommaire géologique

La seconde section de la fiche permet de localiser la zone de déformation sur une carte géologique simplifiée qui ne présente que les principales unités lithologiques. Une carte index de la portion québécoise de la SPA localise le terrain représenté. Les stations de contrôle ayant servi à caractériser la zone de déformation sont également localisées et identifiées à partir d'un numéro unique (Annexe 1). Ces stations peuvent représenter un

Tableau 2 - Sommaire des zones de déformation de la Sous-province de l'Abitibi

ID	NOMF	ST	DIR	FAM	CONC	PROTOLITHE	METAM	ALTÉR	COMPARTIMENT NORD	COMPARTIMENT SUD	IDEF	LAR	LARM	LG	DSp	PSp	DLé	PLé	AC	VER	CMV	SENS_MV	CL	
101	Cadillac-Ouest	46	85	E-W	Long.	S4D (Témis.)-V3B	SV-Am	AK - CL	V3A - V1B (Blake River)	S (Tb, Pontiac)	3.5	2800	4100	47	280	42	347	50	72 W	SUD	Pendage	Normal	1	
102	Cadillac-centre-ouest	6	85	E-W	Long.	V3 (Piché)	SV	AK - CL	S (Tb, Cadillac)	S (Tb, Pontiac)	3	400	1000	40	260	88	269	76	75 W		Var.	Local. droite	1	
103	Cadillac-centre-est	18	110	E-W	Long.	S - V3	SV-Am	AK (TL-CL)	V3-V4A (Piché)-S(Tb,Cadillac)	S (Tb, Pontiac)	3.5	500	1100	81	0	80	151	82	82 E	NIL	Oblique	Dexre	1	
104	Cadillac-Est	3	95	E-W	Long.	V3B - V1	SV	AK-CL-EP	V1B - V3A (Fm. de Val d'Or)	S (Tb, Pontiac)	4	350	700	54	281	76	0	0		SUD	Var.	Dextre	1	
110	Fortune	1	80	E-W	Long.	V3B	SV		V3A - V1B (Blake River)	V3A - V1B (Blake River)	4	150	300	7	250	70	36	51	60 E	SUD	Pendage	Inverse N/S	3	
111	Pelletier	3	90	E-W	Long.	V3 - I3	SV	AK - FC	V3A - V1B (Blake River)	V3A - V1B (Blake River)	3.5	100	250	18	262	82	100	57		Var.	NIL	Var.	n.d.	3
112	Francoeur	2	90	E-W	Long.	V3-I3	SV	CB-MU-AB	V3A - V1B (Blake River)	V3A - V1B (Blake River)	5	100	200	17	278	41	17	30	90	SUD	Pendage	Inverse N/S	3	
113	Dumagami	3	92	E-W	Long.	V3 - V1	SV-Am	SR-CL-EP	V3A - V1B (Blake River)	S (Tb, Cadillac)	4.5	500	700	48	277	89	92	73	70 E	NIL	Pendage	n.d.	3	
114	Dalembert	1	130	SE	Long.	V3	SV	AK	V3A - V1B (Blake River)	V3A - V1B (Blake River)	3.5	200	300	20	297	70	11	68	85 W	SUD	Pendage	n.d.	3	
115	Courbe	1	105	E-W	Long.	V3B	SV	AK	V3A - V1B (Blake River)	V3A - V1B (Blake River)	4	200	500	15	105	83	185	83	90	NIL	Pendage	n.d.	3	
120	Roc d'Or	1	115	SE	Long.	V3	Am		V3B - V4A (Gr. de Malartic)	V3B - V4A (Gr. de Malartic)	4	150	200	17	297	86	113	12	10	NIL	Direction	n.d.	2	
128	Norrie	1	120	SE	Long.	V3B	Am		S (Tb, Cadillac)	S (Tb, Cadillac)	4	200	300	24	297	86	113	12	12E		Direction		3	
129	Joubi	2	115	SE	Séc.	V3	SV	AK	V1B - V3A (Fm. de Val d'Or)	V1B - V3A (Fm. de Val d'Or)	3.5	200	300	10	284	70	347	63	82 W	SUD	Pendage	n.d.	3	
131	Louvicourt	4	95	E-W	Long.	V3 - V4	SV-Am	AK - CL	V3A - V4A	V3 A - V4A	3.5	400	500	41	271	80	285	42	45 W	SUD	Oblique	n.d.	3	
132	Sigma 2	2	95	E-W	Long.	V3 - I3	SV	AK - CL	V1B - V3A (Fm. de Val d'Or)	V1B - V3A (Fm. de Val d'Or)	3.5	150	200	11	87	78	183	79	90	NORD	Pendage	Inverse N/S	3	
133	Sleepy	2	90	E-W	Long.	V1 - V2	SV	SR - AK	V1B - V3A (Fm de Val-d'Or)	V1B - V3A (Fm de Val-d'Or)	3.5	200	300	6	270	85	281	81	85 W	NIL	Pendage	n.d.	3	
134	Dunraine	1	80	E-W	Long.	V1A	SV	SR	V1B - V3A (Fm. de Val d'Or)	V1B - V3A (Fm. de Val d'Or)	3.5	400	500	11	266	88	257	3	03 W	NIL	Direction	Dextre	3	
135	Colombière	2	70	E-W	Long.	V1 - V2	SV	SR - AK	V1B - V3A (Fm. de Val d'Or)	V1B - V3A (Fm. de Val d'Or)	4	400	600	11	244	76	14	72	85 E	SUD	Pendage	n.d.	3	
136	Aumaque	1	85	E-W	Long.	V1A	SV	SR	V1B - V3A (Fm. de Val d'Or)	V1B - V3A (Fm. de Val d'Or)	3.5	200	200	14	268	70	357	69	90	SUD	Pendage	n.d.	3	
137	Sigma sud	2	85	E-W	Long.	V3 - I3	SV	AK - CL	V1B - V3A (Fm. de Val d'Or)	V1B - V3A (Fm. de Val d'Or)	3.5	100	200	14	258	88	332	88	90	NIL	Pendage	n.d.	3	
138	Manitou	3	70	E-W	Long.	V1 - V3	SV	AK-SR-PY	V1B - V3A (Fm. de Val d'Or)	V1B - V3A (Fm. de Val d'Or)	3.5	400	600	10	249	75	0	0		Var.	SUD	Var.	(Dextre)	3
140	Senneville	5	110	SE	Long.	V3	SV-Am	AK - CL	V3A - I3A	S (Tb, Garden Island)	4	500	1200	72	292	73	120	20	10 E	SUD	Direction	Dextre	2	
150	Parfouru-sud	4	120	SE	Long.	S - V3B	SV - (Am)	AK	S (Tb, Kewagama)	V3A - V1B (Blake River)	4	300	500	62	106	76	270	57	60 W	NORD	Oblique	Dextre	2	
151	Parfouru-nord	2	120	SE	Long.	V3 - V1	SV	SR - CL	V3B - V4A (Malartic)	S (Tb, Kewagama)	4	400	600	52	288	80	290	21	21 E	SUD	Direction	n.d.	2	
152	LaPause	3	120	SE	Long.	V3	Am	AK - CL	V3B- V4A (Malartic)	V3B- V4A (Malartic)	4	300	600	10	78	62	0	0	n.d.	SUD	n.d.	n.d.	3	
153	Rivière-Héva	2	110	SE	Long.	V3	Am	AK - PY	V3B - V4A (Malartic)	V3B - V4A (Malartic)	3.5	300	600	29	134	81	0	0	Var	NORD	Var.	n.d.	3	
154	Malartic	7	125	SE	Long.	V3-V4	Am		V3B - V4A (Malartic)	V3B- V4A (Malartic)	4	900	1700	15	99	46	176	44	78 E	NORD	Oblique	n.d.	3	
155	Manneville-sud	24	120	SE	Long.	V3 - V4	Am		S(Tb,Caste)-V3B-V4A(Malartic)	S (Tb, Caste)-V3B-V4A(Malartic)	4	800	1600	70	294	71	97	41	Var.	SUD	Oblique	Dextre	4	
200	Manneville - nord	37	90	E-W	Long.	S - V3	Am	AK-MU-BO	V3B-I3A (Landrienne-Kinojévis)	S (Tb, Caste)	4	2100	8000	95	255	28	324	27	90	SUD	Pendage	Inverse N/S	1	
202	Destor-Porcupine	3	100	E-W	Long.	S - V3	SV	AK - SR	S (Duparquet) - V3B (Kinojévis)	V3A - V1B (Blake River)	3	200	400	45	76	84	0	0	Var.	NIL	Oblique	n.d.	1	

Tableau 2 (suite) - Sommaire des zones de déformation de la Sous-province de l'Abitibi

ID	NOMF	ST	DIR	FAM	CONC	PROTOLITHE	METAM	ALTÉR	COMPARTIMENT NORD	COMPARTIMENT SUD	IDEF	LAR	LARM	LG	DSp	PSp	DLé	PLé	AC	VER	CMV	SENS_MV	CL
203	Bolduc	2	140	SE	Long.	V3	SV	AK - CL	V3B	V3B	3	500	500	30	307	65	5	62	85 NW	SUD	Pendage	n.d.	4
210	Central-Duparquet	1	85	E-W	Long.	S (Duparquet)	SV		V3B (Kinojévis)	S (Duparquet) V3B (Kinojévis)	3	100	100	27	261	65	57	37	45 E	SUD	Oblique E	Dextre	3
211	St-Mathieu	4	90	E-W	Long.	V3 (V1)	SV	AK - SR	V3A - V1A	V3A - I3A	4.5	400	700	24	275	55	20	49	Var.	SUD	Pendage	n.d.	3
212	Figury	4	80	E-W	Long.	V3B I3A	SV	AK - CL	V3A	V3A	4	200	500	17	260	63	2	65	88	SUD	Pendage	Inverse N/S	3
213	Uniacke	7	125	SE	Long.	V3 - V1	SV	AK	V3A - I3A - V1A	V3A - I3A - V1A	4	1400	2300	75	139	82	308	30	30 W	NORD	Direction	Dextre	3
216	Lyndhurst	9	85	E-W	Long.	V1B	SV	SR-CL (AK)	V1A (Hunter Mine)	V3B - I3A (Kinojévis)	3.5	600	1000	48	264	88	8	82	85E	NIL	Pendage	n.d.	2
221	Dagenais	7	15	NNE	Séc.	I2J	Am		I2J - I1C (Pl. de Poularies)	I2J - I1C (Pl. de Poularies)	4	500	500	11	194	76	0	0	Var.	EST	Var.	n.d.	5
222	La Reine	4	0	Auréole?		V3	Am		V3A	I1C (Pluton La Reine)	4	2000	3800	18	0	0	329	43	Var.	SUD	Variable	n.d.	5
223	Duvan	15	135	SE	Séc.	V1 - V3B - I3	Am	AK	V3B - I1C - I3	V3B - I1C - I3	4	2900	4400	38	144	81	332	31	30 W	NORD	Direction	Dextre	4
224	Desméloize	3	115	Auréole	Séc.	V3B - I1C	Am	AK	V3B	I1C (Pl. d'Abitibi)	4	1200	1700	11	132	76	306	49	55 W	NORD	Oblique	n.d.	5
225	Macamic	39	130	SE	Séc.	V3	SV-Am	CL - EP	V3A - I3A - S	V3A - I3A - S	4	1500	2100	90	293	80	111	16	30 E	SUD	Direction	Dextre	4
226	Landrienne	4	85	E-W	Long.	V3	SV	CL - AK	V3A - I3A	V3A - I3A	5	500	700	64	92	88	89	3	3 E	NIL	Direction	Dextre	3
228	Croteau	4	100	E-W	Long.	V1 - V3	SV	CL - EP	V3A - I3A	V3A - I3A	3.5	700	800	12	272	85	0	0		NIL	Var.	n.d.	3
230	Paramount	2	95	E-W	Long.	V3	SV	CL	V3B - I3A	V3B - I3A	3	100	200	16	84	82	166	65	90	NORD	Pendage	n.d.	3
231	St-Viateur	6	115	E-W	Long.	V3 - V1	SV	AK	V3A - V1A - I1C	V3A - I3A	3.5	700	1300	20	89	70	198	59	73 W	NORD	Pendage	n.d.	3
232	Jonpol	6	100	E-W	Long.	V1 - V3	SV	SR - AK	V1A - V3B	V3A - I3A	4	900	1600	11	294	76	103	45	46 E	SUD	Oblique	n.d.	3
233	Dalquier	3	115	SE	Séc.	V3	SV	AK	V3B - I1C	V3B	4	1000	1500	56	281	76	9	80	80 W	SUD	Pendage	n.d.	4
235	Macamic-nord	7	110	SE	Séc.	V3B - V1	Am	CL - EP	V3A - I1C	V3A - I1C	4.5	500	600	27	294	74	318	40	50 W	SUD	Oblique	n.d.	4
237	Authier	5	105	SE	Séc.	V3	Am		V3A	V3A	4	600	1200	39	286	73	47	46	66 E	SUD	Pendage	n.d.	4
238	Duvay	3	115	SE	Séc.	V1 - V3	SV	AK	V1A - V3A - I3B	V1A - V3A - I3B	3	200	400	12	292	85	327	78	80	NIL	Pendage	n.d.	4
300	Chicobi-sud	3	92	E-W	Long.	V3 - V2 - S	SV	AK - SR	S (Tb, Chicobi)	V3B - I3A	4	500	700	90	277	89	92	73	70 E	NIL	Pendage	n.d.	2
301	Chicobi-nord	5	92	E-W	Long.	V3 - S	SV	SR	V3B - I3A	S (Tb, Chicobi)	4	700	900	112	285	68	59	67	74 E	SUD	Pendage	n.d.	2
302	Clermont	6	110	SE	Séc.	V3	SV	AK	V3B - I3A	V3B - I3A	3	400	600	23	290	80	68	72	85 E	SUD	Pendage	n.d.	3
303	Normétal	43	105	E-W	Long.	V1 - V3	SV-Am	SR-AK-CR	V1B - V3A (Normétal)	V3B - I3A	4	1300	1700	40	111	87	112	76	80 E	NIL	Pendage	Inverse N/S	2
304	Laberge	2	145	SE	Séc.	V1 - V3 - S	SV	AK-SR-CL	V3B - S9	V3B - S9	3	1000	4000	48	92	78	261	38	32 W	NORD	Direction	Dextre	4
307	Boivin-Paradis	5	90	Auréole	Long.	I3A - I2J	SV-Am		V3B - I3A - S9	I1D - I3A - I2J	3.5	2800	4800	35	89	82	0	0	var	NORD	n.d.	n.d.	5
400	Laflamme-Sud	1	90	E-W	Long.	V3	SV	AK	S (Tb, Taibi)	V3B - I3A	4	1000	0	0	0	0	237	88	85 E	n.d.	n.d.	n.d.	2
401	Laflamme-Nord	1	90	E-W	Long.	V3	SV	AK	V3B - I3A	S (Tb, Taibi)	4	1000	0	0	268	85	63	58	82 E	n.d.	n.d.	n.d.	2
406	Harricana	8	135	SE	Séc.	V1 - V3	SV	AK-SR-CL	V3B - I3A	V1A - V3B - I3A	3.5	1000	3600	116	292	86	349	77	90	NIL	Pendage	n.d.	4
415	Quévillon	4	75	E-W	Long.	V3 - V1	SV	AK - SR	V1B - V3B	V1B - V3B	3.5	900	900	28	80	89	213	85	85 W	NIL	Pendage	Inverse N/S	3

Tableau 2 (suite) - Sommaire des zones de déformation de la Sous-province de l'Abitibi

ID	NOMF	ST	DIR	FAM	CONC	PROTOLITHE	METAM	ALTÉR	COMPARTIMENT NORD	COMPARTIMENT SUD	IDEF	LAR	LARM	LG	DSp	PSP	DLé	PLé	AC	VER	CMV	SENS_MV	CL
419	Chieftain	6	115	SE	Séc.	V3	SV-Am	AK	V3B-I3A	V3B - I3A	4	1000	2000	68	293	86	0	0		NIL	Var.	Dextre	4
420	Cameron	47	110	SE	Séc.	V3B	SV-(Am)	AK-CL-EP	V3B - I3A - S	V3B - I3A - S	4.5	1600	5700	140	290	88	288	15	15 W	NIL	Direction	Dextre	4
424	Mountain	7	70	E-W ?	Long.	V3 - I3A	SV	AK	V3B - I3A	V3B - I3A	3.5	1000	1000	11	251	87	332	88	90	NIL	Pendage	n.d.	3
428	Esther	4	85	E-W	Long.	V3	SV	AK	V3B - I3A	V3B - I3A	3.5	500	700	12	272	87	125	83	85 E	NIL	Pendage	n.d.	3
432	Pusticamica	5	60		Long.	V3	SV-Am	AK	V3B - I3A	V3B - I3A	3.5	500	700	12	236	83	248	66	70 SW	NIL	Pendage	n.d.	3
433	Doda	8	90	E-W	Long.	V3	SV-Am	AK - CL	V3B-I3A (Gr. Roy)-IID (Pl. Lichen)	V3B-I3A(Gr.Roy) - IID(Father)	4	700	1200	125	96	84	86	49	49 E	NIL	Oblique	Dextre - S/N	3
500	Casa-Berardi	7	90	E-W	Long.	V3B - S	SV-Am	AK - CL	S (Tb, Taibi)	V3B - I3A	5	1500	2000	225	95	71	188	70	85 W	NORD	Pendage	Inverse	2
501	Guercheville	6	95	E-W	Long.	V3B	SV-Am	AK - CL	V3B-I3A (Gr. Roy)-IID(Lapparent)	V3B-I3A (Gr. de Roy)	4	800	1300	130	90	89	264	89	90	NIL	Pendage	n.d.	3
502	Rémick	7	110	SE	Long.	V3 - S	SV-Am	AK - CL	S (Tb, Fm. de Caopatina)	V3B - I3A (Gr. de Roy)	4	1200	2200	60	284	89	100	36	35 E	NIL	Oblique	Dextre - S/N	3
506	Taibi - nord	2	100	E-W	Long.	V3 - S	SV-Am	AK - CL	V3B - I3A	S (Tb, Taibi)	4	800	2000	250	80	71	137	69	Var.	SUD	Pendage	n.d.	2
507	Brouillan	3	105	E-W	Long.	V1	SV	SR	V1B - V3B	V1B - V3B	4	3000	3600	11	102	76	264	40	40 W	NORD	Oblique	n.d.	3
511	Matagami	2	80	E-W	Long.	V3	SV		V3B - I3A	V3B - I3A	4	600	800	100	271	84	270	68	80 W	NIL	Pendage	n.d.	2
519	Madeleine	10	80	Auréole	Long.	V3B	Am		I1C (Pl. de Waswanipi)	V3B - I3A	3	1000	1500	42	266	78	353	64	85 W	SUD	Pendage	n.d.	5
520	Verneuil	15	125	Auréole?	Séc.	V3	SV-Am	AK-CL-EP	V3B-I3A (Gr. Roy) - IID (Verneuil)	V3B - I3A (Gr. de Roy)	3.5	1300	1600	12	307	88	296	71	71 W	NIL	Pendage	n.d.	5
521	Fancamp	15	55	NE	Séc.	V3B - V2 (Vc)	SV-Am	AK-CL-EP	V3B - I3A (Gr. de Roy)	V3B - I3A (Gr. de Roy)	3.5	600	1000	32	228	80	241	73	75 SW	SE	Pendage	n.d.	4
522	LaDauversière	10	0	Auréole		V3B - IID	Am	AK - CL	V3B-I3A (Gr. de Roy)	I1D (Pl. de LaDauversière)	4.5	300	500	20	0	0	316	57	Var.	NIL	n.d.	n.d.	5
523	Queylus	25	90	E-W	Long.	V3 - I3	SV	AK - CL	V3B - I3A (Gr. de Roy)	V3B - I3A (Gr. de Roy)	4.5	400	600	13	277	72	12	74	90	SUD	Pendage	n.d.	3
525	Audet	12	95	E-W	Long.	V2(Vc)-V3B-I3A	SV	SR-AK-CL	V3B - I3A (Gr. de Roy)	V3B - I3A (Gr. de Roy)	4.5	400	600	9	278	81	56	78	82 E	SUD	Pendage	n.d.	3
532	Renault	3	0	Auréole		V3	Am		V3B - I3A (Gr. de Roy)	I1C (Pluton de Renault)	4.5	2100	1500	17	97	85	152	84	90	NIL	Pendage	n.d.	5
533	Nottaway	4	125	SE	Séc.	V3 - S - I1	SV		V3B-I3A(Gr. de Roy)-S(Opémisca)	V3B-I3A (Gr.Roy)-S(Opémisca)	4	1600	1600	100	287	84	289	9	10 W	NIL	Direction	Dextre	4
550	Kapunapotagen	23	105	E-W	Long.	V3 - S	SV	AK-CL (CR)	S (Gr. d'Opémisca)	V3B-I3A (Gr. de Roy)	4	900	1400	100	97	76	143	66	82 W	NORD	Pendage	Inverse S/N	2
556	Sauvage	28	75	E-W	Long.	V3	SV	AK-SR-CL	V3B - I3A (Gr. de Roy)	V3 - I3 (Complexe Lac Doré)	3	300	1000	61	266	88	139	86	86	NIL	Pendage	Inverse	3
580	Faribault	24	105	E-W	Long.	V1 - V3 - S	SV	AK-SR-CL	S - V1 (Vc Tb, Fm. de Bordeleau)	V3B - I3A (Gr. de Roy)	4	300	600	48	94	83	219	79	82 W	NORD	Pendage	Inverse S/N	2
582	France	13	90	E-W	Long.	V3 - S	SV	AK-SR-CL	V1-V2 (Vc-Tb) Fm de Blondeau	V3B-I3A (Gr. de Roy)	4	500	900	15	87	70	1197	77	85 W	NORD	Pendage	Inverse S/N	2
591	Barlow	6	95	E-W	Long.	V3B - S	SV-(Am)	AK-SR-CL	V3B - I3A (Gr. de Roy)	S (Gr.d'Opémisca)	3	300	700	55	87	81	228	72	72 W	SUD	Pendage	n.d.	2
600	Bordure-nord	41	90	E-W	Long.	V3B	Am		I1D - I2J (Pl. de Barlow)	V3B - I3A (Gr. de Roy)	4	1500	2700	56	92	42	172	42	84 W	NORD	Pendage	Inverse S/N	1
603	Matagami-nord	2	90	E-W	Long.	S	SV-Am		I1 (Opatica)	V3B - S	4	1000	1600	22	91	64	215	68	90	NORD	Pendage	n.d.	1

ID = No d'identification de la ZD, NOMF = Nom de la ZD, DIR = Direction, FAM = Famille, CONC = Concordance, METAM = Métamorphisme, ALTÉR = Altération, IDEF = Indice de déformation, LAR = Largeur maximum, LARM = Largeur moyenne, LG = Longueur, DSp = Direction moyenne des Sp, PSP = Pendage moyen, DLé = Direction moyenne des Lé, PLé = Plongée moyenne, AC = Angle de chute, VER = Vergence, CMV = Composante de mouvement, SENS_MV = Sens de mouvement, CL = Classe

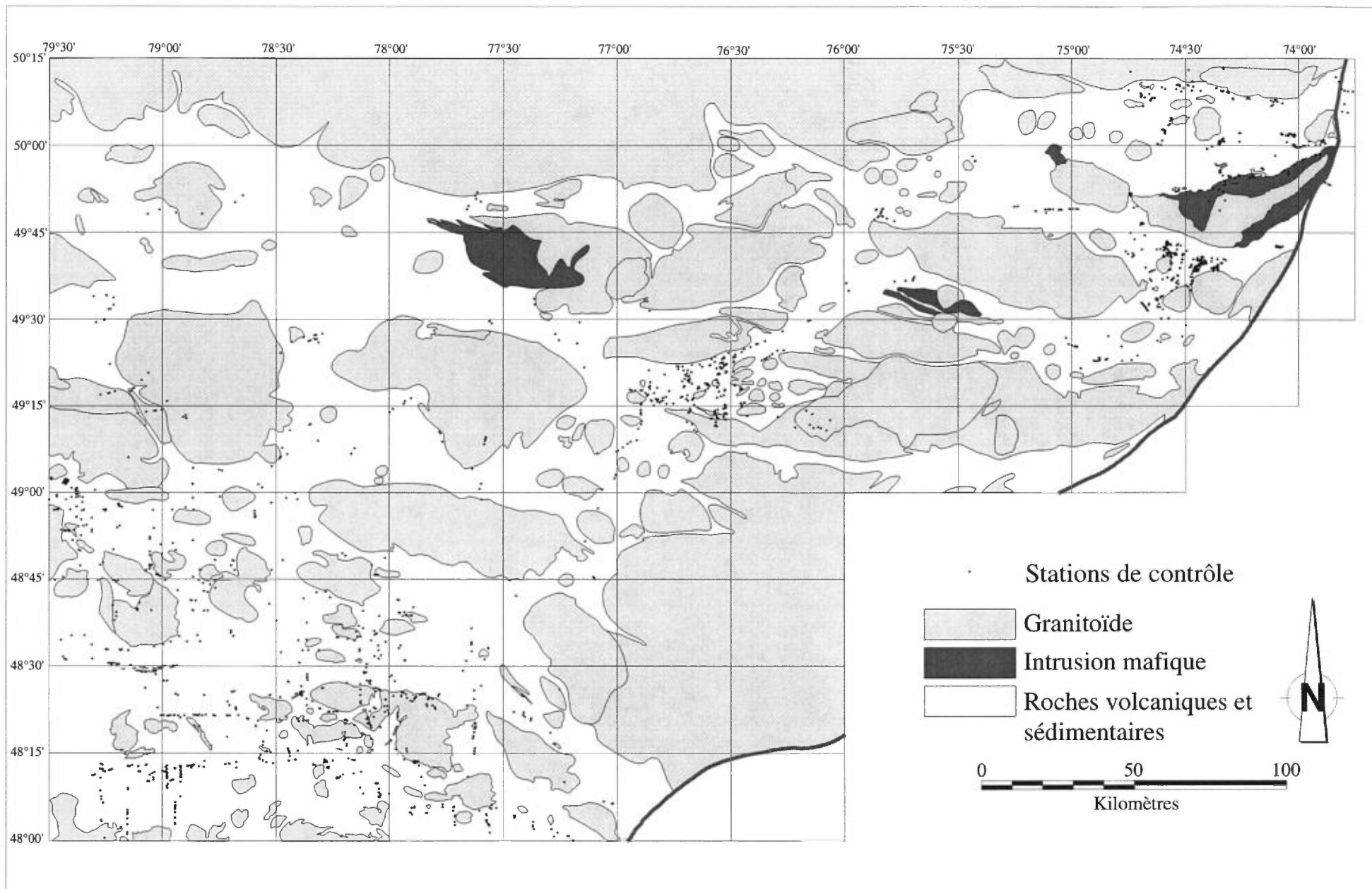


Figure 3 - Carte de localisation des stations de contrôle

Tableau 3 - Liste des abréviations utilisées

Indicateurs de sens de cisaillement (ISC)

CS	Fabrique CS
BC	Bande de cisaillement
PAZ	Pli asymétrique en Z
IRS	Inclusion rigide de type sigma
IRD	Inclusion rigide de type delta
DO	Structure en domino
VS	Veines sigmoïdes
VE	Veines en échelon
DM	Déplacement de marqueur
FP	Foliation en poisson
OP	Ombre de pression
BAA	Boudin asymétrique antithétique
BAS	Boudin asymétrique synthétique
RV	Rotation de veine

Code des lithologies

V1	Roche volcanique felsique
V1B	Rhyolite
V2	Roche volcanique intermédiaire
V3	Roche volcanique mafique
V3A	Basalte - Andésite
V3B	Basalte
V4	Roche volcanique ultramafique
V4A	Komatiite
I1	Intrusion felsique
I1C	Granodiorite
I1D	Tonalite
I2	Intrusion intermédiaire
I2F	Monzonite
I2J	Diorite
I3	Intrusion mafique
I3A	Gabbro
I3G	Anorthosite
S	Roche sédimentaire
S1	Grès
S4D	Conglomérat polygénique
S6	Mudrock
S9	Formation de fer
TB	Turbidite
VC	Volcanoclastite

Code des minéraux

AB	Albite
AK	Ankérite
BO	Biotite
CB	Carbonate
CL	Chlorite
EP	Épidote
FC	Fuchsite
HM	Hématite
KY	Kyanite
MU	Muscovite
SR	Séricite
TL	Talc
PY	Pyrite

Métamorphisme

PP	Préhnite-Pumpellyite
SV	Schistes verts
Am	Amphibolites
()	secondaire

seul affleurement ou une série d'affleurements rapprochés. Dans certains cas, une station de contrôle peut avoir plusieurs dizaines de mesures structurales. C'est la cas notamment pour les grands affleurements décapés pour lesquels les mesures structurales sont référencées à partir d'un point centroïde.

3) Paramètres géométriques

- Direction:* Direction de la zone de déformation mesurée sur la carte régionale. Il s'agit d'une attitude moyenne.
- Famille:* Classification simple en fonction de l'orientation de la zone. Quatre familles principales sont reconnues, la famille E-W la plus commune, la famille SE, la famille NE et les auréoles de déformation dont la direction est fortement variable.
- Concordance:* Relation entre la direction de la ZD et l'attitude des couches ou du grain tectonique hors de la ZD. La plupart des structures E-W sont concordantes, les structures SE peuvent être concordantes ou discordantes.
- Largeur moy.:* Estimation sur la carte régionale de la largeur moyenne de la ZD exprimée en mètres et mesurée en plan. Il s'agit d'une donnée généralement basée sur les stations de contrôle et sur les compilations géoscientifiques du Ministère des Ressources naturelles.
- Largeur max.:* Évaluation de la largeur maximum; s'applique à la portion la plus large en plan de la ZD.
- Longueur:* Étendue de la ZD, dans la plupart des cas extrapolée à partir des données géophysiques.

4) Estimation visuelle de la déformation, l'échelle IDEF

La forme et l'étendue des zones de déformation au sein de la SPA sont grandement variables. Une zone de déformation se caractérise par une intensité de déformation qui contraste avec son environnement et, dans certains cas, par un métamorphisme plus élevé. Dans ces zones, les caractères primaires des roches peuvent être fortement modifiés ou complètement oblitérés par la déformation. Une échelle de déformation qualitative a donc été mise au point de façon à attribuer une cote qui reflète l'appréciation de l'intensité de la déformation. Cette échelle ou indice de déformation (IDEF) s'étale de 0 à 5 (Tableau 4). Une cote "0" représente le cas d'une déformation à peu près nulle ou difficile à lever. Elle indique une absence de fabrique planaire corrélative d'un affleurement à l'autre. Le plan de stratification peut être en position originale subhorizontale ou en position subverticale suite au plissement puisque l'échelle s'applique à la déformation interne du matériau. Les cotes "1 et 2" représentent un stade de déformation faible mais perceptible produisant des fabriques corrélative d'un affleurement à l'autre. La cote 2 se distingue par la tendance au parallélisme avec la fabrique principale de tout objet géologique (coussin, vésicule, fragment etc.). La cote 3 représente un niveau de déformation moyen où la roche

développe une bonne anisotropie à laquelle tout objet géologique est complètement parallélisé. Les cotes "4 et 5" s'appliquent aux zones de déformation présentant une forte à très forte anisotropie et où l'on assiste progressivement à une destruction complète des caractères originaux de la roche, la cote 5 s'appliquant aux zones où le caractère primaire des roches est incertain. Bien sûr, ces attributions ne servent qu'à donner un outil pour visualiser la distribution de la déformation.

5) Fabriques

Les fabriques spécifiques à une zone de déformation donnée ont été extraites de chacune des surfaces (polygone) représentant une ZD. Seules les données de la présente étude sont considérées dans les représentations stéréographiques. La valeur moyenne des compilations stéréographiques sert à caractériser la ZD.

<i>Direction Sp:</i>	Direction moyenne de la fabrique planaire principale.
<i>Pendage Sp:</i>	Pendage moyen de la fabrique planaire principale.
<i>Direction Lé:</i>	Direction moyenne de la linéation d'étirement.
<i>Plongée Lé:</i>	Plongée moyenne de la linéation d'étirement.
<i>Lé Chute moy:</i>	Angle de chute de la linéation d'étirement dans le plan de la fabrique planaire Sp; exprimé selon le quadrant.

L'attitude des linéations d'étirement est également présentée sous la forme d'une rose des vents modifiées. Ce diagramme représente l'attitude des Lé (angle de chute) dans le plan de la schistosité principale (Sp). Il permet donc de saisir d'un coup d'oeil rapide la tendance des mouvements d'une ZD donnée. Le diagramme est conçu par convention avec un regard vers le nord.

6) Autres caractéristiques

<i>Vergence:</i>	Inverse du pendage; déduit des données provenant des stations de contrôle.
<i>Protolithe:</i>	Nature des roches présentes dans la zone de déformation selon la nomenclature du MRNQ (voir tableau 3).
<i>Métamorphisme:</i>	Faciès métamorphique général observé dans la zone de déformation.
<i>Altération:</i>	Assemblage commun des minéraux d'altération selon la nomenclature du MRNQ (voir tableau 3).

7) Mouvement

<i>Comp. Mv.:</i>	Composante de mouvement. Divisée en trois composantes selon l'angle de chute (pitch) des linéations d'étirement (Lé) dans le plan de la schistosité principale Sp: <ol style="list-style-type: none"> 1) composante direction (angle de chute des Lé < 30°) 2) composante oblique (angle de chute des Lé > 30° et < 60°) 3) composante pendage (angle de chute des Lé > 60°)
<i>Sens Mv:</i>	Sens proposé à partir de l'observation d'indicateurs de sens de cisaillement (ISC).

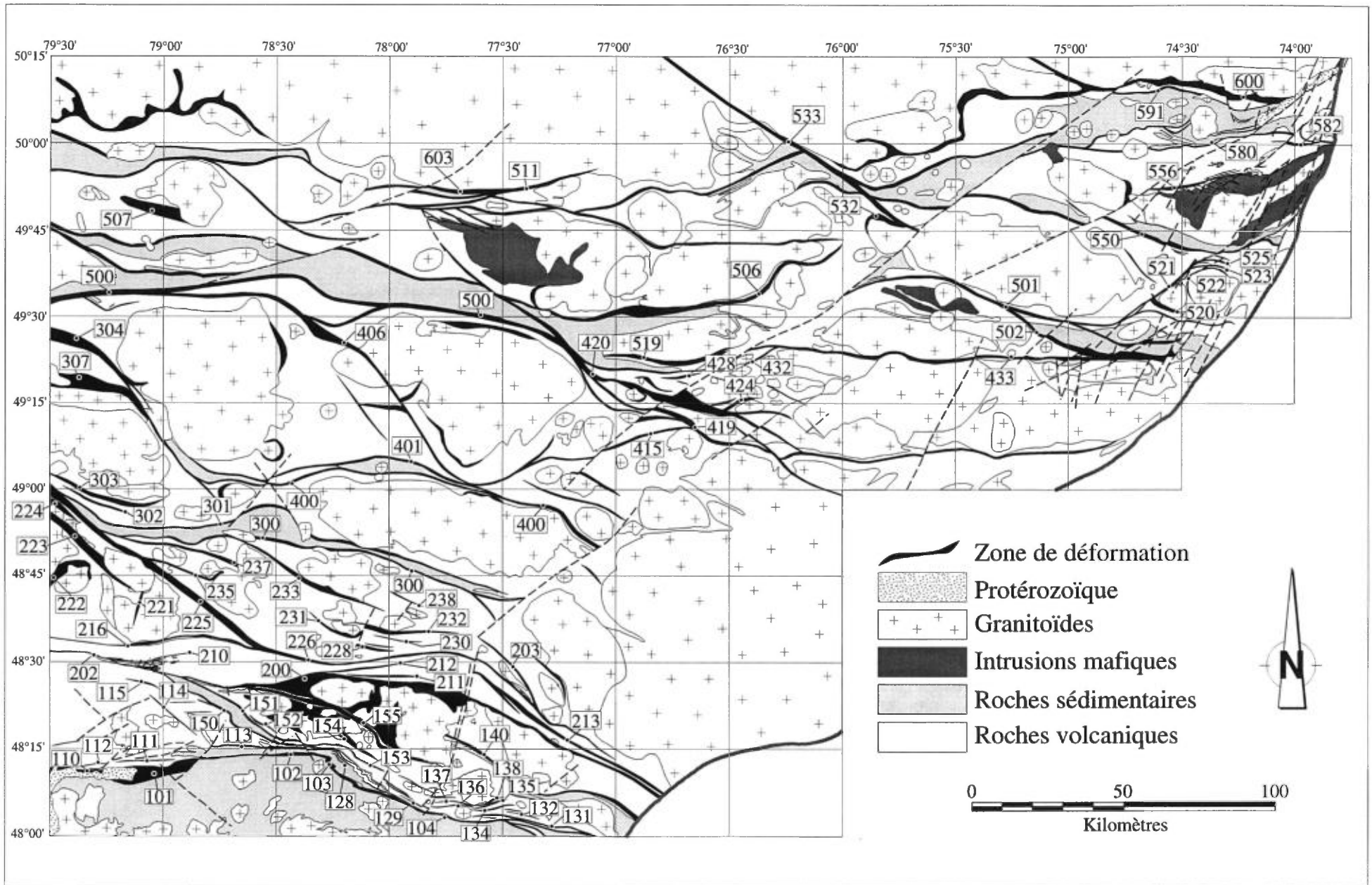


Figure 4 - Localisation et identification des zones de déformation (se référer au tableau 2)

Tableau 4 - Critères de terrain servant à attribuer l'indice de déformation

INDICE DE DÉFORMATION (IDEF)	
Déformation	
0 nulle	<ul style="list-style-type: none"> -absence d'éléments planaire et linéaire corrélables d'un affleurement à l'autre -roche massive, isotrope en faisant abstraction du litage -litage (So) peut être en position sub-horizontale -absence d'orientation préférentielle des objets géologiques
1 très faible	<ul style="list-style-type: none"> -présence d'une fabrique planaire faible et corrélable d'un affleurement à l'autre -caractéristiques primaires des roches parfaitement préservées -roche généralement isotrope en faisant abstraction du litage
2 faible	<ul style="list-style-type: none"> -fabrique planaire bien développée et corrélable d'un affleurement à l'autre -amorce d'orientation préférentielle des objets géologiques (fragment, cristaux, etc.) -linéation d'étirement perceptible mais peu développée -caractéristiques primaires des roches encore préservées
3 modérée	<ul style="list-style-type: none"> -roche anisotrope et d'aspect schisteux -objets géologiques avec orientation préférentielle évidente mais pas complètement sub-parallélisés -linéation d'étirement généralement bien développée -caractéristiques primaires des roches encore reconnaissables -considéré comme indicatif de zone de déformation
4 forte	<ul style="list-style-type: none"> -roche fortement anisotrope et schisteuse -objets géologiques avec forte orientation préférentielle et une elongation accentuée (axe long démesuré par rapport à l'axe court) -linéation d'étirement forte, localement devient dominante (tectonite L) -difficulté à reconnaître les caractéristiques primaires des roches (dominance des caractéristiques liées à la déformation)
5 très forte	<ul style="list-style-type: none"> -anisotropie extrême -rubanement ou litage mylonitique -destruction complète des caractéristiques primaires des roches -linéation d'étirement forte à extrême dans certains cas (tectonite L) -association de métamorphisme élevé dans certains cas

ISC: Indicateurs de sens de cisaillement observés pour une ZD donnée (Tableau 3).

Interprétation du mouvement: Section permettant de commenter ou de nuancer les interprétations cinématiques.

8) Paramètres extrinsèques

Comme la plupart des ZD analysées ont une direction E-W ou SE et plus localement NE, il est possible de décrire les compartiments de part et d'autre d'une ZD simplement en décrivant les blocs nord et sud.

Encaissant N: Composition, et selon le cas nom stratigraphique, des unités lithologiques formant le compartiment nord de la ZD.

Encaissant S: Idem pour le compartiment sud.

Principaux résultats sur les zones de déformation de la SPA

Les différents types de zones de déformation au sein de la SPA peuvent être analysés à partir de paramètres intrinsèques que sont les attributs géométriques (attitude, puissance, extension régionale, cinématique, etc.) ainsi que par les paramètres extrinsèques qui décrivent la relation entre les compartiments de part et d'autre de la discontinuité.

Les auréoles de déformation représentent un type de ZD qui ressort nettement des autres par leurs caractéristiques. Il s'agit des zones qui se situent au pourtour des masses granitoïdes et qui sont caractérisées par un métamorphisme généralement plus élevé et par des fabriques contenant des linéations d'étirement abruptes et fortement développées. Les ZD associées aux discontinuités structurales régionales sont communément de grande extension et d'épaisseur limitée et se présentent donc sous forme de couloirs. Pour certaines des ZD présentées dans ce rapport l'appartenance à l'une ou l'autre de ces deux catégories est difficile à établir.

Paramètres intrinsèques

L'attitude (direction et pendage) représente le principal attribut géométrique d'une zone de déformation. On peut classifier les principales familles uniquement sur la base de leur direction absolue. C'est ainsi que trois grandes familles sont reconnues au sein de la SPA, les familles E-W, SE, NE. Il est cependant plus pratique de parler de famille en fonction du référentiel que représente la direction globale des couches volcaniques et sédimentaires puisque cette direction varie également (Figure 2). Ainsi, on reconnaît d'une part, les zones de déformation qui sont subparallèles aux couches et dont la direction dominante est E-W que l'on désignera comme la famille longitudinale et, d'autre part, les zones de déformation qui ont une direction sécante à celle des couches. Parmi les ZD sécantes, se dégage des ZD de direction SE et d'autres de direction NE. Mais plusieurs

ZD de direction SE demeurent parallèles aux couches et sont donc intégrées dans la famille longitudinale.

Les ZD associées aux discontinuités E-W sont les plus communes et ont des largeurs apparentes variant de 300 à 600 m bien que certaines ZD atteignent plus de 4,000 m. Il faut toutefois préciser que cette mesure est une estimation représentant l'épaisseur apparente d'une ZD établie en fonction des points de contrôle disponibles. Les ZD de direction SE ont une tendance à être plus larges, certaines atteignant même près de 5 km (p.ex. Cameron, ZD # 420). Les ZD de direction NE sont au contraire plus restreintes avec des couloirs de quelques dizaines et, dans de rares cas, quelques centaines de mètres et exprime donc un comportement beaucoup plus fragile. Ces discontinuités, bien que représentées sur les cartes, n'ont pas fait l'objet de fiche de ZD étant donné leur caractère fragile et le peu de données disponibles.

Toutes les discontinuités ont généralement des extensions régionales importantes pouvant se suivre sur plusieurs dizaines de kilomètres. Toutefois, dans certains cas, le tracé anastomosé de plusieurs discontinuités qui se rejoignent peut rendre difficile la détermination d'une extension latérale d'une ZD spécifique. Les ZD de direction SE sont généralement plus courtes que les ZD de direction E-W.

Vergence des zones de déformation

La vergence est une notion qui permet de représenter le sens de déversement dans les plis et qui est utilisée par extension pour les failles. Ainsi la vergence d'une faille est l'inverse du sens du pendage de cette faille. Le pendage des zones de déformation a été établi à partir de la mesure moyenne des pendages provenant des fabriques planaires S_p mesurées.

Plus de 90% des ZD étudiées ont des pendages estimés abrupts ($>60^\circ$) et la majorité ont des pendages qui varient autour de 80° (Figures 5 et 6). Les ZD de direction SE ont généralement des pendages supérieurs à 80° tandis que des pendages plus modérés sont observés dans les ZD de direction E-W. Ces dernières montrent des pendages beaucoup plus modérés dans la ZVS en comparaison avec la ZVN. Une seule ZD possède un pendage faible ($<30^\circ$). Il s'agit de la zone de Manneville-nord (ZD # 200) qui est maintenant interprétée comme une faille majeure de chevauchement à pendage vers le nord et pourrait même représenter la limite entre les deux zones volcaniques de la SPA (Mueller et al. 1995). L'environnement de la zone de Cadillac (ZD # 101) dans le secteur de Rouyn-Noranda montre aussi des fabriques faiblement pentées vers le nord.

Les ZD de la portion sud de la SPA sont dominées par des vergence sud tandis que la vergence nord semble dominer la portion nord (Figure 6). Les ZD de pendage supérieur à 80° sont considérés comme ayant une vergence nulle (ou droite).

Composante de mouvement

Les composantes de mouvement sont établies à partir de l'attitude moyenne des linéations d'étirement contenues dans le plan de la schistosité principale de la ZD (Figure 7). Les ZD de direction E-W présentent généralement des fabriques planaires qui

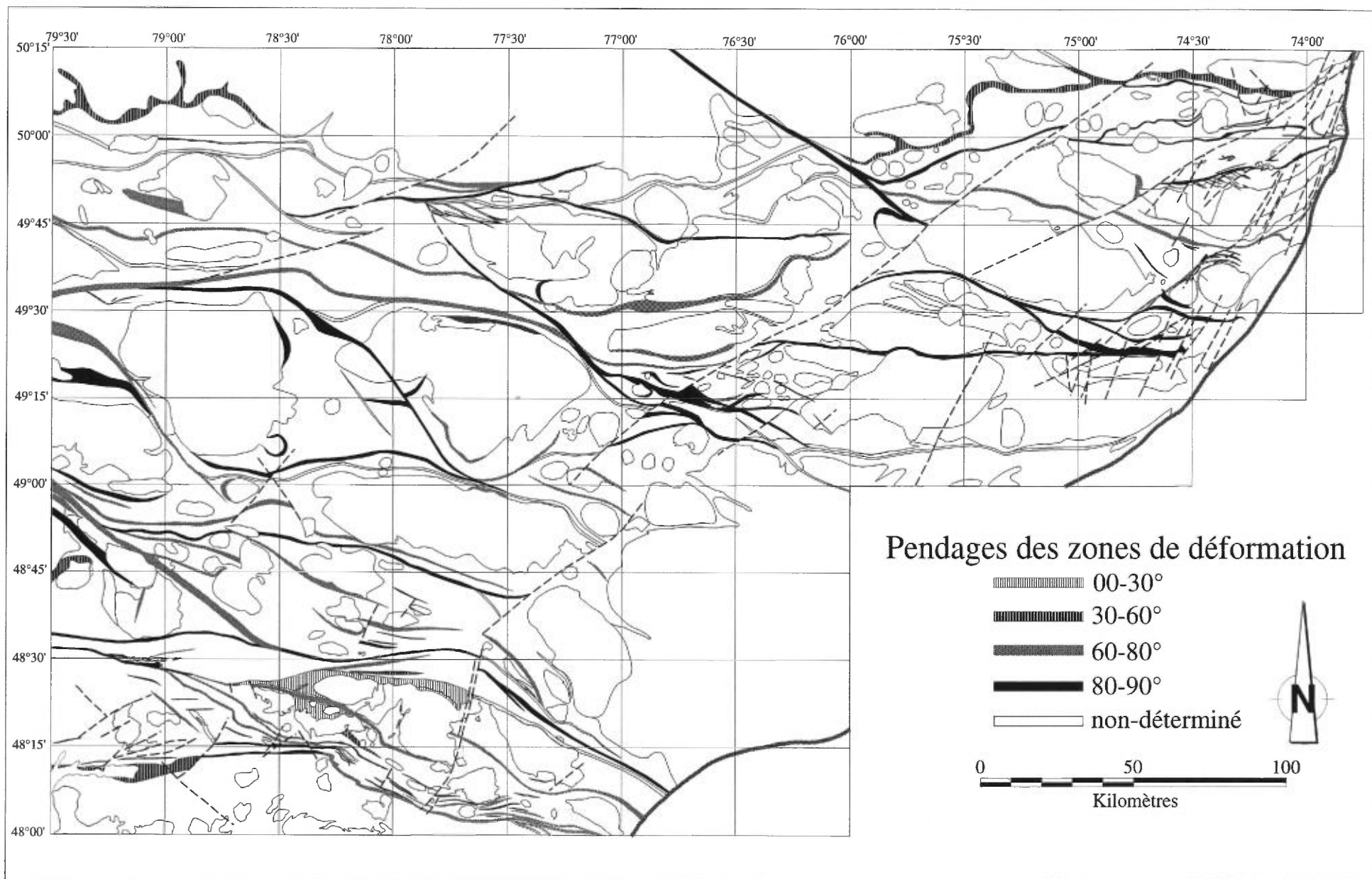


Figure 5 - Classification des zones de déformation par pendage

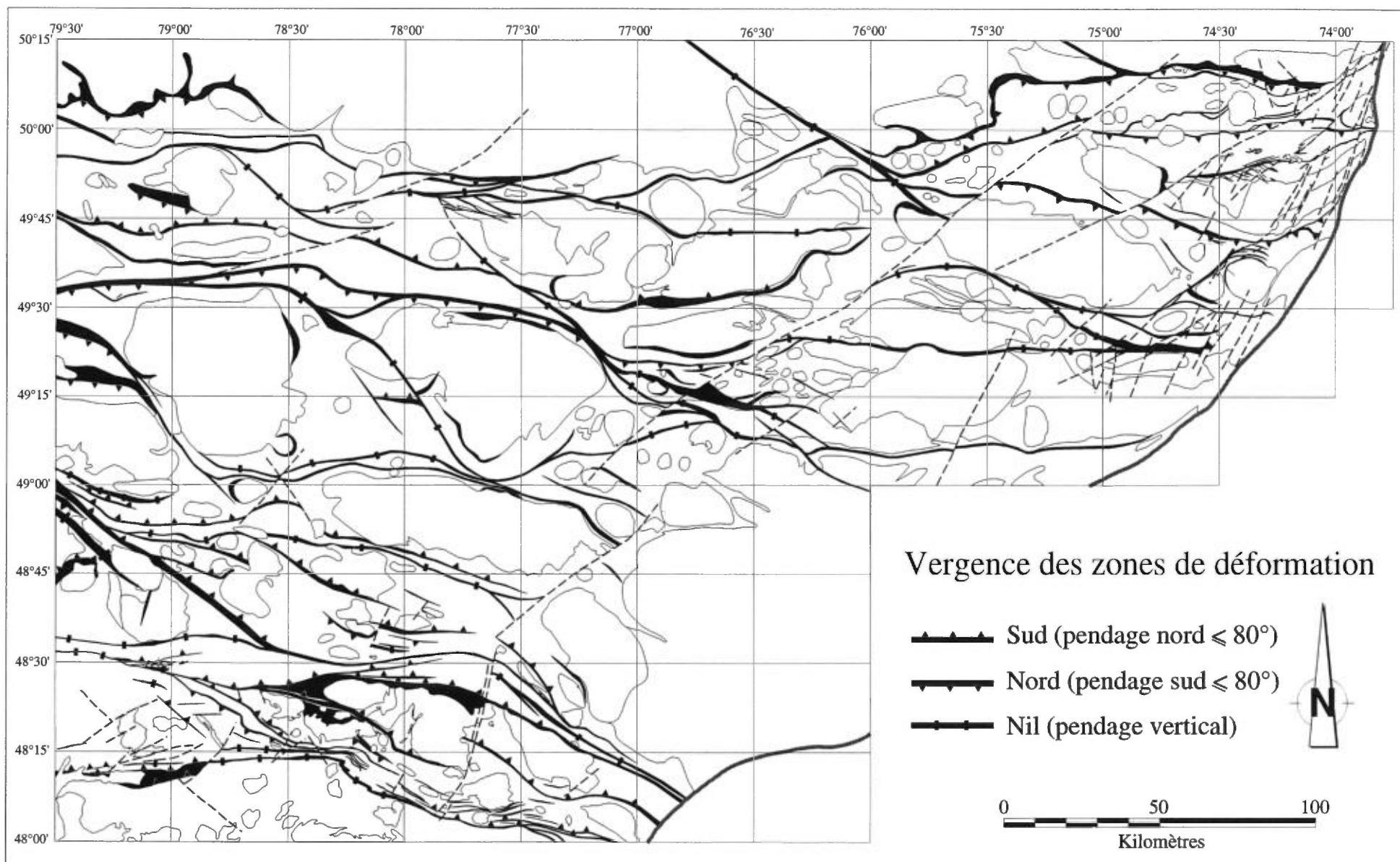


Figure 6 - Classification des zones de déformation par vergence

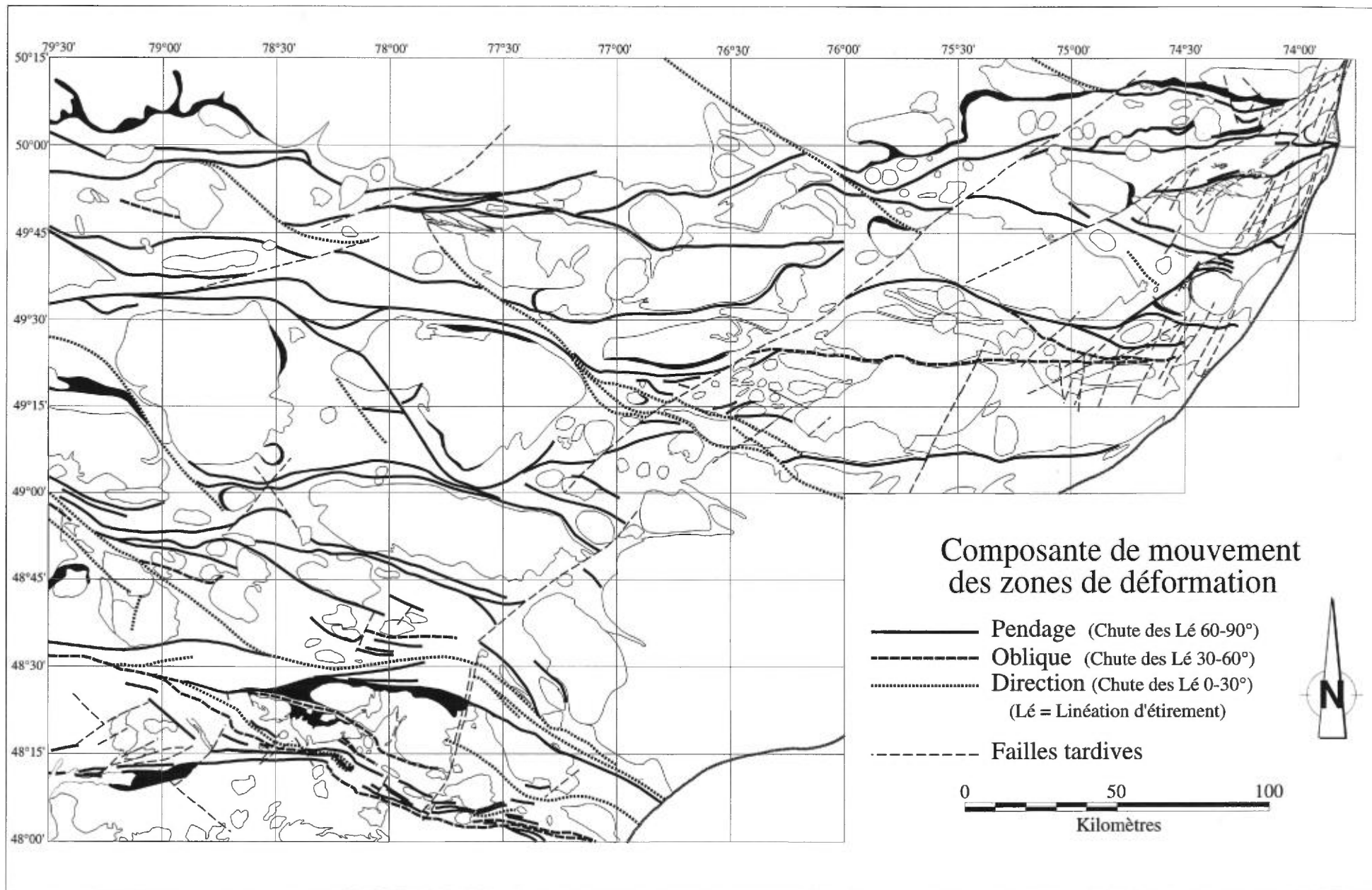


Figure 7 - Classification des zones de déformation par composante de mouvement

contiennent des linéations d'étirement en composante pendage tandis que les ZD de direction SE sont surtout associées à des linéations d'étirement en composante direction et à des indicateurs de sens de cisaillement (ISC) appuyant des mouvements dextres. Dans plusieurs cas, un déplacement apparent dextre de plusieurs kilomètres peut même être estimé par le décalage de repère comme les bandes de roches sédimentaires (voir ZD #225 et 420). Certains îlots de roches à linéations de composante pendage sont reconnus au sein des ZD de direction SE. Ces îlots sont interprétés comme le vestige des fabriques résultant de la déformation régionale qui a précédé l'épisode de mouvement dextre.

Bien que les ZD de direction E-W soient dominées par des mouvements en composante pendage, il est toutefois commun d'observer des évidences de composante oblique et directionnelle qui systématiquement se superposent sur la composante pendage. Peu de données concluantes permettent d'interpréter la composante inverse. Dans certains cas, le mouvement est du sud vers le nord (p.ex. Kapunapotagen ZD # 550), alors que dans d'autres cas, il est du nord vers le sud (p.ex. Manneville nord, ZD # 200).

Paramètres extrinsèques

Les paramètres extrinsèques d'une zone de déformation sont certainement ceux qui permettent le mieux d'apprécier l'importance d'une structure donnée. Ces paramètres peuvent se juger par la nature des roches de part et d'autre d'une discontinuité en termes d'environnement de formation, d'âge et de signature structurale. Il est déjà possible de mettre les discontinuités NE et la majorité des discontinuités SE dans une catégorie à part au niveau de leur importance puisque les unités stratigraphiques comme les bandes de roches sédimentaires peuvent se suivre de part et d'autre de ces structures. Les ZD de Macamic (#225) et de Cameron (#420) en sont de bons exemples. Ces structures ne représentent donc pas des limites entre des terrains distincts.

À l'opposé, les ZD associées aux discontinuités E-W et à certaines discontinuités SE représentent des frontières importantes entre des groupes de roches totalement différents en terme de milieu, d'âge, de signature structurale et même de métamorphisme. Le meilleur exemple est certainement la faille de Cadillac (#101 à 104) qui sépare les roches sédimentaires de Pontiac caractérisées par des foliations de pendage faible à modéré avec les roches de la zone volcanique sud dont les foliations principales sont beaucoup plus abruptes. La zone de Manneville (#200) fait également partie de cette catégorie.

Certaines de ces structures représentent non pas une limite entre deux groupes de roches mais une zone où plusieurs groupes de roches sont coincés et limités par des failles. On parle alors de zone tectonique comme dans le cas de la zone de Cadillac (Robert 1989) ou de la zone tectonique de Waconichi dans la région de Chibougamau (Daigneault *et al.* 1990). Certaines discontinuités structurales peuvent séparer des groupes de roches distincts sans être associées à des couloirs de déformation importants. La discontinuité de Lhyhurst (Labbé *et al.* 1992; ZD # 216) en représente un exemple. Il est possible dans ces cas que les couloirs de déformation ne représentent que la réactivation de structures synvolcaniques comme proposé par Dimroth *et al.* (1982) et par Labbé *et al.* (1992).

Classification des zones de déformation

Les résultats de cette étude permettent de proposer une classification des ZD de la SPA basée sur les paramètres intrinsèques et extrinsèques. Six classes sont ainsi définies et leurs caractéristiques sont résumées au tableau 5. La classification des ZD est présentée à la figure 8.

La classe 1 représente les ZD associées à des discontinuités de premier ordre. Ces structures sont interprétées comme étant des limites entre des terrains distincts par leur âge, leur signature structurale ou leur métamorphisme. Ces discontinuités sont concordantes au grain régional et présentent des évidences de fabriques planaires de faible pendage. L'histoire de la déformation y est complexe semblant résulter de la superposition de plusieurs événements. Seules deux structures sont classées dans cette catégorie. Il s'agit des failles de Cadillac (#101 à 104) et de Destor-Porcupine-Manneville (#200 à 202). La zone de bordure nord de la SPA (#600) pourrait représenter également une zone appartenant à cette classe.

La classe 2 correspond aux ZD associées aux discontinuités représentant des contacts entre des unités lithologiques distinctes. Les contacts entre les bassins sédimentaires et les roches volcaniques en sont de bons exemples. Il s'agit de zones de déformation concordantes qui sont dominées par des mouvements à composante pendage. L'envergure des déplacements est difficile à estimer. Les indicateurs de sens de cisaillement ne sont pas communs et peu d'évidence permettent de conclure à une déformation par cisaillement, un simple raccourcissement étant également un modèle possible. Les ZD de Casa-Berardi (500) et de Kapunapotagen (#550) en sont de bons exemples. Certaines structures de classe 2 agissent comme des surface de décollement d'extension régionale. La zone de Laflamme-nord (#401) représente ce genre de décollement entre des attitudes contrastantes du grain structural régional (Figures 1 et 2). La zone de Lyndhurst (#216) est également un autre exemple.

La classe 3 correspond à des ZD concordantes au grain régional et localisées à l'intérieur d'une même unité lithologique. Les mouvements reconnus sont surtout en composante pendage. Cette classe regroupe les ZD d'extension modeste pouvant représenter de simple concentration de déformation ou des zones de faille d'importance limitée en terme de déplacement.

La classe 4 représente les ZD associées à des discontinuités sécantes au grain régional. L'orientation SE domine largement (p.ex. Macamic #225) mais dans certains cas l'orientation peut être NE (p.ex. Fancamp # 521). Les ZD d'orientation SE montrent une nette dominance de mouvement à composante directionnelle avec des indicateurs de cisaillement dextre.

La classe 5 regroupe les ZD associées à des auréoles de déformation. Ces zones se caractérisent généralement par un métamorphisme plus élevé au faciès des amphibolites et par des variations d'attitudes dans les fabriques planaires. Les linéations d'étirement, communément très développées, sont surtout en composante pendage.

La classe 6 correspond aux failles de comportement fragile (épaisseur restreinte) qui recoupent les unités lithologiques de manière sécante. Pour les besoins de cette étude, cette classe ne fait pas la distinction entre failles archéennes ou grenvilliennes. L'orientation NE à NNE domine.

Tableau 5 - Caractéristiques et classification des zones de déformation

Classe 1	<ul style="list-style-type: none"> -Zone de déformation coïncidant avec une limite entre des entités lithostratigraphiques (terranes) de nature, d'âge ou de signature structurale différents. -Zone de déformation complexe avec évidence de mouvements multiples. -Zone concordante au grain stratigraphique régional avec évidence locale de zone à fabriques de faible pendage.
Classe 2	<ul style="list-style-type: none"> -Zone de déformation coïncidant avec une limite entre des unités lithologiques différentes (e.g. contact basaltes / sédiments). -Zone de déformation concordante au grain stratigraphique régional avec dominance de mouvement en composante pendage. -Peut correspondre à une surface de décollement entre des compartiments ayant des grains tectoniques différents.
Classe 3	<ul style="list-style-type: none"> -Zone de déformation localisée à l'intérieur d'une même unités lithologiques ou un même ensemble lithostratigraphique. -Zone de déformation concordante au grain stratigraphique régional avec mouvement dominant en composante pendage et/ou en composante oblique. -Peut correspondre à une surface de décollement.
Classe 4	<ul style="list-style-type: none"> -Zone de déformation sécante au grain stratigraphique régional avec mouvement en composante directionnelle dominante et évidence de mouvement dextre. -Orientation SE dominante.
Classe 5	<ul style="list-style-type: none"> -Auréole de déformation située en marge des corps granitoïdes. -Généralement associée à un métamorphisme au faciès des amphibolites. -Forme et attitude irrégulières.
Classe 6	<ul style="list-style-type: none"> -Zone de déformation sécante à caractère fragile dominant. -Orientations NE et NNE communes.

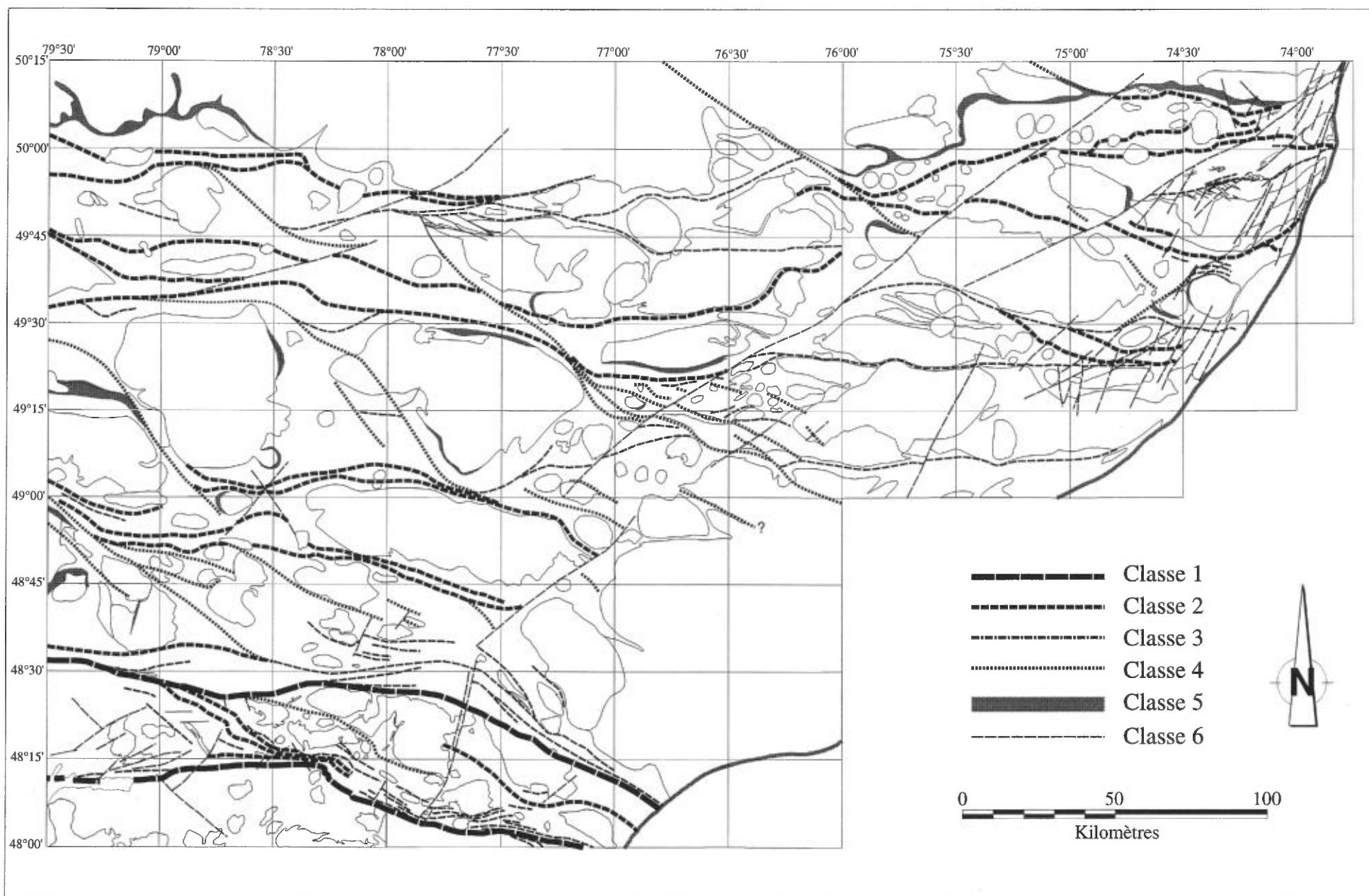
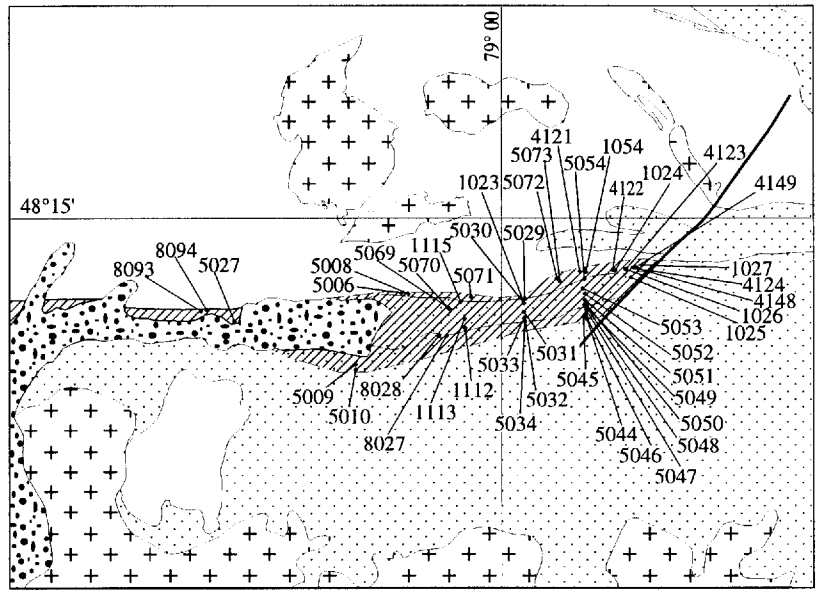
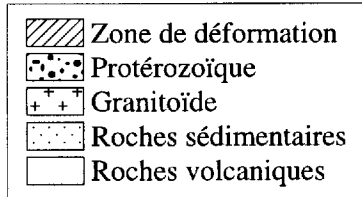
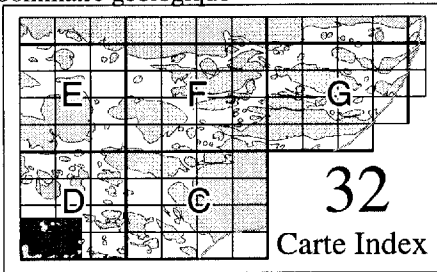


Figure 8 - Classification des zones de déformation

Fiches de zones de déformation

Nom <h1 style="text-align: center;">Cadillac-Ouest</h1>	Autre(s) nom(s): Cadillac-Larder-Lake Zone tectonique de Cadillac	No <h1 style="text-align: center;">101</h1>
---	--	---

Sommaire géologique



Stations	8093, 8094, 5027, 5010, 5009, 5008, 5006, 8028, 8027, 1112, 1113, 5069, 1115, 5070, 5030, 5031, 5032, 5033, 5071, 5034, 5047, 5048, 5046, 1023, 5029, 5049, 5073, 5072, 5050, 4121, 5044, 5045, 1054, 5054, 5051, 5052, 4122, 1025, 1026, 1024, 4123, 4149, 5053, 1027, 4124, 4148	Nb. 46
-----------------	--	------------------

Paramètres géométriques

Direction	085°	Largeur moy.	2800 m
Famille	E-W	Largeur max.	4100 m
Concordance	Longitudinale	Longueur	47 km

Indice déform. moy. (ID)

3,5

Fabriques

Direction_Sp	N 280°
Pendage_Sp	42° N
Direction_Lé	N 347°
Plongée_Lé	50°
Lé Chute moy.	72°W

Vergence

SUD

Mouvement

Comp. Mv.	Pendage
Sens Mv.	Normal

Protolithe	S4D (Témiscamingue) - V3B
Métamorphisme	Schistes verts à Amphibolite
Altération	AK - CL
Encaissant N	V3A - V1B (Groupe de Blake River)
Encaissant S	S (Tb, Pontiac) (faciès amphibolite)

Interprétation du mouvement

- Fabriques de faible pendage interprétées comme résultat d'un chevauchement
- Forme sigmoïde des galets dans les conglomérats suggère un mouvement normal en extension
- Mouvement dextre tardif indiqué par plis asymétriques en Z

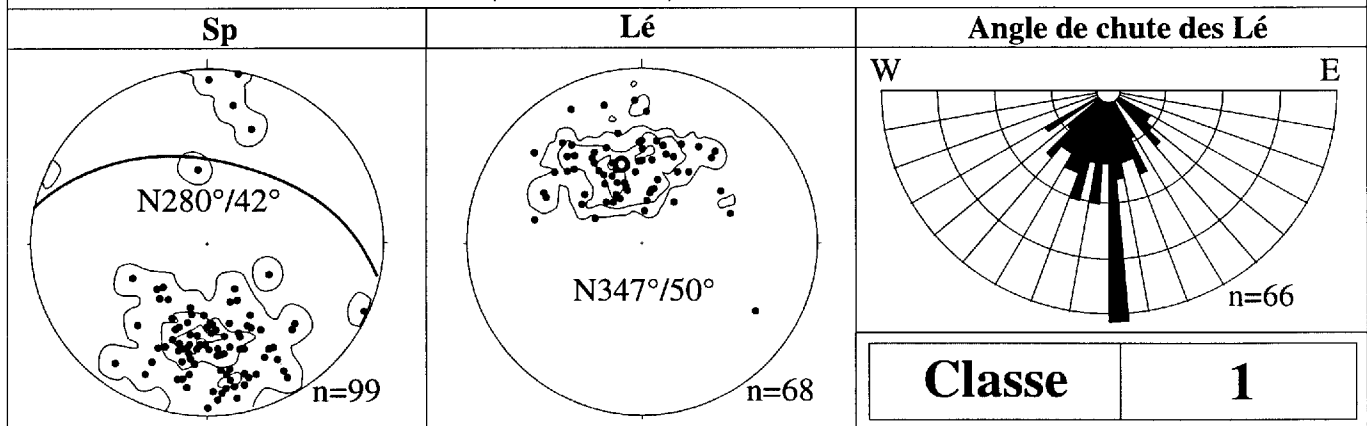
ISC

IRS - BC
PAZ

Note

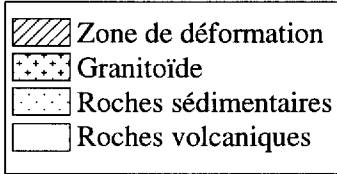
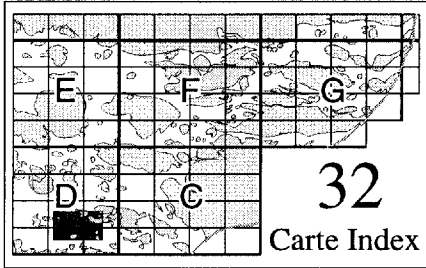
- Zone de déformation à vergence sud montrant des évidences de mouvement en extension.
- Recoupée par des zones de cisaillement (ID = 4 à 5) à pendage abrupt (p.ex. Astoria); clivage de crénulation secondaires (localement pression-solution) et kinks très communs; plissement polyphasé.

Autre(s) référence(s) Gauthier et al. 1990; Goulet 1978; Dimroth et al. 1982

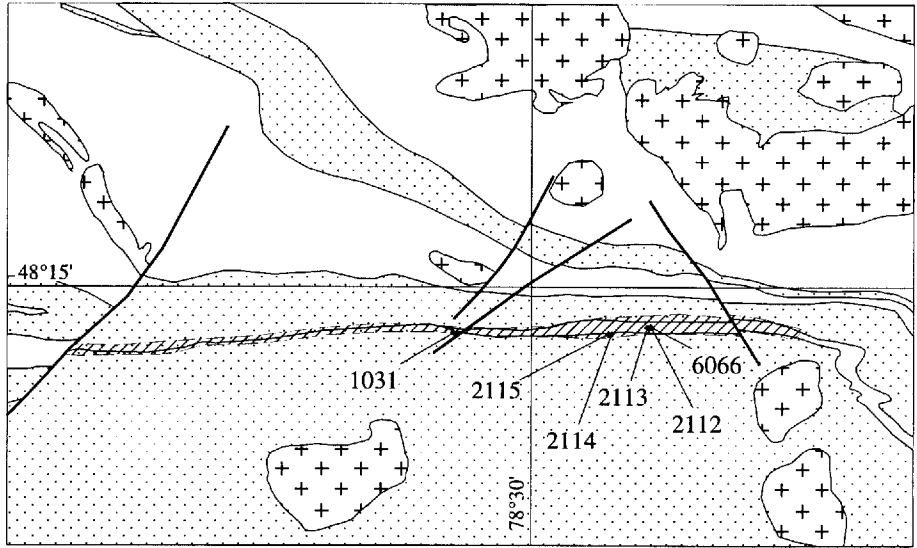


Nom Cadillac-centre-ouest	Autre(s) nom(s): Cadillac-Larder-Lake Zone tectonique de Cadillac	No 102
--	--	-------------------------

Sommaire géologique



0 km 10



Stations 1031, 2114, 2115, 2113, 6066, 2112

Nb. 6

Paramètres géométriques

Direction	085°	Largeur moy.	400 m
Famille	E-W	Largeur max.	1000 m
Concordance	Longitudinale	Longueur	40 km

Indice déform. moy. (ID)
3

Fabriques

Direction_Sp	N 260°
Pendage_Sp	88° N
Direction_Lé	N 269°
Plongée_Lé	76°
Lé Chute moy.	75°W

Protolithe	V3 (Piché)
Métamorphisme	Schistes verts
Altération	AK - CL
Encaissant N	S (Tb, Cadillac)
Encaissant S	S (Tb, Pontiac) (faciès amphibolite)

Vergence NIL

Mouvement

Comp. Mv.	---
Sens Mv.	Pendage

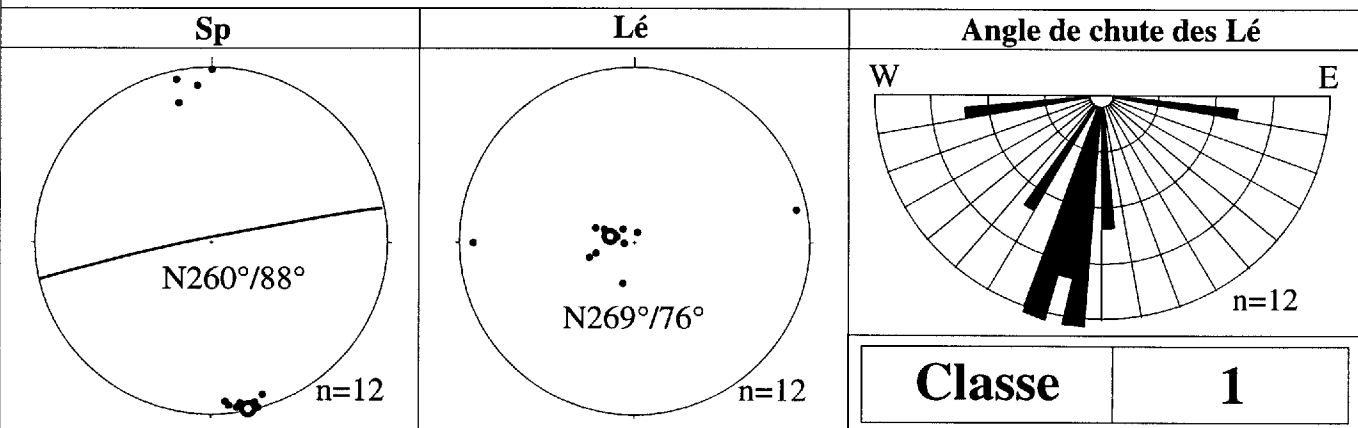
Interprétation du mouvement

- mouvement en composante pendage dominant
- mouvement en composante direction se superpose sur mouvement en composante pendage
- mouvement en composante direction associé à des indicateurs de cisaillement dextre

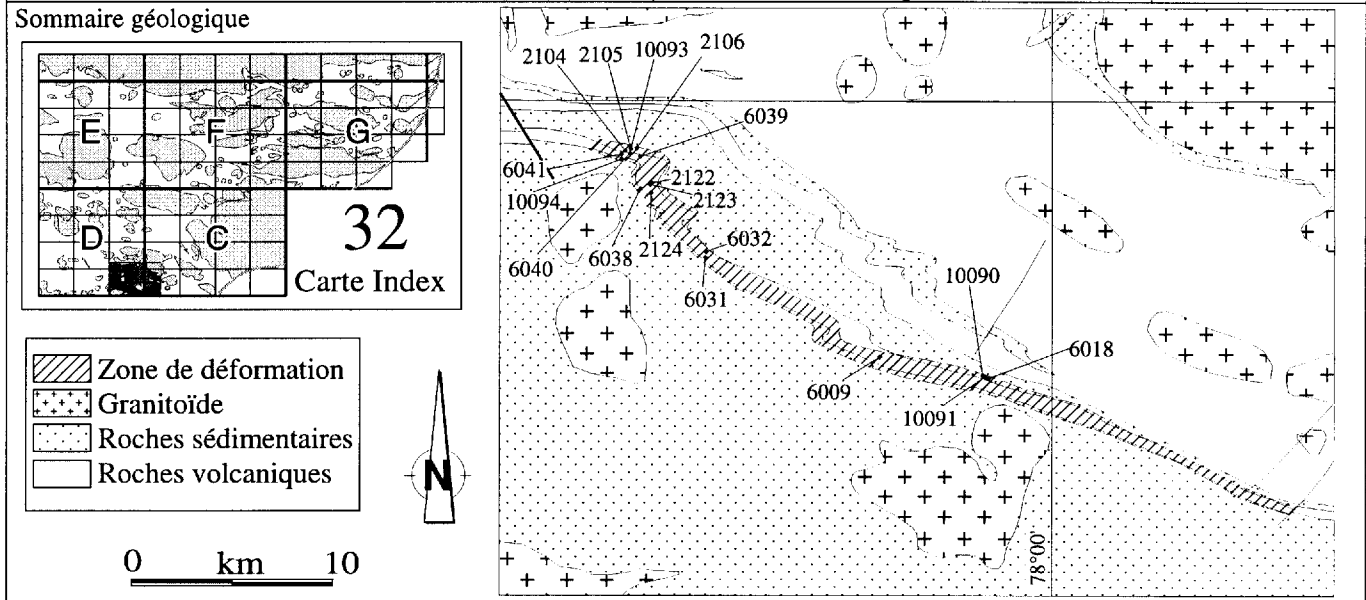
ISC
DM - PAZ

Note

Autre(s) référence(s)



Nom Cadillac-centre-est	Autre(s) nom(s): Cadillac-Larder-Lake Zone tectonique de Cadillac	No 103
--	--	-------------------------



Stations 1009, 4604, 12105, 2104, 6040, 2124, 6038, 2122, 2123, 6039, 2106, 10093, 6032, 6031, 6009, 10091, 10090, 6018	Nb. 18
--	---------------

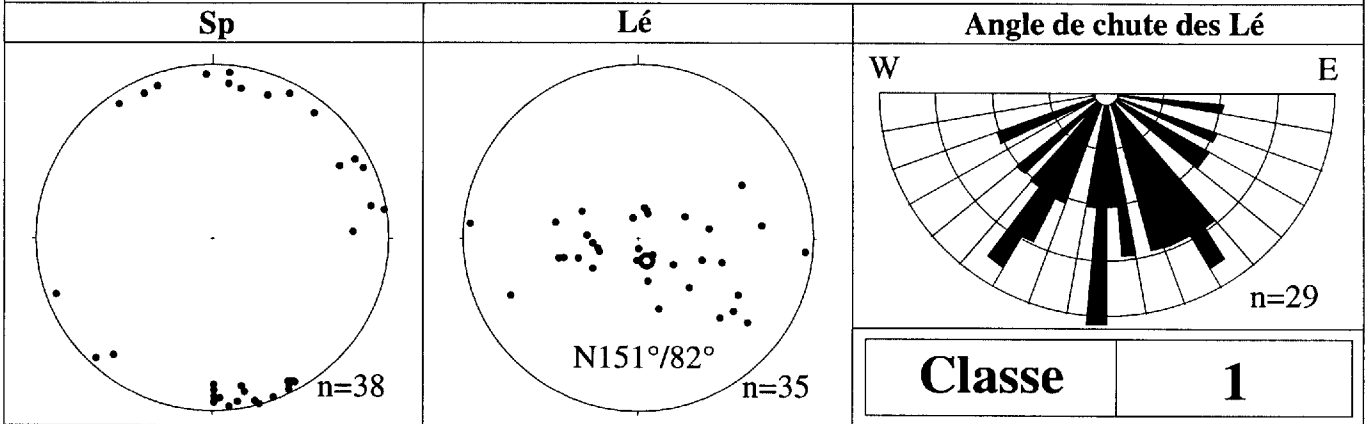
Paramètres géométriques		Indice déform. moy. (ID) 3,5	Fabriques	
Direction	110°		Direction_Sp	var.
Famille	E-W		Pendage_Sp	80°
Concordance	Longitudinale		Direction_Lé	N 151°
	Largeur moy.	500 m	Plongée_Lé	82°
	Largeur max.	1100 m	Lé Chute moy.	82°E
	Longueur	81 km	Vergence NIL	
Protolithe	S1- S4D- S6 - V3 (Piché)		Mouvement	
Métamorphisme	Schistes verts à Amphibolite		Comp. Mv.	Oblique-Direction
Altération	AK (TL-CL)		Sens Mv.	Dextre
Encaissant N	V3 - V4A (Piché) - S (Tb, Cadillac)			
Encaissant S	S (Tb, Pontiac) (faciès amphibolite)			

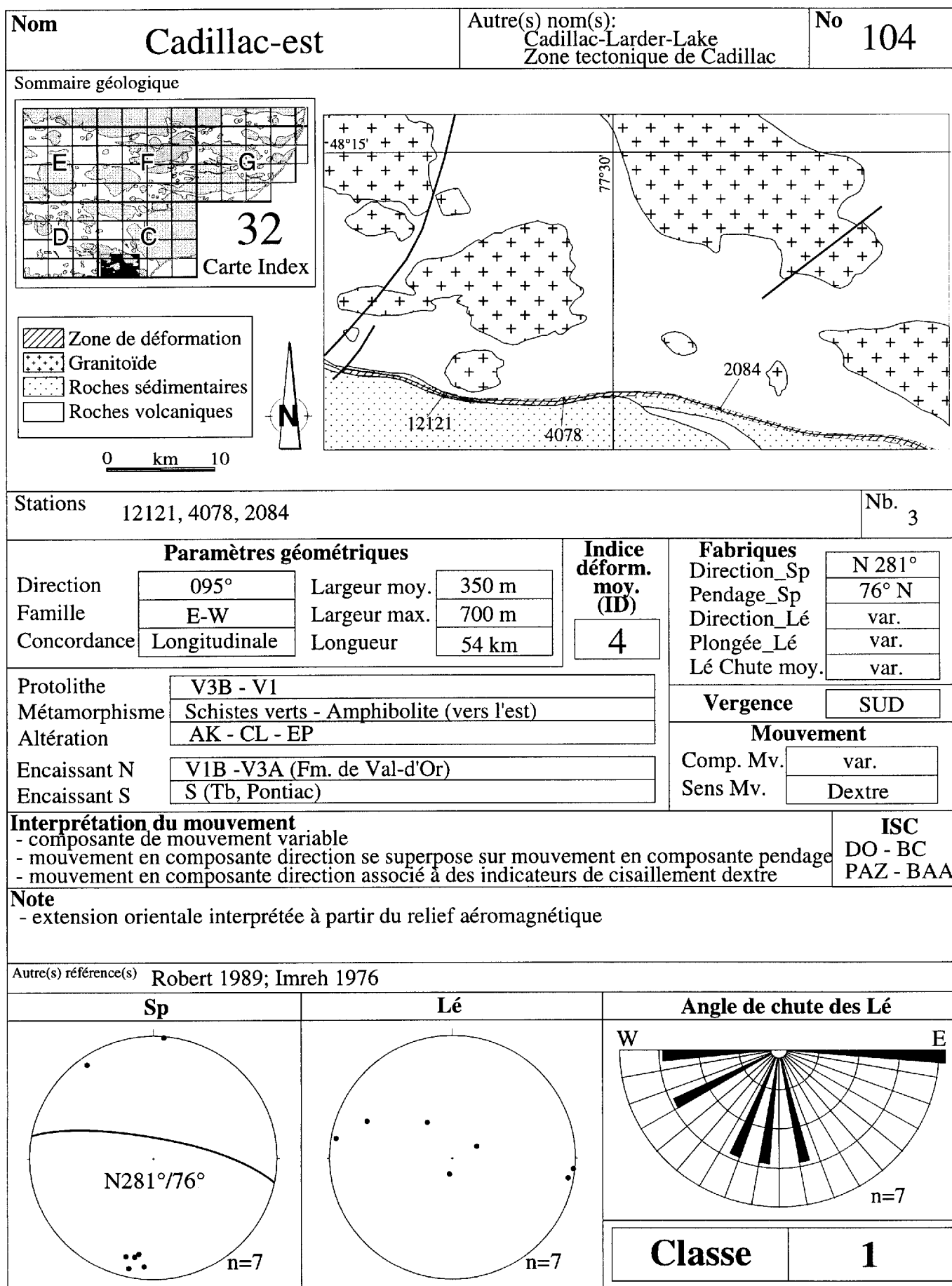
Interprétation du mouvement	ISC
- mouvement en composante pendage dominant, mais forte variation des Lé	PAZ -BC
- mouvement en composante direction se superpose sur mouvement en composante pendage	DM
- mouvement en composante direction associé à des indicateurs de cisaillement dextre	

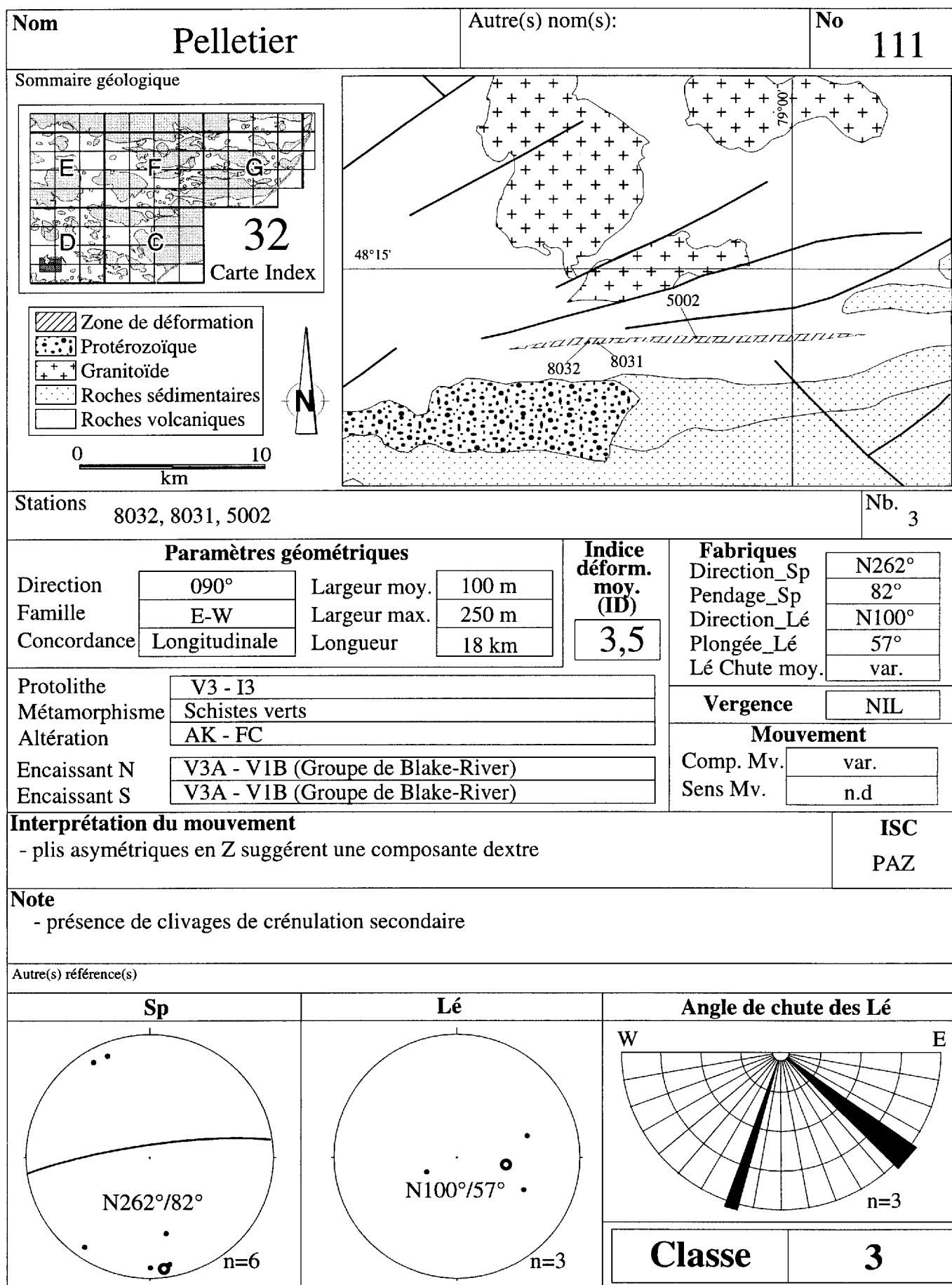
Note

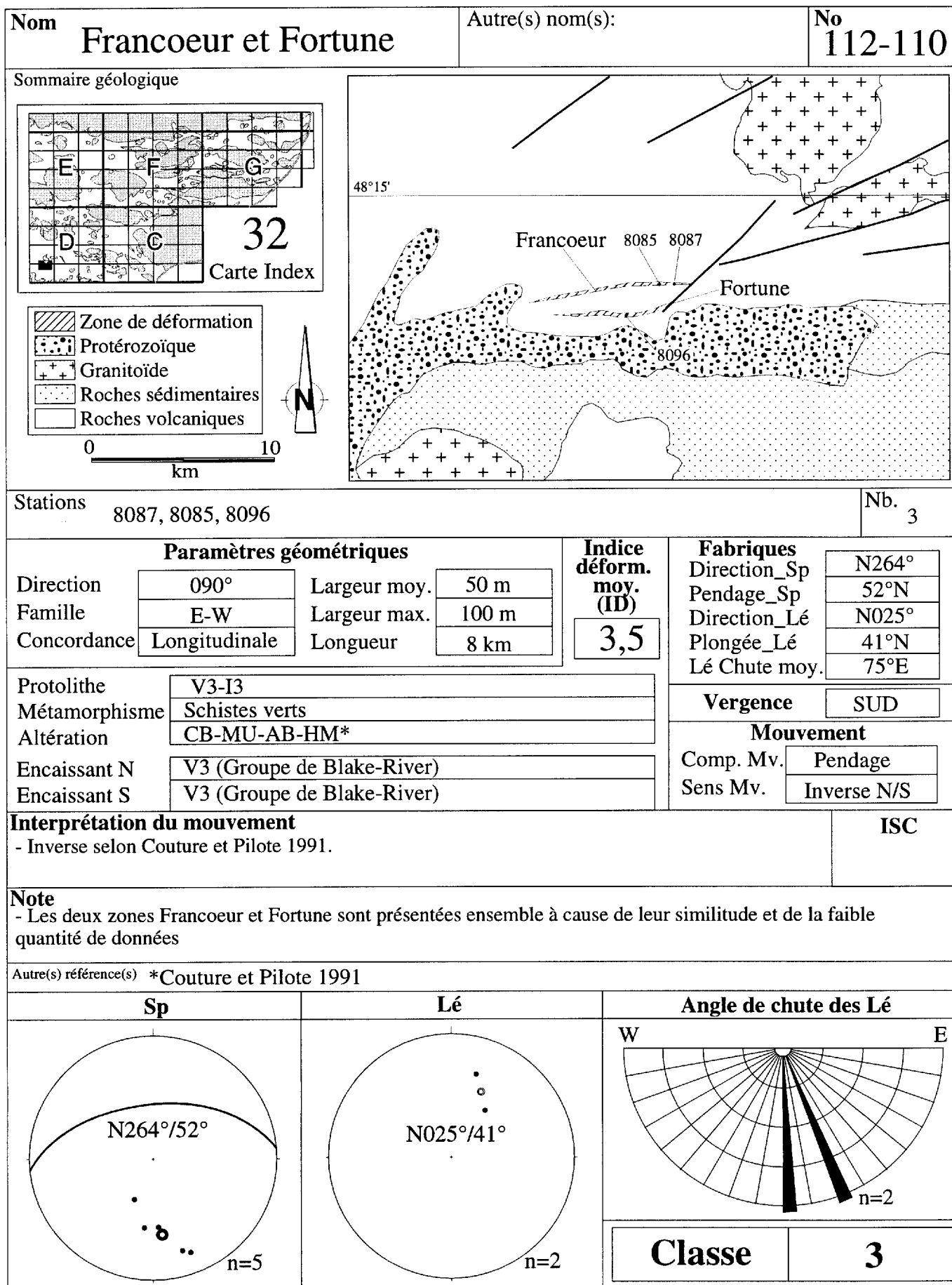
- fabrique principale plissée; plissement asymétrique en Z commun
- présence locale d'un clivage de crénulation E-W
- aiguilles de hornblende communes

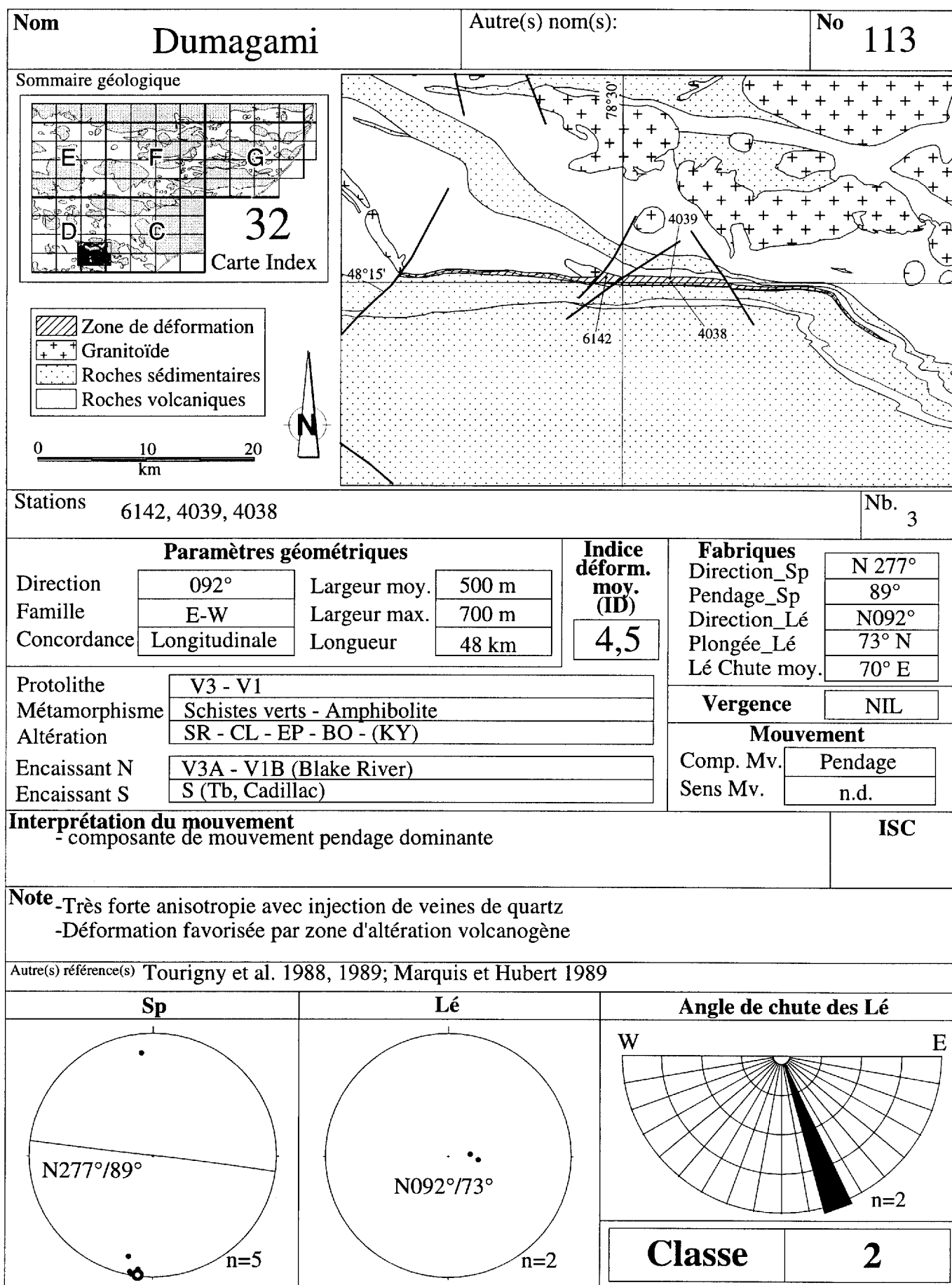
Autre(s) référence(s) Bouchard 1979, 1980; Gunning et Ambrose 1940

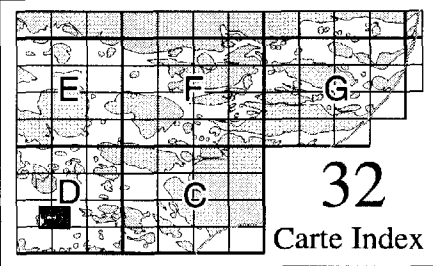
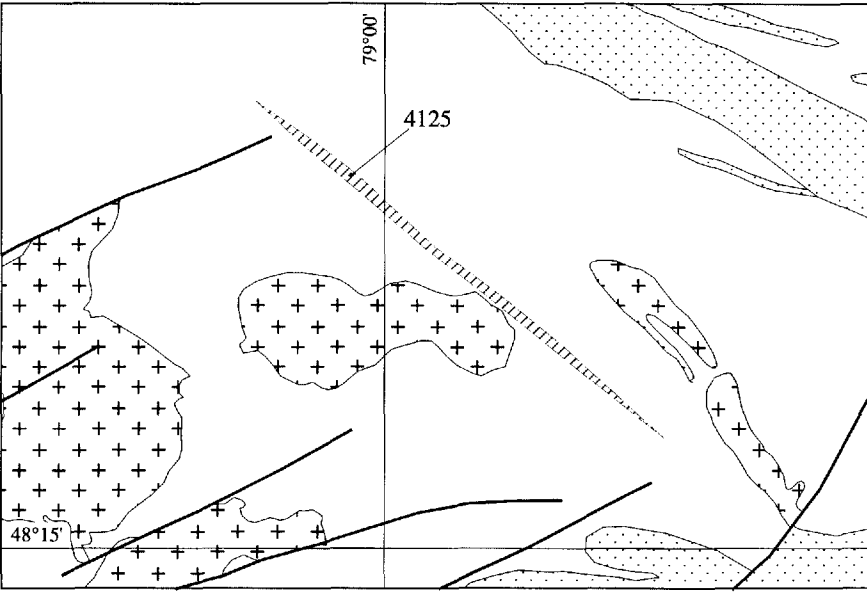
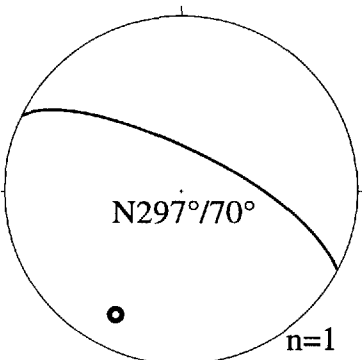
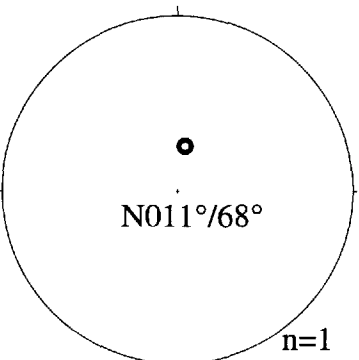
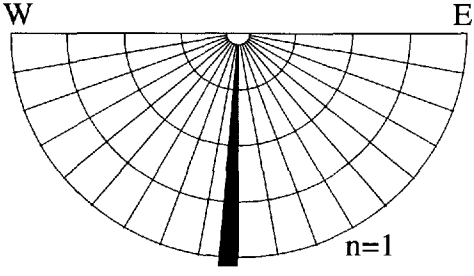






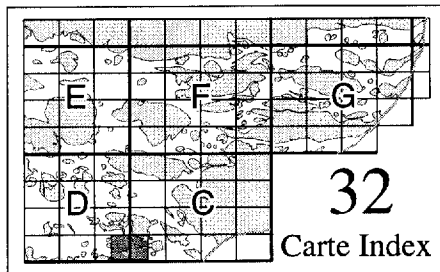




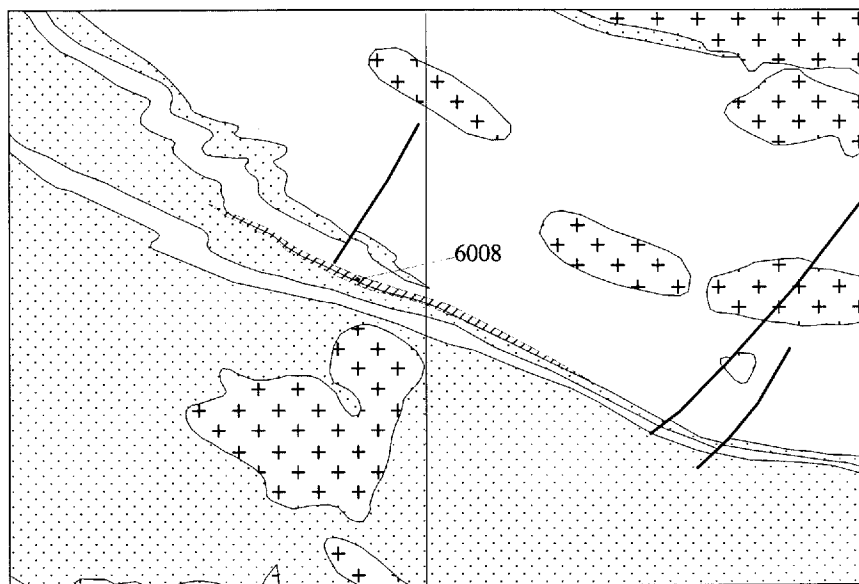
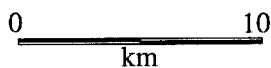
Nom Dalembert		Autre(s) nom(s):		No 114			
Sommaire géologique							
 <p>32 Carte Index</p>							
<p>0 10 km</p>							
Stations 4125					Nb. 1		
Paramètres géométriques			Indice déform. moy. (ID) 3,5	Fabriques			
Direction	130°	Largeur moy.		200 m	Direction_Sp	N297°	
Famille	SE	Largeur max.	300 m	Pendage_Sp	70°N		
Concordance	Longitudinale	Longueur	20 km	Direction_Lé	N011°		
			<td>Plongée_Lé</td> <td>68°N</td>			Plongée_Lé	68°N
			<td>Lé Chute moy.</td> <td>85°W</td>			Lé Chute moy.	85°W
Protolithe: V3 Métamorphisme: Schistes verts Altération: AK			Vergence SUD				
Encaissant N: V3A - V1B (Groupe de Blake-River) Encaissant S: V3A - V1B (Groupe de Blake-River)			Mouvement Comp. Mv.: Pendage Sens Mv.: n.d.				
Interprétation du mouvement					ISC		
Note							
Autre(s) référence(s)							
Sp		Lé		Angle de chute des Lé			
							
				Classe 3			

Nom **Roc d'or** Autre(s) nom(s): No **120**

Sommaire géologique



- Zone de déformation
- Granitoïde
- Roches sédimentaires
- Roches volcaniques



Stations 6008

Nb. 1

Paramètres géométriques

Direction	115°	Largeur moy.	150 m
Famille	SE	Largeur max.	200 m
Concordance	Longitudinale	Longueur	17 km

Indice déform. moy. (ID)

4

Fabriques

Direction_Sp	N 297°
Pendage_Sp	86°N
Direction_Lé	N 113°
Plongée_Lé	12°
Lé Chute moy.	10°E

Vergence NIL

Mouvement

Comp. Mv.	Direction
Sens Mv.	n.d.

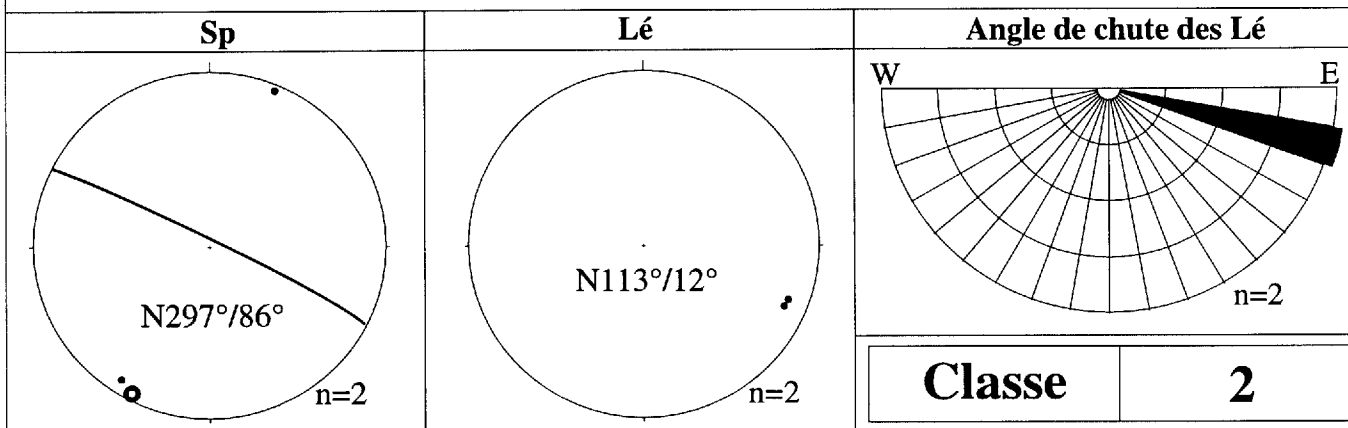
Protolithe	V3
Métamorphisme	Amphibolite
Altération	
Encaissant N	V3B - V4A (Groupe de Malartic) (Am)
Encaissant S	S (Tb, Groupe de Cadillac) (Am)

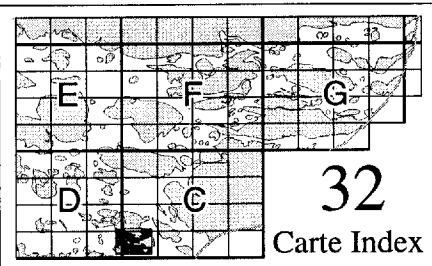
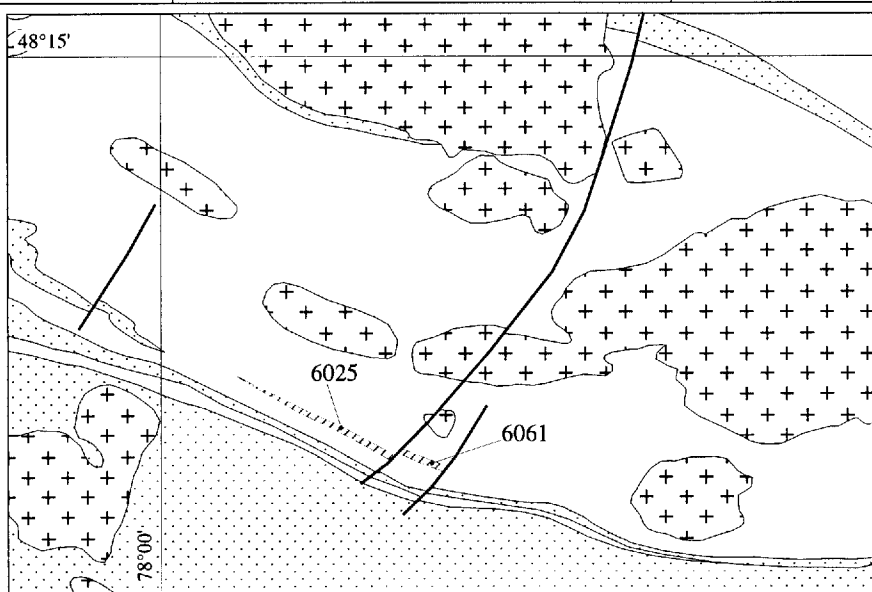
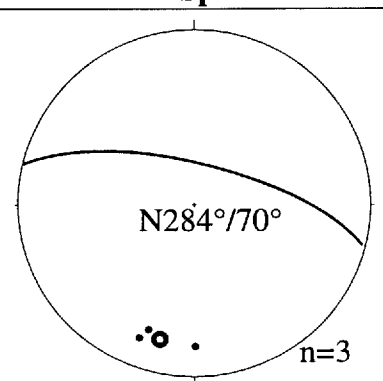
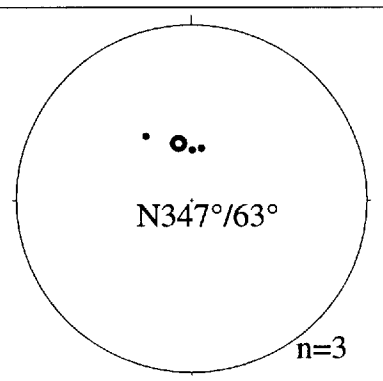
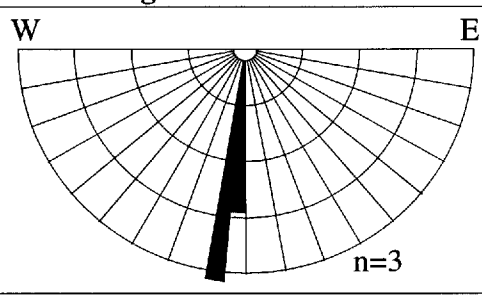
Interprétation du mouvement

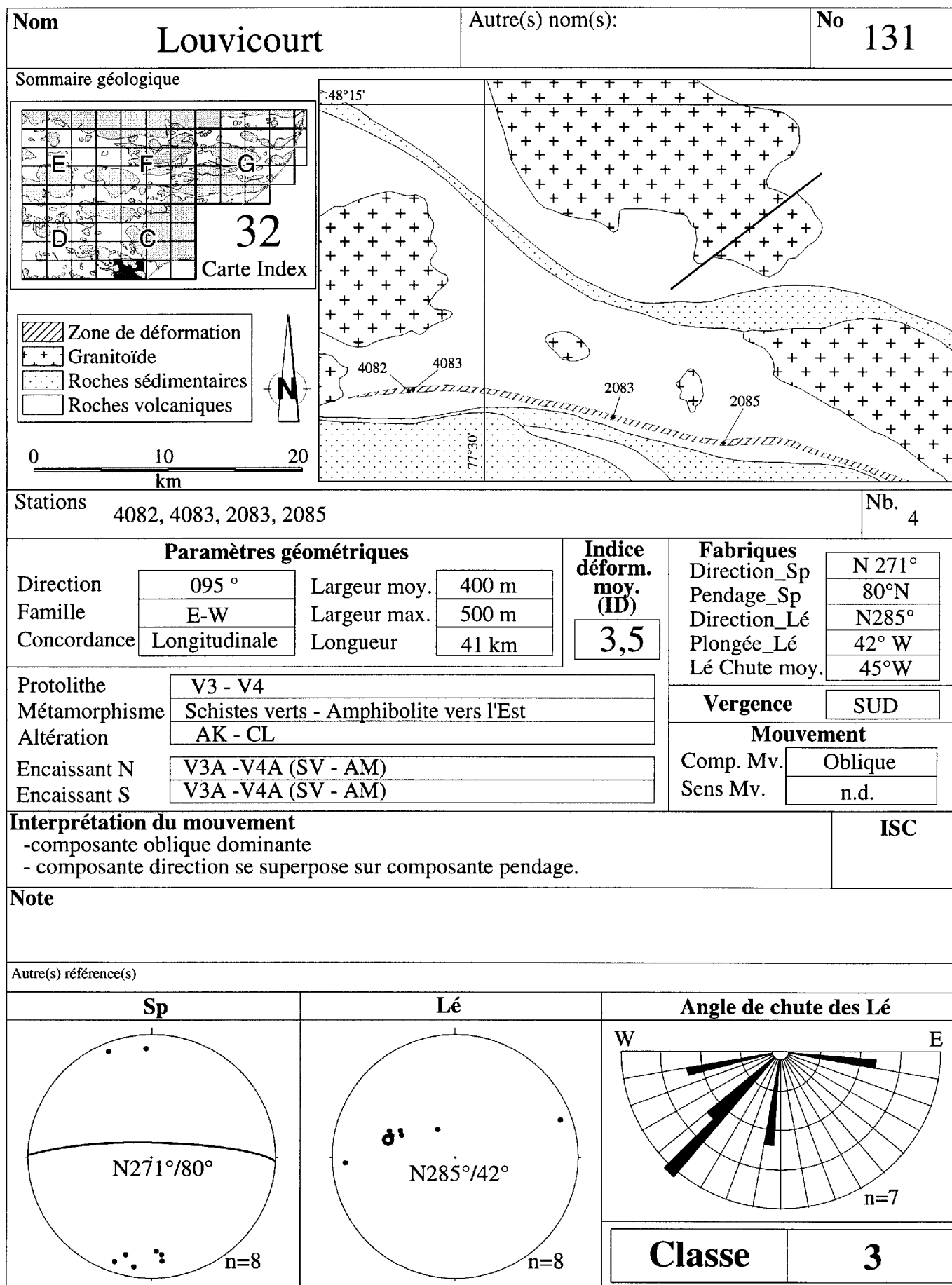
ISC

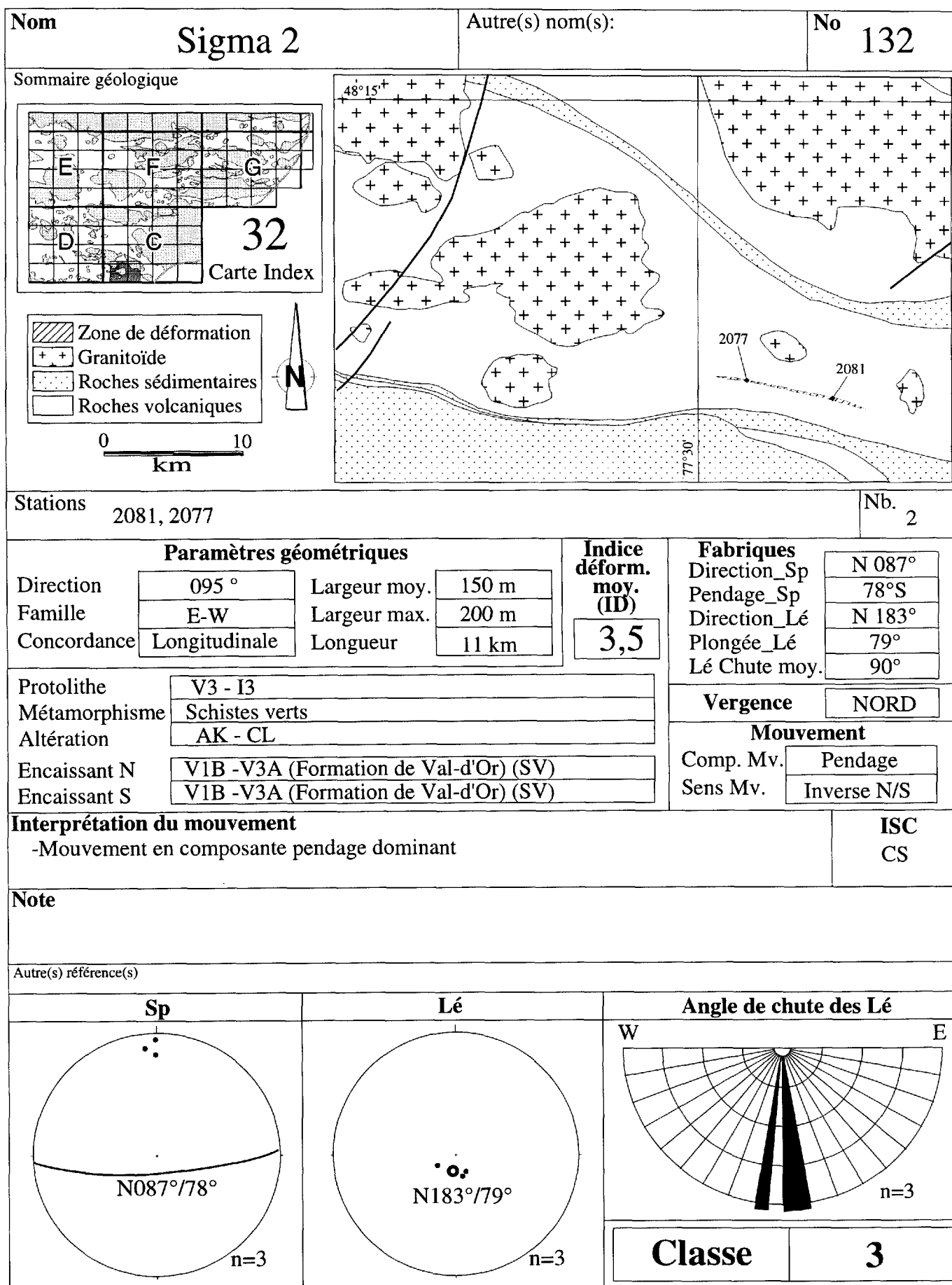
Note

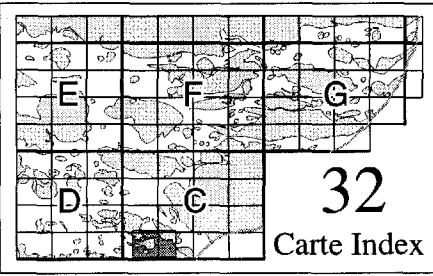
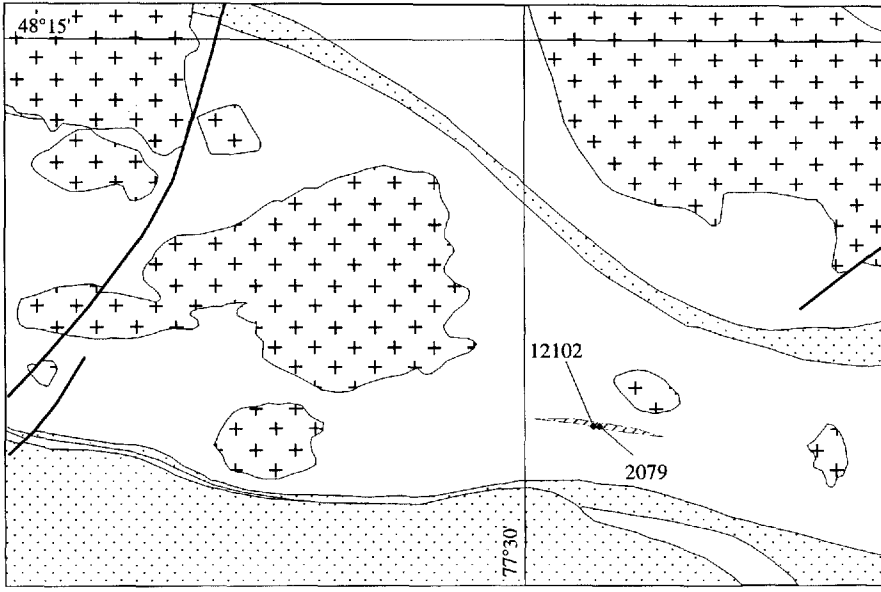
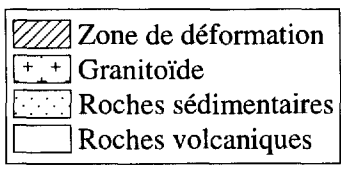
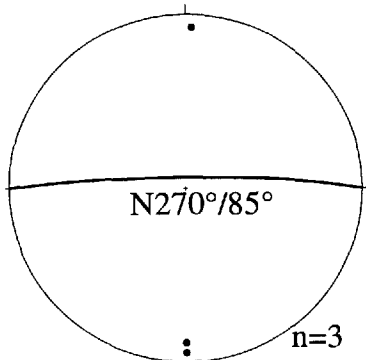
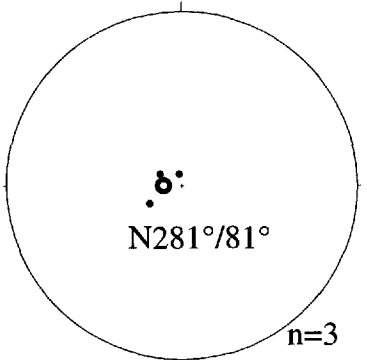
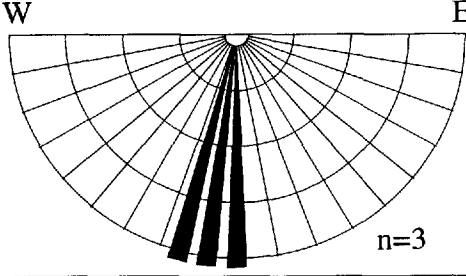
Autre(s) référence(s)



Nom Joubi		Autre(s) nom(s):		No 129	
Sommaire géologique					
 <p>32 Carte Index</p>					
Stations 6025, 6061				Nb. 2	
Paramètres géométriques			Indice déform. moy. (ID) 3,5	Fabriques	
Direction	115°	Largeur moy.		200 m	Direction_Sp
Famille	SE	Largeur max.	300 m	Pendage_Sp	70°N
Concordance	Longitudinale	Longueur	10 km	Direction_Lé	N347°
				Plongée_Lé	63°N
				Lé Chute moy.	82°W
Protolithe	V3			Vergence SUD	
Métamorphisme	Schistes verts			Mouvement	
Altération	AK			Comp. Mv.	Pendage
Encaissant N	V3 (Groupe de Malartic)			Sens Mv.	n.d.
Encaissant S	V3 (Groupe de Malartic)				
Interprétation du mouvement				ISC	
Note					
Autre(s) référence(s) Desrochers et al. 1991					
Sp		Lé		Angle de chute des Lé	
					
				Classe 3	

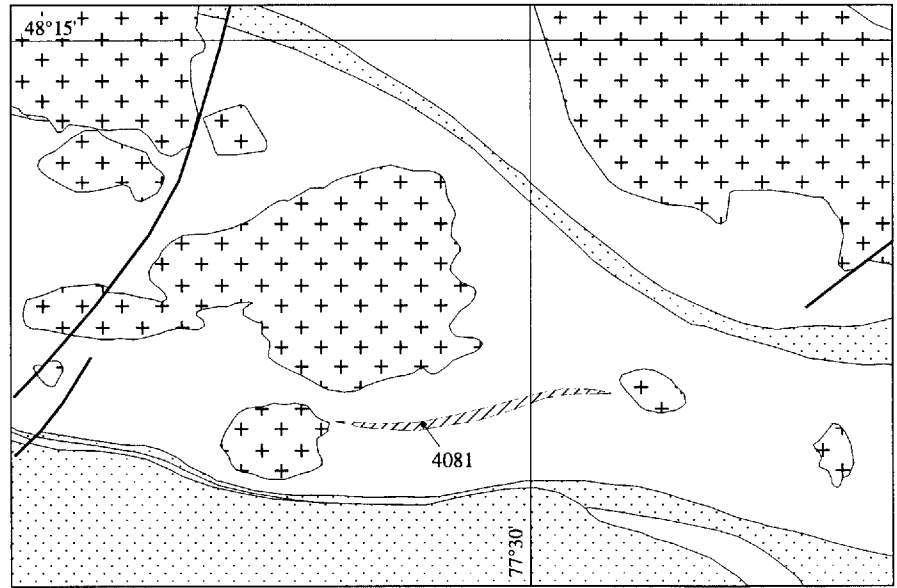
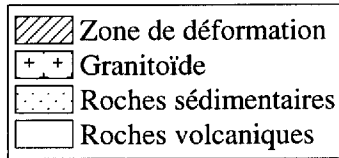
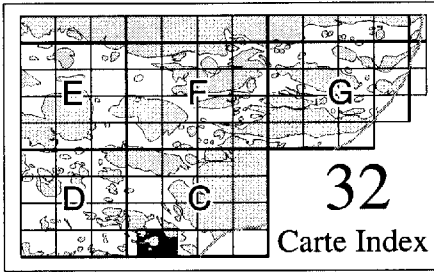




Nom Sleepy		Autre(s) nom(s):		No 133		
Sommaire géologique						
 <p>32 Carte Index</p>						
 <p>0 10 20 km</p>		<p>Stations 12102, 2079</p>				
				Nb. 2		
Paramètres géométriques			Indice déform. moy. (ID) 3,5	Fabriques		
Direction	090 °	Largeur moy.		200 m	Direction_Sp	N 270°
Famille	E-W	Largeur max.	300 m	Pendage_Sp	85°	
Concordance	Longitudinale	Longueur	6 km	Direction_Lé	N 281°	
				Plongée_Lé	81°	
				Lé Chute moy.	85°W	
Protolithe	V1 - V2					
Métamorphisme	Schistes verts					
Altération	SR - AK					
Encaissant N	V1B - V3A (Formation de Val-d'Or) (SV)					
Encaissant S	V1B - V3A (Formation de Val-d'Or) (SV)					
				Vergence	NIL	
				Mouvement		
				Comp. Mv.	Pendage	
				Sens Mv.	n.d.	
Interprétation du mouvement					ISC	
Note						
Autre(s) référence(s)						
Sp		Lé		Angle de chute des Lé		
 <p>N270°/85° n=3</p>		 <p>N281°/81° n=3</p>		 <p>n=3</p>		
				Classe	3	

Nom Dunraine	Autre(s) nom(s):	No 134
---	-------------------------	---

Sommaire géologique



Stations 4081	Nb. 1
----------------------	--------------

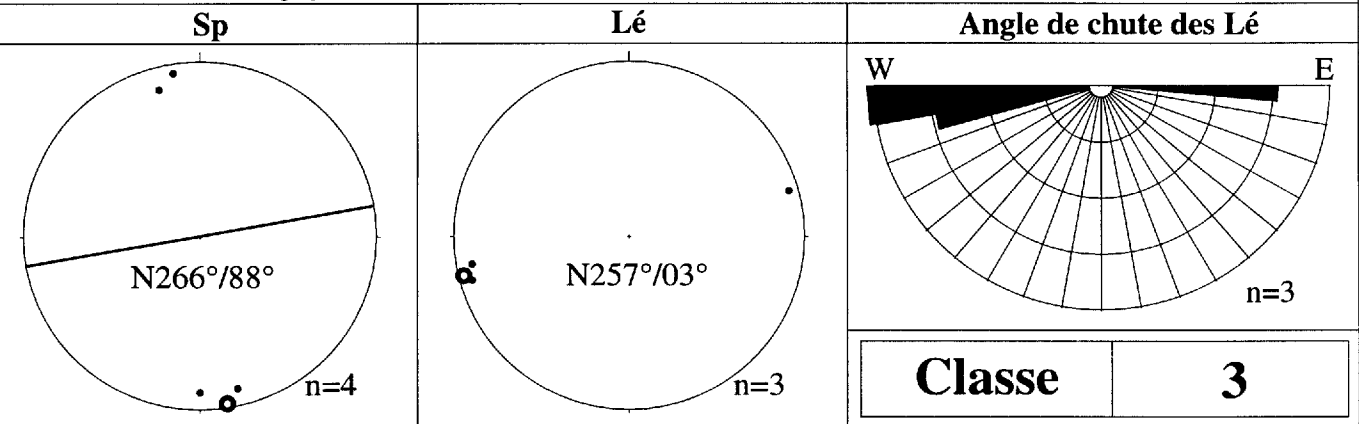
Paramètres géométriques				Indice déform. moy. (ID) 3,5	Fabriques		
Direction	080 °	Largeur moy.	400 m		Direction_Sp	N 266°	
Famille	E-W	Largeur max.	500 m		Pendage_Sp	88°	
Concordance	Longitudinale	Longueur	11 km		Direction_Lé	N 257°	
						Plongée_Lé	03°
						Lé Chute moy.	03°W

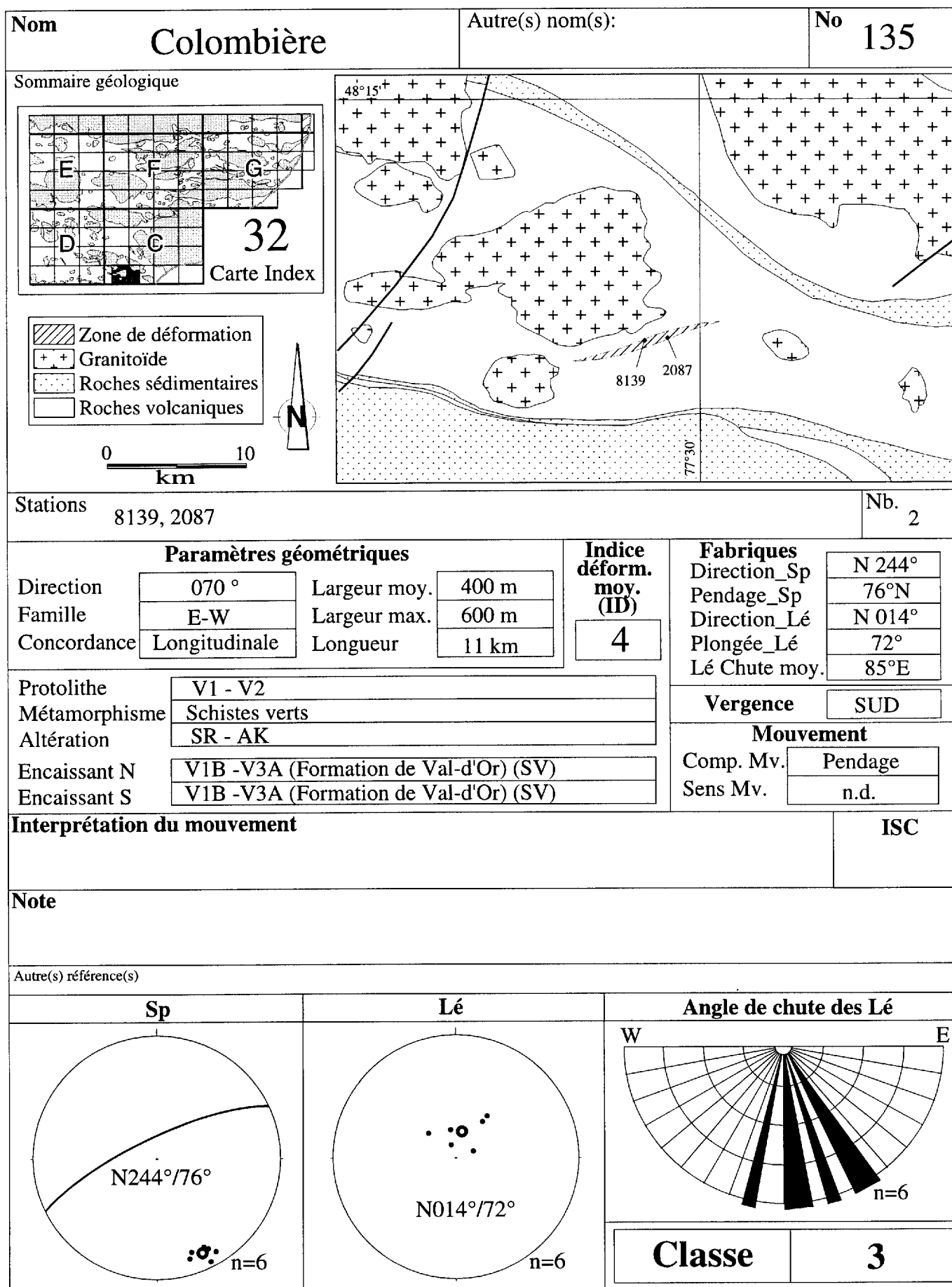
Protolithe	V1		
Métamorphisme	Schistes verts	Vergence NIL	
Altération	SR	Mouvement	
Encaissant N	V1B -V3A (Formation de Val-d'Or) (SV)	Comp. Mv.	Direction
Encaissant S	V1B -V3A (Formation de Val-d'Or) (SV)	Sens Mv.	Dextre

Interprétation du mouvement	ISC BC - IRS
------------------------------------	------------------------

Note

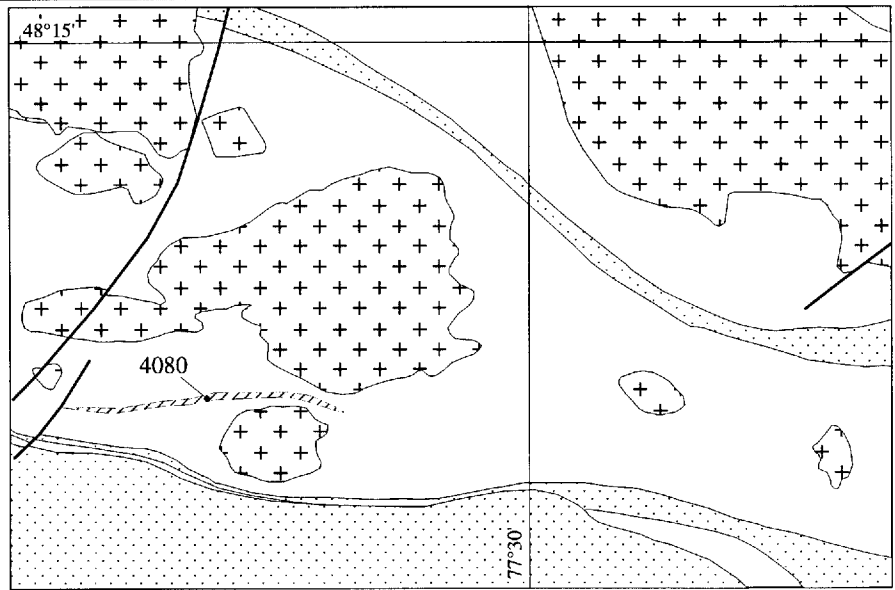
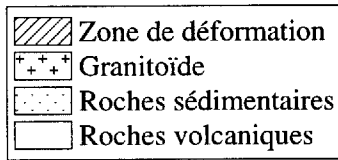
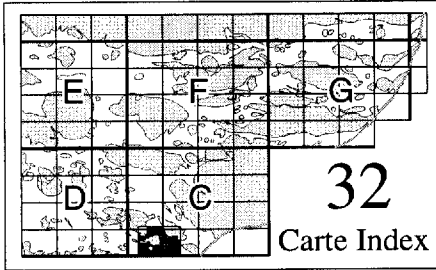
Autre(s) référence(s) Tourigny 1995





Nom Aumaque	Autre(s) nom(s):	No 136
--	-------------------------	---

Sommaire géologique



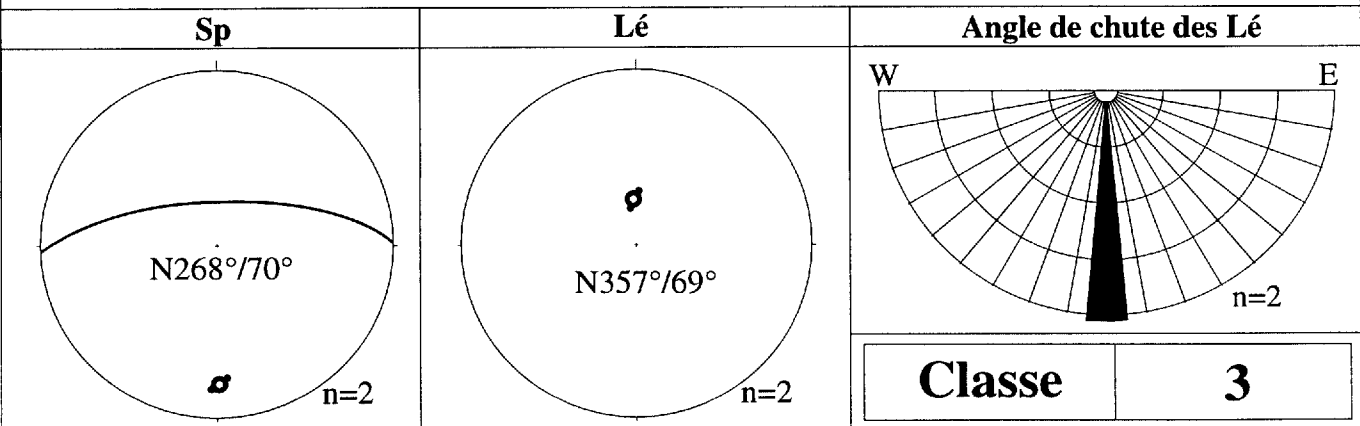
Stations 4080	Nb. 1
--	--

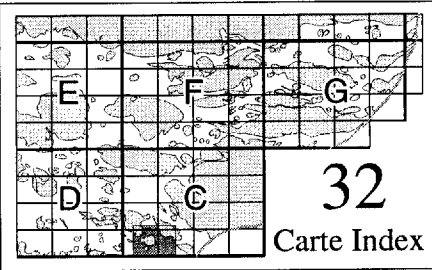
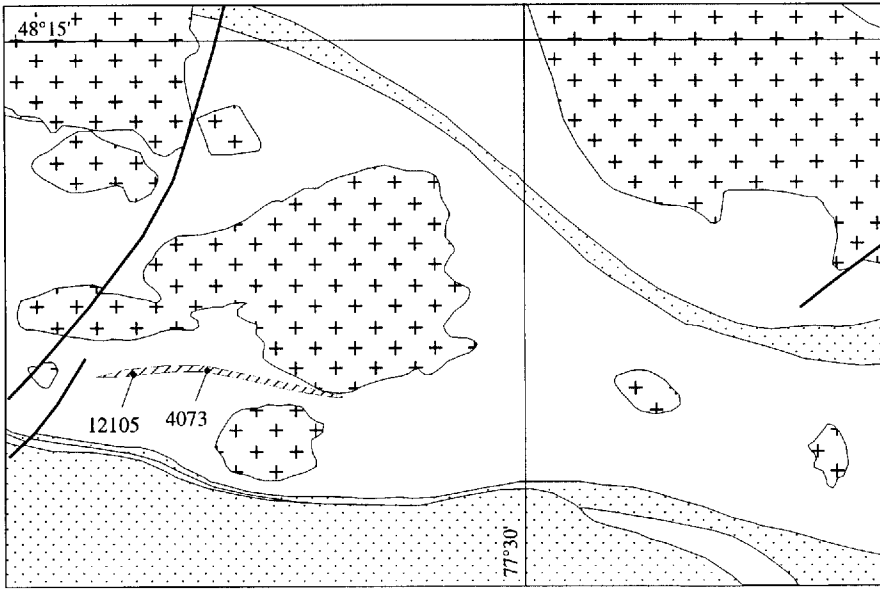
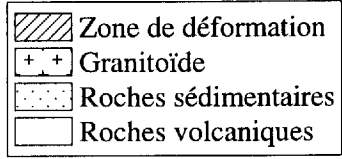

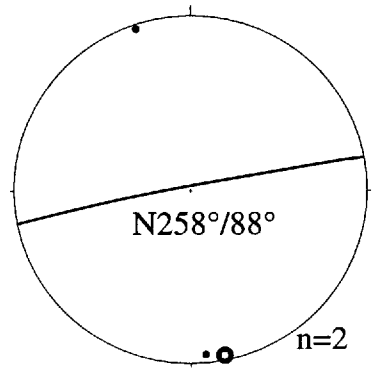
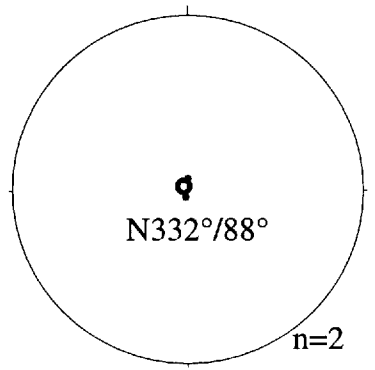
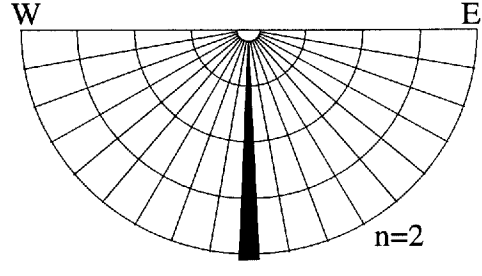
Paramètres géométriques				Indice déform. moy. (ID) 3,5	Fabriques		
Direction	085 °	Largeur moy.	200 m		Direction_Sp	N 268°	
Famille	E-W	Largeur max.	200 m		Pendage_Sp	70°N	
Concordance	Longitudinale	Longueur	14 km		Direction_Lé	N 357°	
						Plongée_Lé	69°
						Lé Chute moy.	90°
Protolithe	V1					Vergence SUD	
Métamorphisme	Schistes verts					Mouvement	
Altération	SR					Comp. Mv.	Pendage
Encaissant N	V1B -V3A (Formation de Val-d'Or) (SV)					Sens Mv.	n.d.
Encaissant S	V1B -V3A (Formation de Val-d'Or) (SV)						

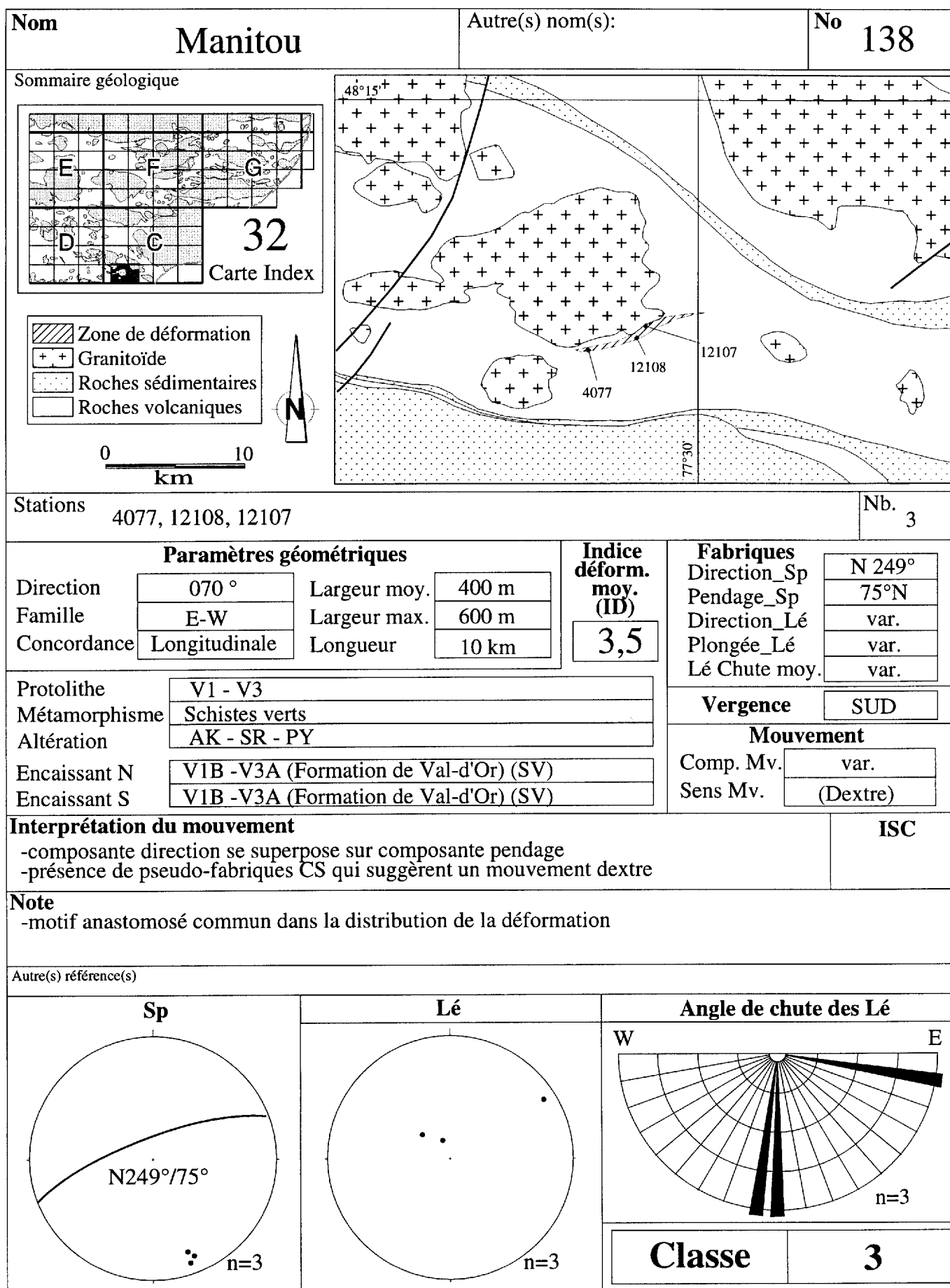
Interprétation du mouvement	ISC
------------------------------------	------------

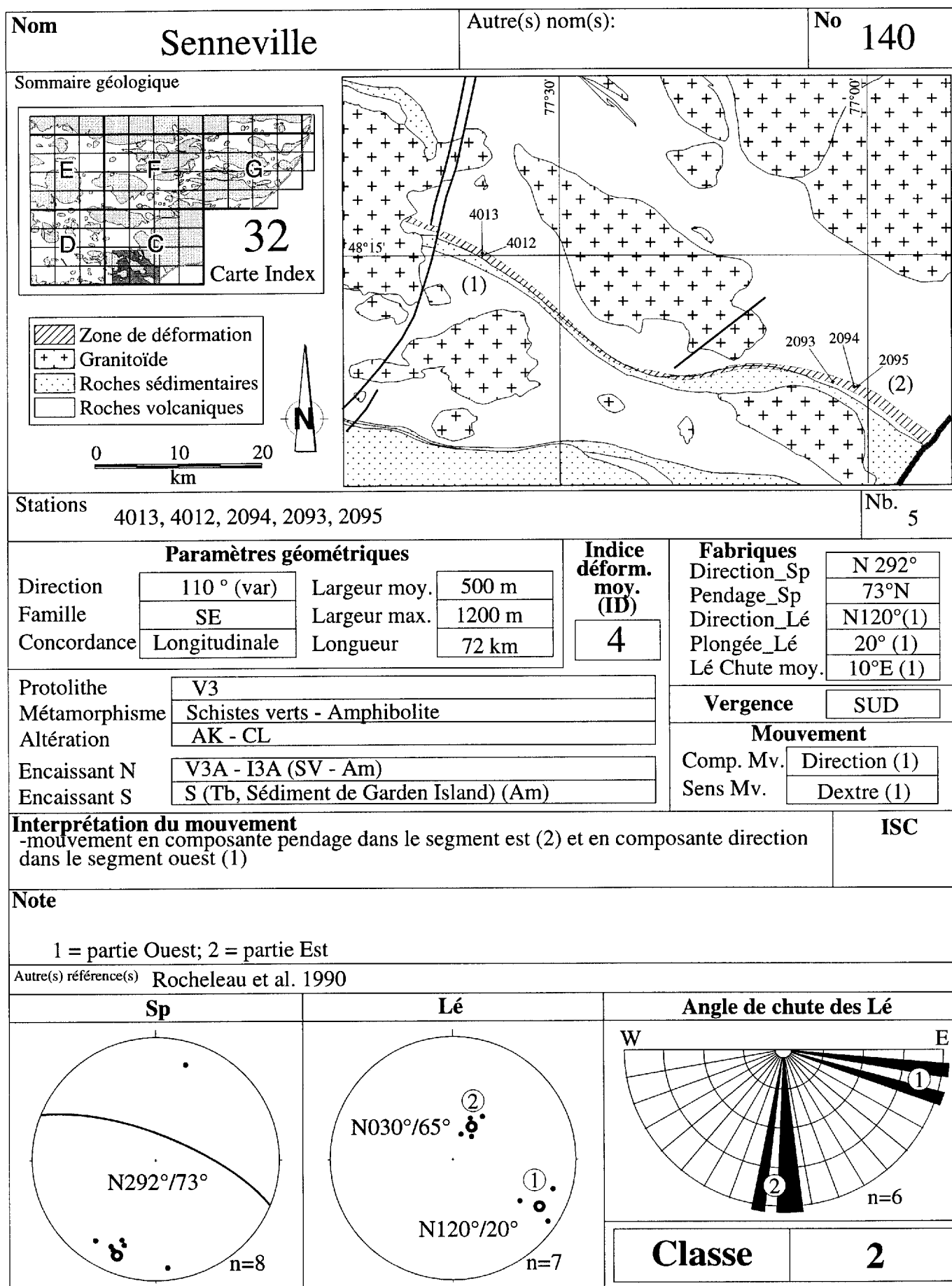
Note

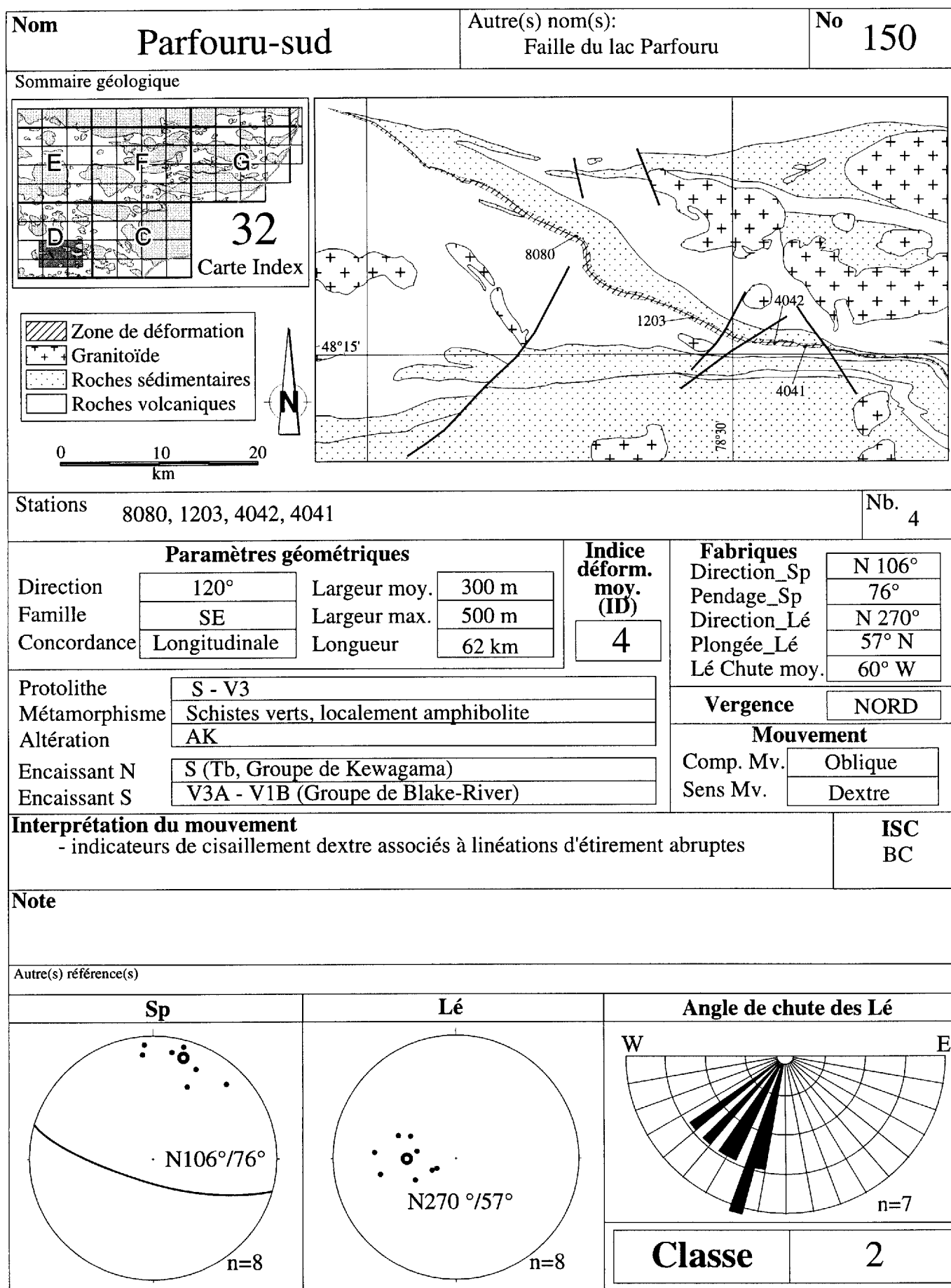
Autre(s) référence(s)

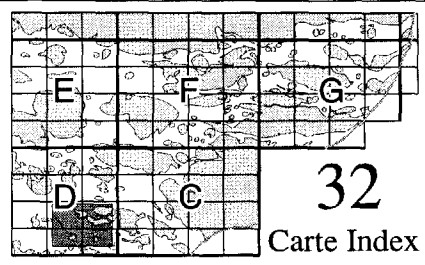
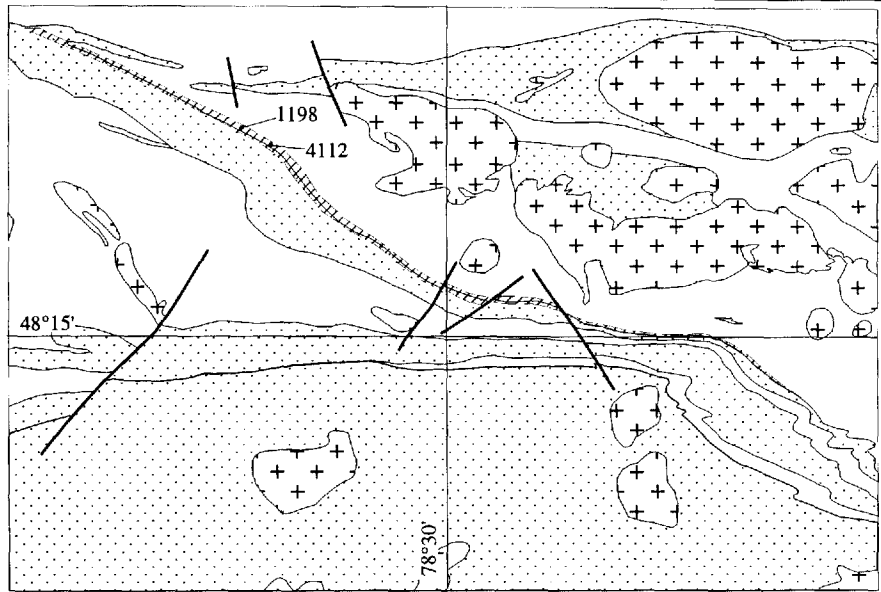
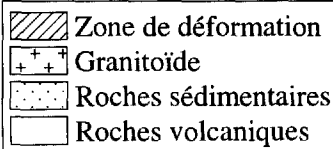

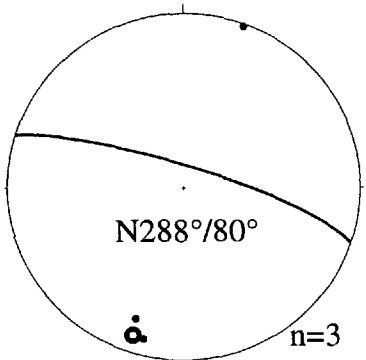
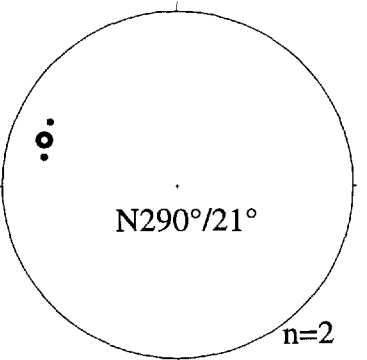
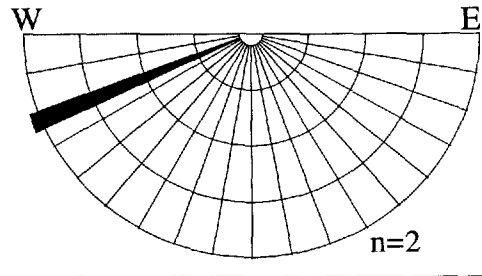


Nom Sigma Sud		Autre(s) nom(s):		No 137		
Sommaire géologique						
 <p>32 Carte Index</p>						
						
Stations 12105, 4073					Nb. 2	
Paramètres géométriques				Indice déform. moy. (ID) 3,5	Fabriques	
Direction	085 °	Largeur moy.	100 m		Direction_Sp	N 258°
Famille	E-W	Largeur max.	200 m	Pendage_Sp	88°	
Concordance	Longitudinale	Longueur	14 km	Direction_Lé	N 332°	
					Plongée_Lé	88°
					Lé Chute moy.	90°
Protolithe	V3 - I3					
Métamorphisme	Schistes verts					
Altération	AK - CL					
Encaissant N	V1B - V3A (Formation de Val-d'Or) (SV)					
Encaissant S	V1B - V3A (Formation de Val-d'Or) (SV)					
					Vergence	NIL
					Mouvement	
					Comp. Mv.	Pendage
					Sens Mv.	n.d.
Interprétation du mouvement					ISC	
Note						
Autre(s) référence(s)						
Sp		Lé		Angle de chute des Lé		
						
				Classe	3	



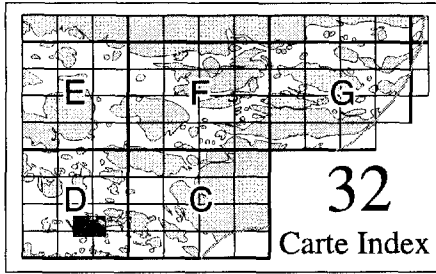




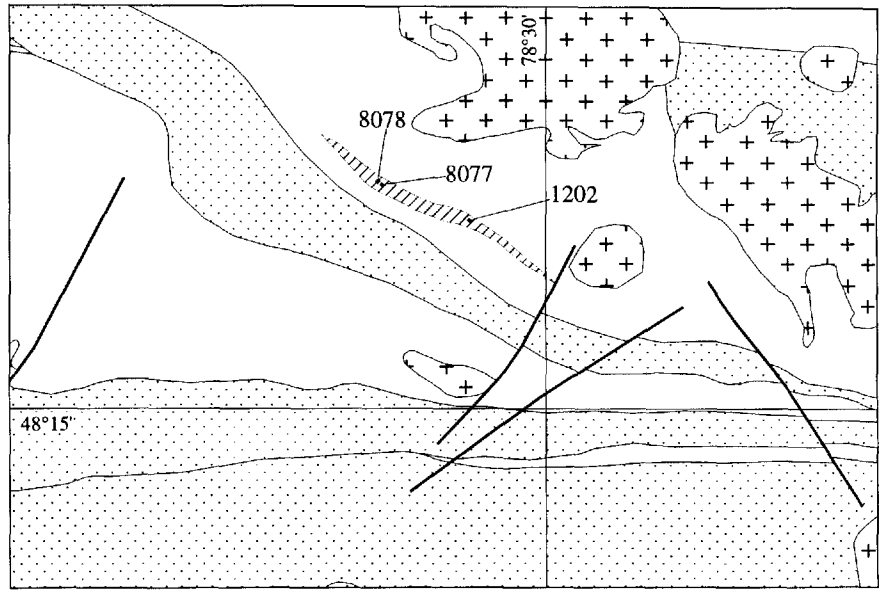
Nom Parfouru-nord		Autre(s) nom(s): Faille du lac Parfouru		No 151	
Sommaire géologique					
 <p>32 Carte Index</p>					
<p>  </p> <p>0 10 20 km</p>					
Stations 1198, 4112					Nb. 2
Paramètres géométriques			Indice déform. moy. (ID) 4	Fabriques	
Direction	120°	Largeur moy.		400 m	Direction_Sp
Famille	SE	Largeur max.	600 m	Pendage_Sp	80° N
Concordance	Longitudinale	Longueur	52 km	Direction_Lé	N 290°
				Plongée_Lé	21° N
				Lé Chute moy.	21° E
Protolithe	V3-V1		Vergence SUD		
Métamorphisme	Schistes verts		Mouvement		
Altération	SR - CL		Comp. Mv.	Direction	
Encaissant N	V3B - V4A		Sens Mv.	n.d.	
Encaissant S	S (Tb, Groupe de Kewagama)				
Interprétation du mouvement					ISC
Note					
Autre(s) référence(s)					
Sp		Lé		Angle de chute des Lé	
 <p>N288°/80° n=3</p>		 <p>N290°/21° n=2</p>		 <p>W E n=2</p>	
Classe				2	

Nom <h1 style="text-align: center;">La Pause</h1>	Autre(s) nom(s):	No <h1 style="text-align: center;">152</h1>
---	-------------------------	---

Sommaire géologique



- Zone de déformation
- Granitoïde
- Roches sédimentaires
- Roches volcaniques



Stations 1202, 8078, 8077	Nb. 3
----------------------------------	--------------

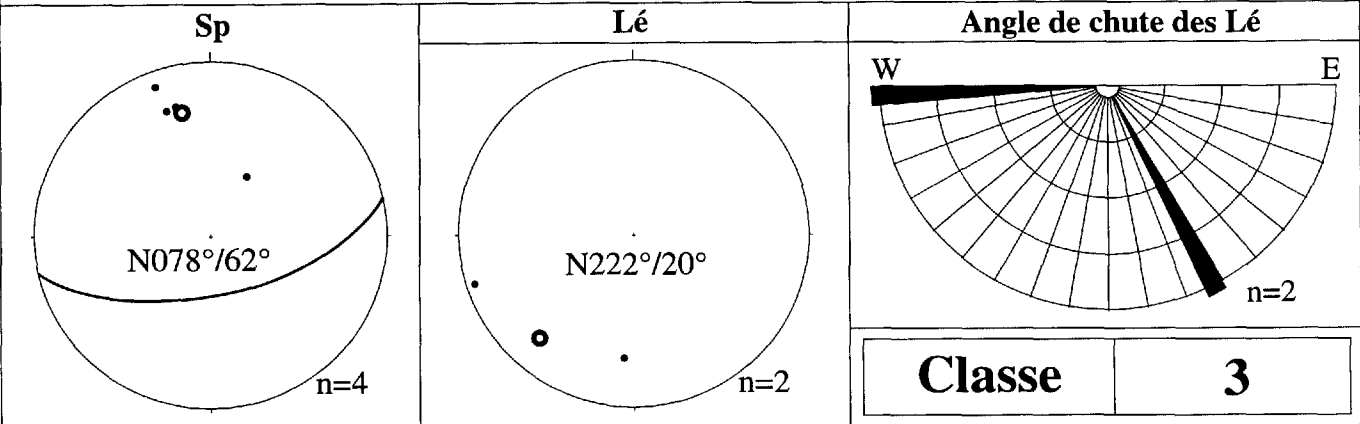
Paramètres géométriques			Indice déform. moy. (ID) 4	Fabriques		
Direction	120 °	Largeur moy.		300 m	Direction_Sp	N078°
Famille	SE	Largeur max.		600 m	Pendage_Sp	62°N
Concordance	Longitudinale	Longueur		10 km	Direction_Lé	n.d.
				Plongée_Lé	n.d.	
				Lé Chute moy.	n.d.	

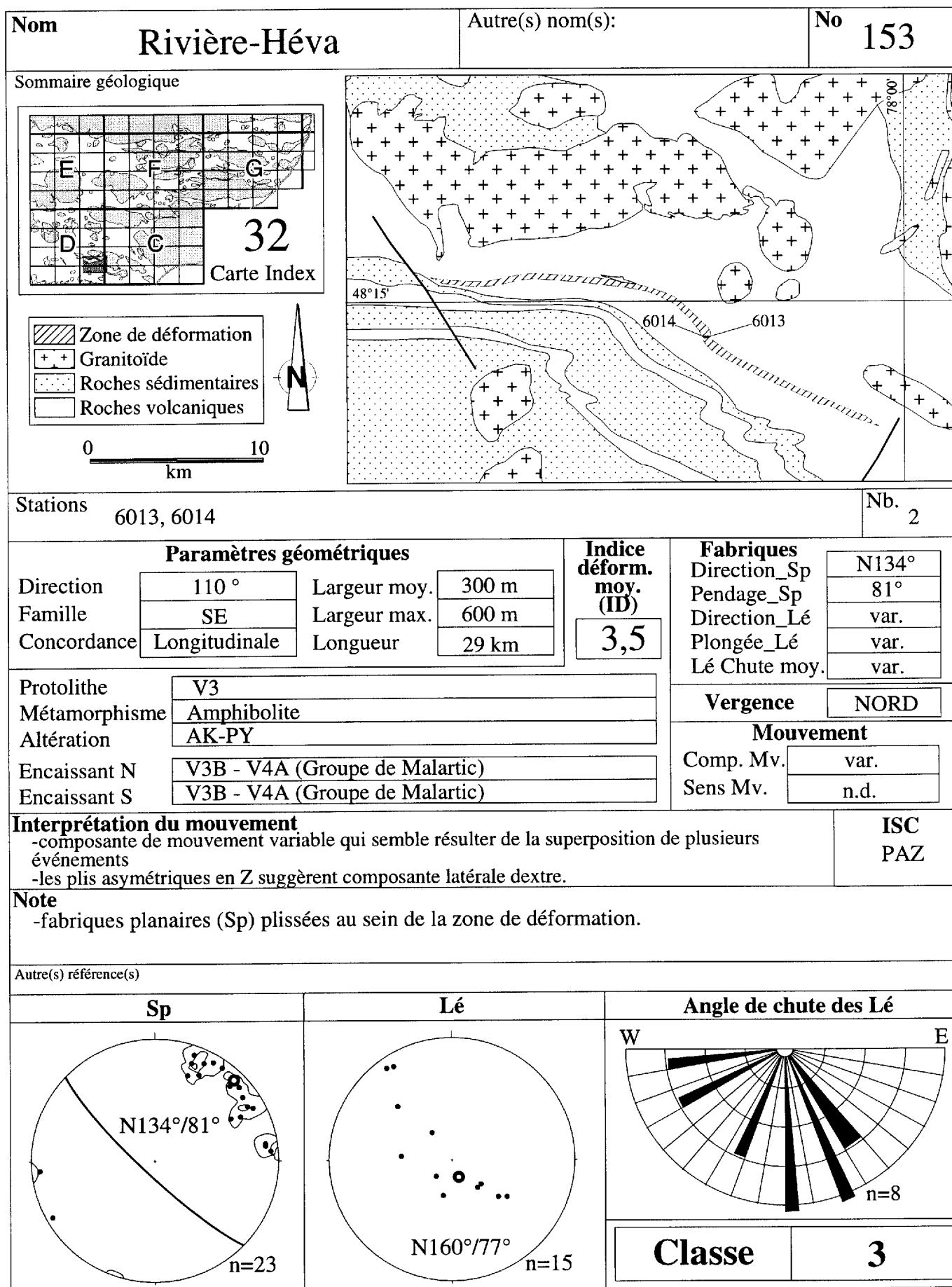
Protolithe	V3	Vergence SUD
Métamorphisme	Amphibolite	
Altération	AK-CL	
Encaissant N	V3B -V4A (Groupe de Malartic)	Mouvement Comp. Mv. n.d. Sens Mv. n.d.
Encaissant S	V3B -V4A (Groupe de Malartic)	

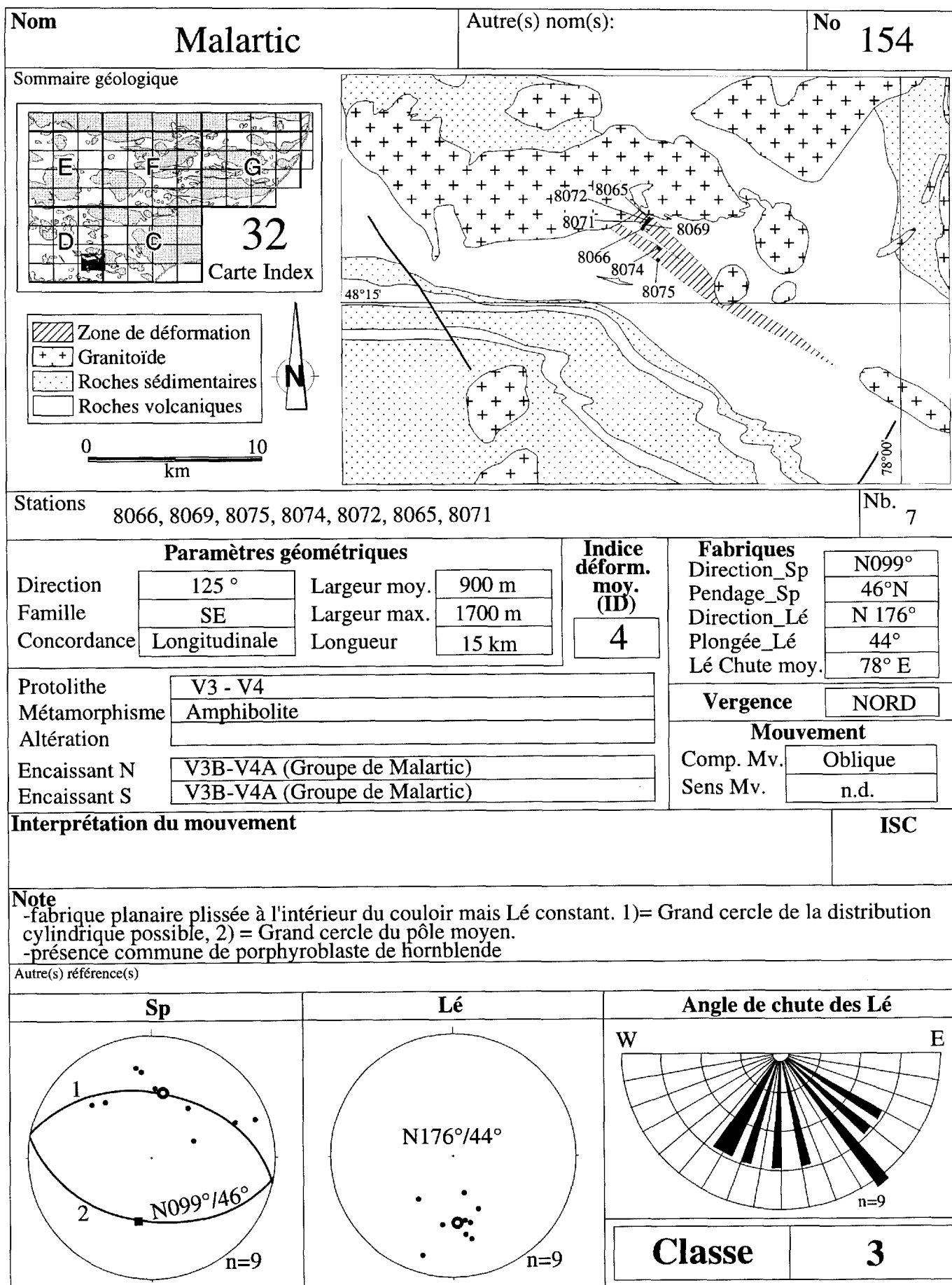
Interprétation du mouvement	ISC
------------------------------------	------------

Note

Autre(s) référence(s)

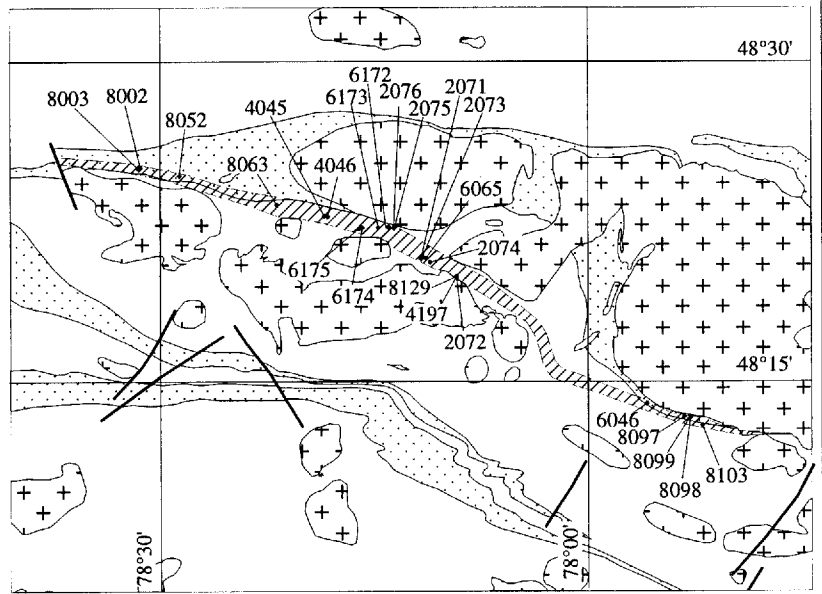
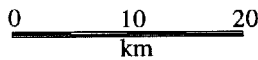
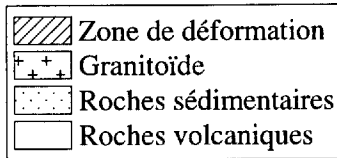
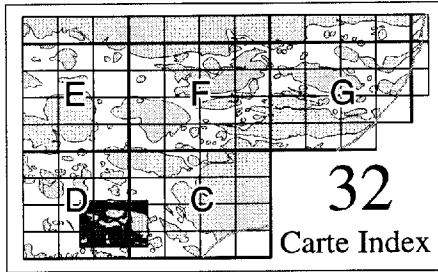






Nom <h1 style="text-align: center;">Manneville-sud</h1>	Autre(s) nom(s):	No <h1 style="text-align: center;">155</h1>
---	-------------------------	---

Sommaire géologique



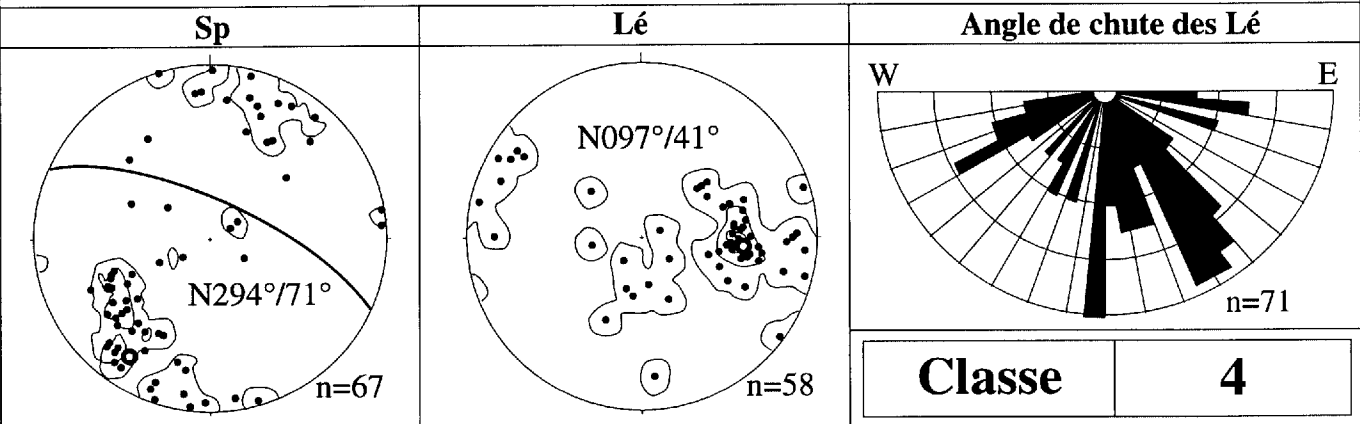
Stations 8003, 8002, 8052, 8063, 4046, 4045, 6173, 6172, 6174, 6175, 4197, 8129, 2076, 2072, 2071, 2075, 2073, 6065, 2074, 6046, 8099, 8097, 8098, 8103	Nb. 24
--	------------------

Paramètres géométriques				Indice déform. moy. (ID) <div style="border: 1px solid black; width: 40px; height: 40px; display: flex; align-items: center; justify-content: center; margin: 5px;">4</div>	Fabriques						
Direction	120°	Largeur moy.	800 m		Direction_Sp	N 294°					
Famille	SE	Largeur max.	1600 m		Pendage_Sp	71°N					
Concordance	Longitudinale	Longueur	70 km		Direction_Lé	N 097°					
<table border="1" style="width:100%; border-collapse: collapse;"> <tr> <td style="width: 15%;">Protolithe</td> <td style="border: 1px solid black; text-align: center;">V3 - V4</td> </tr> <tr> <td>Métamorphisme</td> <td style="border: 1px solid black; text-align: center;">Amphibolite</td> </tr> <tr> <td>Altération</td> <td style="border: 1px solid black; height: 20px;"></td> </tr> </table>				Protolithe	V3 - V4	Métamorphisme	Amphibolite	Altération		Vergence	
Protolithe	V3 - V4										
Métamorphisme	Amphibolite										
Altération											
<table border="1" style="width:100%; border-collapse: collapse;"> <tr> <td style="width: 15%;">Encaissant N</td> <td style="border: 1px solid black; text-align: center;">S (Tb, Sédiment de Caste) - V3B-V4A</td> </tr> <tr> <td>Encaissant S</td> <td style="border: 1px solid black; text-align: center;">S (Tb, Sédiment de Caste) - V3B-V4A</td> </tr> </table>				Encaissant N	S (Tb, Sédiment de Caste) - V3B-V4A	Encaissant S	S (Tb, Sédiment de Caste) - V3B-V4A	Mouvement			
Encaissant N	S (Tb, Sédiment de Caste) - V3B-V4A										
Encaissant S	S (Tb, Sédiment de Caste) - V3B-V4A										
				Comp. Mv.	Oblique						
				Sens Mv.	Dextre						

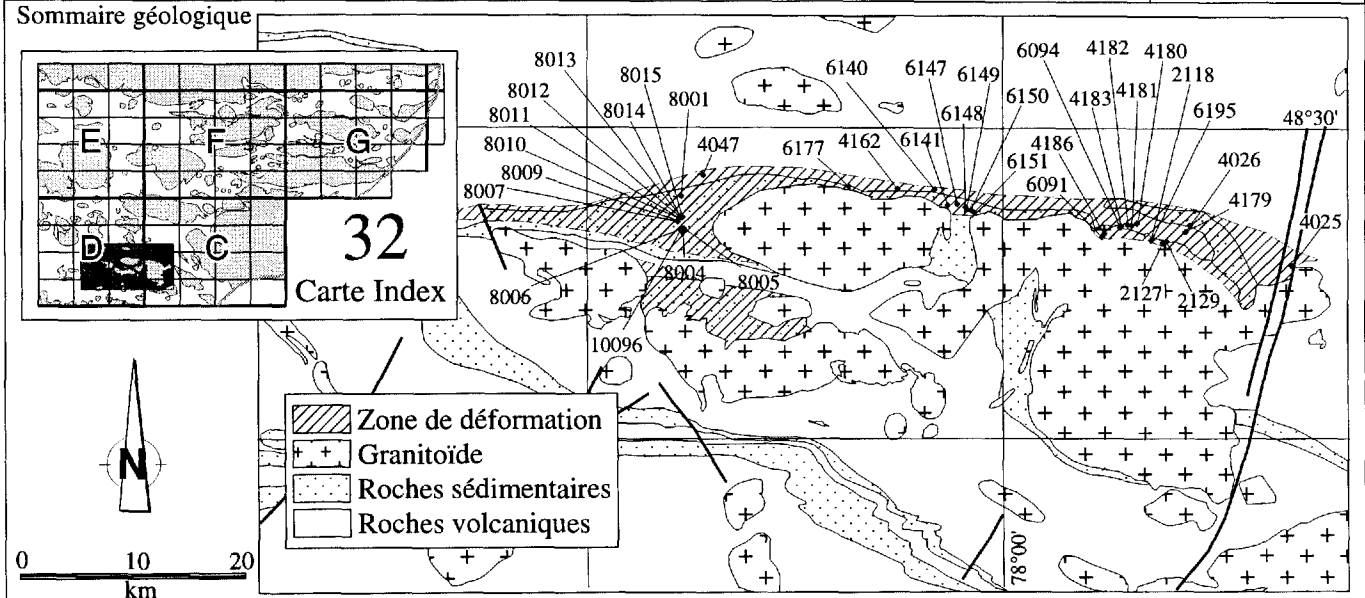
Interprétation du mouvement - linéations d'étirement très variables suggérant mouvement complexe - linéations de faible plongée sont interprétées comme associées à un mouvement latéral dextre tardif déduit de la présence de plissement asymétrique en Z	ISC PAZ
--	-------------------

Note -linéations d'étirement fortement développées dans certains secteurs, tectonites L (p.ex. Marbridge)

Autre(s) référence(s) Filion 1978; Babineau 1983



Nom Manneville-nord	Autre(s) nom(s): Destor-Porcupine	No 200
--------------------------------------	---	-------------------------



Stations 8009, 8007, 8011, 8012, 8010, 8014, 8013, 8006, 8015, 8001, 4047, 8004, 10096, 8005, 6177, 4162, 6140, 6141, 6147, 6149, 6150, 6148, 6151, 6091, 4186, 6094, 4183, 4182, 4181, 4180, 2118, 6195, 4026, 4179, 2127, 2129, 4025	Nb. 37
---	-------------------------

Paramètres géométriques			Indice déform. moy. (ID) 4	Fabriques		
Direction	090°	Largeur moy.		2100 m	Direction_Sp	N 255°
Famille	E-W	Largeur max.		8,000 m	Pendage_Sp	28°N
Concordance	Longitudinale	Longueur		95 km	Direction_Lé	N 324°
				Plongée_Lé	27° N	
				Lé Chute moy.	90°	

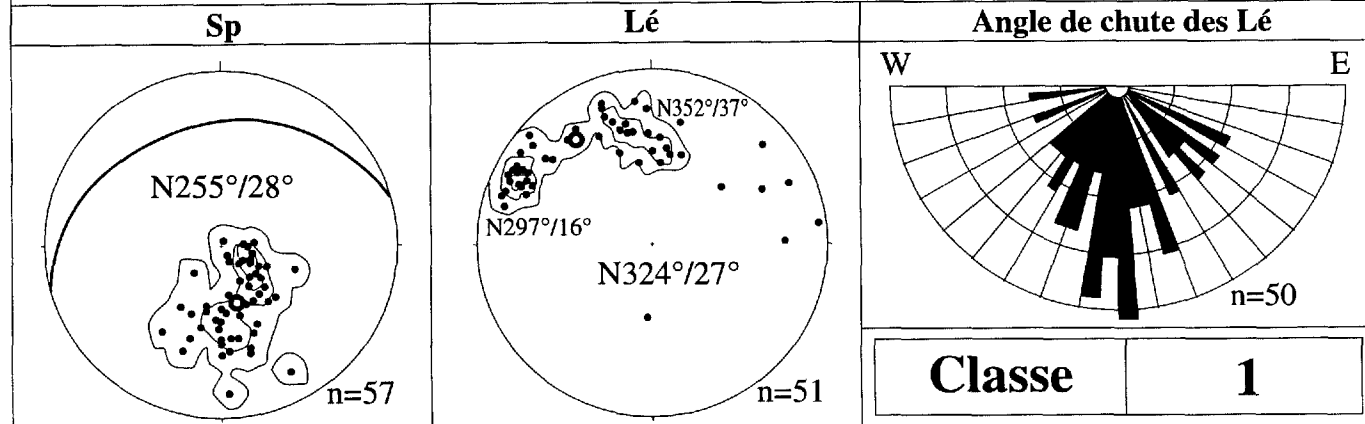
Protolithe	S - V3	Vergence SUD	
Métamorphisme	Amphibolite		
Altération	AK - MU - BO		
Encaissant N	V3B - I3A (Landrienne - Kinojévis)	Mouvement	
Encaissant S	S (Tb, Sédiment de Caste)		
		Comp. Mv.	Pendage
		Sens Mv.	Inverse

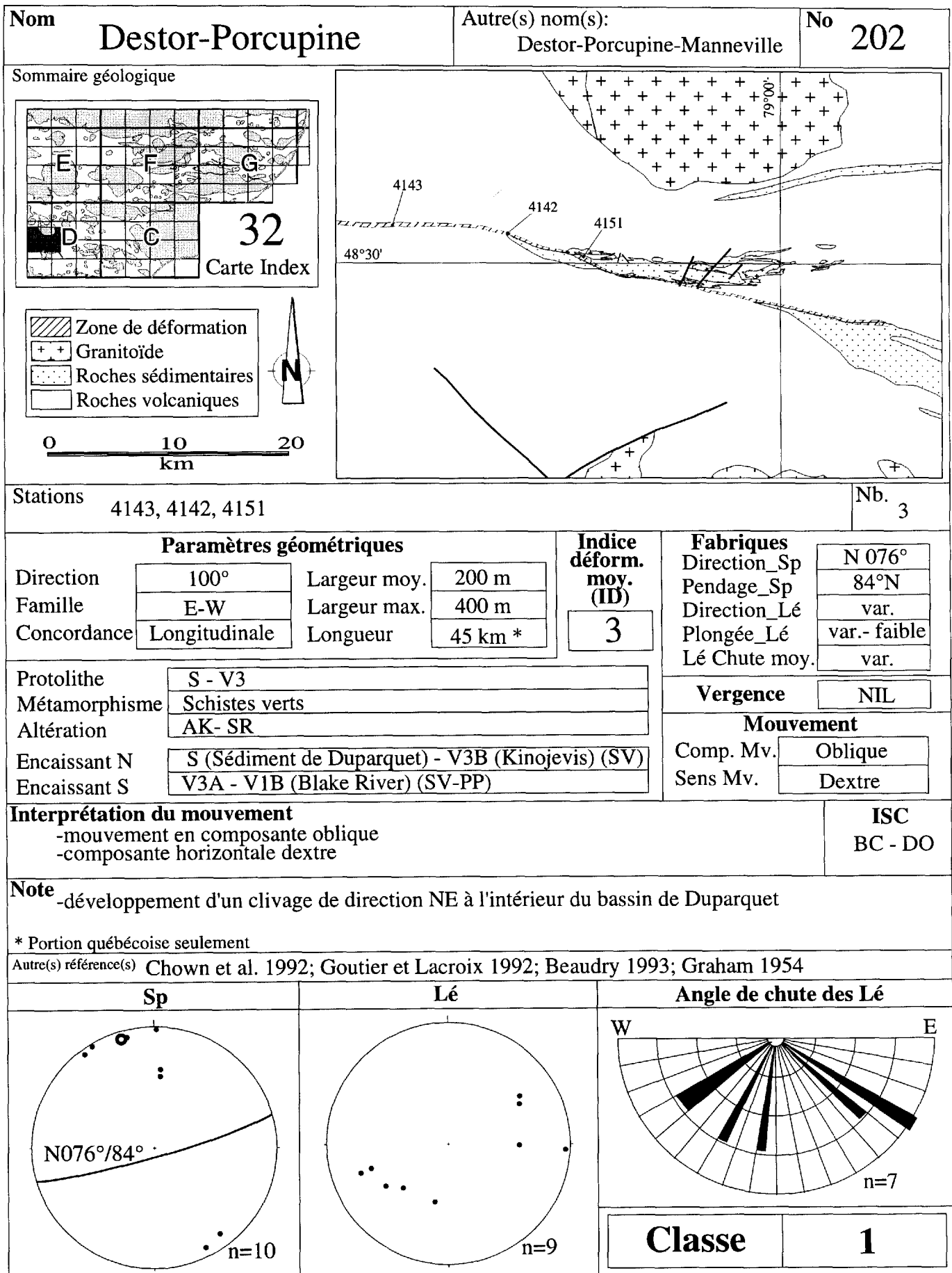
Interprétation du mouvement
 - mouvement en chevauchement du Nord vers le Sud associé à des plis couchés
 - un mouvement tardif en extension est proposé

ISC

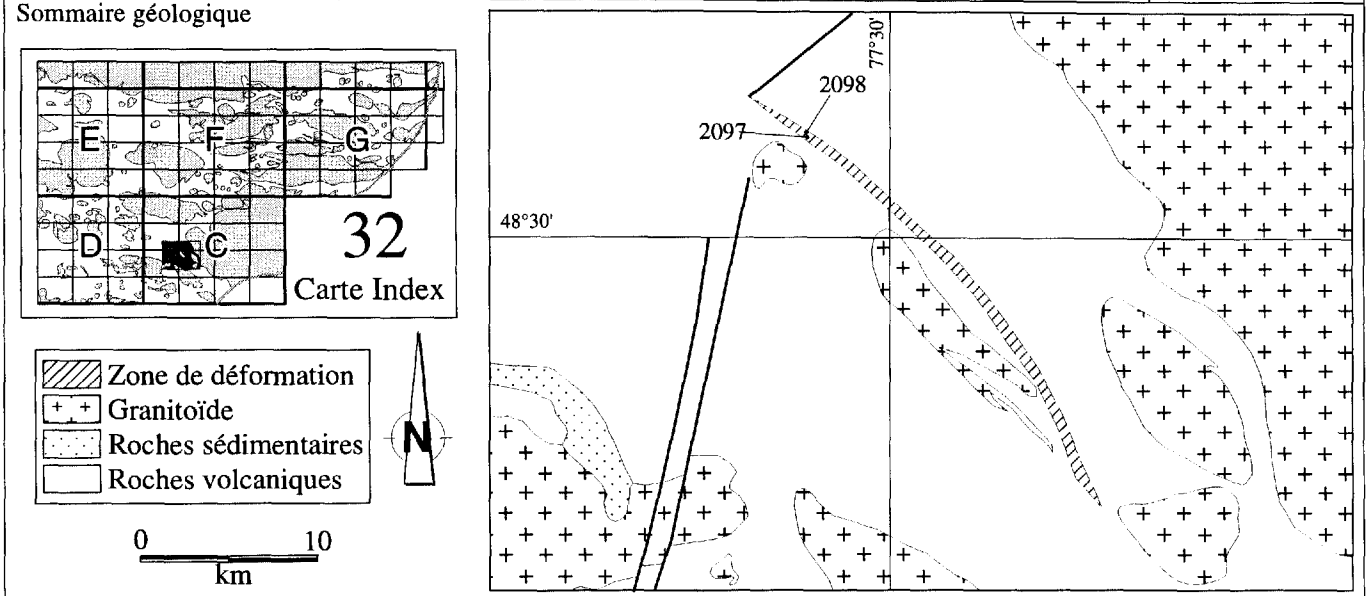
Note
 - largeur importante produit par section oblique (= épaisseur apparente)
 - les fafriques de faible pendage dans les sédiments de Caste sont associées à cette zone de faille
 - interprété comme une faille de chevauchement majeure qui sépare les zones volcaniques nord et sud

Autre(s) référence(s) Dawson 1966; Chown et al. 1992;





Nom Bolduc	Autre(s) nom(s):	No 203
-----------------------------	------------------	-------------------------



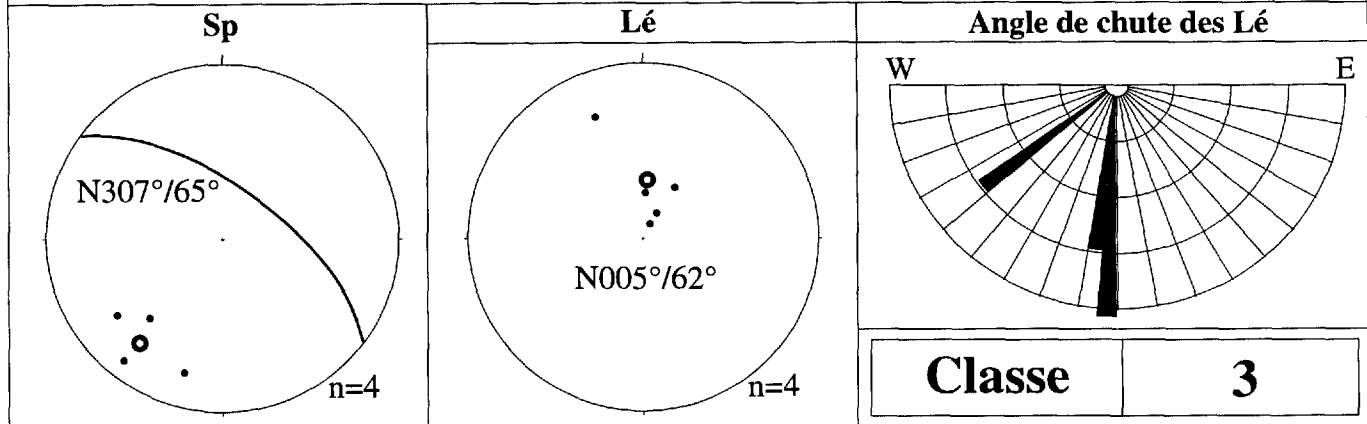
Stations 2098, 2097	Nb. 2
-------------------------------	-----------------

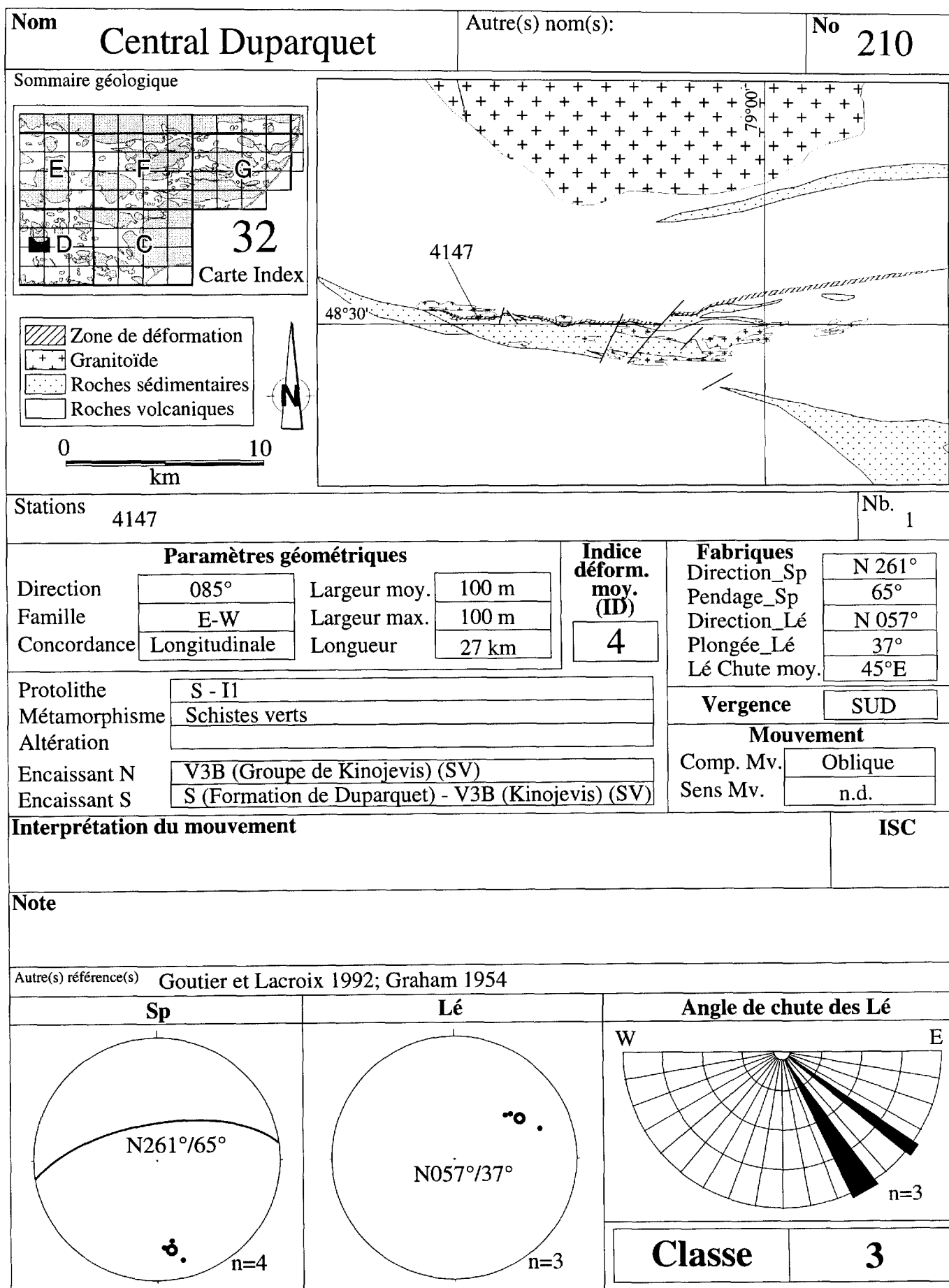
Paramètres géométriques			Indice déform. moy. (ID) 3	Fabriques	
Direction	140°	Largeur moy.		500 m	Direction_Sp
Famille	SE	Largeur max.	500 m	Pendage_Sp	65°
Concordance	Longitudinale	Longueur	30 km	Direction_Lé	N 005°
				Plongée_Lé	62°
				Lé Chute moy.	85°NW
Protolithe	V3			Vergence	SUD
Métamorphisme	Schistes verts			Mouvement	
Altération	AK - CL			Comp. Mv.	Pendage
Encaissant N	V3B (SV)			Sens Mv.	n.d.
Encaissant S	V3B (SV)				

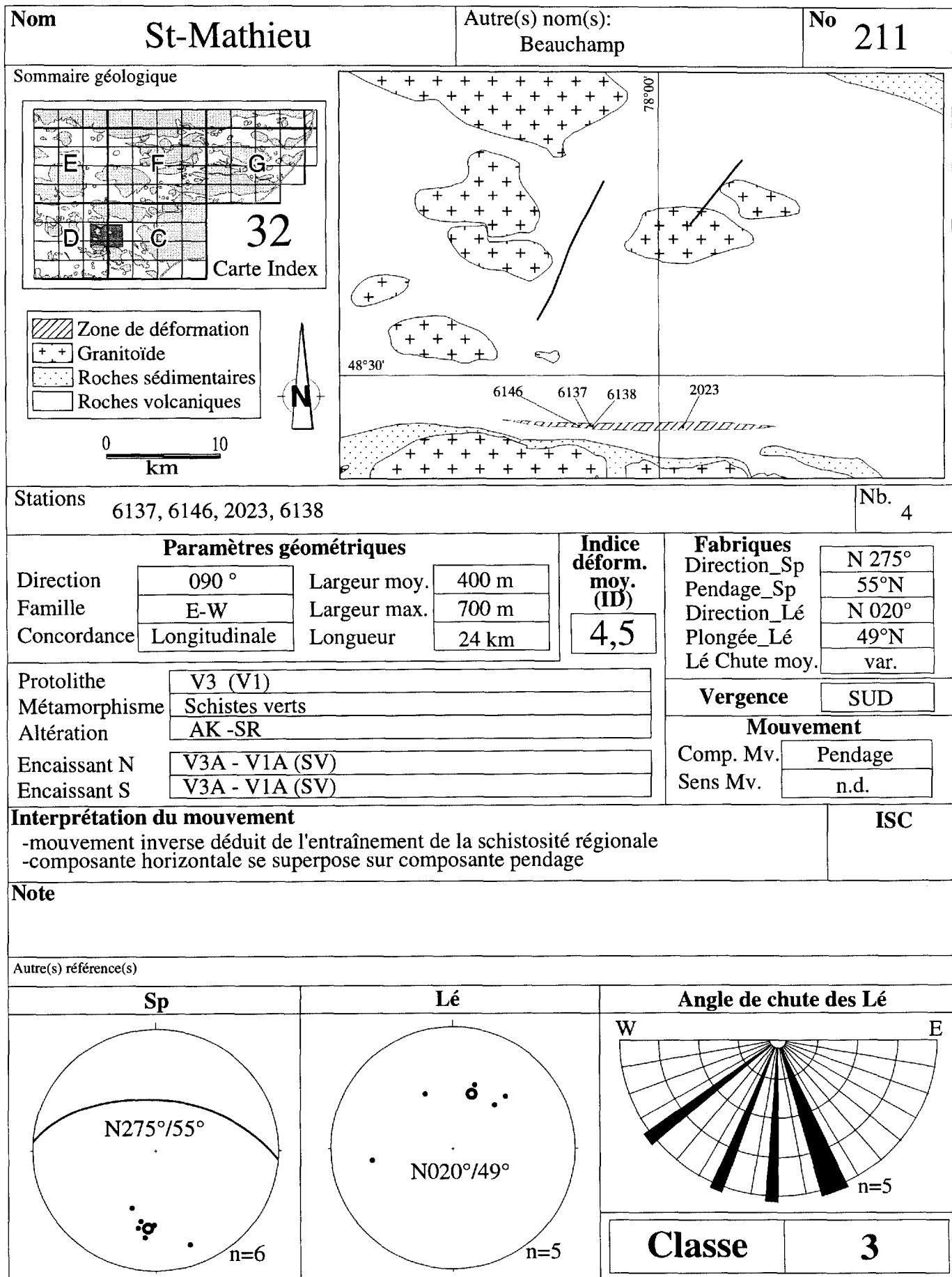
Interprétation du mouvement	ISC
------------------------------------	------------

Note

Autre(s) référence(s)

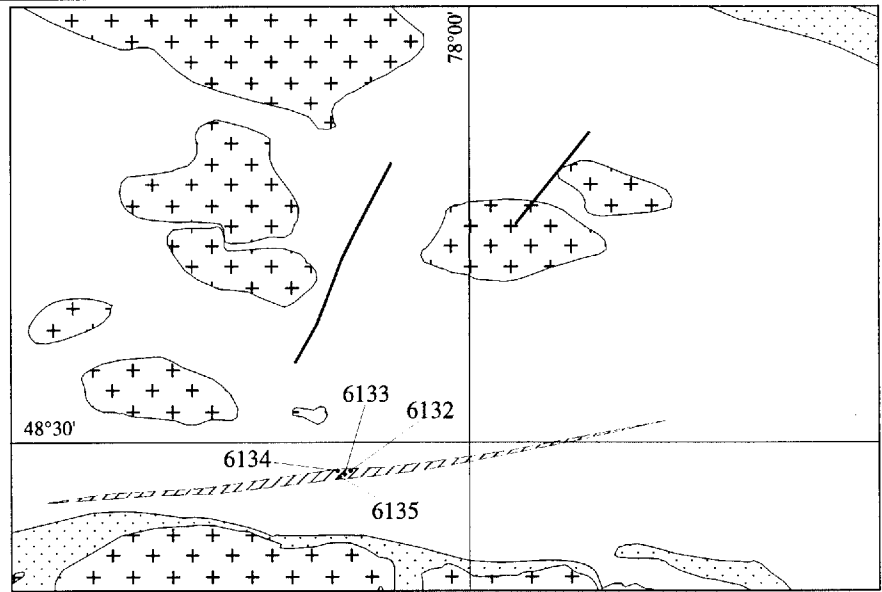
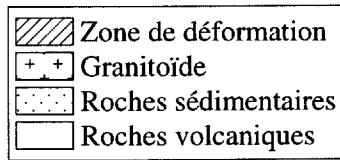
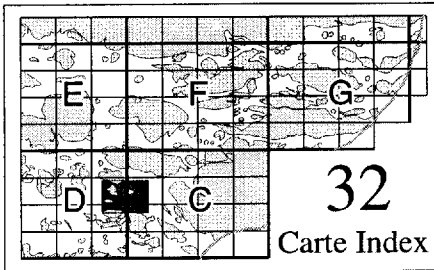






Nom <h1 style="text-align: center;">Figuary</h1>	Autre(s) nom(s):	No <h1 style="text-align: center;">212</h1>
--	------------------	---

Sommaire géologique



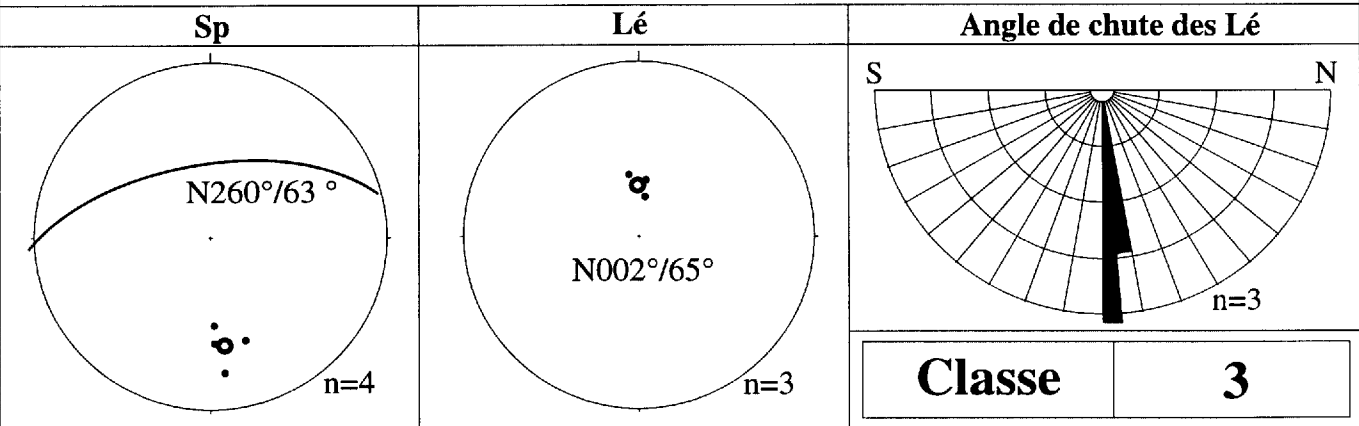
Stations 6135, 6134, 6133, 6132	Nb. 4
---	-----------------

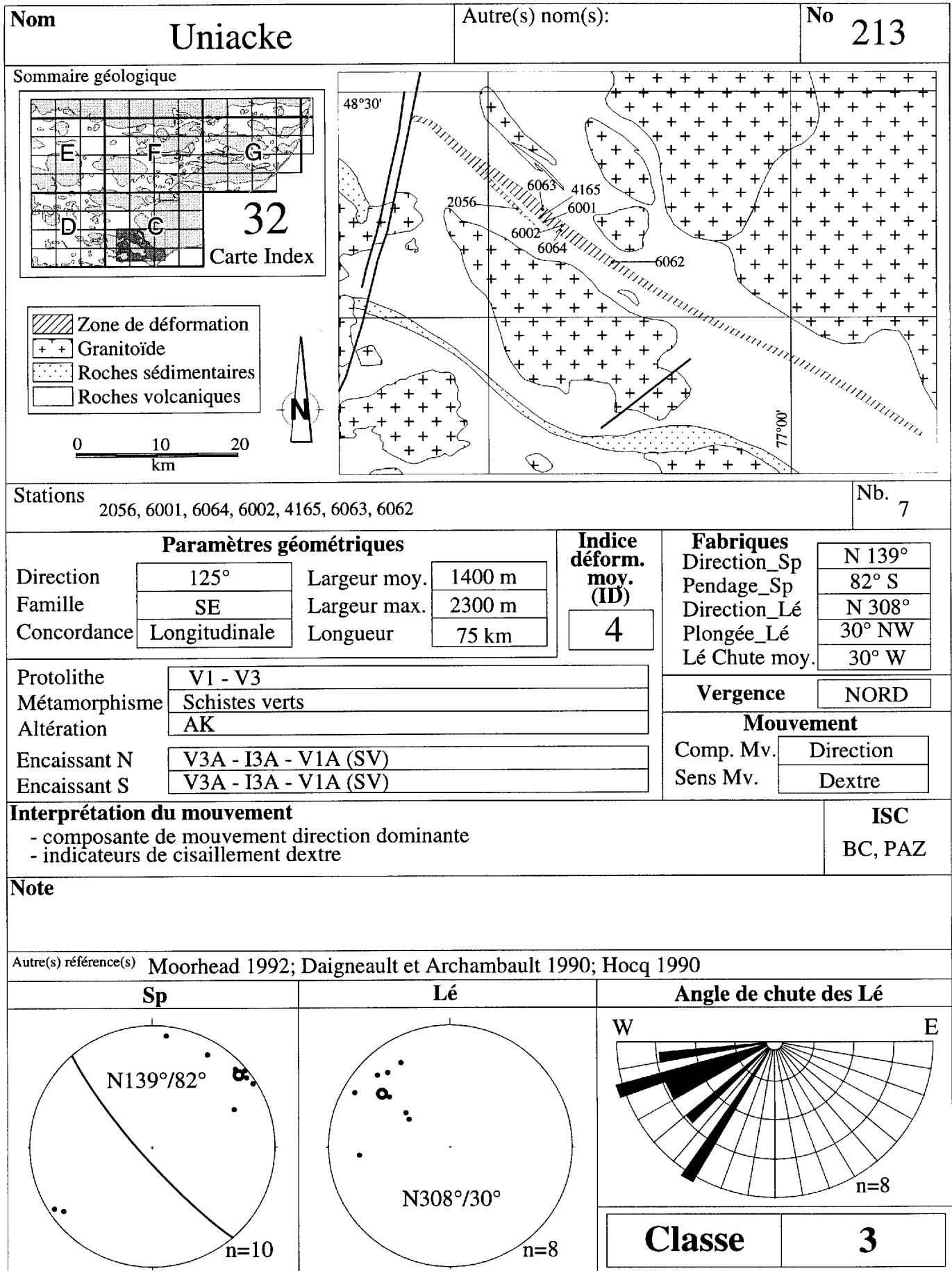
Paramètres géométriques				Indice déform. moy. (ID) 4	Fabriques	
Direction	080 °	Largeur moy.	200 m		Direction_Sp	N 260°
Famille	E-W	Largeur max.	500 m		Pendage_Sp	63°N
Concordance	Longitudinale	Longueur	17 km		Direction_Lé	N 002°
					Plongée_Lé	65°N
					Lé Chute moy.	88°
Protolithe	V3 - I3			Vergence		
Métamorphisme	Schistes verts			SUD		
Altération	AK - CL			Mouvement		
Encaissant N	V3 (SV)			Comp. Mv.	Pendage	
Encaissant S	V3 (SV)			Sens Mv.	Inverse N/S	

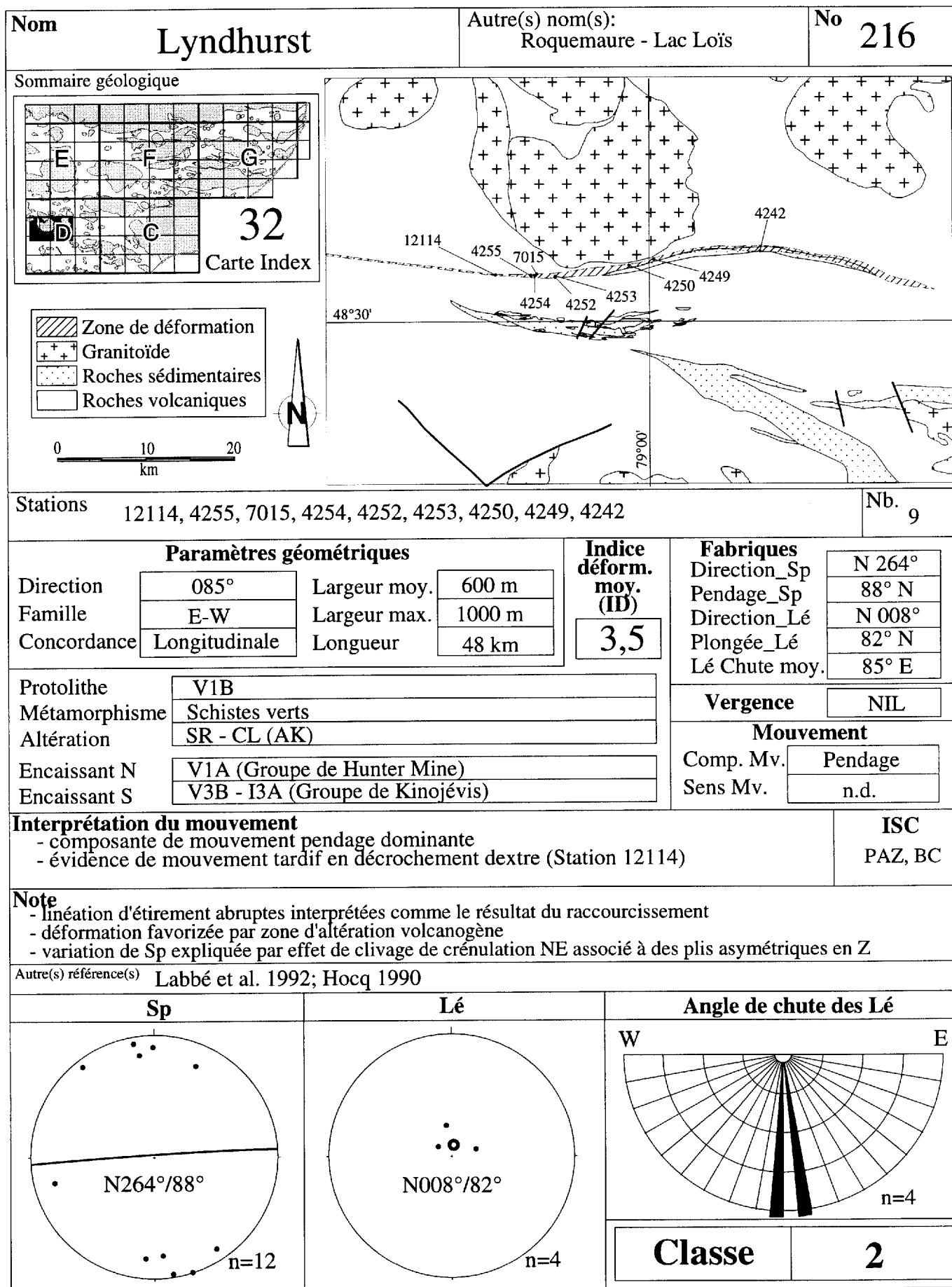
Interprétation du mouvement -mouvement inverse déduit des relations d'entraînement avec la schistosité régionale	ISC
--	------------

Note

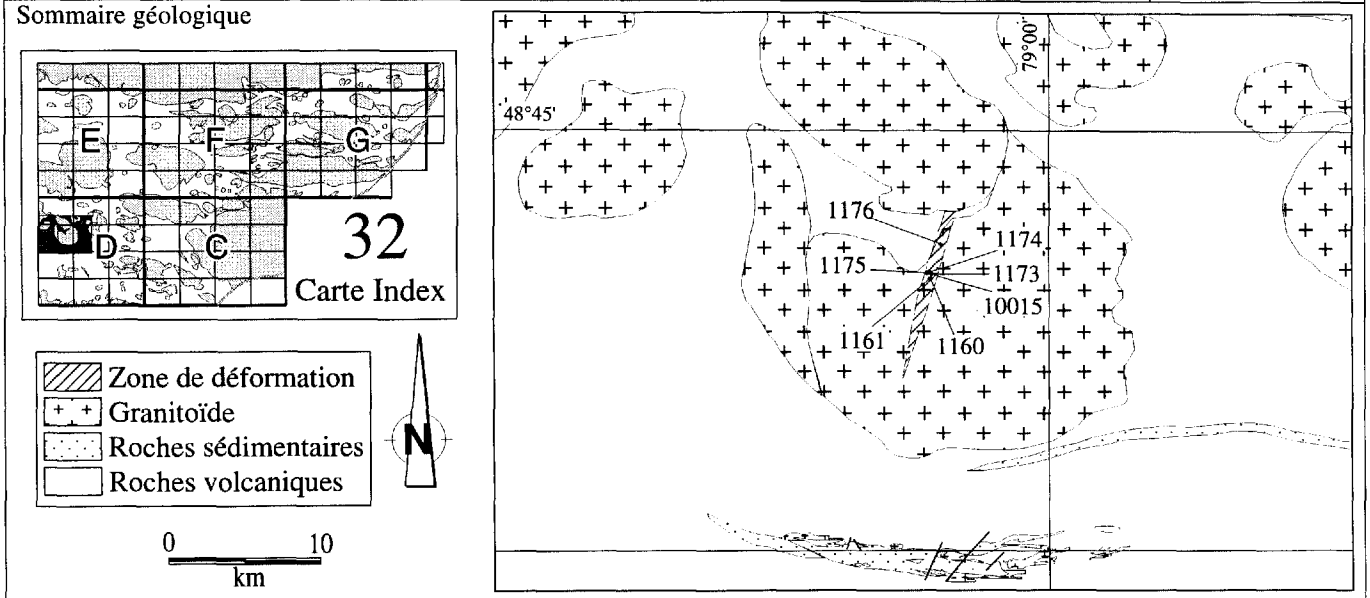
Autre(s) référence(s)







Nom <h1 style="text-align: center;">Dagenais</h1>	Autre(s) nom(s):	No <h1 style="text-align: center;">221</h1>
---	------------------	---



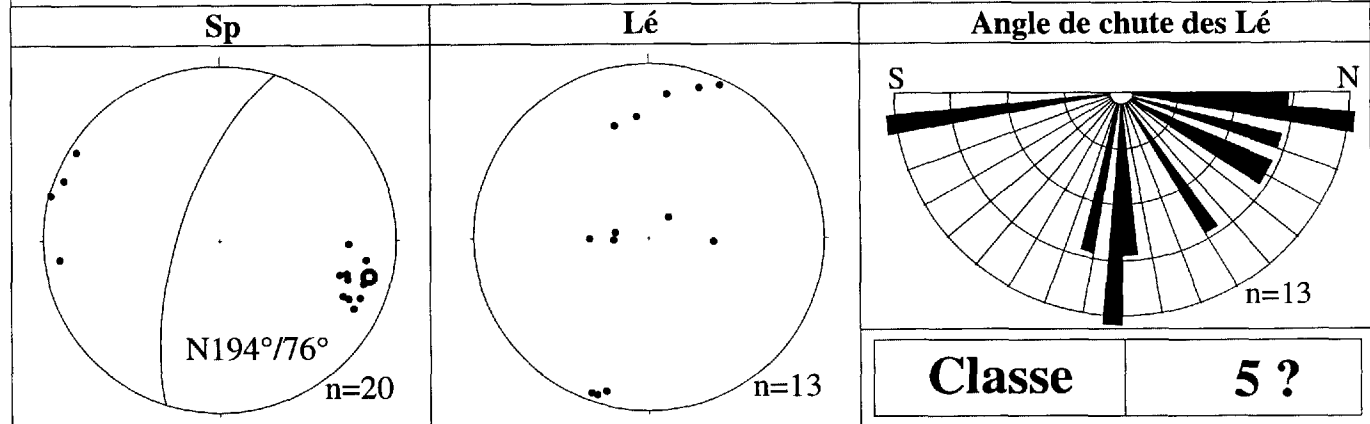
Stations 1176, 1161, 1175, 1160, 1174, 10015, 1173	Nb. 7
---	--------------

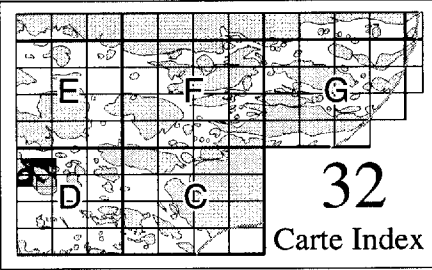
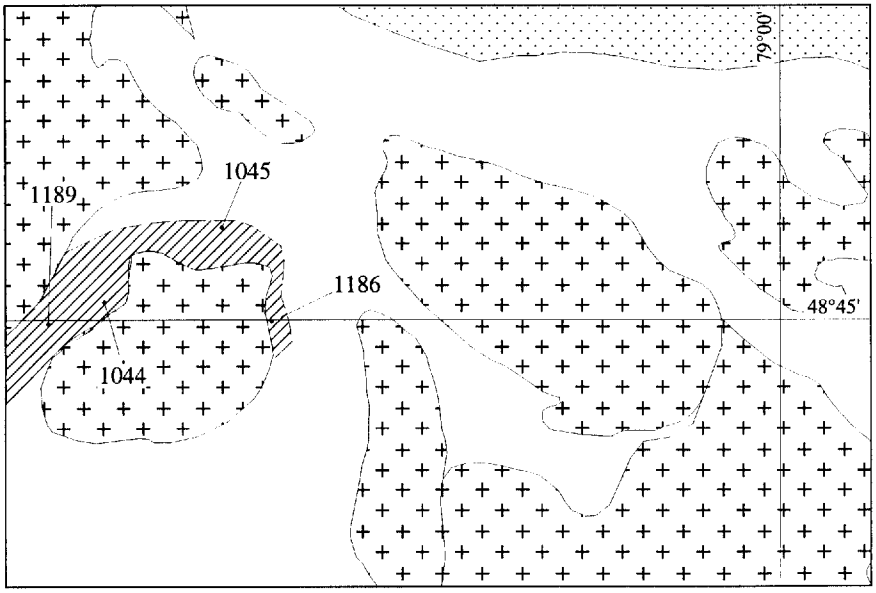
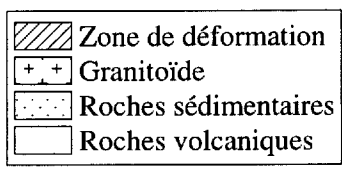
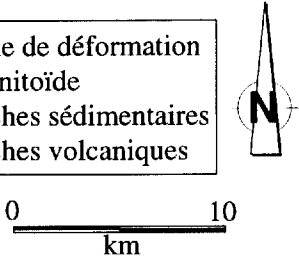
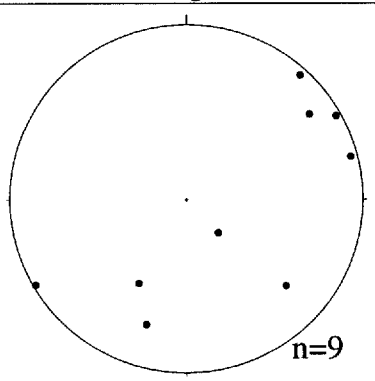
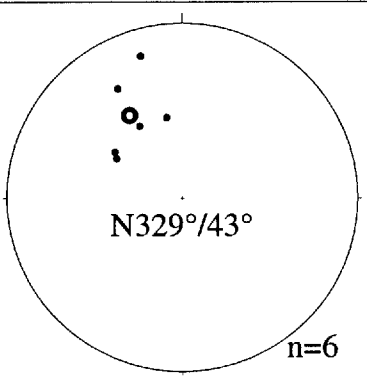
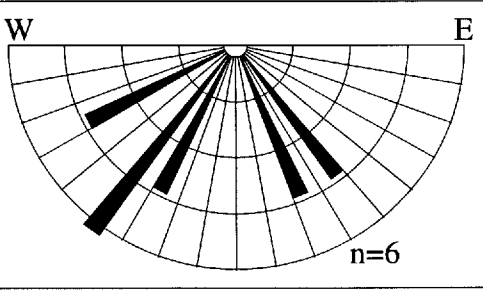
Paramètres géométriques				Indice déform. moy. (ID) 4	Fabriques		
Direction	015°	Largeur moy.	500 m		Direction_Sp	N 194°	
Famille	?	Largeur max.	500 m		Pendage_Sp	76°	
Concordance	Sécante	Longueur	11 km		Direction_Lé	var.	
						Plongée_Lé	var.
						Lé Chute moy.	var.
Protolithe	I2J - I1C					Vergence EST	
Métamorphisme	Amphibolite					Mouvement	
Altération						Comp. Mv.	var.
Encaissant N	I2J - I1C (Pluton de Poularies)					Sens Mv.	n.d.
Encaissant S	I2J - I1C (Pluton de Poularies)						

Interprétation du mouvement -distribution bimodale de Lé en composantes direction et pendage -dominance de la composante direction	ISC
---	------------

Note
- zone de mylonite avec présence de nombreux dykes

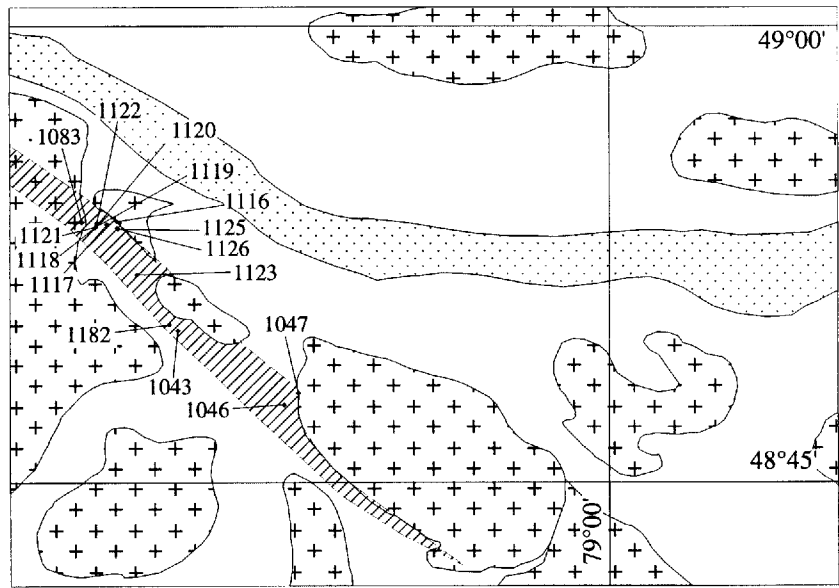
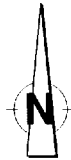
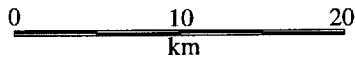
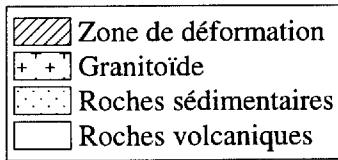
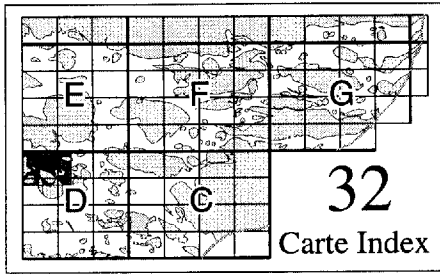
Autre(s) référence(s)



Nom La Reine		Autre(s) nom(s):		No 222		
Sommaire géologique						
 <p>32 Carte Index</p>						
						
Stations 1189, 1044, 1045, 1186					Nb. 4	
Paramètres géométriques				Indice déform. moy. (ID)	Fabriques	
Direction	var.	Largeur moy.	2000 m		Direction_Sp	var.
Famille	Auréole ?	Largeur max.	3800 m	4	Pendage_Sp	var.
Concordance	-	Longueur	18 km		Direction_Lé	N 329°
Protolithe V3 Métamorphisme Amphibolite Altération				Vergence SUD		
Encaissant N V3A (SV) Encaissant S IIC (Pluton de La Reine)				Mouvement Comp. Mv. var. Sens Mv. n.d.		
Interprétation du mouvement					ISC	
Note						
- variation des Sp mais constance des Lé au NW - portion Est à pëndage plus abrupt						
Autre(s) référence(s) Lacroix et al. 1995						
Sp		Lé		Angle de chute des Lé		
 <p>n=9</p>		 <p>n=6</p>		 <p>n=6</p>		
Classe				5 ?		

Nom <h1 style="text-align: center;">Duvan</h1>	Autre(s) nom(s):	No <h1 style="text-align: center;">223</h1>
--	-------------------------	---

Sommaire géologique



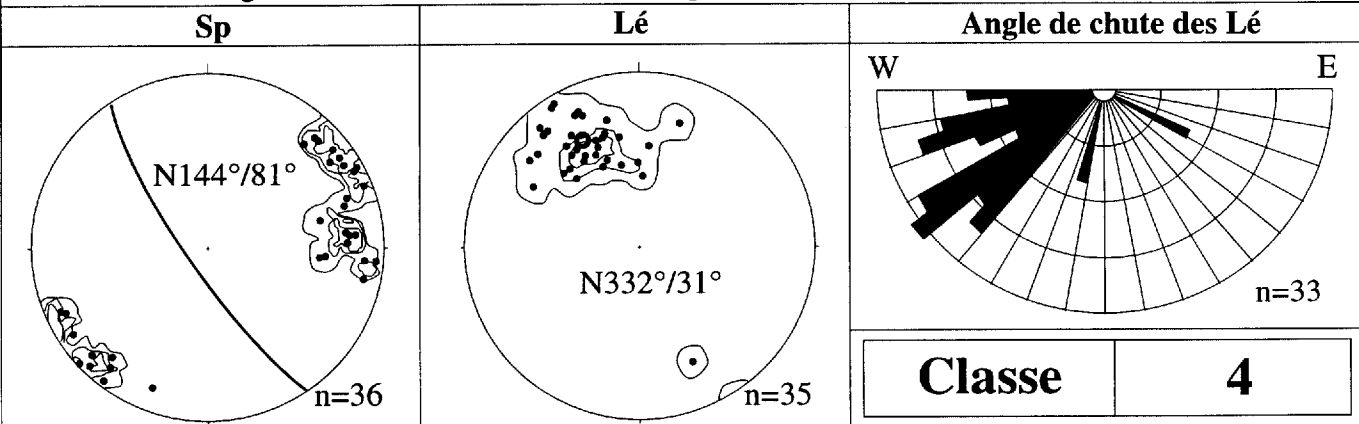
Stations 1182, 1083, 1122, 1121, 1125, 1120, 1126, 1043, 1046, 1123, 1119, 1118, 1117, 1116, 1047	Nb. 15
---	------------------

Paramètres géométriques		Indice déform. moy. (ID) 4	Fabriques	
Direction	135°		Direction_Sp	N 144°
Famille	SE		Pendage_Sp	81° N
Concordance	Sécante		Direction_Lé	N 332°
			Plongée_Lé	31° NW
			Lé Chute moy.	30° W
Protolithe	V1 - V3		Vergence NIL	
Métamorphisme	Amphibolite		Mouvement	
Altération	AK		Comp. Mv.	Direction
Encaissant N	V3 - I1		Sens Mv.	Dextre
Encaissant S	V3 - I1			

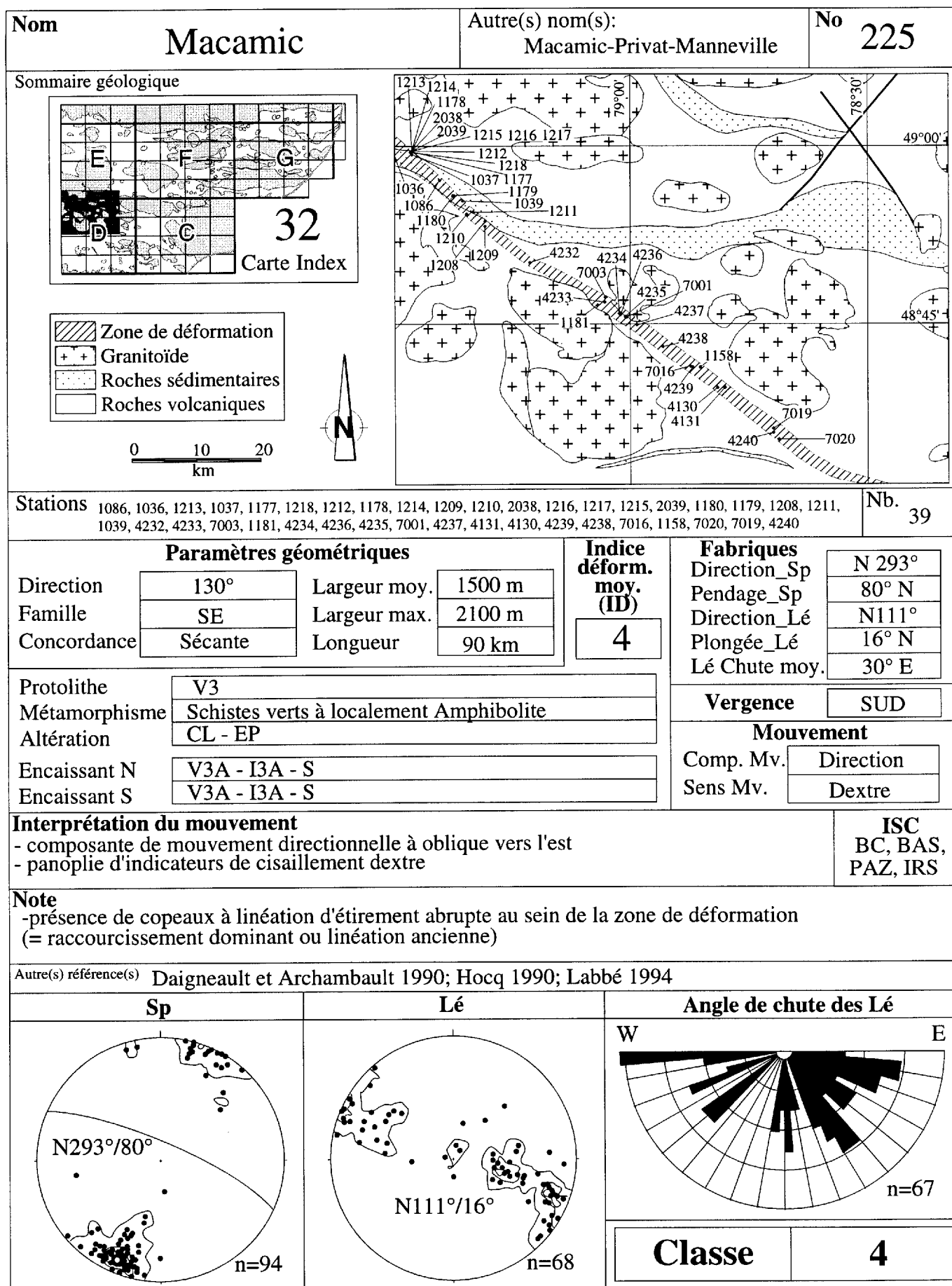
Interprétation du mouvement - composante de mouvement direction à oblique - nombreux indicateurs de cisaillement dextre	ISC BC, PAZ FP
--	-----------------------------

Note
- présence commune de dykes felsiques (granodiorite)

Autre(s) référence(s) Daigneault et Archambault 1990; Hocq 1990; Lacroix 1995

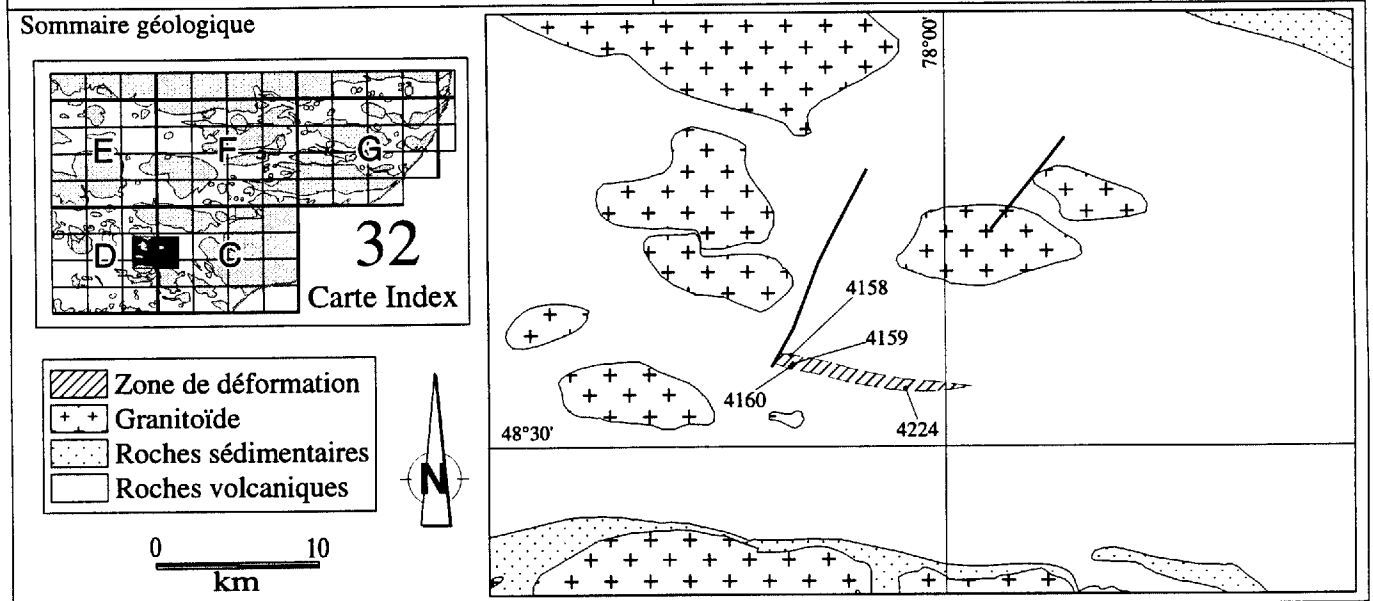


Nom Desméloïze		Autre(s) nom(s):		No 224			
Sommaire géologique							
<p>32 Carte Index</p>							
<p>0 10 km</p>							
Stations 1084, 1205, 1085, 1204					Nb. 3		
Paramètres géométriques				Indice déform. moy. (ID)	Fabriques		
Direction: 115° Famille: SE (Auréole ?) Concordance: Sécante		Largeur moy.: 1200 m Largeur max.: 1700 m Longueur: 11 km			Direction_Sp: N 132° Pendage_Sp: 76° Direction_Lé: N 306° Plongée_Lé: 49° Lé Chute moy.: 55°W		
Protolithe: V3 Métamorphisme: Amphibolite Altération: AK Encaissant N: V3B (SV) Encaissant S: IIC (Pluton d'Abitibi)				Vergence NORD		Mouvement	
					Comp. Mv.: Oblique Sens Mv.: n.d.		
Interprétation du mouvement					ISC		
Note = auréole de déformation en bordure du pluton d'Abitibi?							
Autre(s) référence(s) Lacroix 1995							
Sp 		Lé 		Angle de chute des Lé 			
				Classe		5	



Nom Landrienne		Autre(s) nom(s):		No 226		
Sommaire géologique						
<p>32 Carte Index</p> <p> </p> <p>0 10 20 km</p>						
Stations 1145, 2020, 2019, 4030			Nb. 4			
Paramètres géométriques				Indice déform. moy. (ID) 5	Fabriques	
Direction	085°	Largeur moy.	500 m		Direction_Sp	N 092°
Famille	E-W	Largeur max.	700 m	Pendage_Sp	88°	
Concordance	Longitudinale	Longueur	64 km	Direction_Lé	N 089°	
				Plongée_Lé	03°	
				Lé Chute moy.	03°E	
Protolithe	V3			Vergence NIL		
Métamorphisme	Schistes verts			Mouvement		
Altération	CL - AK			Comp. Mv.	Direction	
Encaissant N	V3A - I3A (SV)			Sens Mv.	Dextre	
Encaissant S	V3A - I3A (SV)					
Interprétation du mouvement -nombreux indicateurs de cisaillement dextre				ISC BC, IRA FP		
Note -prolongement oriental de la faille de Macamic						
Autre(s) référence(s)						
Sp		Lé		Angle de chute des Lé		
<p>N092°/88° n=13</p>		<p>N089°/03° n=10</p>		<p>n=10</p>		
				Classe	3	

Nom <h1 style="text-align: center;">Croteau</h1>	Autre(s) nom(s):	No <h1 style="text-align: center;">228</h1>
--	-------------------------	---



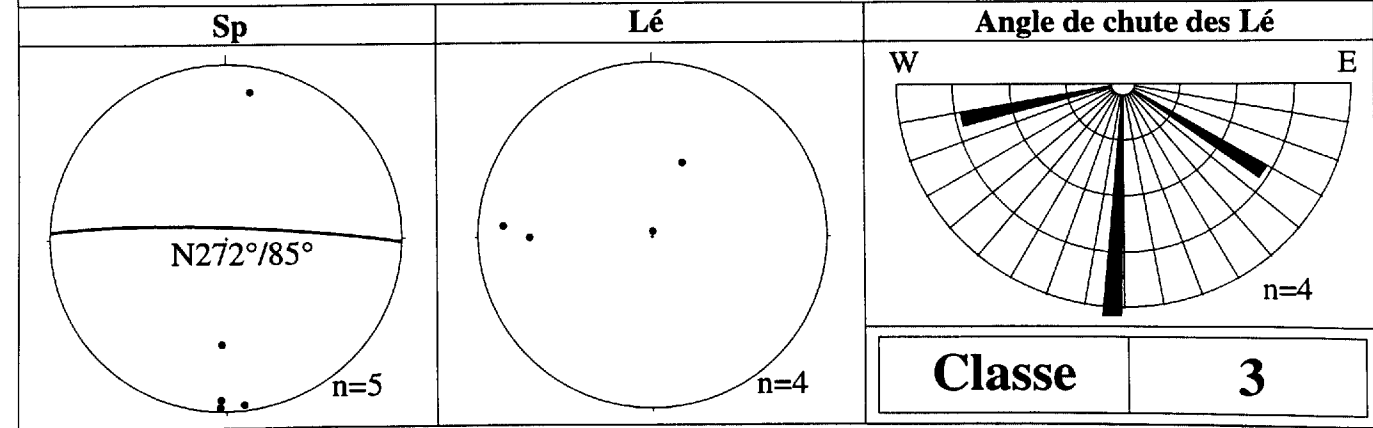
Stations 4158, 4159, 4224, 4160	Nb. 4
--	--------------

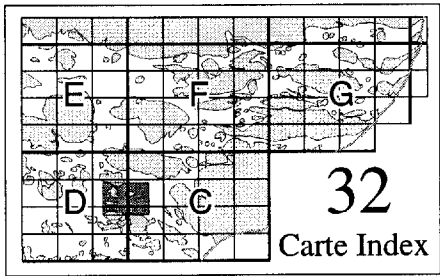
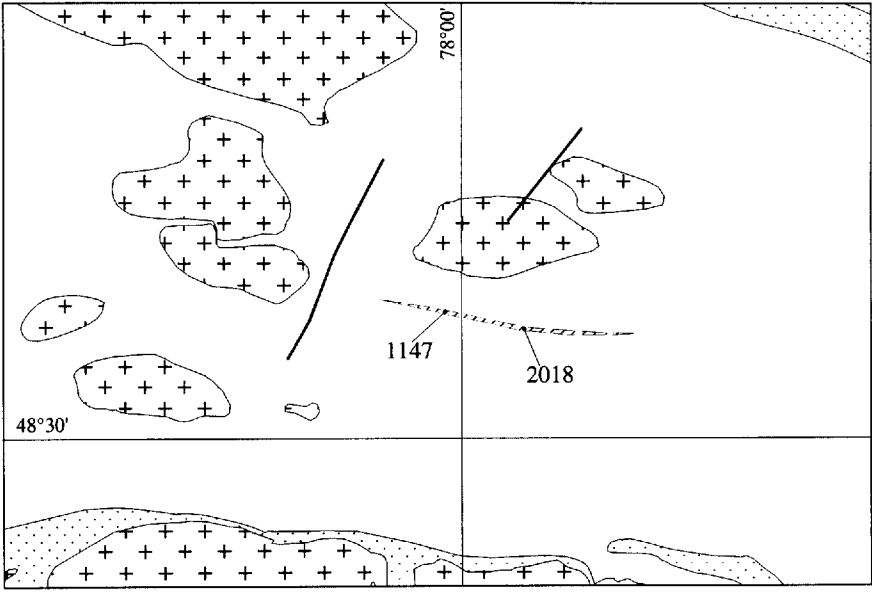
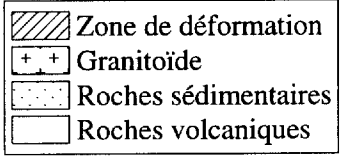
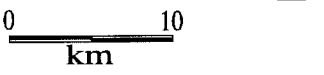
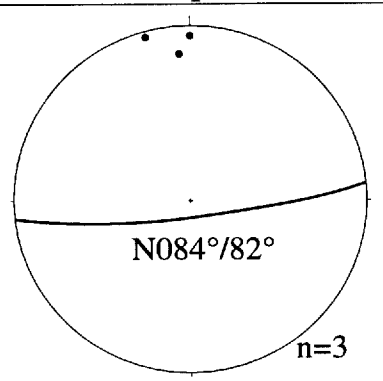
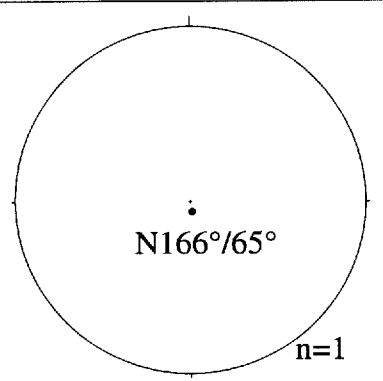
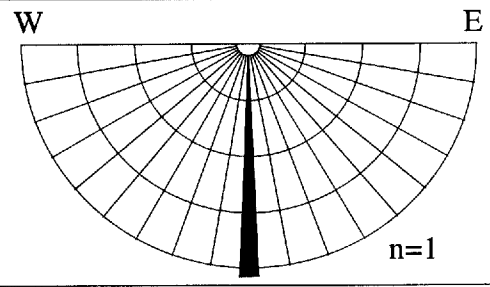
Paramètres géométriques				Indice déform. moy. (ID) <h1 style="font-size: 2em;">3,5</h1>	Fabriques	
Direction	100 °	Largeur moy.	700 m		Direction_Sp	N 272°
Famille	E-W	Largeur max.	800 m		Pendage_Sp	85°
Concordance	Longitudinale	Longueur	12 km	Direction_Lé	var.	
				Plongée_Lé	var.	
				Lé Chute moy.	var.	
Protolithe	V1 - V3			Vergence NIL		
Métamorphisme	Schistes verts			Mouvement		
Altération	CL- EP			Comp. Mv.	var.	
Encaissant N	V3A - I3A (SV)			Sens Mv.	n.d.	
Encaissant S	V3A - I3A (SV)					

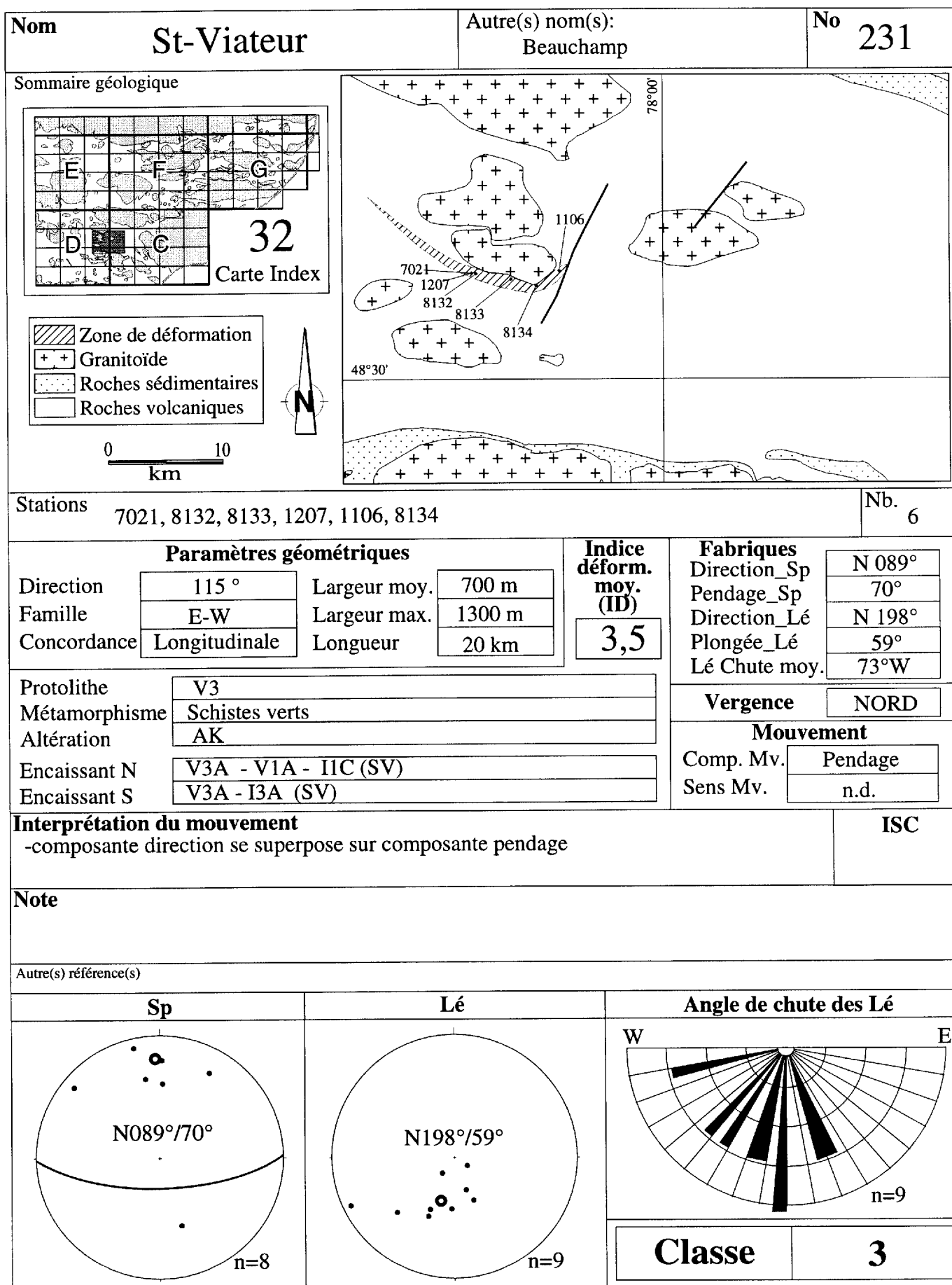
Interprétation du mouvement -composante direction se superpose sur composante pendage	ISC
---	------------

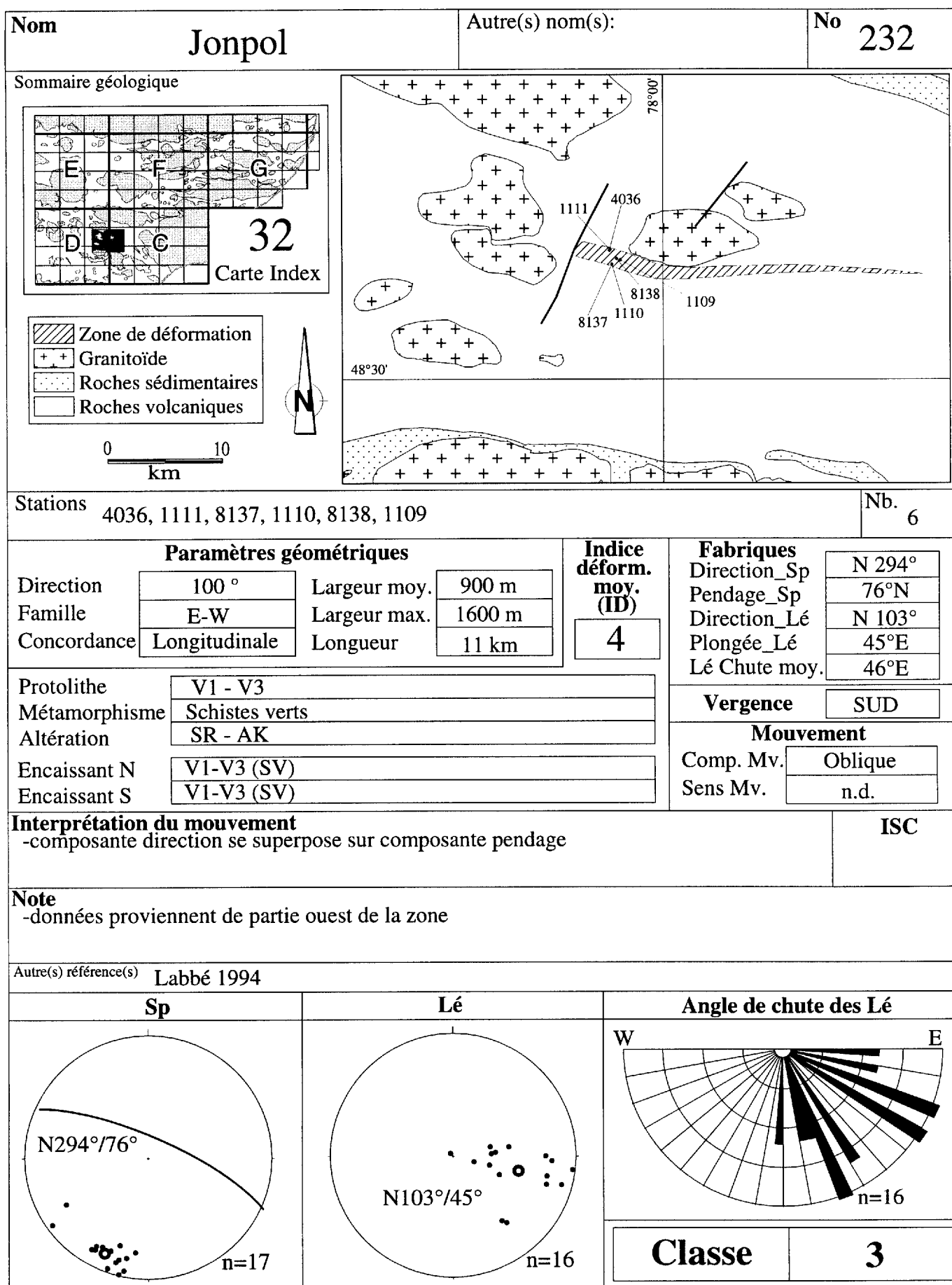
Note

Autre(s) référence(s)



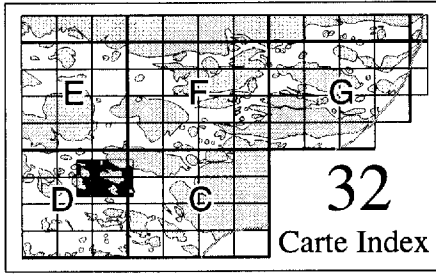
Nom Paramount		Autre(s) nom(s):		No 230	
Sommaire géologique					
 <p>32 Carte Index</p>					
					
Stations 2018, 1147					Nb. 2
Paramètres géométriques Direction: 095 ° Famille: E-W Concordance: Longitudinale Largeur moy.: 100 m Largeur max.: 200 m Longueur: 16 km				Indice déform. moy. (ID) 3	Fabriques Direction_Sp: N 084° Pendage_Sp: 82° Direction_Lé: N 166° Plongée_Lé: 65° Lé Chute moy.: 90°
Protolithe: V3 Métamorphisme: Schistes verts Altération: CL Encaissant N: V3B - I3A (SV) Encaissant S: V3B - I3A (SV)				Vergence : NORD	
				Mouvement Comp. Mv.: Pendage Sens Mv.: n.d.	
Interprétation du mouvement					ISC
Note					
Autre(s) référence(s)					
Sp 		Lé 		Angle de chute des Lé 	
				Classe 3	



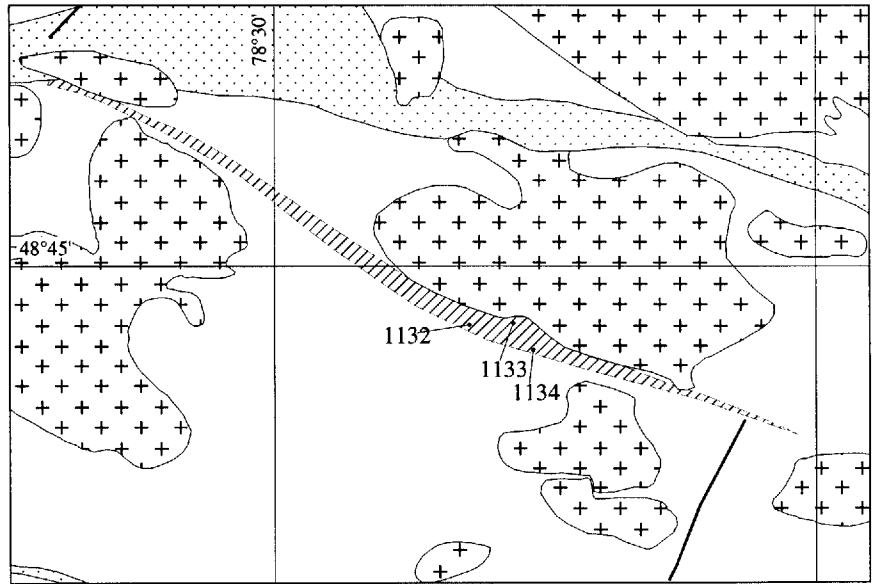
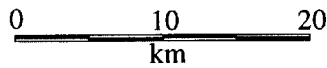


Nom Dalquier	Autre(s) nom(s):	No 233
---	------------------	---

Sommaire géologique



- Zone de déformation
- Granitoïde
- Roches sédimentaires
- Roches volcaniques



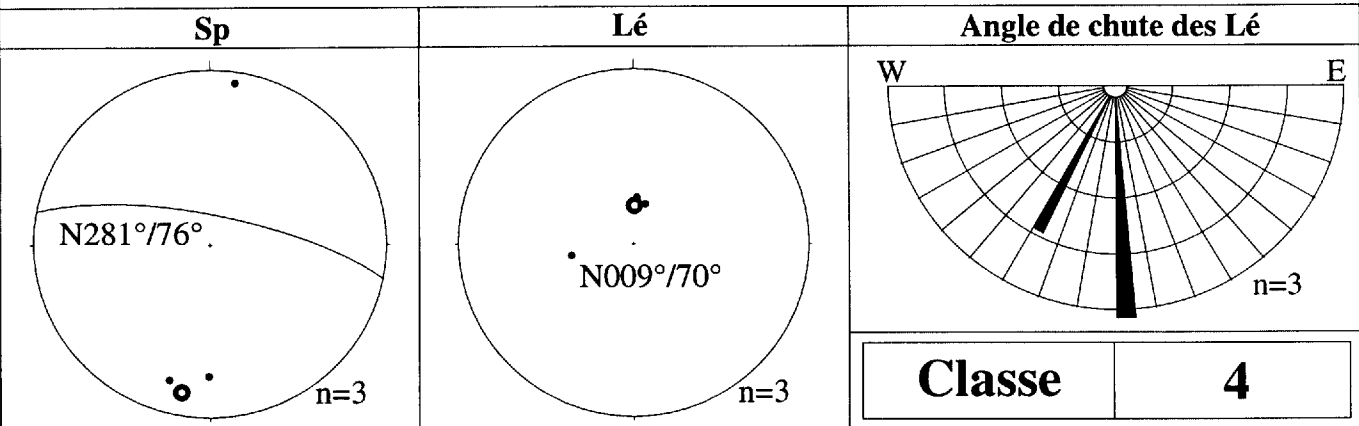
Stations 1132, 1134, 1133	Nb. 3
----------------------------------	--------------

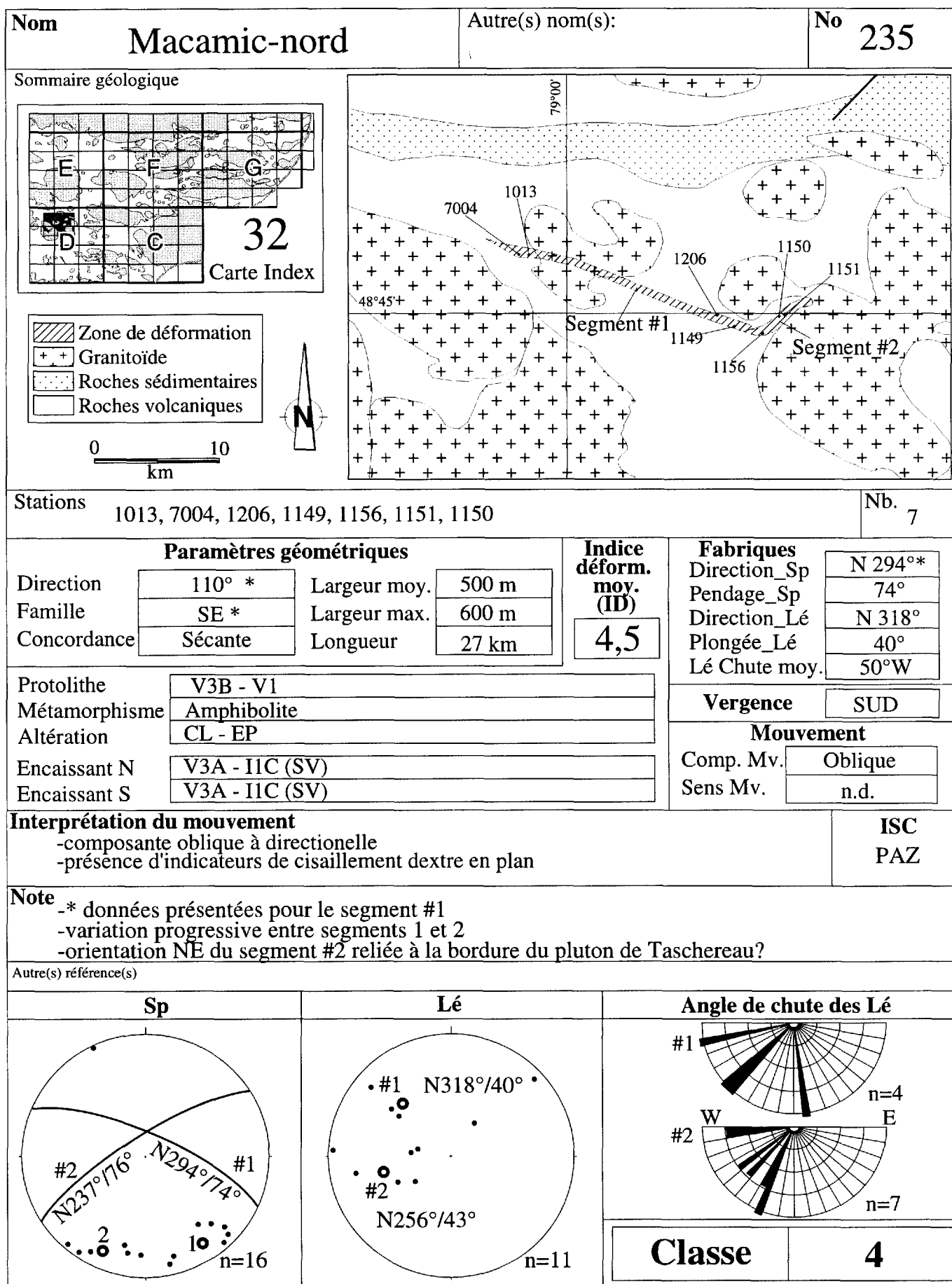
Paramètres géométriques		Indice déform. moy. (ID) 4	Fabriques		
Direction	115°		Direction_Sp	N 281°	
Famille	SE	Largeur moy.	1000 m	Pendage_Sp	76°
Concordance	Sécante	Largeur max.	1500 m	Direction_Lé	N 009°
		Longueur	56 km	Plongée_Lé	70°
				Lé Chute moy.	80°W
Protolithe	V3			Vergence SUD	
Métamorphisme	Schistes verts			Mouvement	
Altération	AK			Comp. Mv.	Pendage
Encaissant N	V3B -IIC (SV)			Sens Mv.	n.d.
Encaissant S	V3B (SV)				

Interprétation du mouvement	ISC
------------------------------------	------------

Note

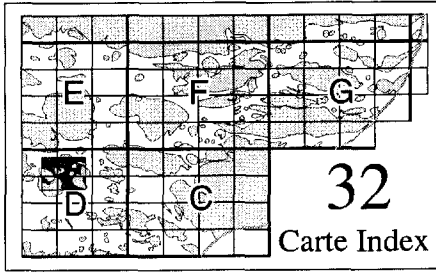
Autre(s) référence(s)



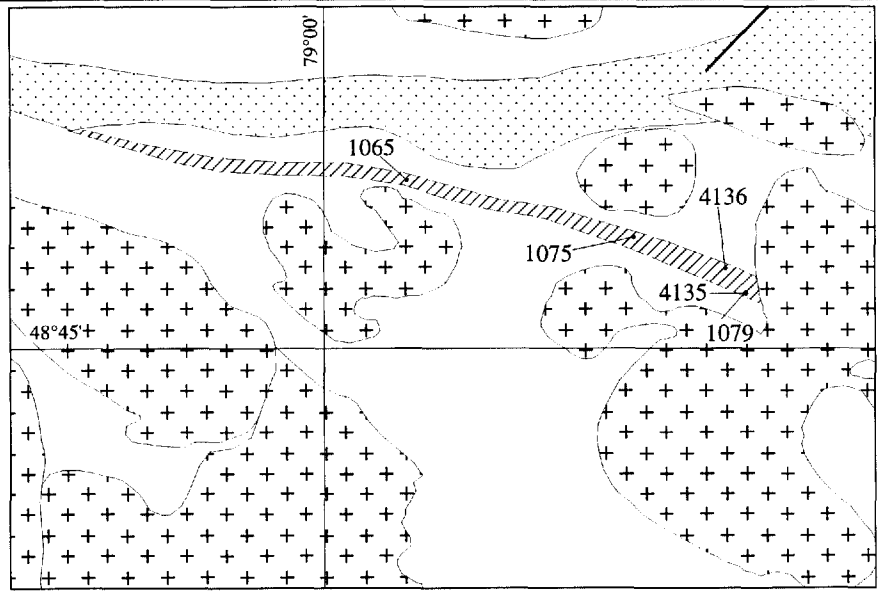
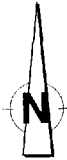


Nom <h1 style="text-align: center;">Authier</h1>	Autre(s) nom(s):	No <h1 style="text-align: center;">237</h1>
--	-------------------------	---

Sommaire géologique



- Zone de déformation
- Granitoïde
- Roches sédimentaires
- Roches volcaniques



Stations 1065, 1075, 4136, 4135, 1079	Nb. 5
---	-----------------

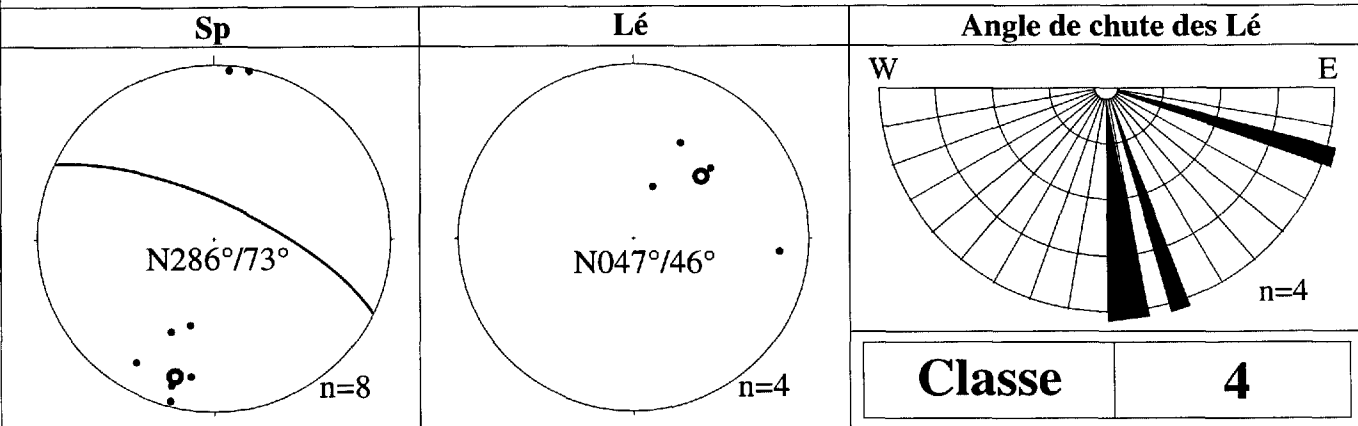
Paramètres géométriques				Indice déform. moy. (ID) 4	Fabriques	
Direction	105°	Largueur moy.	600 m		Direction_Sp	N 286°
Famille	SE	Largueur max.	1200 m		Pendage_Sp	73°
Concordance	Sécante	Longueur	39 km		Direction_Lé	N 047°
					Plongée_Lé	46°
					Lé Chute moy.	66°E

Protolithe	V3	Vergence SUD	
Métamorphisme	Amphibolite		
Altération		Mouvement	
Encaissant N	V3A (SV)		
Encaissant S	V3A (SV)		
		Comp. Mv.	Pendage
		Sens Mv.	n.d.

Interprétation du mouvement - composante pendage avec localement composante direction	ISC
---	------------

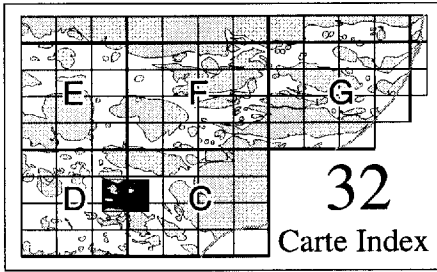
Note
-mylonite avec présence locale de tectonite L

Autre(s) référence(s)

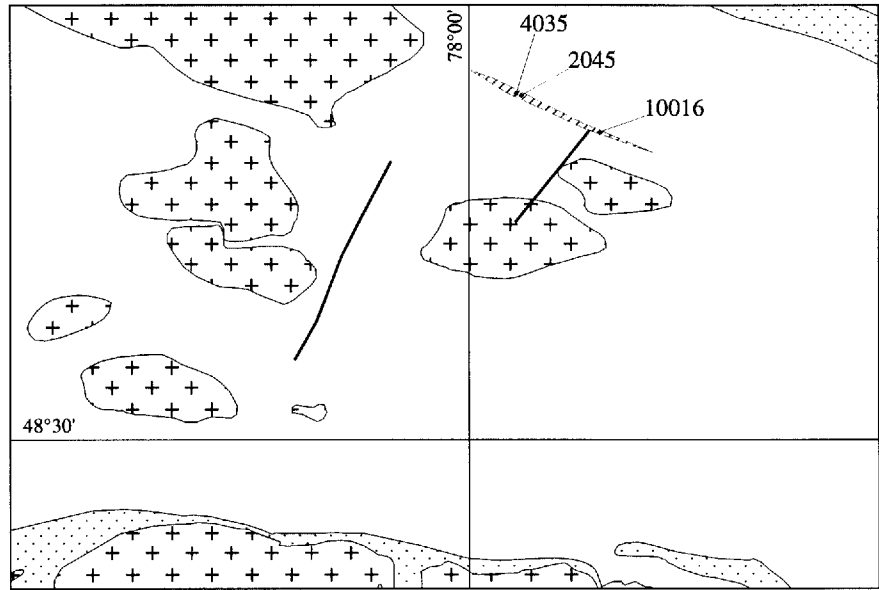


Nom **Duvay** Autre(s) nom(s): No **238**

Sommaire géologique



- Zone de déformation
- Granitoïde
- Roches sédimentaires
- Roches volcaniques



Stations 10016, 4035, 2045

Nb. 3

Paramètres géométriques

Direction	115 °	Largeur moy.	200 m
Famille	SE	Largeur max.	400 m
Concordance	Sécante	Longueur	12 km

Indice déform. moy. (ID)
3

Fabriques

Direction_Sp	N 292°
Pendage_Sp	85°
Direction_Lé	N 327°
Plongée_Lé	78°
Lé Chute moy.	80°

Protolithe	V1 - V3
Métamorphisme	Schistes verts
Altération	AK
Encaissant N	V1-V3 (SV)
Encaissant S	V1-V3 (SV)

Vergence NIL

Mouvement

Comp. Mv.	Pendage
Sens Mv.	n.d.

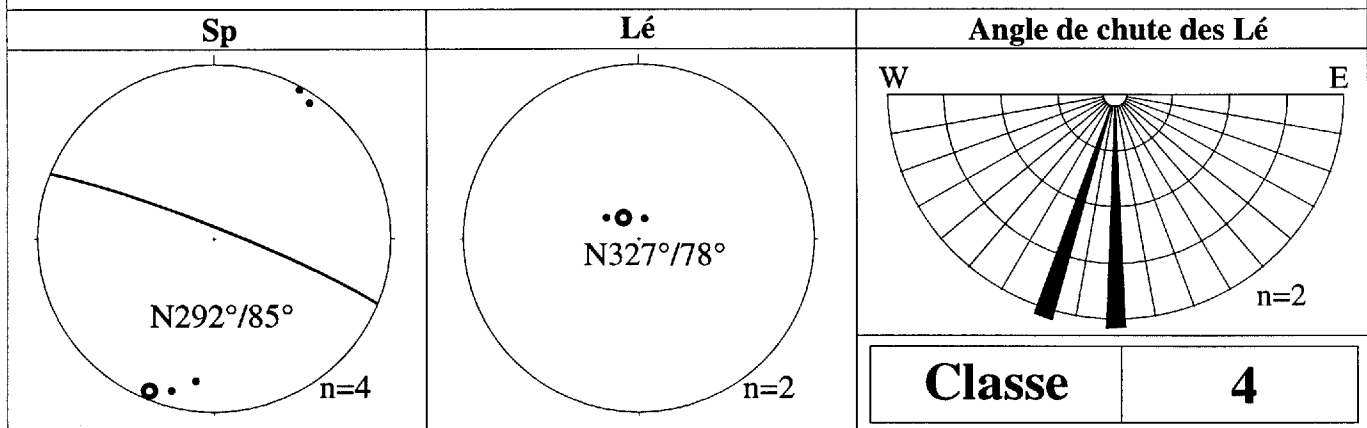
Interprétation du mouvement

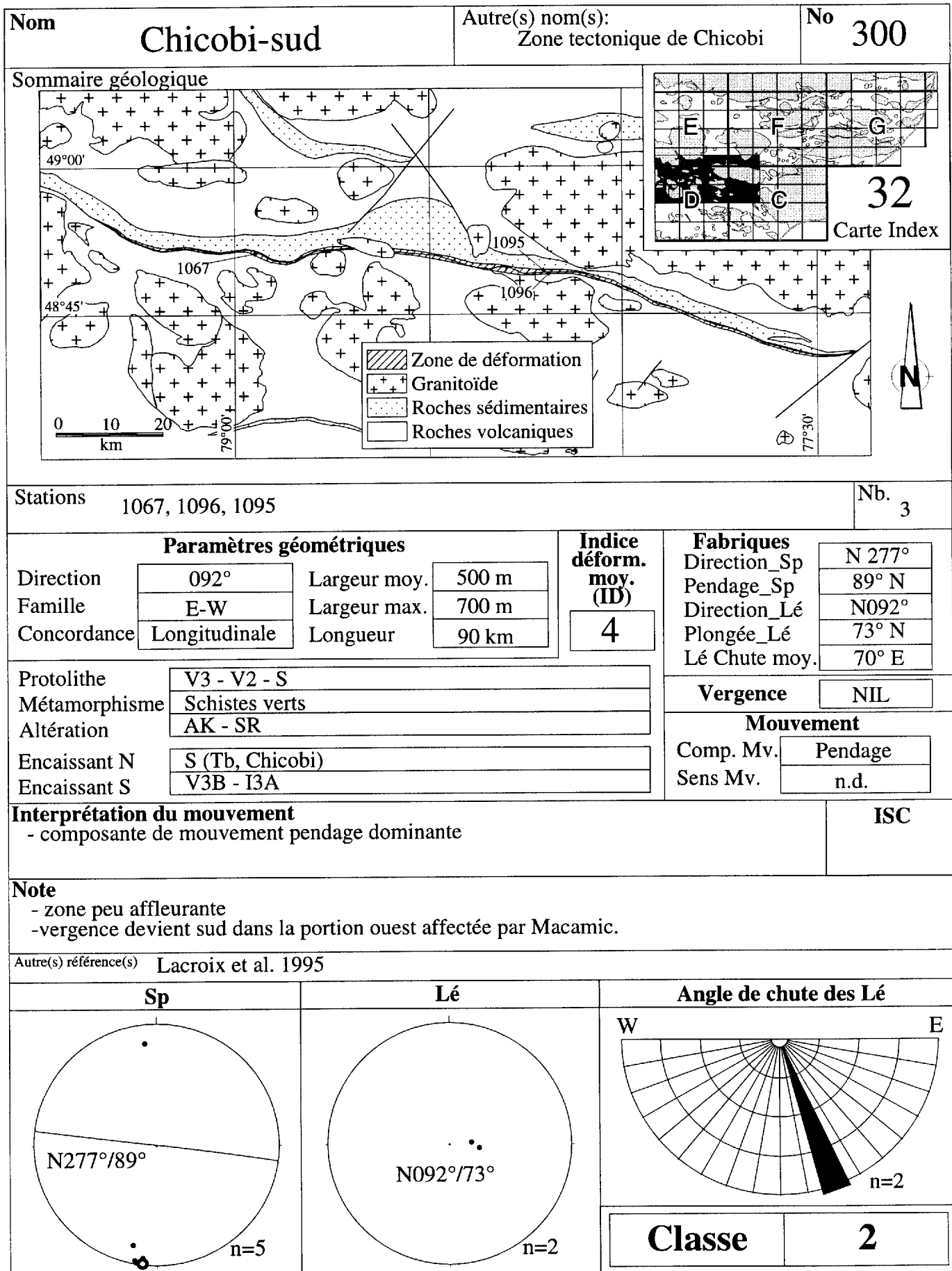
ISC

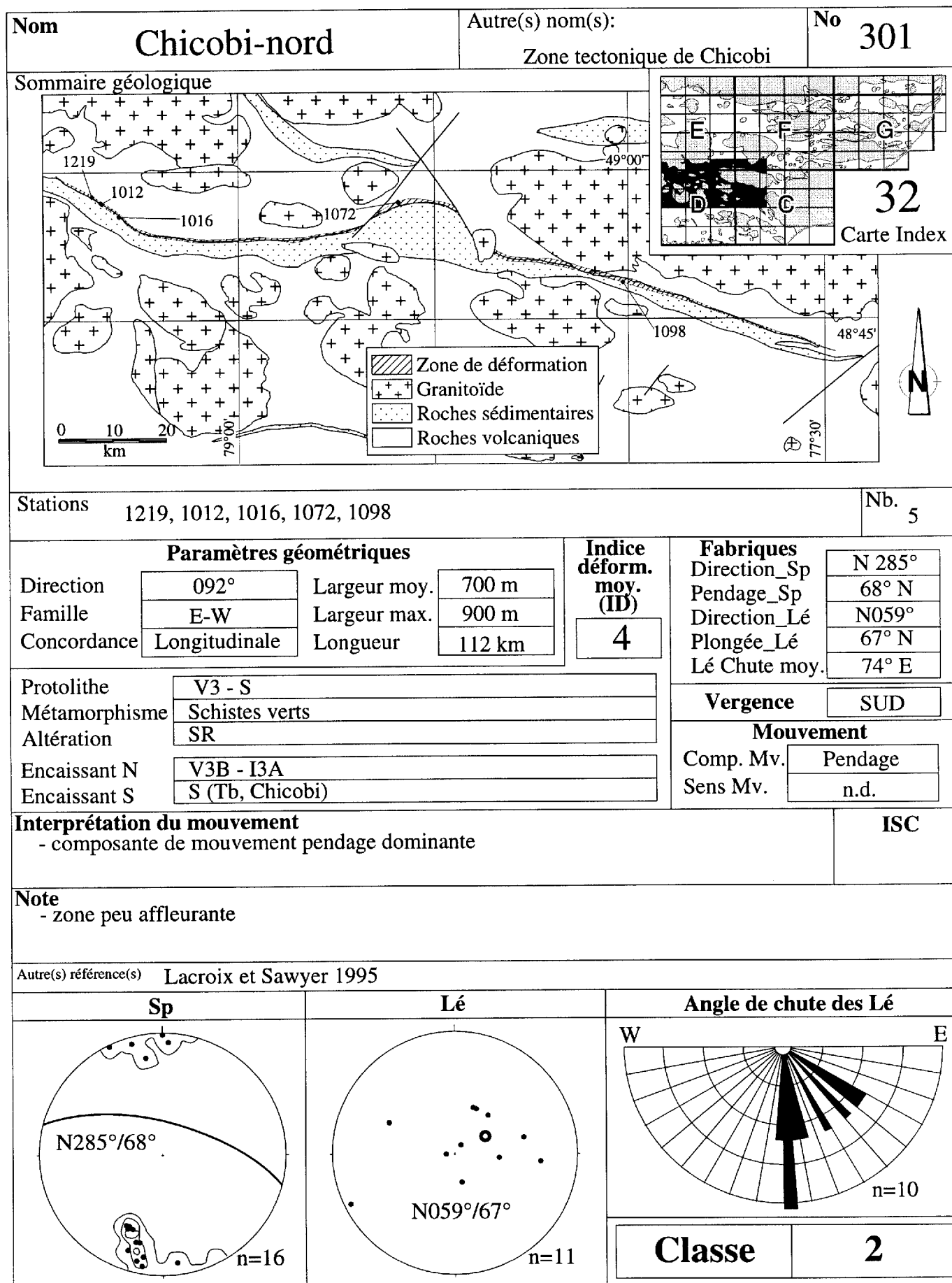
Note

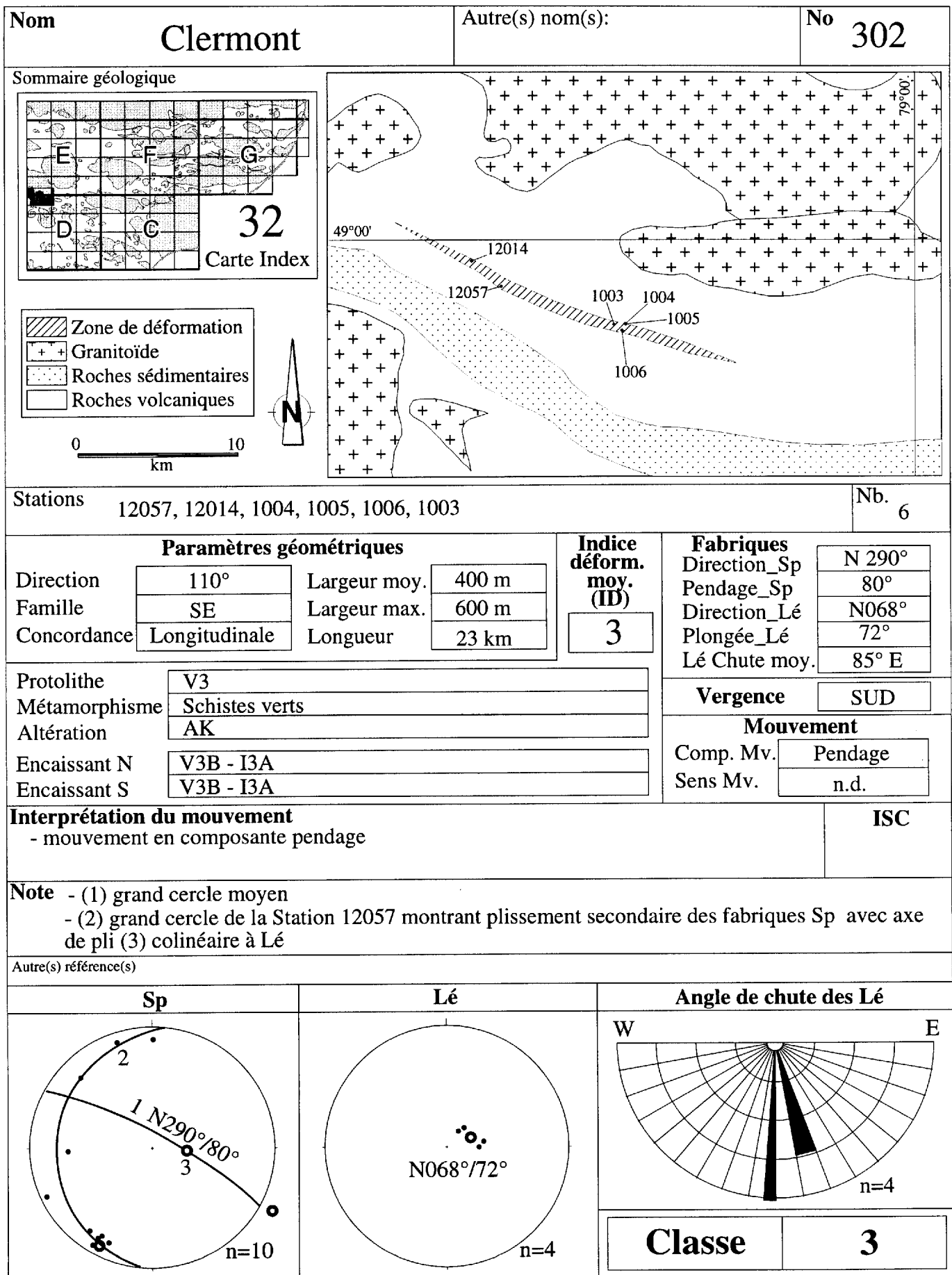
- déformation hétérogène, zones fortement déformées alternant avec zones peu déformées
- veines de quartz communes

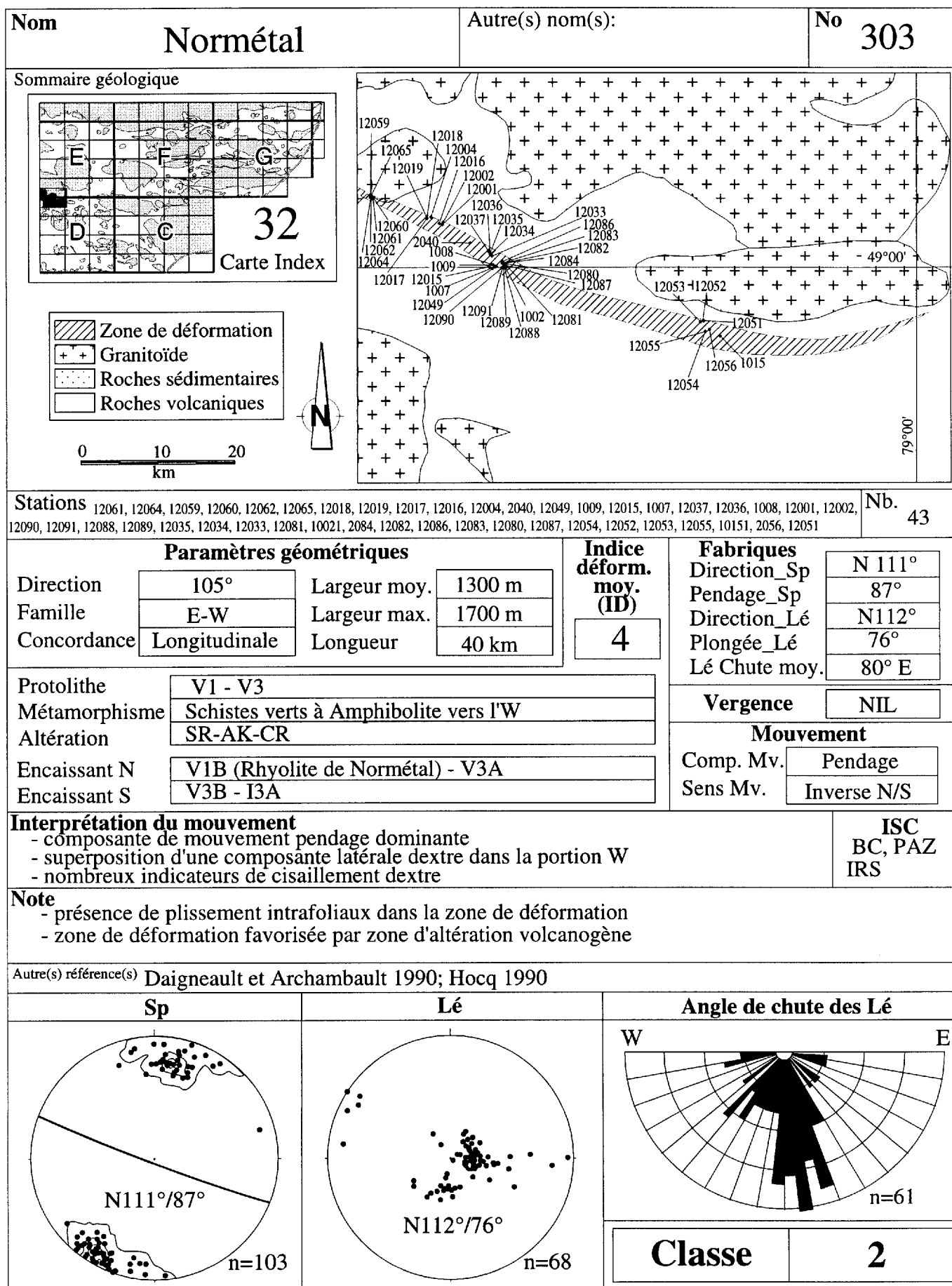
Autre(s) référence(s) Couture 1989

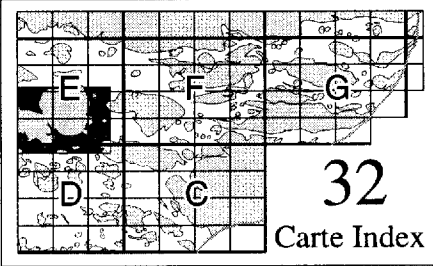
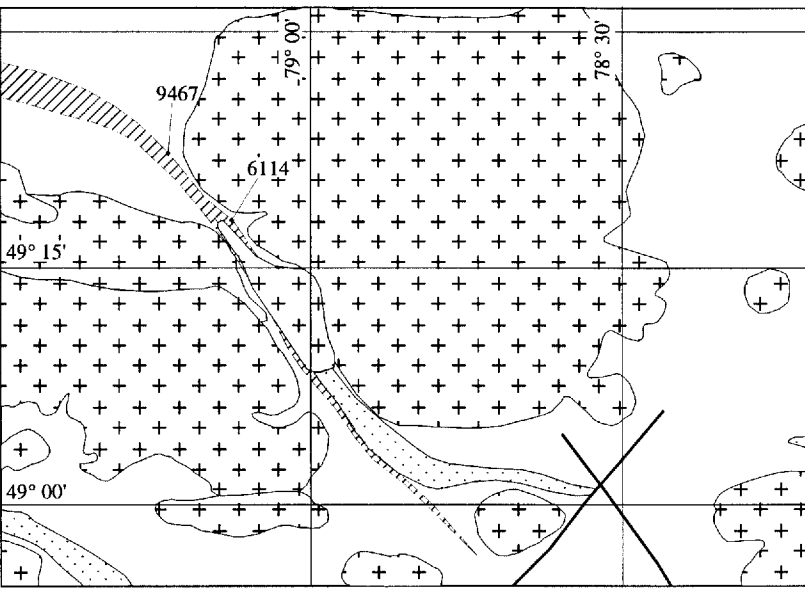
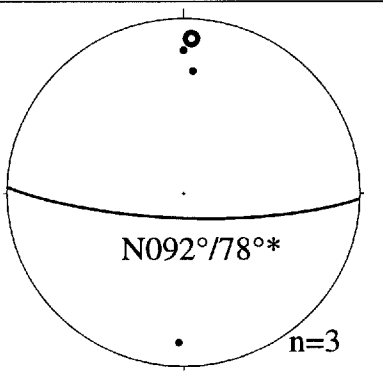
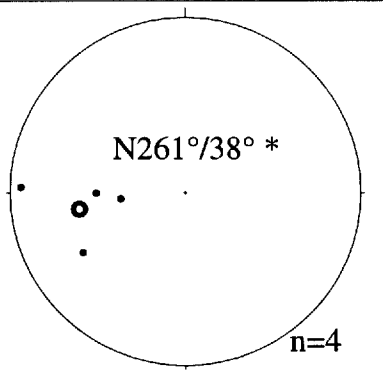
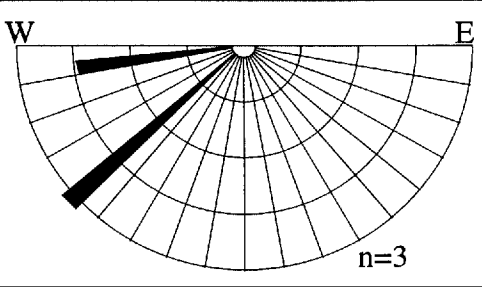






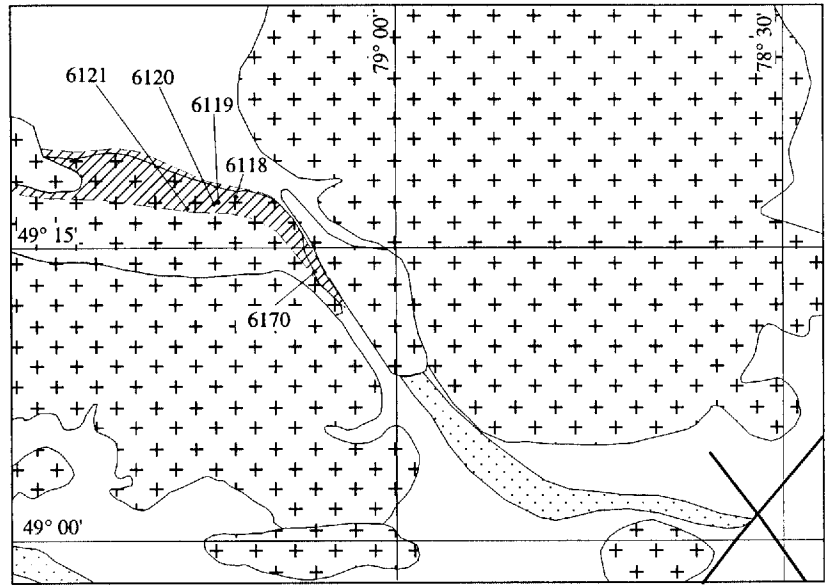
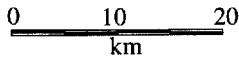
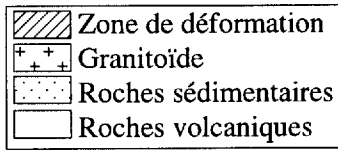
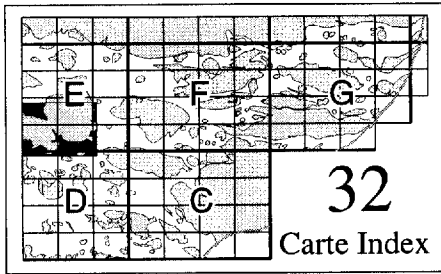




Nom		Laberge		Autre(s) nom(s):		No		304					
Sommaire géologique													
 <p>32 Carte Index</p>													
Stations								6114, 9467		Nb.		2	
Paramètres géométriques					Indice déform. moy. (ID)		Fabriques						
Direction		145°		Largeur moy.		1000 m		Direction_Sp		N 092°			
Familie		SE		Largeur max.		4000 m		Pendage_Sp		78° N			
Concordance		Sécante		Longueur		48 km(Min)		Direction_Lé		N261°			
								Plongée_Lé		38°			
								Lé Chute moy.		32° W			
Protolithe		V1 - V3 - S						Vergence		NORD			
Métamorphisme		Schistes verts						Mouvement					
Altération		AK - SR - CL						Comp. Mv.		Direction			
Encaissant N		V3 - S9						Sens Mv.		Dextre			
Encaissant S		V3 - S9											
Interprétation du mouvement										ISC			
- déplacement de marqueur stratigraphique donne un rejet apparent dextre de 6 km										CS			
Note													
- stations 6114 et 9467, situées en bordure de la zone de déformation, montrent des évidences de mouvement latérale dextre													
Autre(s) référence(s)													
Pilote et al. 1990; Daigneault et Archambault 1990													
Sp			Lé			Angle de chute des Lé							
 <p>N092°/78°* n=3</p>			 <p>N261°/38°* n=4</p>			 <p>n=3</p>				Classe		4	

Nom **Boivin-Paradis** Autre(s) nom(s): No **307**

Sommaire géologique



Stations 6121, 6120, 6119, 6118, 6170 Nb. 5

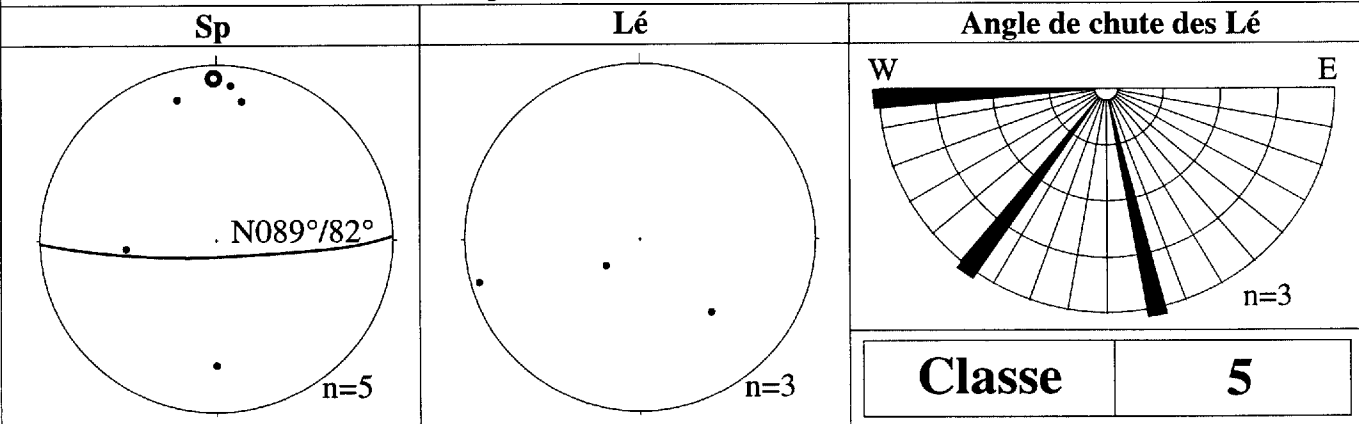
Paramètres géométriques				Indice déform. moy. (ID) 3,5	Fabriques	
Direction	090°	Largeur moy.	2800 m		Direction_Sp	N 089°
Famille	Auréole ?	Largeur max.	4800 m		Pendage_Sp	82°
Concordance	Longitudinale	Longueur	35 km		Direction_Lé	var.
					Plongée_Lé	var.
					Lé Chute moy.	var.
Protolithe	I3A - I2J			Vergence NORD		
Métamorphisme	Amphibolite - Schistes verts			Mouvement		
Altération				Comp. Mv.	n.d	
Encaissant N	V3B - I3A - S9			Sens Mv.	n.d	
Encaissant S	I1D - I3A - I2J (Complexe de Boivin)					

Interprétation du mouvement
- évidence de mouvements dextres tardifs

ISC

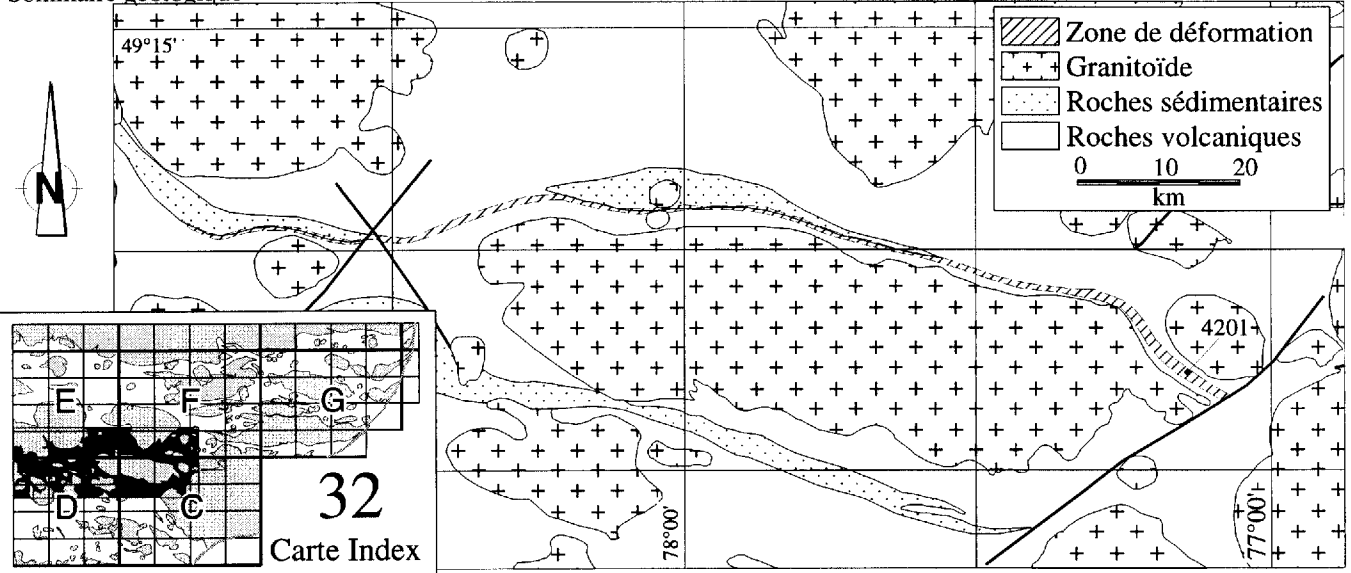
Note
-pourrait correspondre à l'auréole de déformation associée au complexe de Boivin

Autre(s) référence(s) Pilote et al. 1990; Daigneault et Archambault 1990



Nom Laflamme-sud	Autre(s) nom(s):	No 400
-----------------------------------	-------------------------	-------------------------

Sommaire géologique



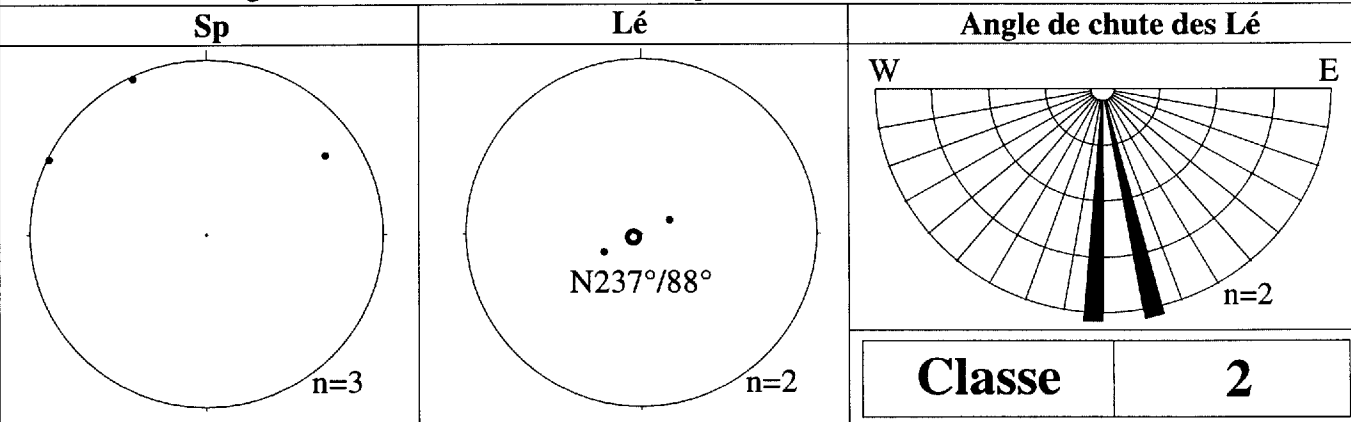
Stations 2049	Nb. 1
-------------------------	-----------------

Paramètres géométriques		Indice déform. moy. (ID) 4	Fabriques		
Direction	090°		Direction_Sp	n.d.	
Famille	E-W	Largueur moy.	1000 m	Pendage_Sp	n.d.
Concordance	Longitudinale	Largueur max.	n.d.	Direction_Lé	N 237°
		Longueur	n.d.	Plongée_Lé	88°
				Lé Chute moy.	85° E
Protolithe	V3			Vergence	n.d.
Métamorphisme	Schistes verts			Mouvement	
Altération	AK			Comp. Mv.	n.d.
Encaissant N	S (Tb, Taïbi)			Sens Mv.	n.d.
Encaissant S	V3B - I3A				

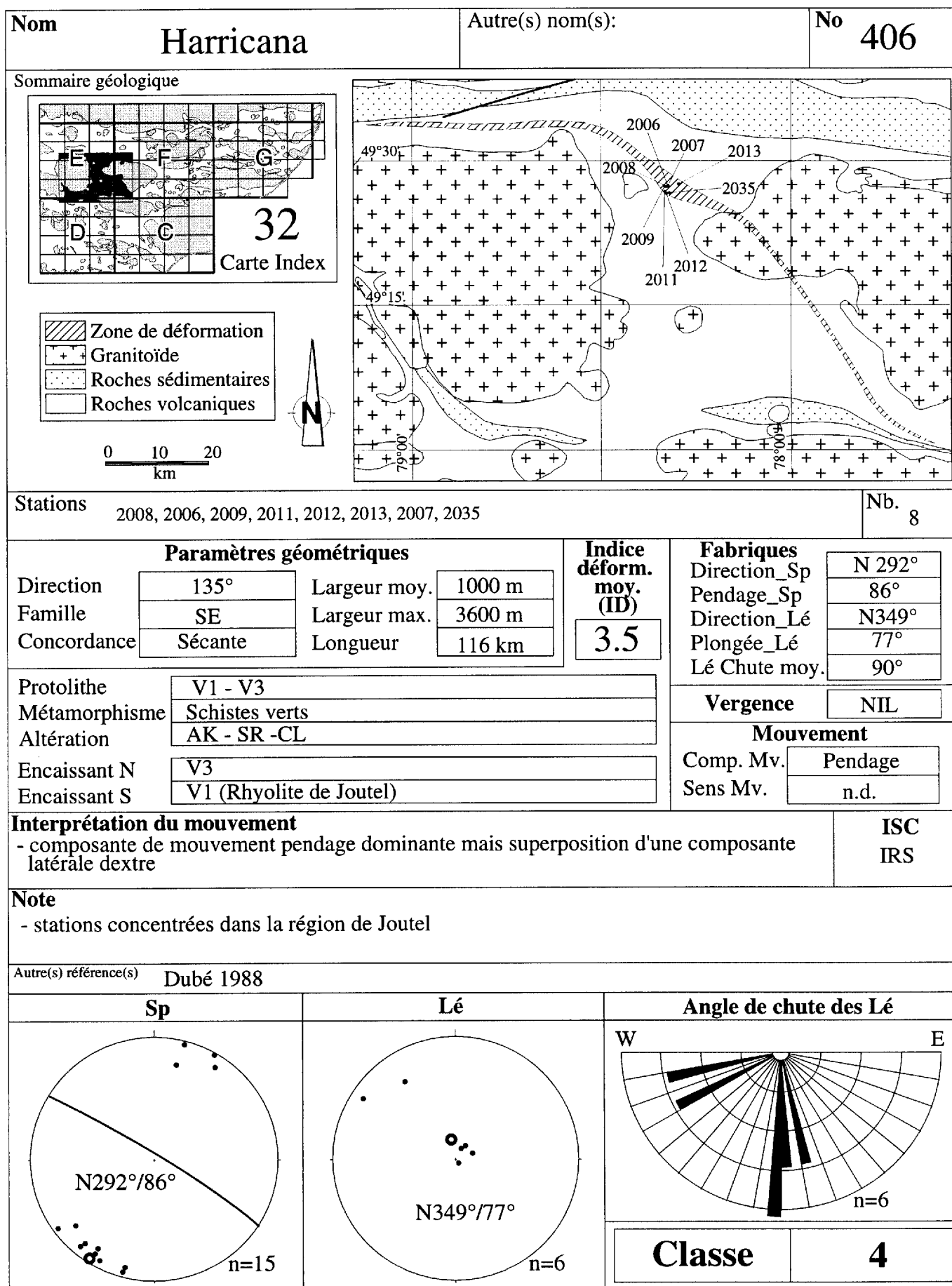
Interprétation du mouvement	ISC
------------------------------------	------------

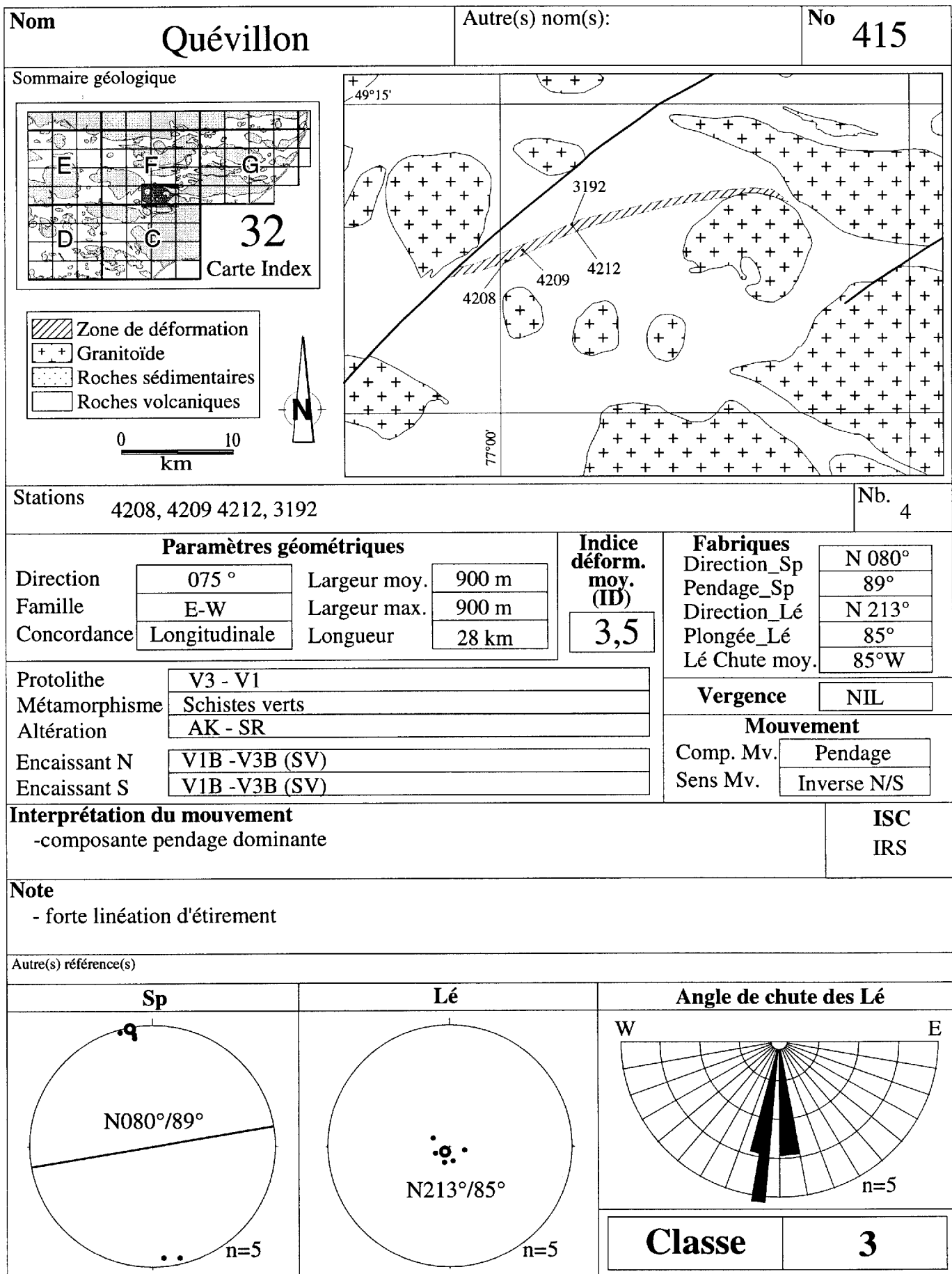
Note
- zone peu affleurante

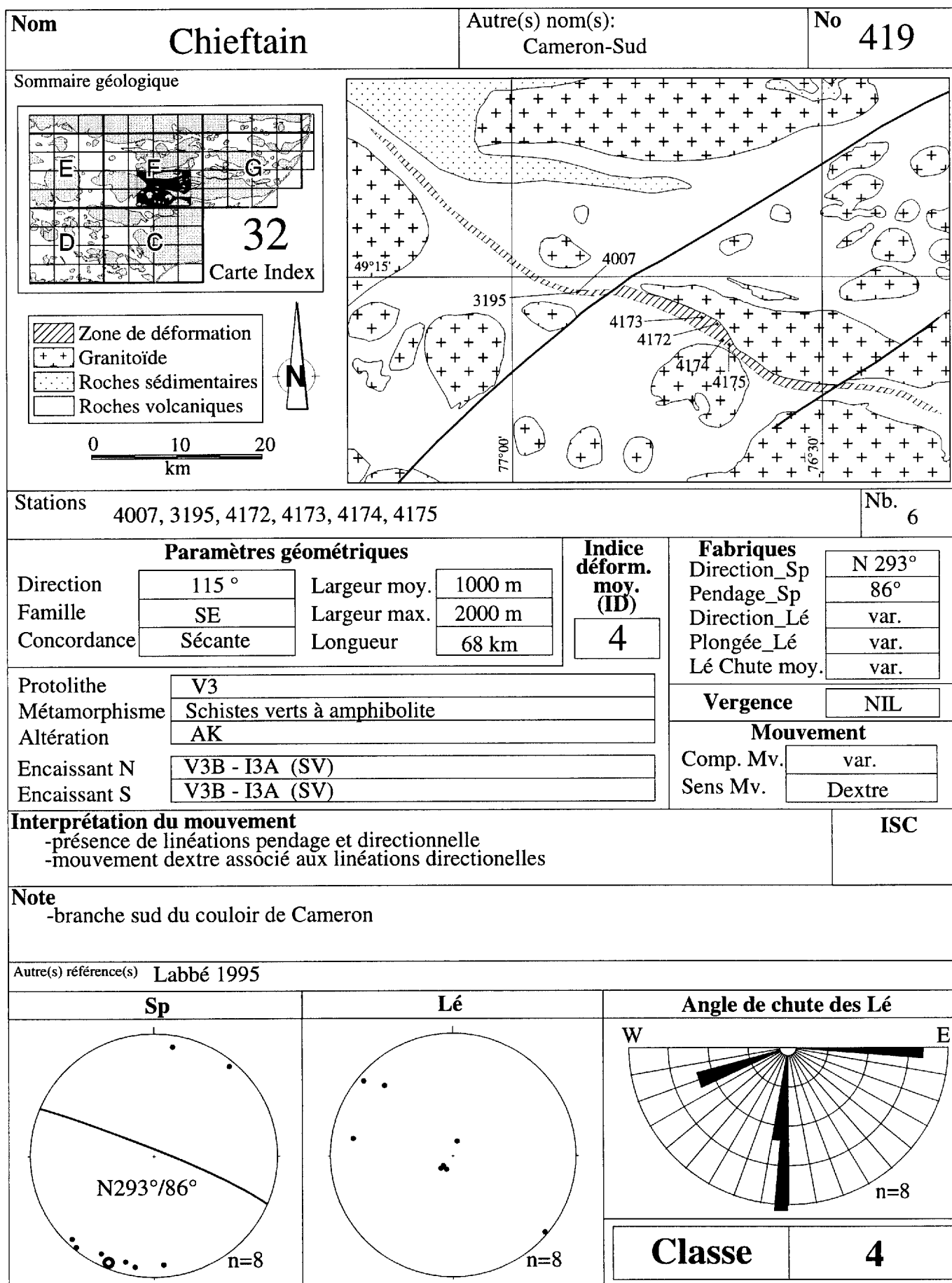
Autre(s) référence(s) Daigneault et Archambault 1990; Hocq 1990



Nom Laflamme-nord	Autre(s) nom(s): Vanier-Céloron-Glandelet	No 401																												
Sommaire géologique																														
Stations 2049		Nb. 1																												
<table border="1" style="width:100%; border-collapse: collapse;"> <tr> <th colspan="4" style="text-align: center;">Paramètres géométriques</th> </tr> <tr> <td style="width:15%;">Direction</td> <td style="width:15%;">090°</td> <td style="width:15%;">Largeur moy.</td> <td style="width:15%;">1000 m</td> </tr> <tr> <td>Famille</td> <td>E-W</td> <td>Largeur max.</td> <td>n.d</td> </tr> <tr> <td>Concordance</td> <td>Longitudinale</td> <td>Longueur</td> <td>n.d</td> </tr> </table>		Paramètres géométriques				Direction	090°	Largeur moy.	1000 m	Famille	E-W	Largeur max.	n.d	Concordance	Longitudinale	Longueur	n.d	<table border="1" style="width:100%; border-collapse: collapse;"> <tr> <td style="text-align: center;">Indice déform. moy. (ID)</td> </tr> <tr> <td style="text-align: center; font-size: 2em;">4</td> </tr> </table>	Indice déform. moy. (ID)	4										
Paramètres géométriques																														
Direction	090°	Largeur moy.	1000 m																											
Famille	E-W	Largeur max.	n.d																											
Concordance	Longitudinale	Longueur	n.d																											
Indice déform. moy. (ID)																														
4																														
<table border="1" style="width:100%; border-collapse: collapse;"> <tr> <td style="width:15%;">Protolithe</td> <td style="width:15%;">V3</td> </tr> <tr> <td>Métamorphisme</td> <td>Schistes verts</td> </tr> <tr> <td>Altération</td> <td>AK</td> </tr> <tr> <td>Encaissant N</td> <td>V3B - I3A</td> </tr> <tr> <td>Encaissant S</td> <td>S (Tb, Taïbi)</td> </tr> </table>		Protolithe	V3	Métamorphisme	Schistes verts	Altération	AK	Encaissant N	V3B - I3A	Encaissant S	S (Tb, Taïbi)	<table border="1" style="width:100%; border-collapse: collapse;"> <tr> <td style="text-align: center;">Fabriques</td> </tr> <tr> <td>Direction_Sp</td> <td style="text-align: center;">N 268°</td> </tr> <tr> <td>Pendage_Sp</td> <td style="text-align: center;">85°</td> </tr> <tr> <td>Direction_Lé</td> <td style="text-align: center;">N 063°</td> </tr> <tr> <td>Plongée_Lé</td> <td style="text-align: center;">58°</td> </tr> <tr> <td>Lé Chute moy.</td> <td style="text-align: center;">82° E</td> </tr> <tr> <td style="text-align: center;">Vergence</td> <td style="text-align: center;">n.d.</td> </tr> <tr> <td style="text-align: center;">Mouvement</td> </tr> <tr> <td>Comp. Mv.</td> <td style="text-align: center;">n.d.</td> </tr> <tr> <td>Sens Mv.</td> <td style="text-align: center;">n.d.</td> </tr> </table>	Fabriques	Direction_Sp	N 268°	Pendage_Sp	85°	Direction_Lé	N 063°	Plongée_Lé	58°	Lé Chute moy.	82° E	Vergence	n.d.	Mouvement	Comp. Mv.	n.d.	Sens Mv.	n.d.
Protolithe	V3																													
Métamorphisme	Schistes verts																													
Altération	AK																													
Encaissant N	V3B - I3A																													
Encaissant S	S (Tb, Taïbi)																													
Fabriques																														
Direction_Sp	N 268°																													
Pendage_Sp	85°																													
Direction_Lé	N 063°																													
Plongée_Lé	58°																													
Lé Chute moy.	82° E																													
Vergence	n.d.																													
Mouvement																														
Comp. Mv.	n.d.																													
Sens Mv.	n.d.																													
Interprétation du mouvement		ISC																												
Note																														
Autre(s) référence(s) Daigneault et Archambault 1990; Hocq 1990																														
Sp	Lé	Angle de chute des Lé																												
Classe		2																												

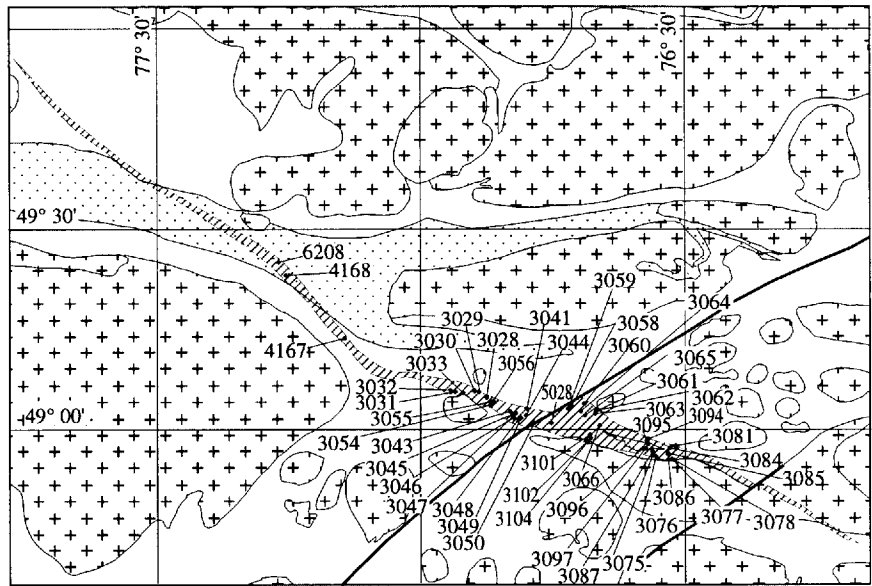
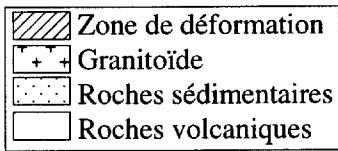
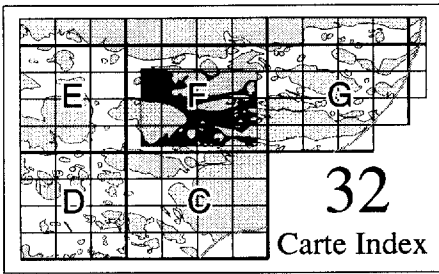






Nom <h1 style="text-align: center;">Cameron</h1>	Autre(s) nom(s):	No <h1 style="text-align: center;">420</h1>
--	-------------------------	---

Sommaire géologique



Stations 6208, 4168, 4167, 3032, 3031, 3033, 3055, 3054, 3043, 3045, 3046, 3030, 3047, 3048, 3049, 3050, 3029, 3028, 3041, 3056, 3044, 5028, 3104, 3102, 3101, 3096, 3066, 3097, 3087, 3075, 3059, 3064, 3060, 3058, 3061, 3062, 3065, 3063, 3095, 3094, 3076, 3086, 3085, 3077, 3078, 3081, 3084

Nb.
47

Paramètres géométriques

Direction	110°	Largeur moy.	1600 m
Famille	SE	Largeur max.	5700 m
Concordance	Sécante	Longueur	140 km

Indice déform. moy. (ID)
4,5

Fabriques

Direction_Sp	N 290°
Pendage_Sp	88° N
Direction_Lé	N288°
Plongée_Lé	15°
Lé Chute moy.	15°W

Vergence

NIL

Mouvement

Comp. Mv.	Direction
Sens Mv.	Dextre

Protolithe	V3
Métamorphisme	Schistes verts à localement amphibolite
Altération	AK- CL - EP
Encaissant N	V3B - I3A - S
Encaissant S	V3B - I3A - S

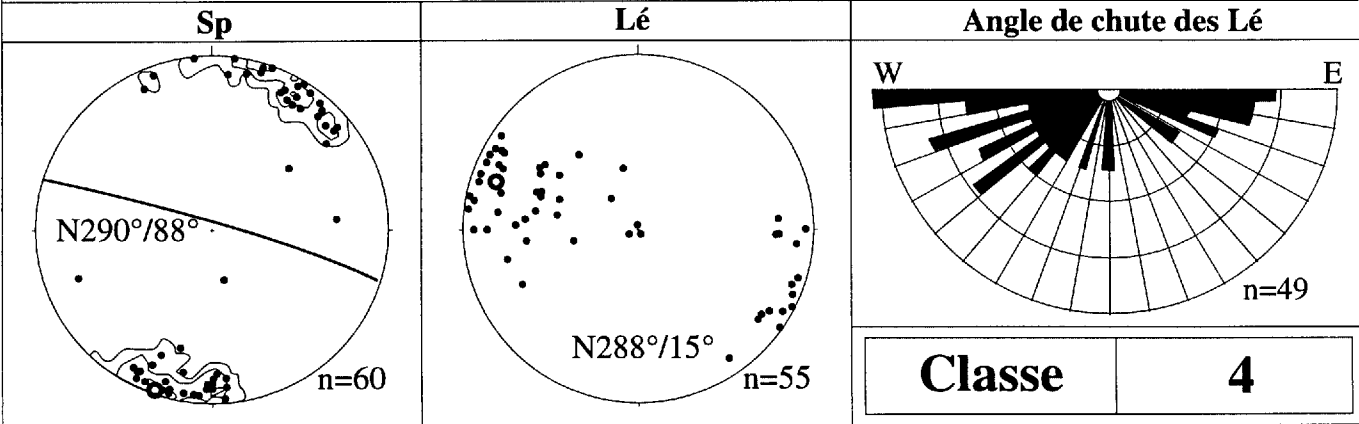
Interprétation du mouvement

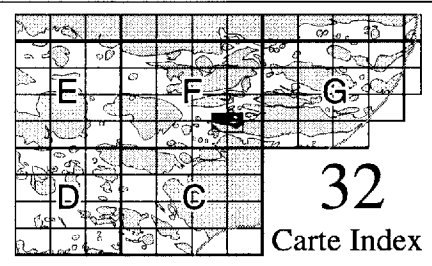
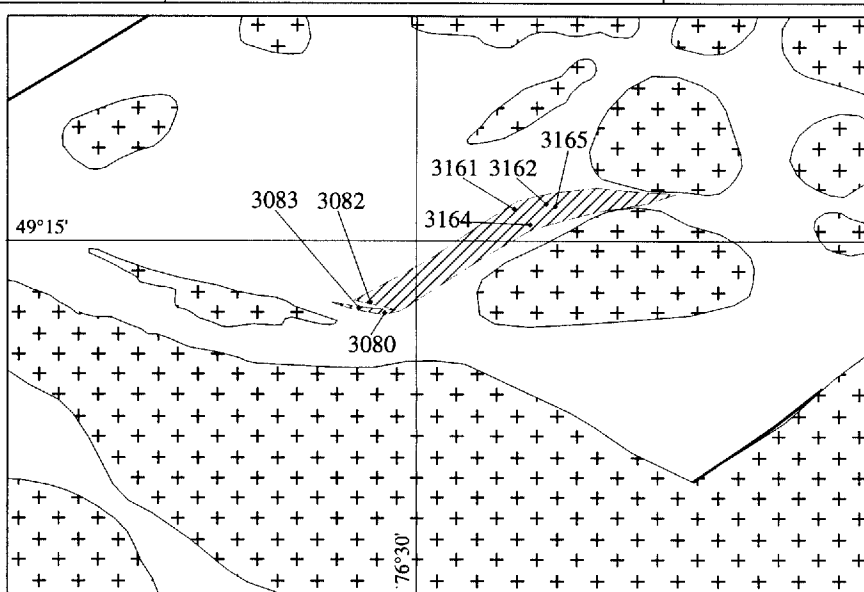
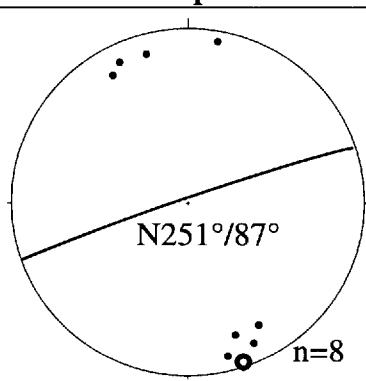
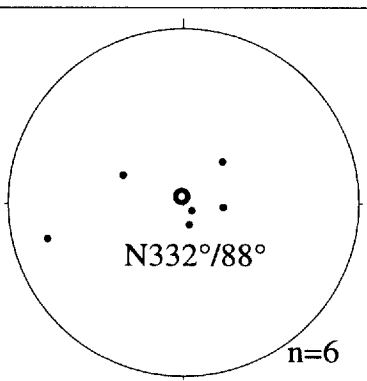
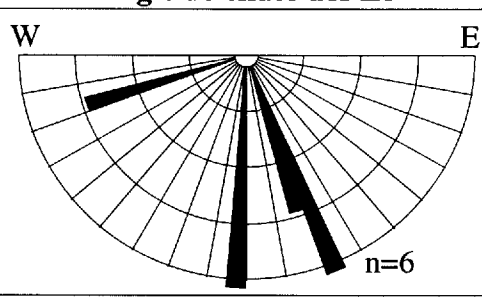
- composante direction dominante
- décalage dextre de repère de 20 km
- panoplie d'indicateurs de sens de cisaillement dextre

ISC
BC, BAA
IRS, DO

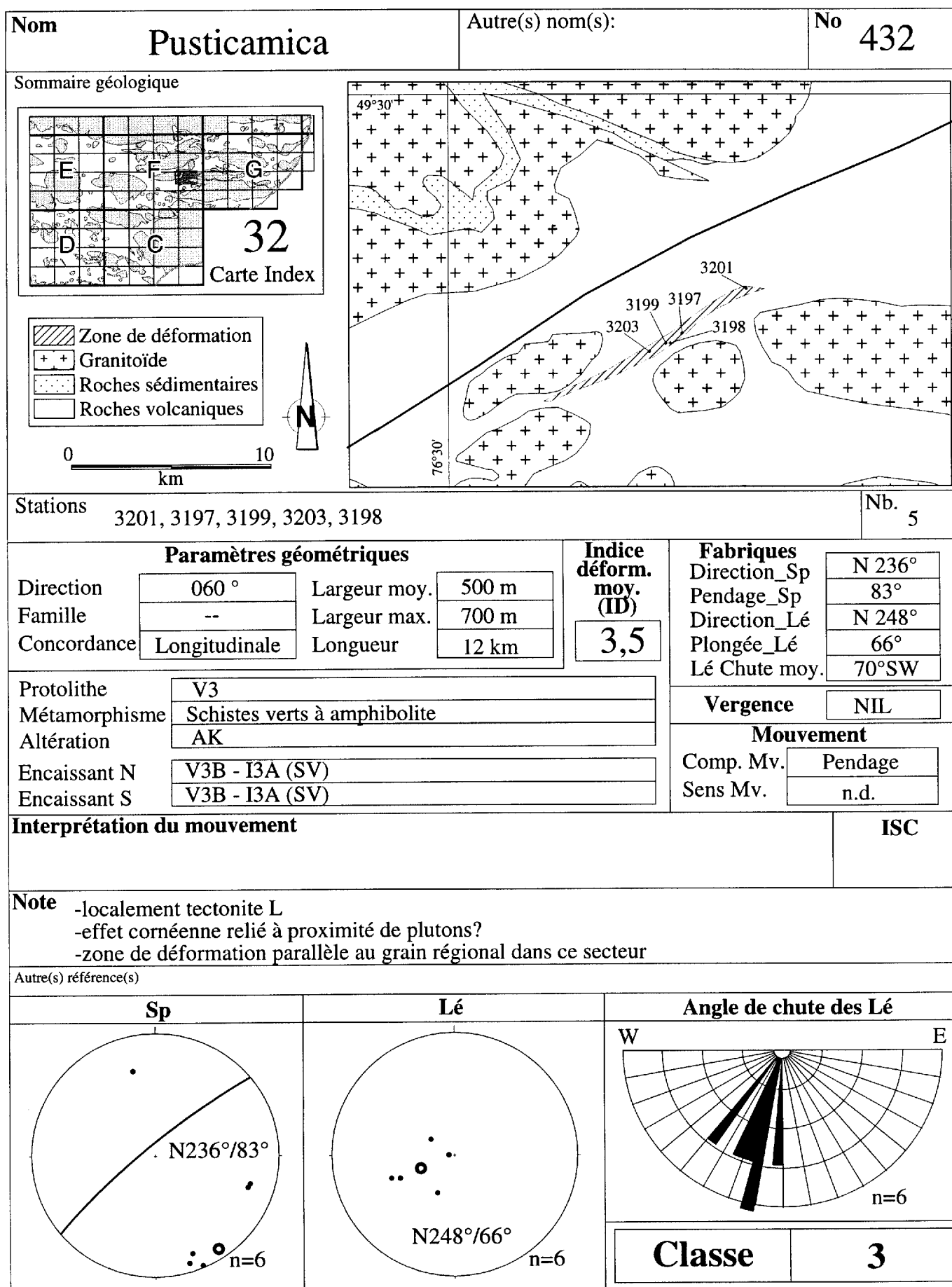
Note
-présence locale de zones à linéations d'étirement abruptes

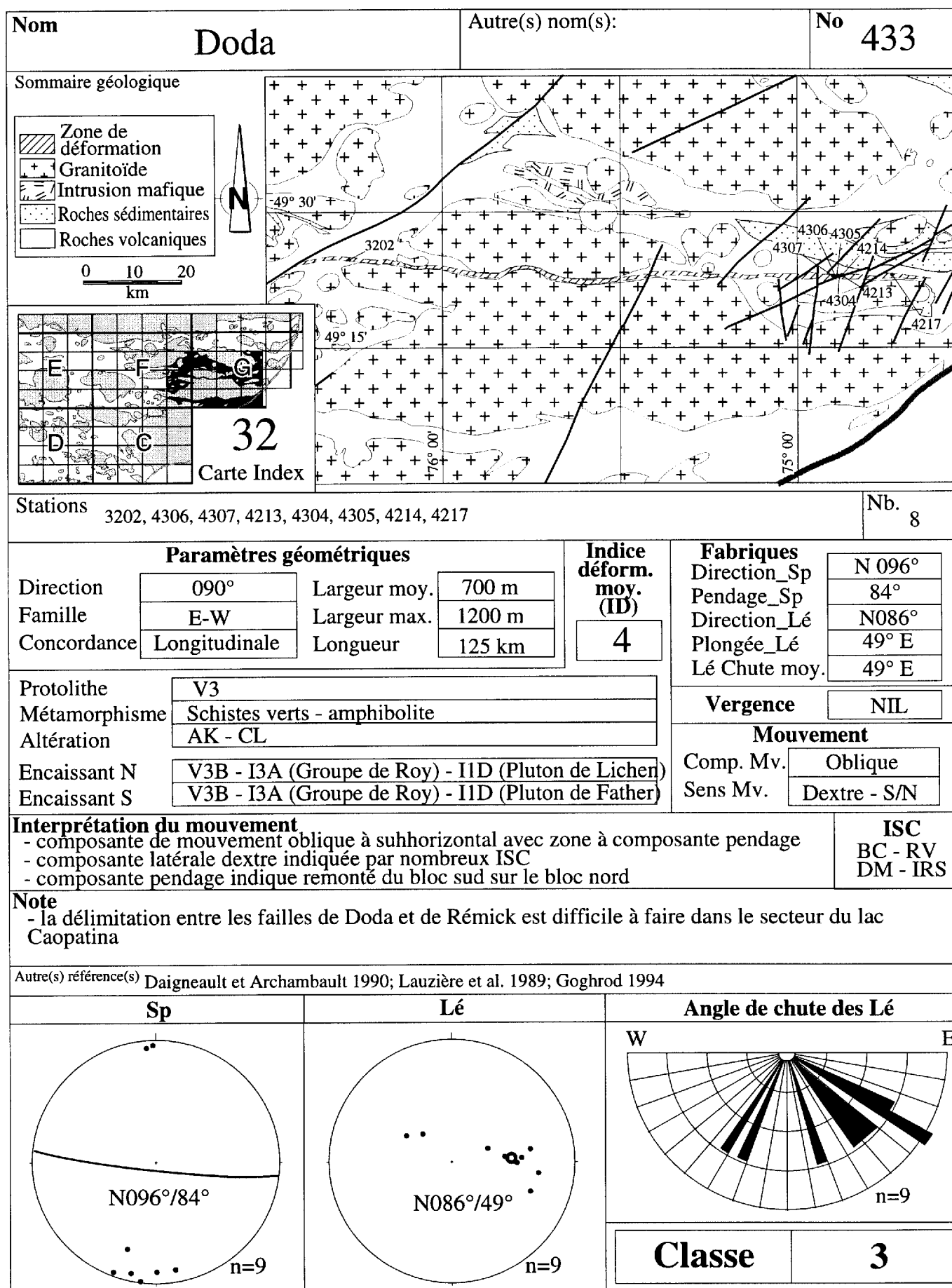
Autre(s) référence(s) Daigneault et Archambault 1990; Lacroix et al. 1992; Proulx 1991

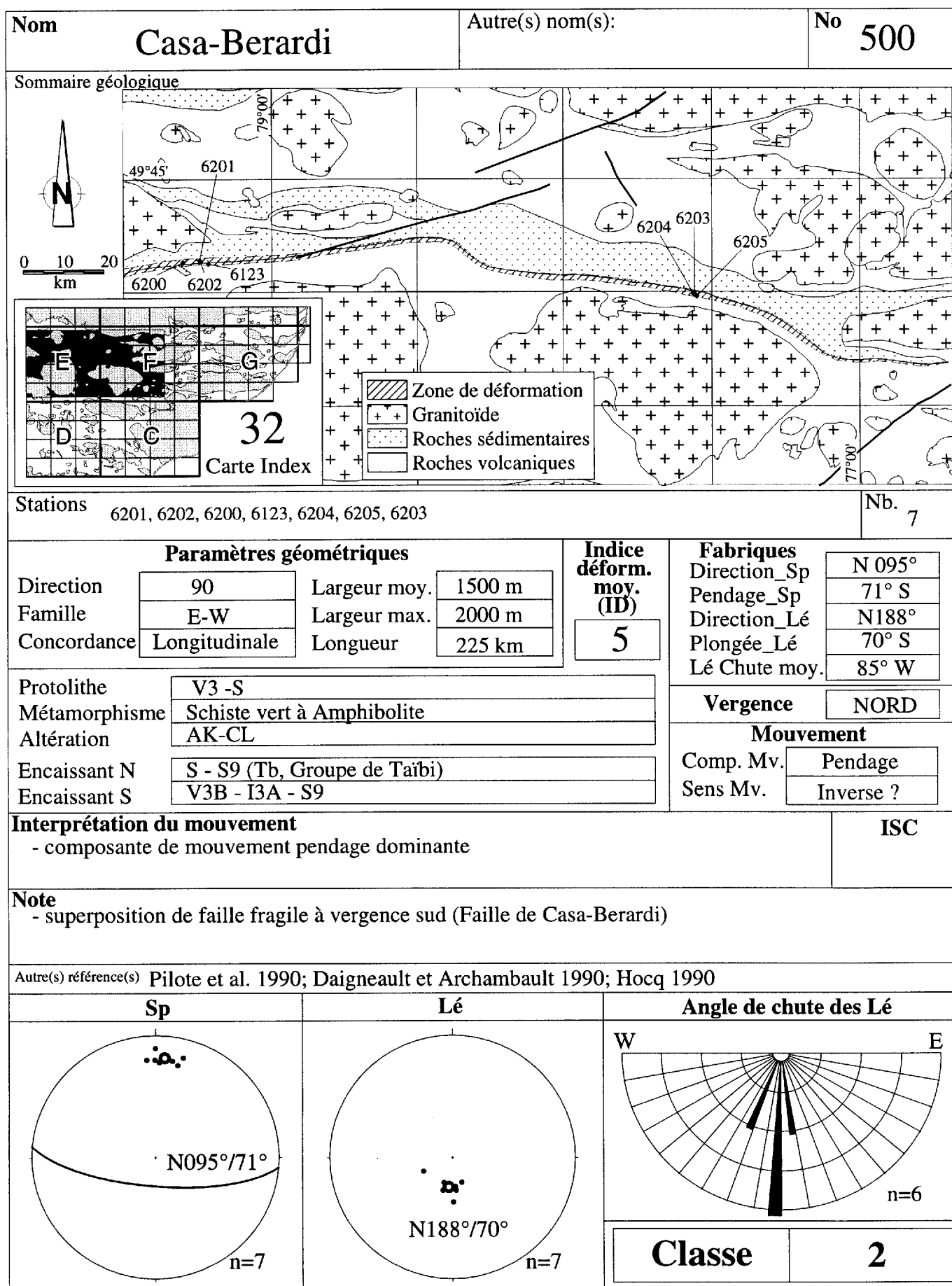


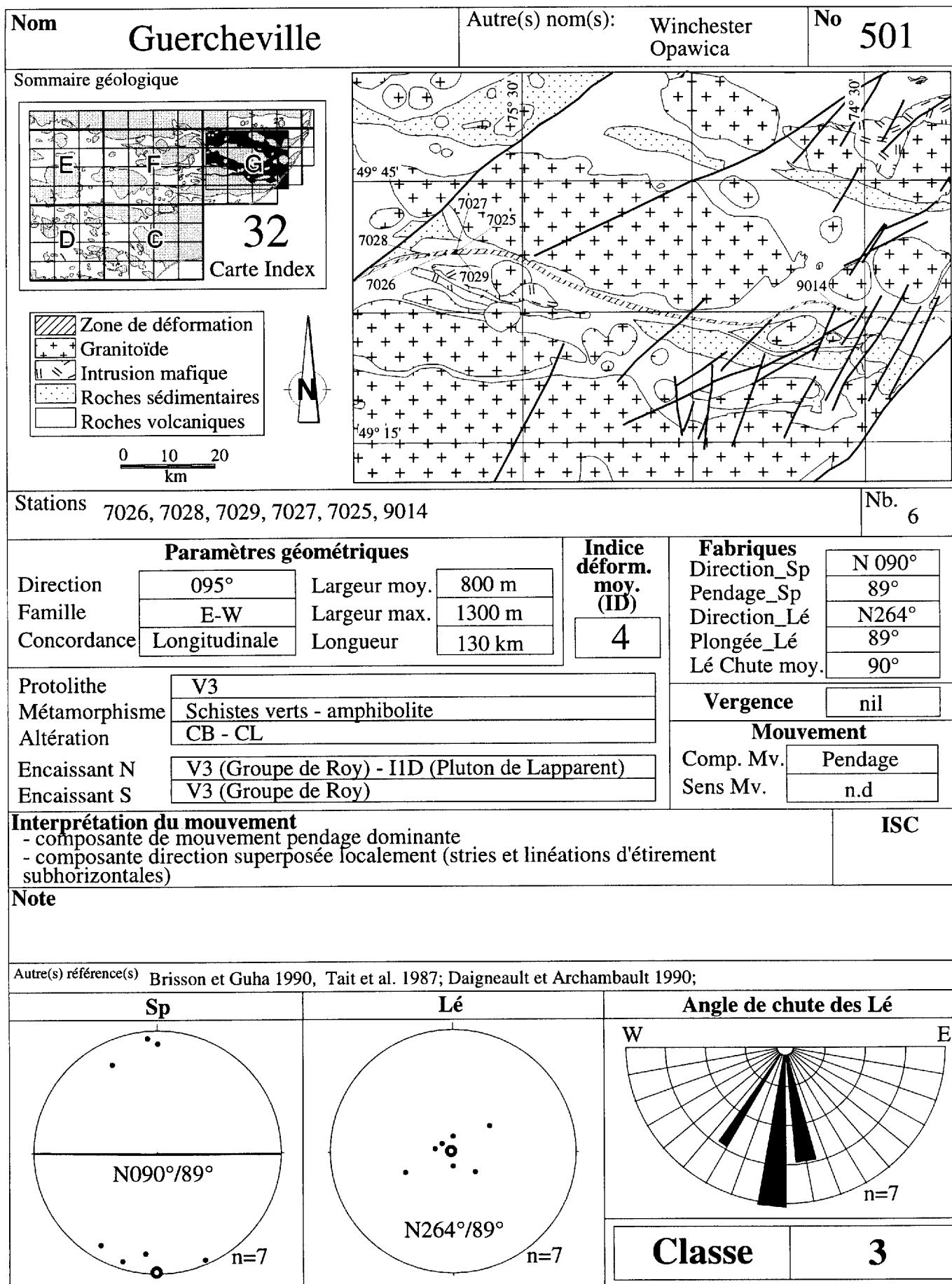
Nom Mountain		Autre(s) nom(s):		No 424	
Sommaire géologique					
 <p>32 Carte Index</p>					
Stations 3083, 3082, 3080, 3161, 3165, 3164					Nb. 7
Paramètres géométriques			Indice déform. moy. (ID) 3,5	Fabriques	
Direction	070 °	Largeur moy.		1000 m	Direction_Sp
Famille	--	Largeur max.	1000 m	Pendage_Sp	87°
Concordance	Longitudinale	Longueur	11 km	Direction_Lé	N 332°
				Plongée_Lé	88°
				Lé Chute moy.	90°
Protolithe	V3 - I3A			Vergence NIL	
Métamorphisme	Schistes verts			Mouvement	
Altération	AK			Comp. Mv.	Pendage
Encaissant N	V3b - I3A (SV)			Sens Mv.	n.d.
Encaissant S	V3b - I3A (SV)				
Interprétation du mouvement					ISC
Note -recoupé par le couloir de Cameron -zone de déformation parallèle au grain régional					
Autre(s) référence(s)					
Sp		Lé		Angle de chute des Lé	
 <p>N251°/87° n=8</p>		 <p>N332°/88° n=6</p>		 <p>n=6</p>	
				Classe	3

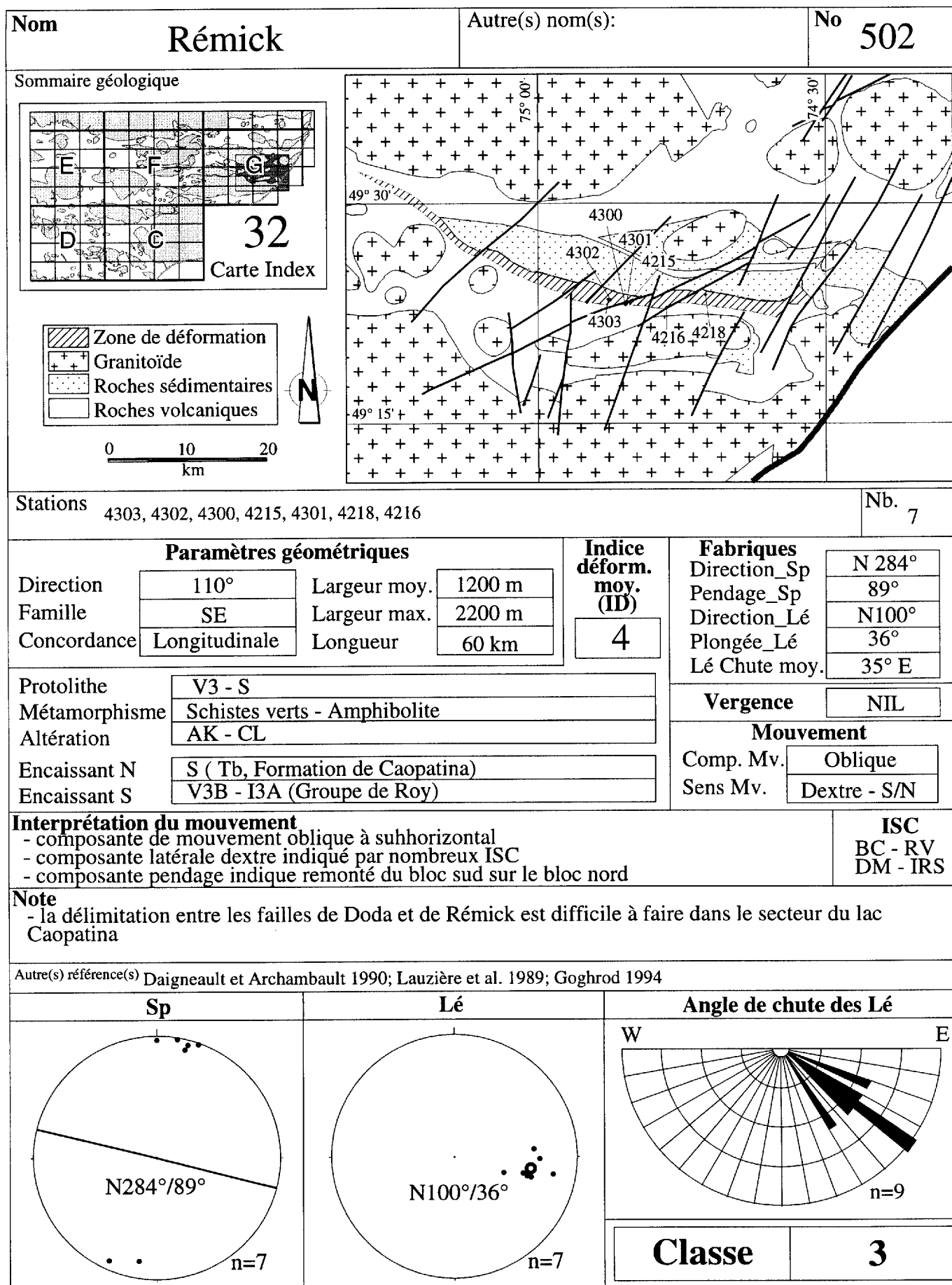
Nom Esther		Autre(s) nom(s):		No 428		
Sommaire géologique						
Stations 3017, 3015, 3022, 3023			Nb. 4			
Paramètres géométriques				Indice déform. moy. (ID) 3,5	Fabriques	
Direction 085 °		Largeur moy. 500 m			Direction_Sp N 272°	Pendage_Sp 87°
Famille E-W		Largeur max. 700 m		Direction_Lé N 125°	Plongée_Lé 83°	
Concordance Longitudinale		Longueur 12 km		Lé Chute moy. 85°E	Vergence NIL	
Protolithe V3		Métamorphisme Schistes verts		Mouvement		
Altération AK		Encaissant N V3 (SV)		Comp. Mv. Pendage	Sens Mv. n.d.	
Encaissant S V3 (SV)		Interprétation du mouvement				
				ISC		
Note						
Autre(s) référence(s) Proulx 1991						
Sp		Lé		Angle de chute des Lé		
				Classe		
				3		

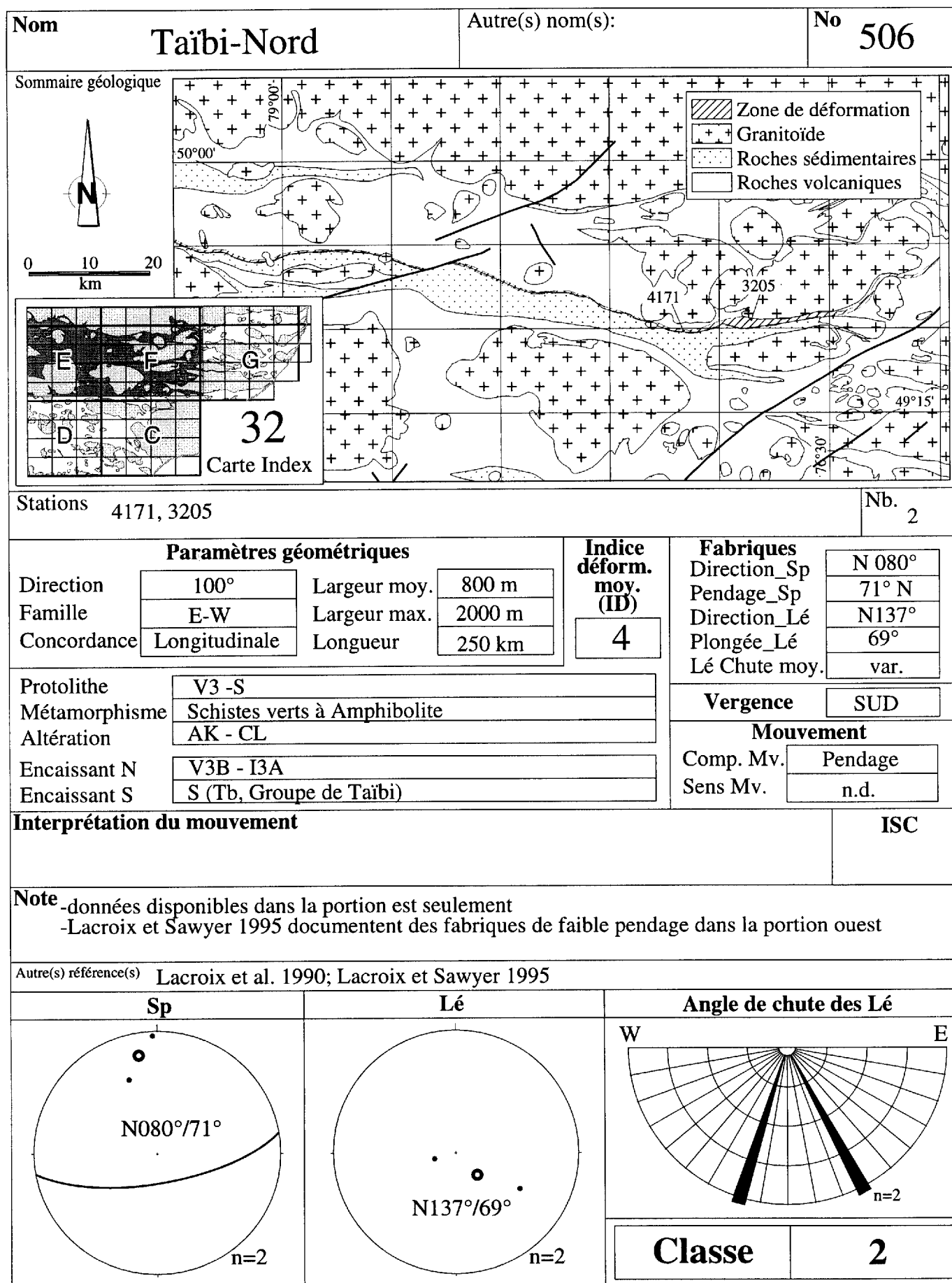






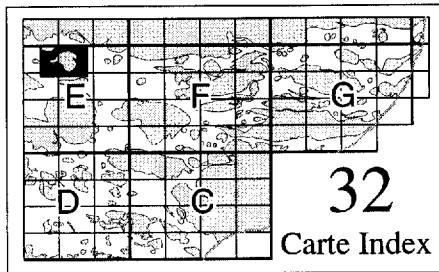




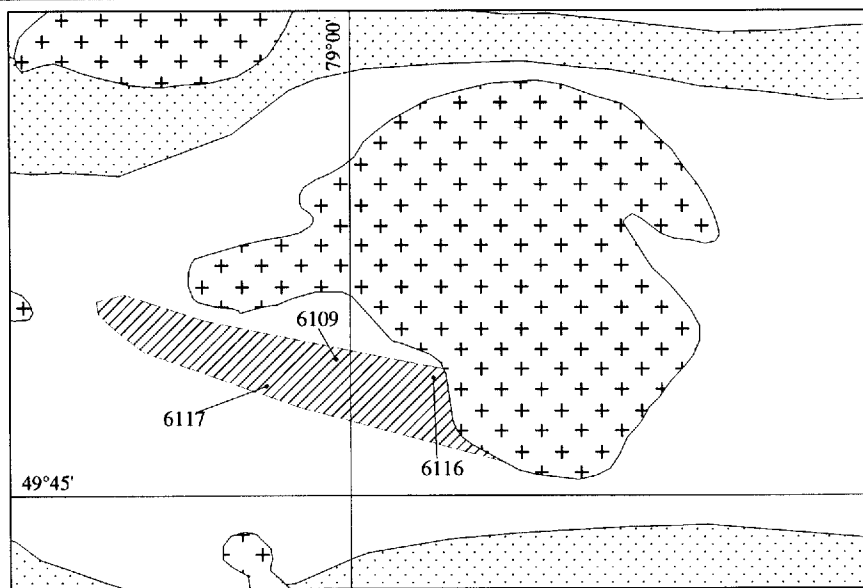


Nom <h1 style="text-align: center;">Brouillan</h1>	Autre(s) nom(s):	No <h1 style="text-align: center;">507</h1>
--	-------------------------	---

Sommaire géologique



- Zone de déformation
- Granitoïde
- Roches sédimentaires
- Roches volcaniques



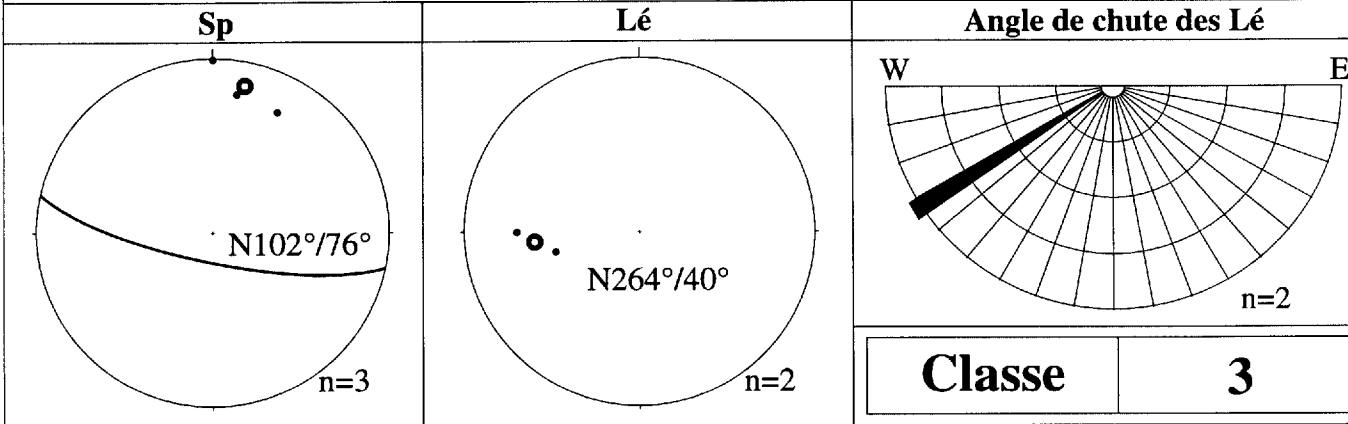
Stations 6117, 6109, 6116	Nb. 3
----------------------------------	--------------

Paramètres géométriques		Indice déform. moy. (ID) 4	Fabriques		
Direction	105°		Direction_Sp	N 102°	
Famille	E-W	Largeur moy.	3000 m	Pendage_Sp	76°
Concordance	Longitudinale	Largeur max.	3600 m	Direction_Lé	N 264°
		Longueur	11 km	Plongée_Lé	40°
				Lé Chute moy.	40°W
Protolithe	V1		Vergence		NORD
Métamorphisme	Schistes verts		Mouvement		
Altération	SR		Comp. Mv.	Oblique	
Encaissant N	V1B-V3B (SV)		Sens Mv.	n.d.	
Encaissant S	V1B-V3B (SV)				

Interprétation du mouvement -Dextre oblique selon Lacroix 1994	ISC
--	------------

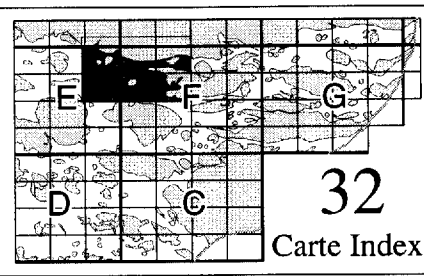
Note

Autre(s) référence(s) Lacroix 1994



Nom Matagami	Autre(s) nom(s):	No 511
---------------------	-------------------------	---------------

Sommaire géologique



32

Carte Index

Zone de déformation

Granitoïde

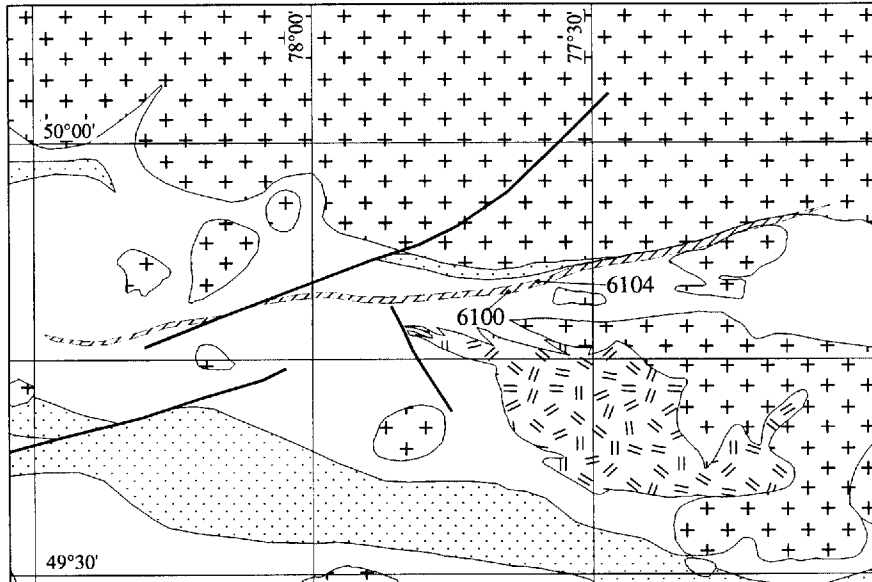
Roches sédimentaires

Intrusion mafique

Roches volcaniques

0 10 20

km



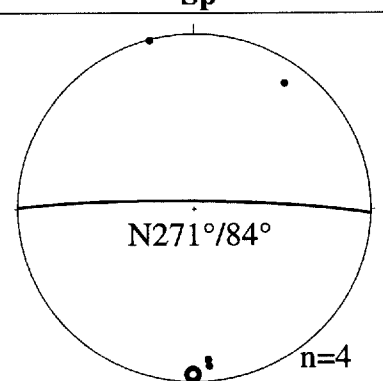
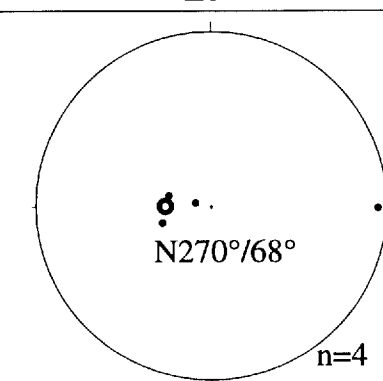
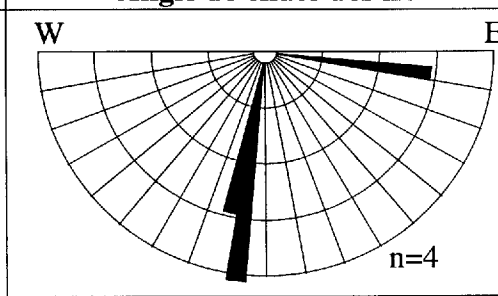
Stations 6100, 6104	Nb. 2
----------------------------	--------------

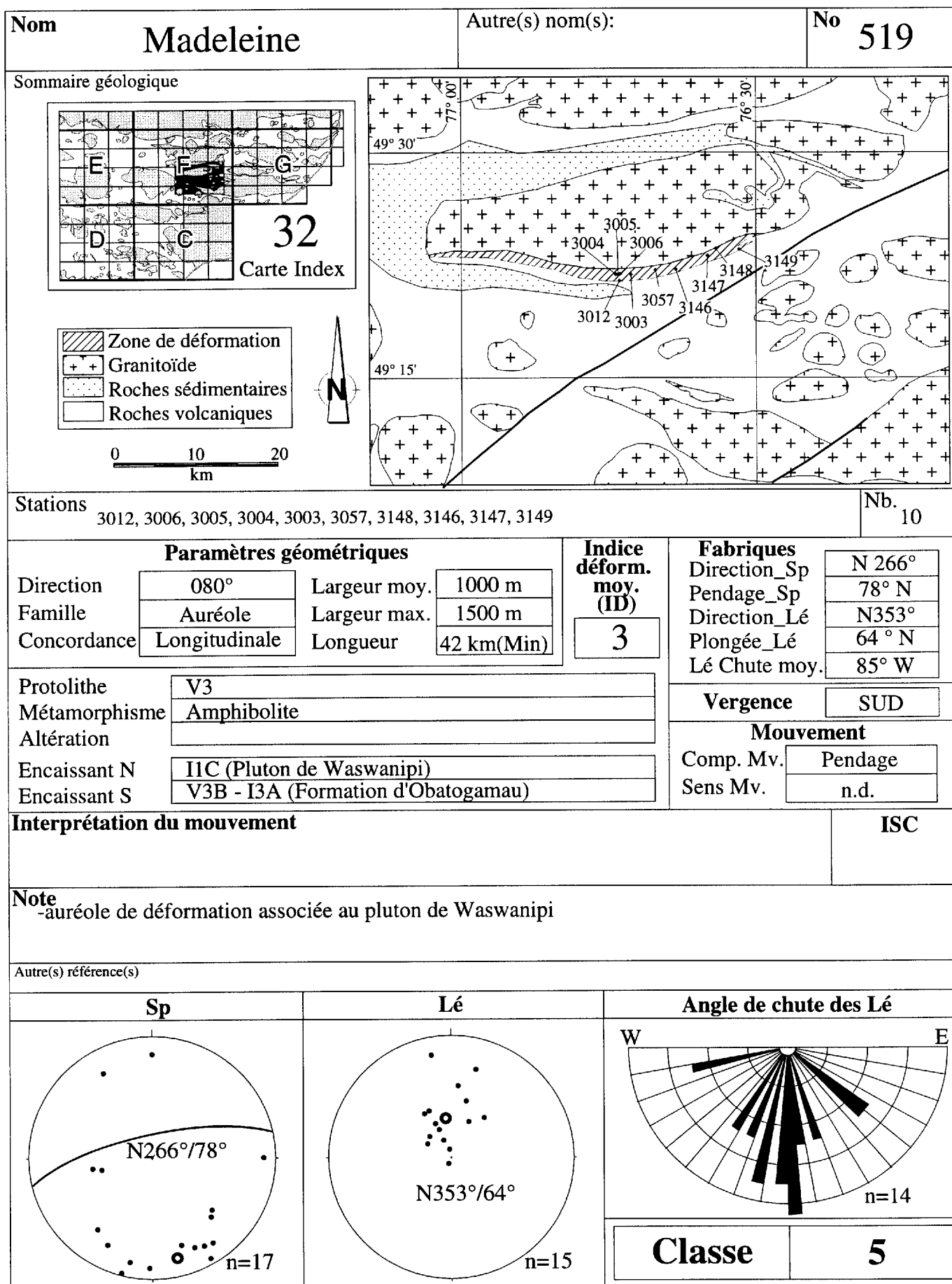
Paramètres géométriques				Indice déform. moy. (ID) <div style="border: 1px solid black; padding: 5px; font-size: 24px; font-weight: bold;">4</div>	Fabriques	
Direction	080°	Largeur moy.	600 m		Direction_Sp	N 271°
Famille	E-W	Largeur max.	800 m		Pendage_Sp	84°
Concordance	Longitudinale	Longueur	100 km		Direction_Lé	N 270°
					Plongée_Lé	68°
					Lé Chute moy.	80°W
Protolithe	V3			Vergence		
Métamorphisme	Schistes verts			NIL		
Altération				Mouvement		
Encaissant N	V3B - I3A (SV)			Comp. Mv.	Pendage	
Encaissant S	V3B - I3A (SV)			Sens Mv.	n.d.	

Interprétation du mouvement	ISC
------------------------------------	------------

Note

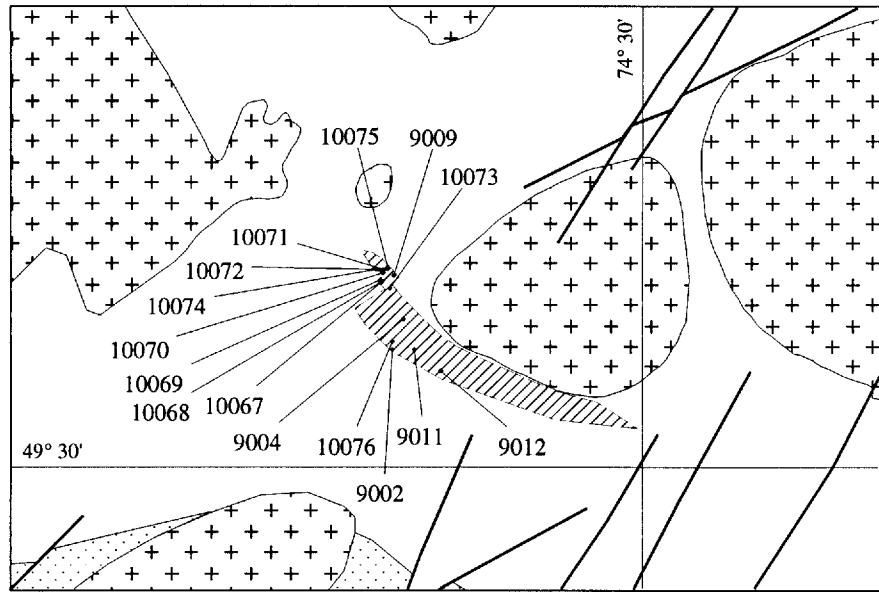
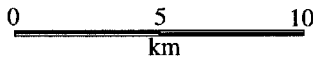
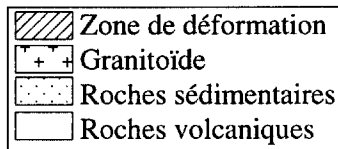
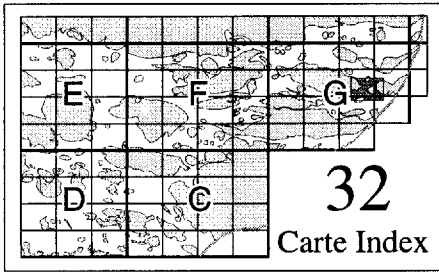
Autre(s) référence(s) Sawyer et Benn 1993

Sp	Lé	Angle de chute des Lé		
 <p style="text-align: center;">N271°/84°</p> <p style="text-align: right;">n=4</p>	 <p style="text-align: center;">N270°/68°</p> <p style="text-align: right;">n=4</p>	 <p style="text-align: right;">n=4</p>		
		<table style="width:100%; border-collapse: collapse;"> <tr> <td style="width:50%; text-align: center; font-weight: bold; font-size: 24px;">Classe</td> <td style="width:50%; text-align: center; font-weight: bold; font-size: 24px;">2</td> </tr> </table>	Classe	2
Classe	2			



Nom <h1 style="text-align: center;">Verneuil</h1>	Autre(s) nom(s):	No <h1 style="text-align: center;">520</h1>
---	-------------------------	---

Sommaire géologique



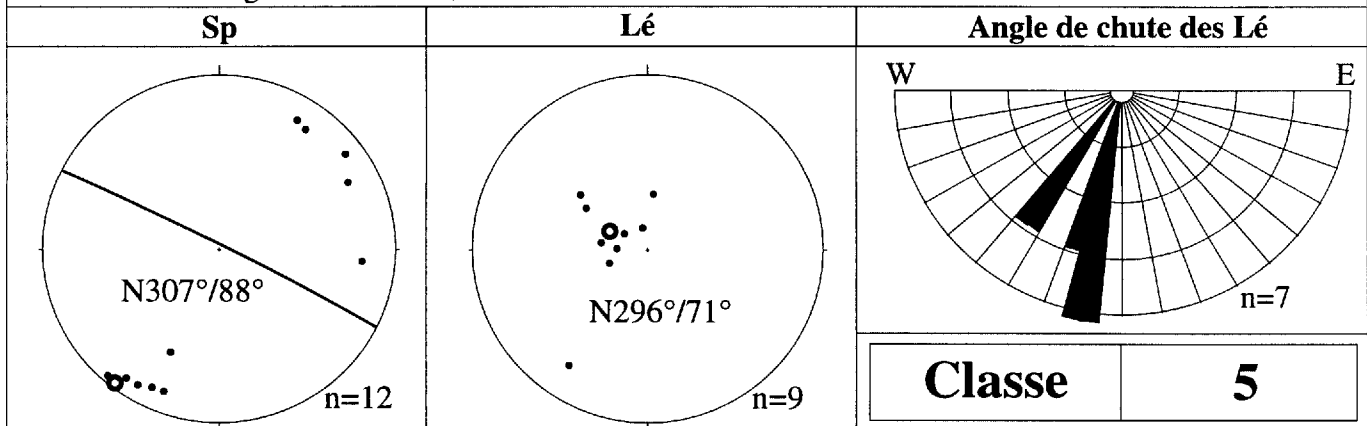
Stations 10072, 10068, 10069, 10070, 10074, 10071, 9004, 10067, 9009, 10075, 10073, 9012, 9011, 10076, 9002	Nb. 15
---	------------------

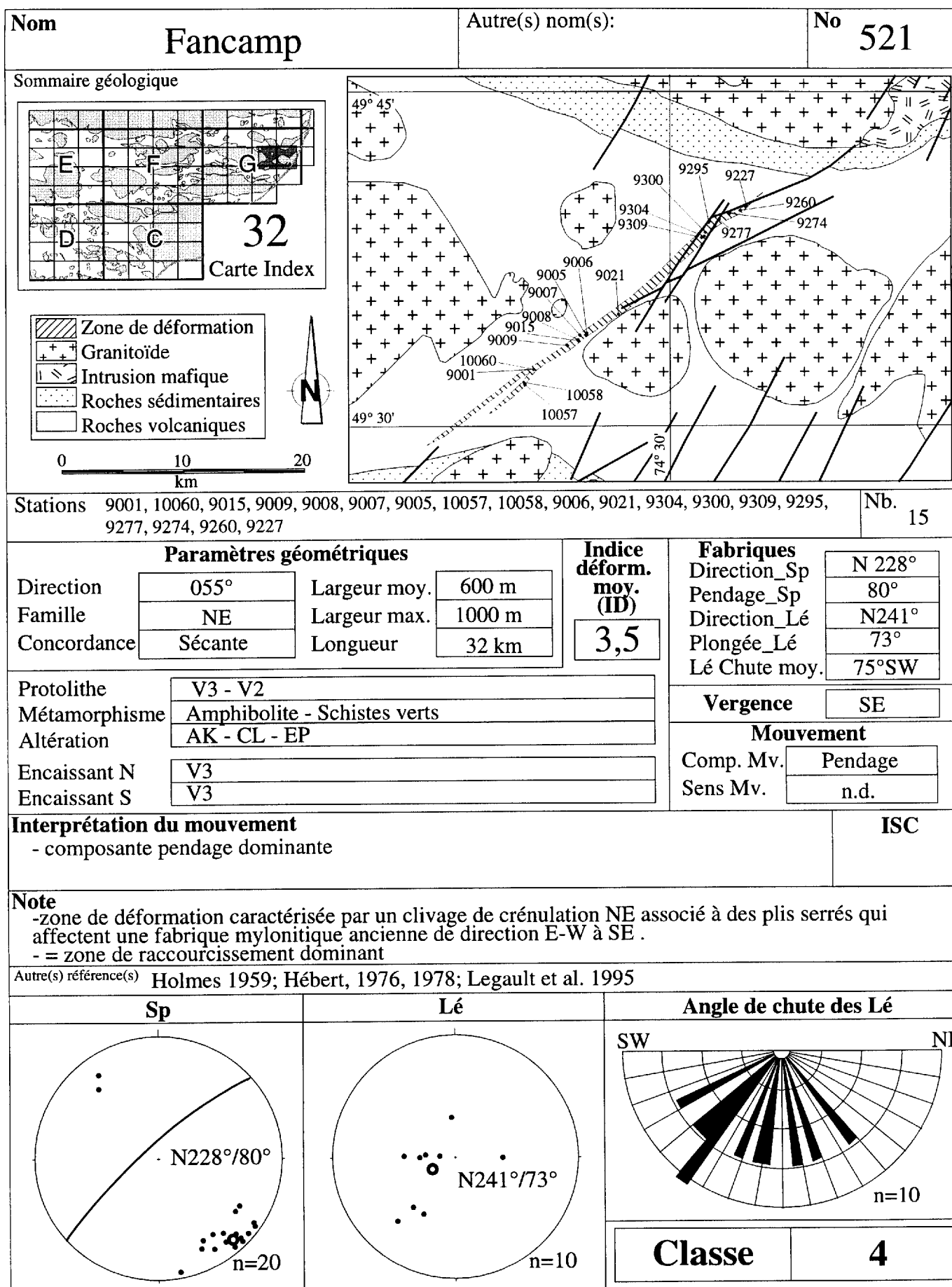
Paramètres géométriques		Indice déform. moy. (ID) 3,5	Fabriques		
Direction	125°		Direction_Sp	N 307°	
Famille	Auréole?	Largeur moy.	1300 m	Pendage_Sp	88° N
Concordance	Sécante	Largeur max.	1600 m	Direction_Lé	N296°
		Longueur	12 km	Plongée_Lé	71°
				Lé Chute moy.	71°W
Protolithe	V3			Vergence	NIL
Métamorphisme	Amphibolite - Schistes verts			Mouvement	
Altération	AK - CL - EP			Comp. Mv.	Pendage
Encaissant N	V3B - I3A (Gr. de Roy) - I1D (Pl. de Verneuil)			Sens Mv.	n.d.
Encaissant S	V3B - I3A (Gr. de Roy)				

Interprétation du mouvement - composante pendage dominante	ISC
--	------------

Note
 - bordure sud du pluton de Verneuil = Auréole de déformation ?
 - extension est et ouest inconnues

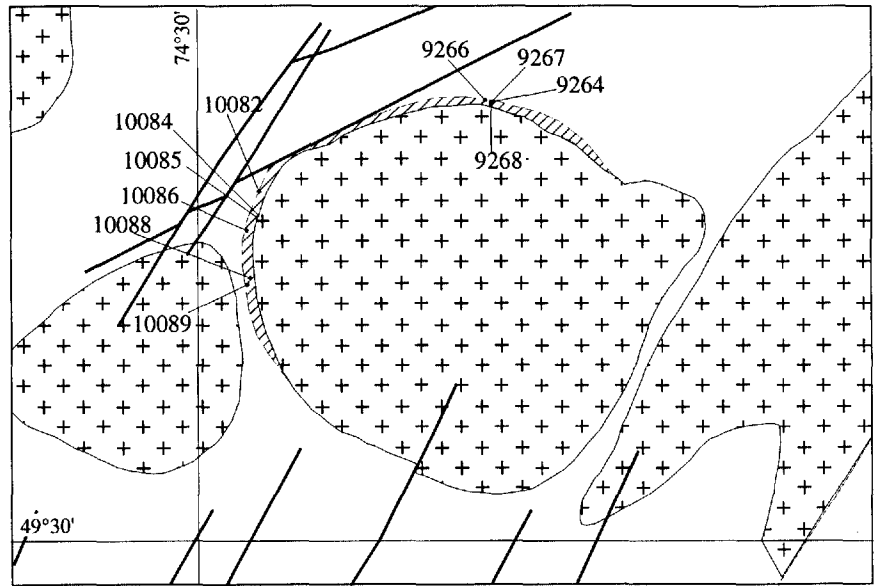
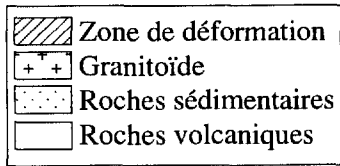
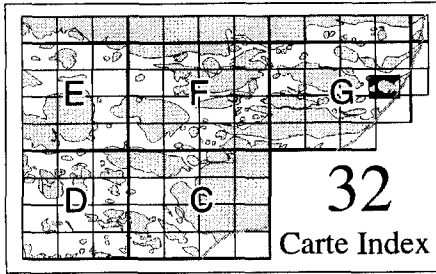
Autre(s) référence(s) Legault et al. 1994;





Nom La Dauversière	Autre(s) nom(s):	No 522
---------------------------	-------------------------	---------------

Sommaire géologique



Stations 10088, 10086, 10085, 10084, 10089, 10082, 9266 9267, 9264, 9268	Nb. 10
---	---------------

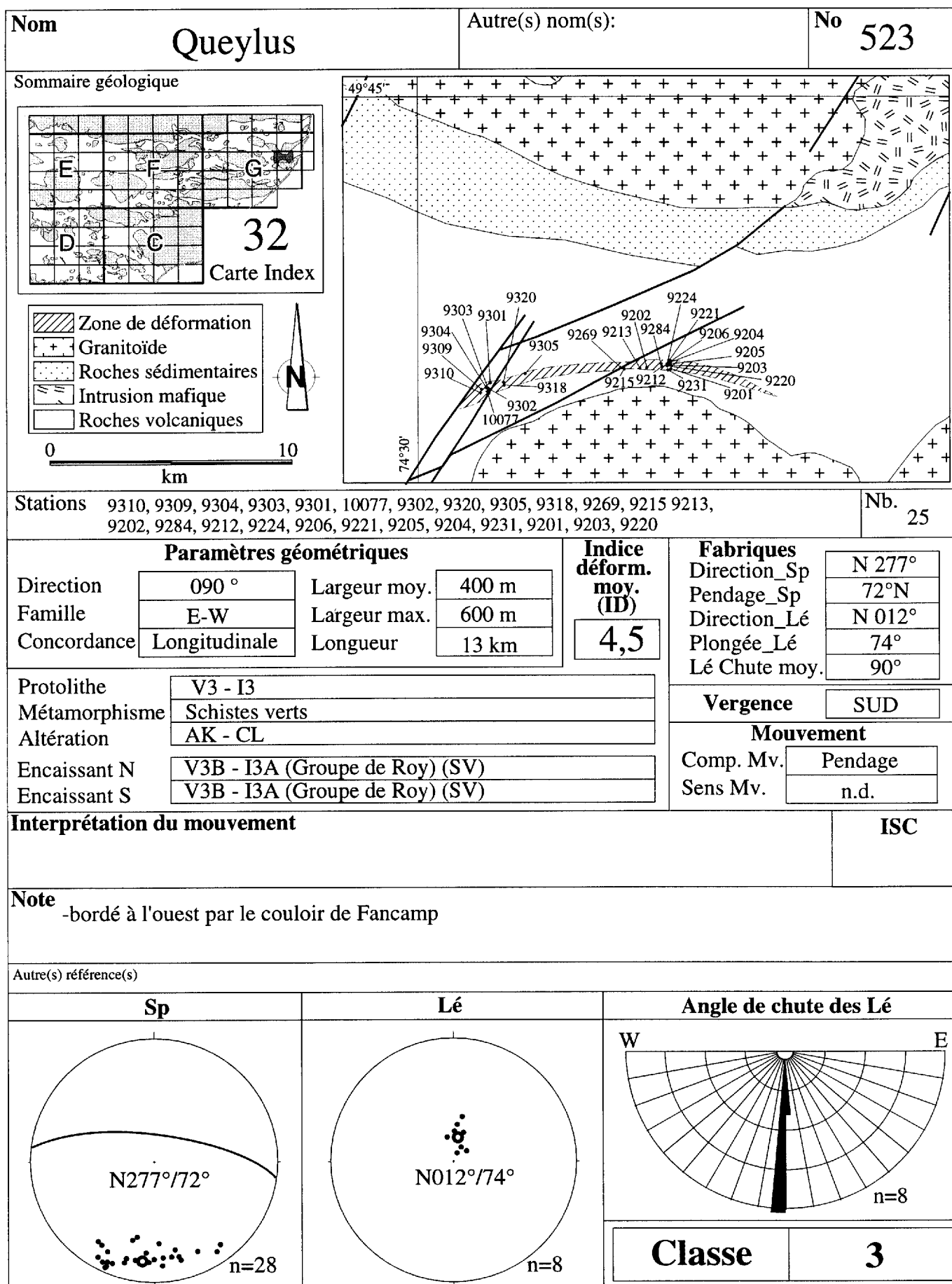
Paramètres géométriques				Indice déform. moy. (ID) 4,5	Fabriques	
Direction	var,	Largeur moy.	300 m		Direction_Sp	var.
Famille	Auréole	Largeur max.	500 m		Pendage_Sp	var.
Concordance		Longueur	20 km(min)		Direction_Lé	N 316°
					Plongée_Lé	57°
					Lé Chute moy.	n.d.
Protolithe	V3B - I3A - V1 - IID			Vergence NIL		
Métamorphisme	Amphibolite			Mouvement		
Altération	AK - CL			Comp. Mv.	n.d.	
Encaissant N	V3B - I3A (Gr. de Roy)			Sens Mv.	n.d.	
Encaissant S	IID (Pluton de la Dauversière)					

Interprétation du mouvement	ISC
------------------------------------	------------

Note -bordé à l'ouest par le couloir de Fancamp

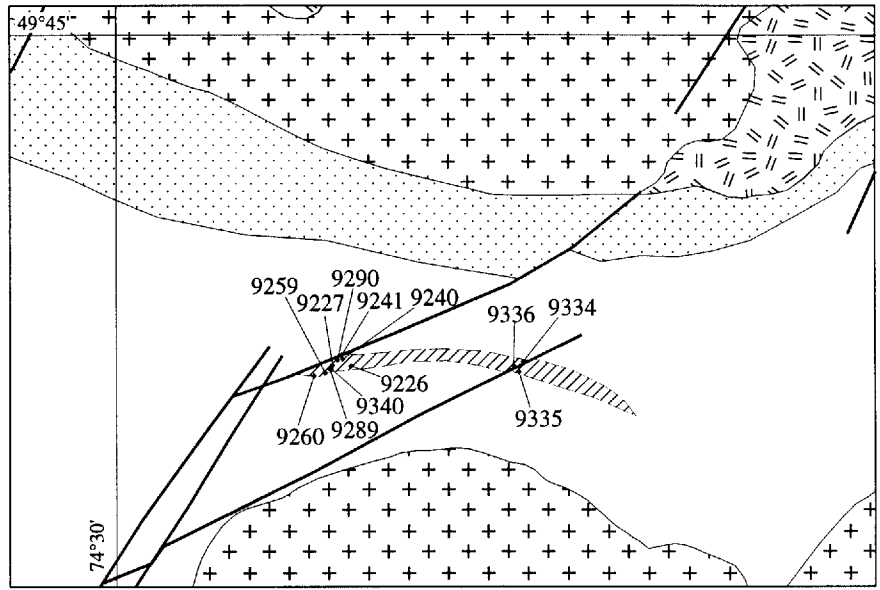
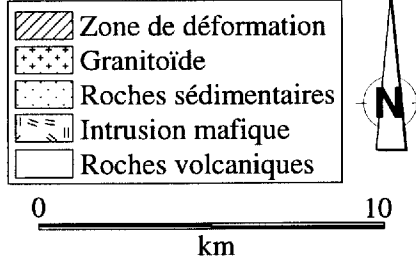
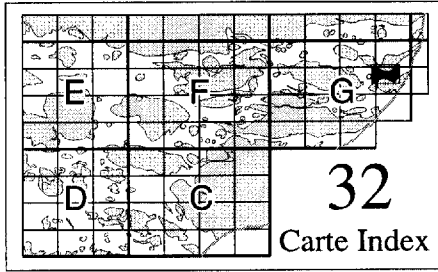
Autre(s) référence(s)

Sp	Lé	Angle de chute des Lé		
<p>n=11</p>	<p>n=4</p>			
		<table border="1" style="width:100%; border-collapse: collapse;"> <tr> <td style="width:50%;">Classe</td> <td style="width:50%;">5</td> </tr> </table>	Classe	5
Classe	5			



Nom <h1 style="text-align: center;">Audet</h1>	Autre(s) nom(s):	No <h1 style="text-align: center;">525</h1>
--	-------------------------	---

Sommaire géologique



Stations 9259, 9260, 9340, 9290, 9227, 9226, 9289, 9241, 9240, 9336, 9334, 9335	Nb. 12
---	------------------

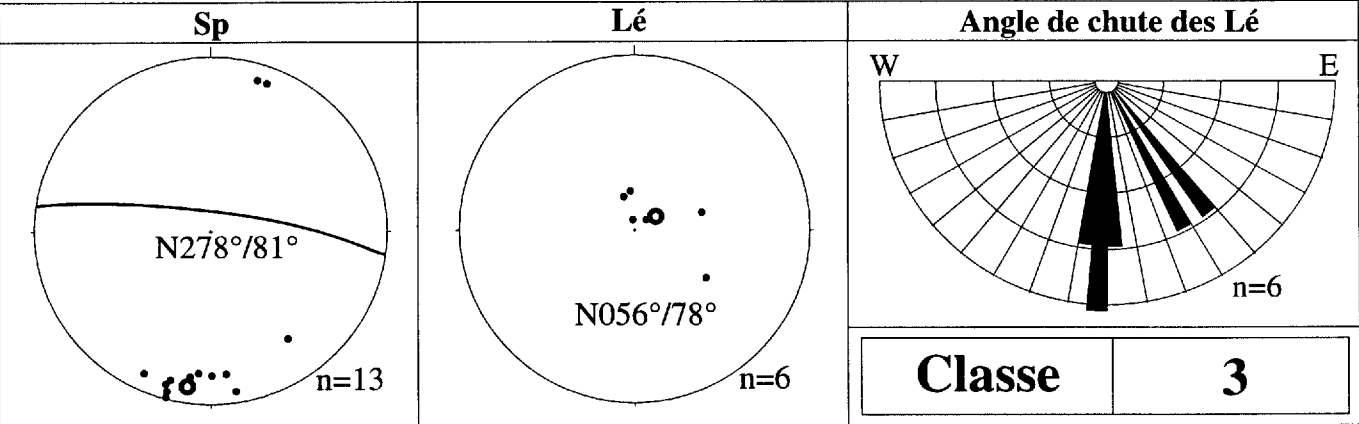
Paramètres géométriques				Indice déform. moy. (ID) 4,5	Fabriques		
Direction	095 °	Largeur moy.	400 m		Direction_Sp	N 278°	
Famille	E-W	Largeur max.	600 m		Pendage_Sp	81°N	
Concordance	Longitudinale	Longueur	9 km		Direction_Lé	N 056°	
						Plongée_Lé	78°
						Lé Chute moy.	82°E

Protolithe	V2 (Vc) - V3B - I3A	Vergence SUD	
Métamorphisme	Schistes verts		
Altération	SR - AK- CL		
Encaissant N	V3B - I3A (Groupe de Roy) (SV)	Mouvement	
Encaissant S	V3B - I3A (Groupe de Roy) (SV)		
		Comp. Mv.	Pendage
		Sens Mv.	n.d.

Interprétation du mouvement	ISC
------------------------------------	------------

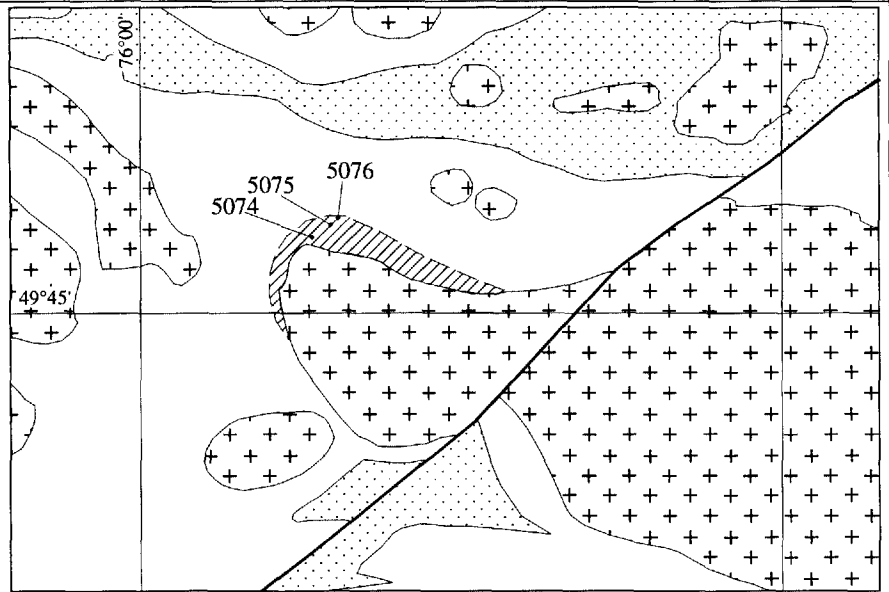
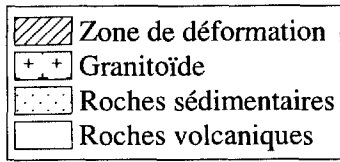
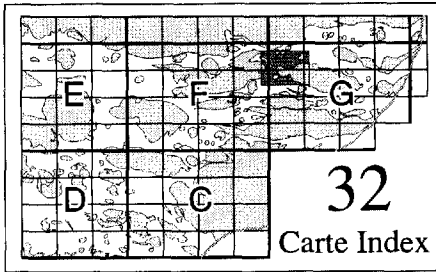
Note -bordé à l'ouest par le couloir de Fancamp

Autre(s) référence(s)



Nom <h1 style="text-align: center;">Renault</h1>	Autre(s) nom(s):	No <h1 style="text-align: center;">532</h1>
--	-------------------------	---

Sommaire géologique



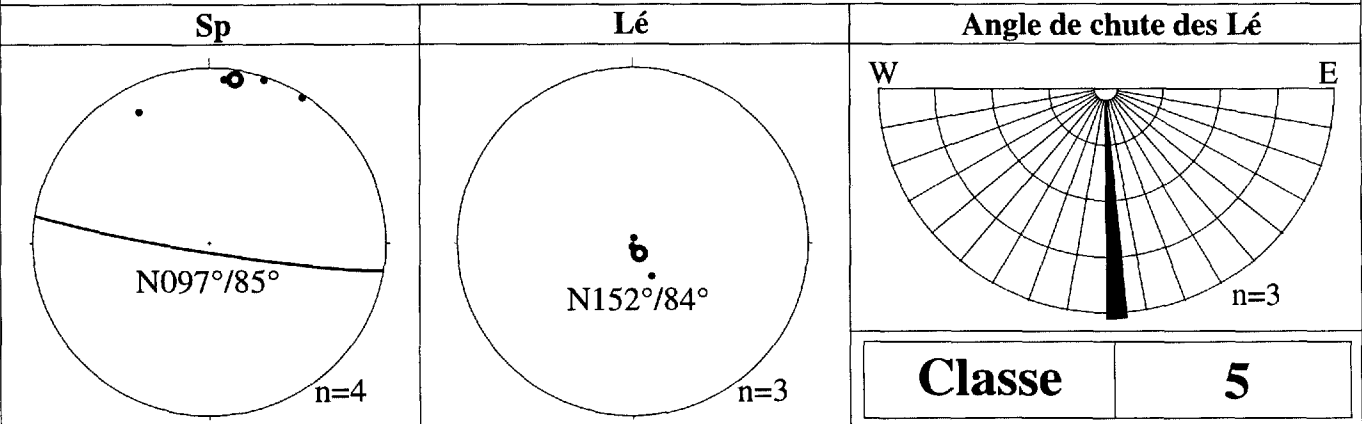
Stations 5074, 5075, 5076	Nb. 3
----------------------------------	--------------

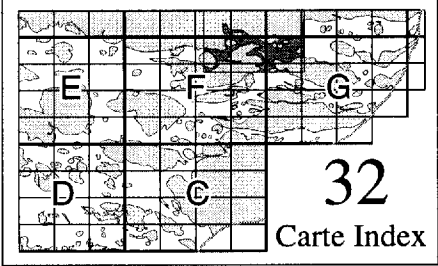
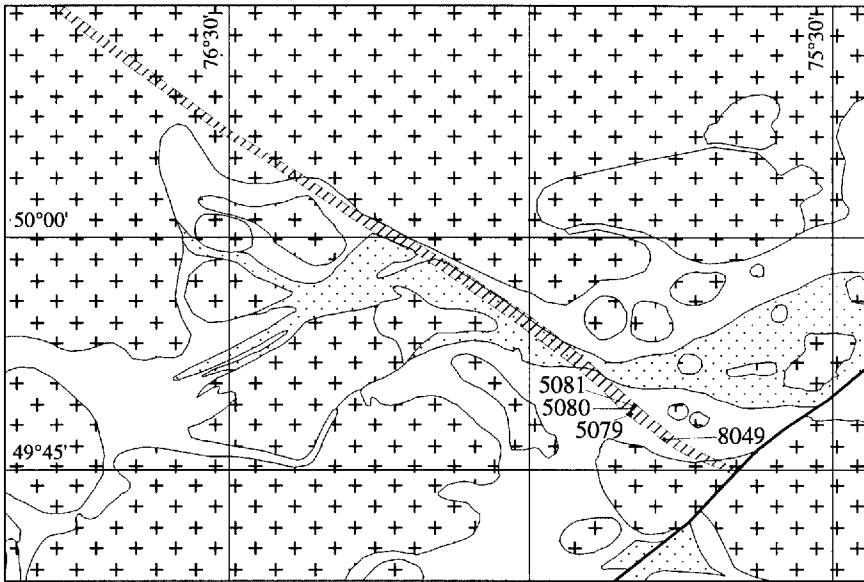
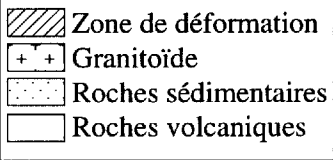
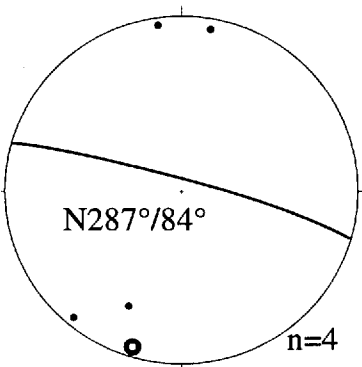
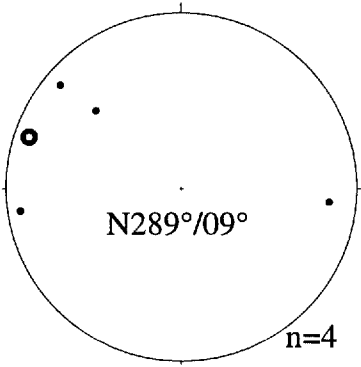
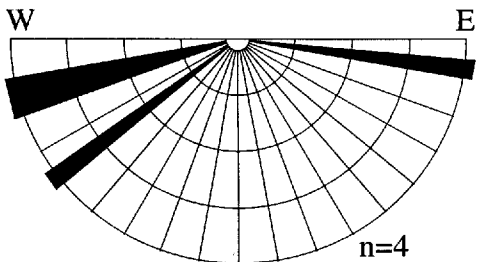
Paramètres géométriques				Indice déform. moy. (ID) 4,5	Fabriques	
Direction	055-105 °	Largeur moy.	2100 m		Direction_Sp	N 097°
Famille	Auréole	Largeur max.	1500 m		Pendage_Sp	85°
Concordance	-	Longueur	17 km		Direction_Lé	N 152°
					Plongée_Lé	84°
					Lé Chute moy.	90°
Protolithe		V3		Vergence NIL		
Métamorphisme		Amphibolite		Mouvement		
Altération				Comp. Mv. Pendage		
Encaissant N		V3 (SV)		Sens Mv. n.d.		
Encaissant S		IIC (Pluton de Renault)				

Interprétation du mouvement	ISC
------------------------------------	------------

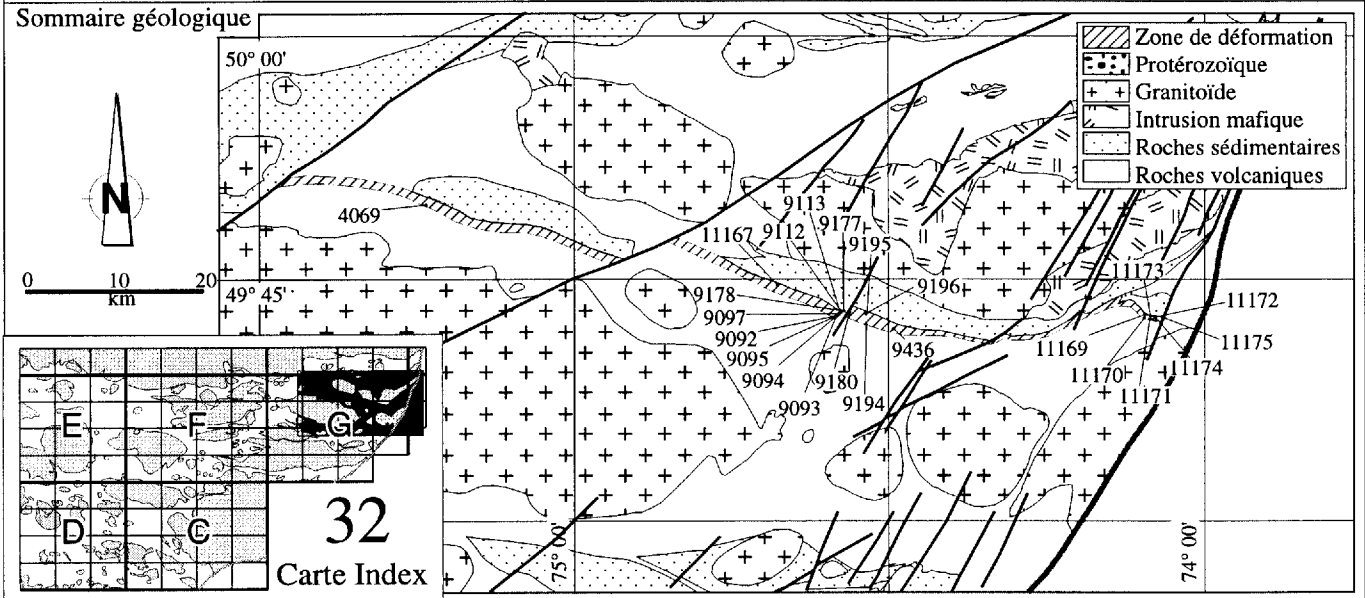
Note

Autre(s) référence(s)



Nom Nottaway		Autre(s) nom(s):		No 533	
Sommaire géologique					
 <p>32 Carte Index</p>					
<p>  </p> <p>0 10 20 km</p>					
Stations 8049, 5079, 5080, 5081					Nb. 4
Paramètres géométriques			Indice déform. moy. (ID) 4	Fabriques	
Direction	125°	Largeur moy.		1600 m	Direction_Sp
Famille	SE	Largeur max.	1600 m	Pendage_Sp	84°
Concordance	Sécante	Longueur	>100 km	Direction_Lé	N 289°
				Plongée_Lé	09°
				Lé Chute moy.	10°W
Protolithe	V3 - S - I1			Vergence NIL	
Métamorphisme	Schistes verts			Mouvement	
Altération				Comp. Mv.	Direction
Encaissant N	V3B (Gr. de Roy) - S (Gr. d'Opémisca) - I1 (SV)			Sens Mv.	Dextre
Encaissant S	V3B (Gr. de Roy) - S (Gr. d'Opémisca) - I1 (SV)				
Interprétation du mouvement					ISC
Note					
Autre(s) référence(s) Sawyer et Benn 1993					
Sp		Lé		Angle de chute des Lé	
 <p>N287°/84° n=4</p>		 <p>N289°/09° n=4</p>		 <p>n=4</p>	
				Classe	4

Nom Kapunapotagen	Autre(s) nom(s):	No 550
------------------------------------	-------------------------	-------------------------



Stations 4069, 9093, 9094, 9178, 9097, 11167, 9092, 9180, 9095, 9113, 9112, 9177, 9196, 9194, 9436, 9195, 11169, 11170, 11174, 11171, 11175, 11173, 11172	Nb. 23
---	------------------

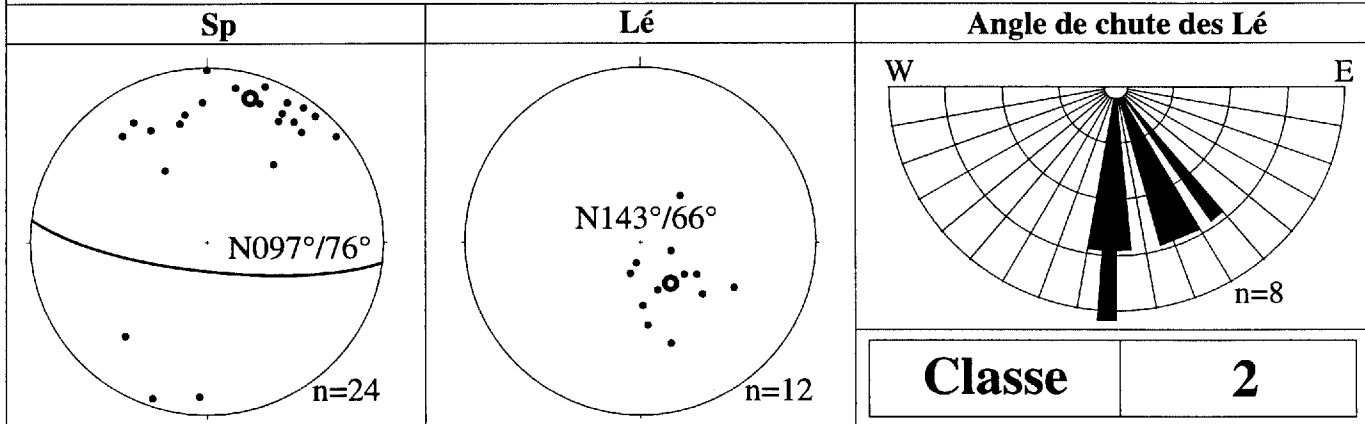
Paramètres géométriques				Indice déform. moy. (ID) 4	Fabriques		
Direction	105	Largeur moy.	900 m		Direction_Sp	N 097°	
Famille	E-W	Largeur max.	1400 m		Pendage_Sp	76° S	
Concordance	Longitudinale	Longueur	100 km		Direction_Lé	N143°	
						Plongée_Lé	66° S
						Lé Chute moy.	82° W

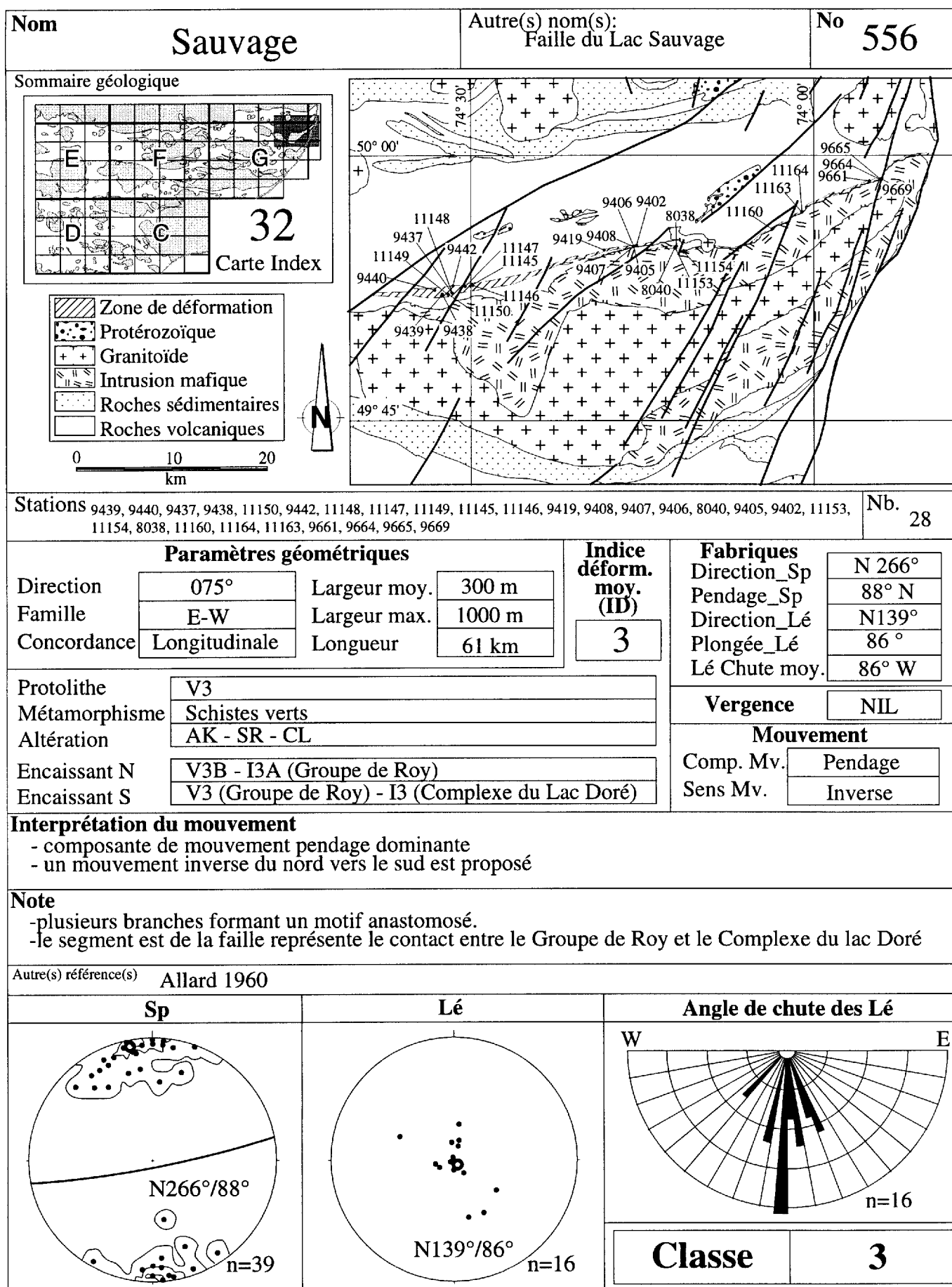
Protolithe	V3 - S	Vergence NORD	
Métamorphisme	Schistes verts		
Altération	AK - CL (CR)		
Encaissant N	S (Groupe d'Opémisca; Formation de Haüy)	Mouvement	
Encaissant S	V3 (Groupe de Roy; Formation de Gilman)		
		Comp. Mv.	Pendage
		Sens Mv.	Inverse S/N

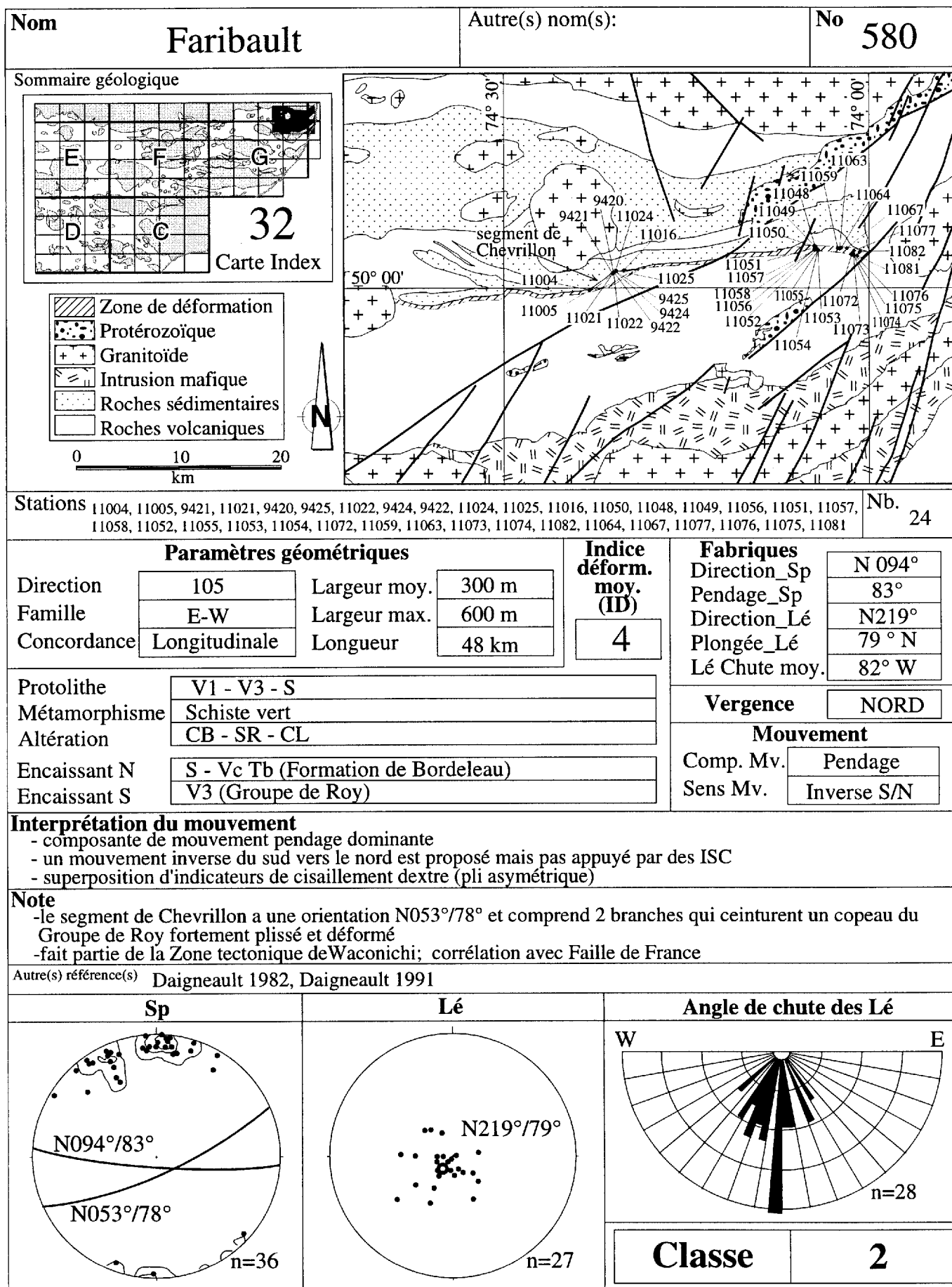
Interprétation du mouvement - composante de mouvement pendage dominante - un mouvement inverse du sud vers le nord est proposé avec une composante mineure dextre	ISC
--	------------

Note
- faille parallèle à la trace axiale du synclinal de Chapais
- sépare le Groupe de Roy à sommet nord du Groupe d'Opémisca à sommet sud.

Autre(s) référence(s) Norman 1937; Charbonneau et al. 1983; Allard 1982; Daigneault et Allard 1983; Daigneault et Archambault 1990

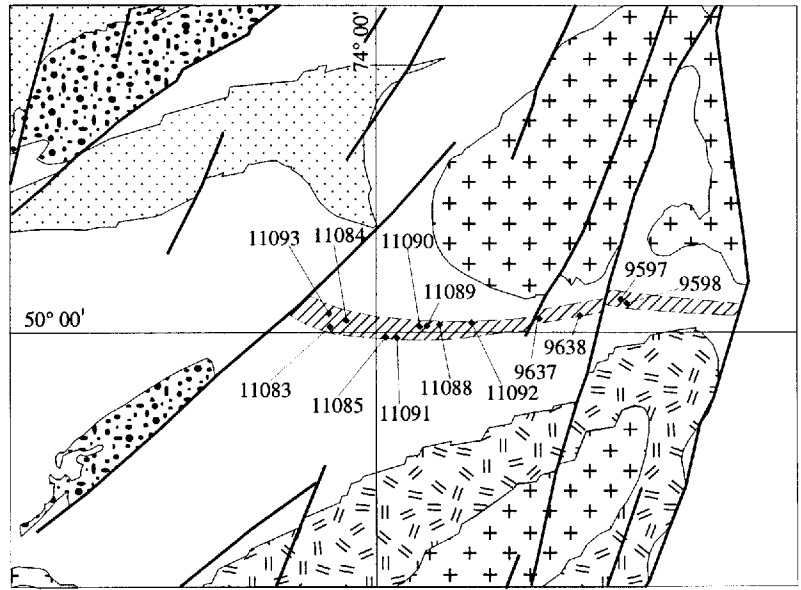
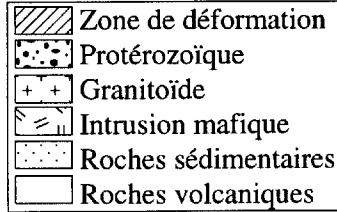
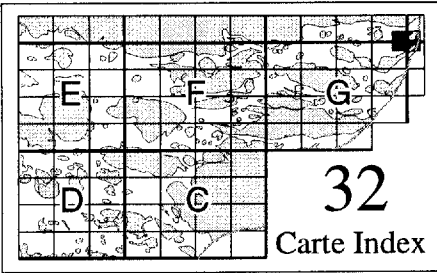






Nom <h1 style="text-align:center;">France</h1>	Autre(s) nom(s):	No <h1 style="text-align:center;">582</h1>
--	-------------------------	--

Sommaire géologique



Stations 11183, 11093, 11084, 11085, 11091, 11090, 11089, 11088, 11092, 9637, 9638, 9597, 9598	Nb. 13
--	------------------

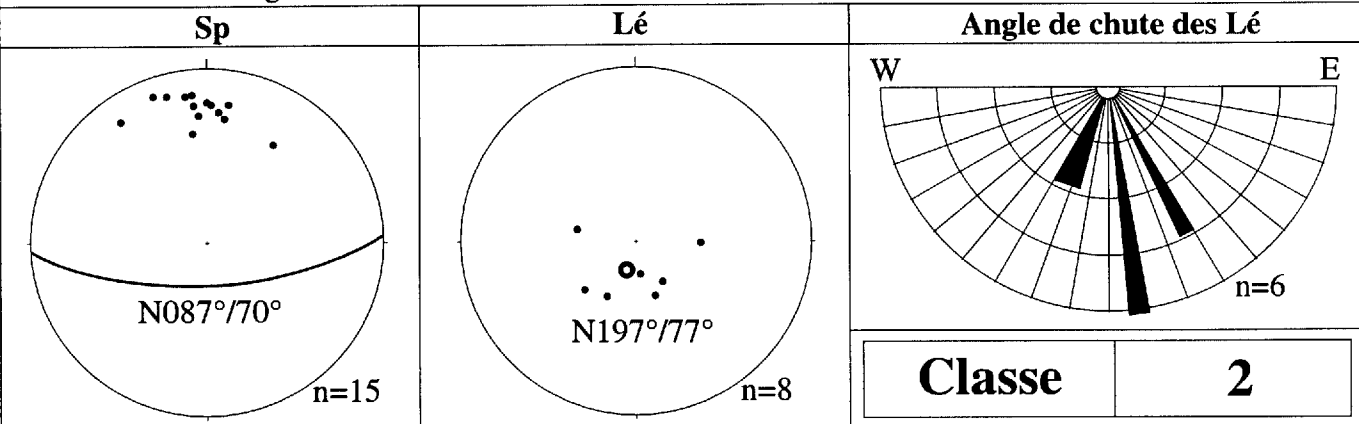
Paramètres géométriques				Indice déform. moy. (ID) 4	Fabriques		
Direction	090°	Largeur moy.	500 m		Direction_Sp	N 087°	
Famille	E-W	Largeur max.	900 m		Pendage_Sp	70° S	
Concordance	Longitudinale	Longueur	15 km		Direction_Lé	N197°	
						Plongée_Lé	77° N
						Lé Chute moy.	85° W

Protolithe	V3 - S	Vergence		NORD
Métamorphisme	Schistes verts	Mouvement		
Altération	Ak - SR - CL	Comp. Mv.	Pendage	
Encaissant N	Vc Tb (Formation de Blondeau)	Sens Mv.	Inverse S/N	
Encaissant S	V3 (Groupe de Roy)			

Interprétation du mouvement -composante pendage dominante -mouvement inverse déduit de la vergence	ISC
---	------------

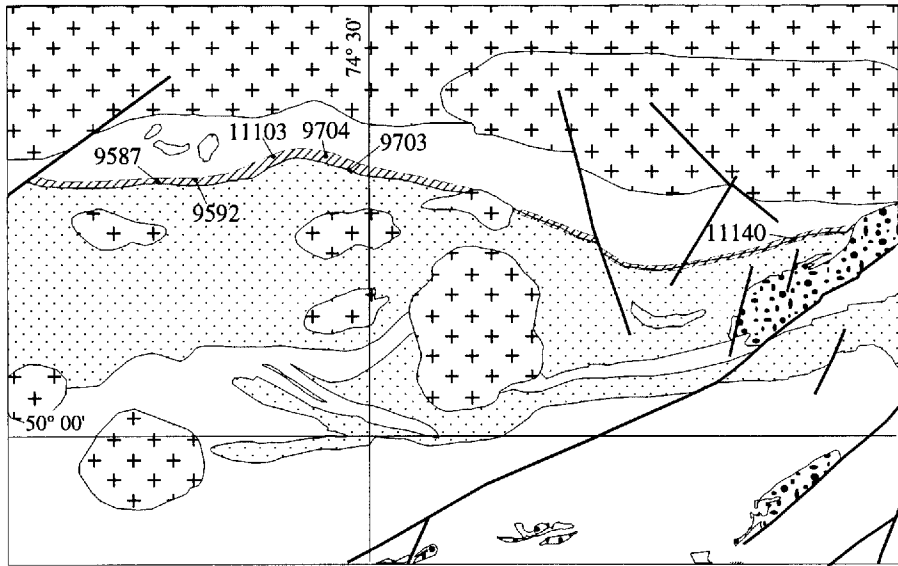
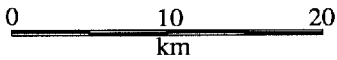
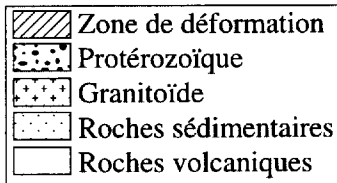
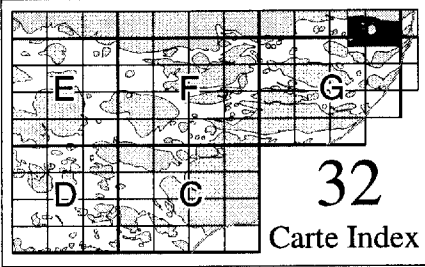
Note -corrélation avec la Faille de Faribault -fait partie de la Zone tectonique deWaconichi	
---	--

Autre(s) référence(s) **Daigneault 1991**



Nom <h1 style="text-align: center;">Barlow</h1>	Autre(s) nom(s):	No <h1 style="text-align: center;">591</h1>
---	-------------------------	---

Sommaire géologique



Stations 9587, 9592, 9703, 11103, 9704, 11140	Nb. 6
--	--------------

Paramètres géométriques				Indice déform. moy. (ID) 3	Fabriques	
Direction	095°	Largeur moy.	300 m		Direction_Sp	N 087°
Famille	E-W	Largeur max.	700 m		Pendage_Sp	81°
Concordance	Longitudinale	Longueur	55 km		Direction_Lé	N228°
				Plongée_Lé	72° S	
				Lé Chute moy.	72° W	

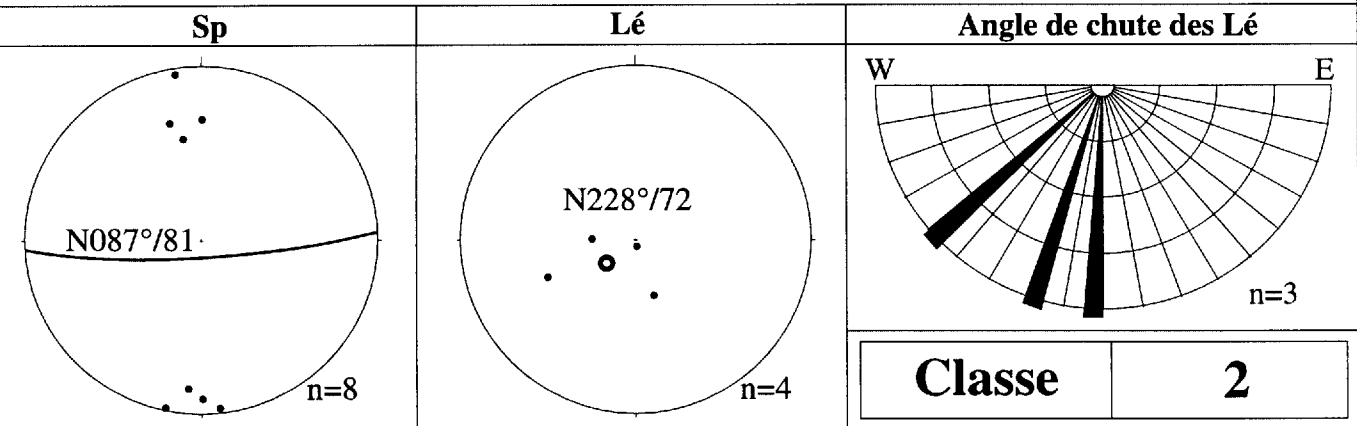
Protolithe	V3 - S
Métamorphisme	Schistes verts
Altération	AK - SR - CL
Encaissant N	V3B - I3A (Groupe de Roy)
Encaissant S	S (Groupe d'Opémisca; Formation de Chebistuan)

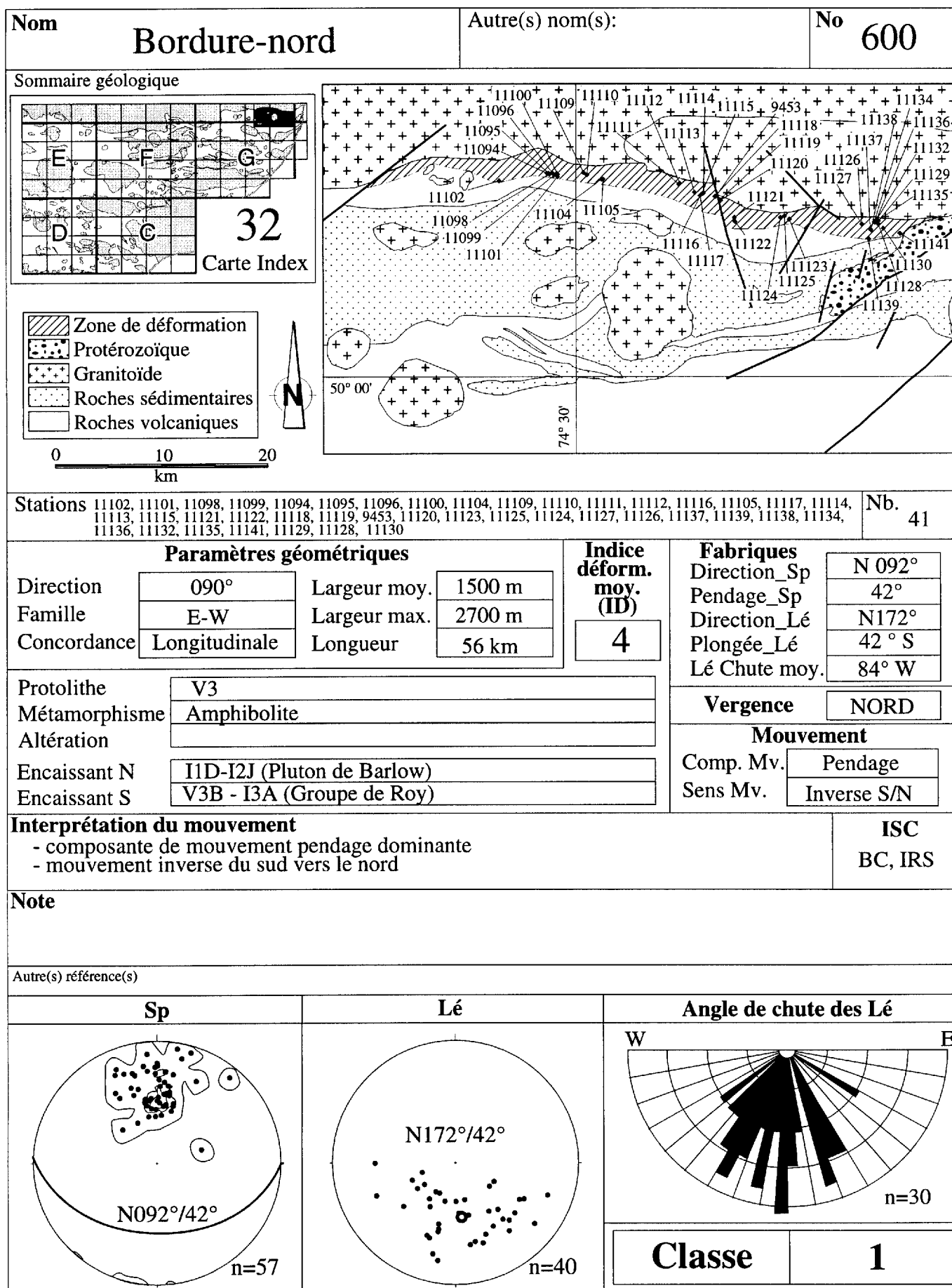
Vergence		SUD
Mouvement		
Comp. Mv.	Pendage	
Sens Mv.	n.d.	

Interprétation du mouvement - composante de mouvement pendage dominante	ISC
---	------------

Note

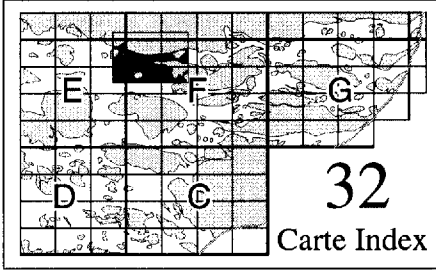
Autre(s) référence(s) Dimroth et al. 1984



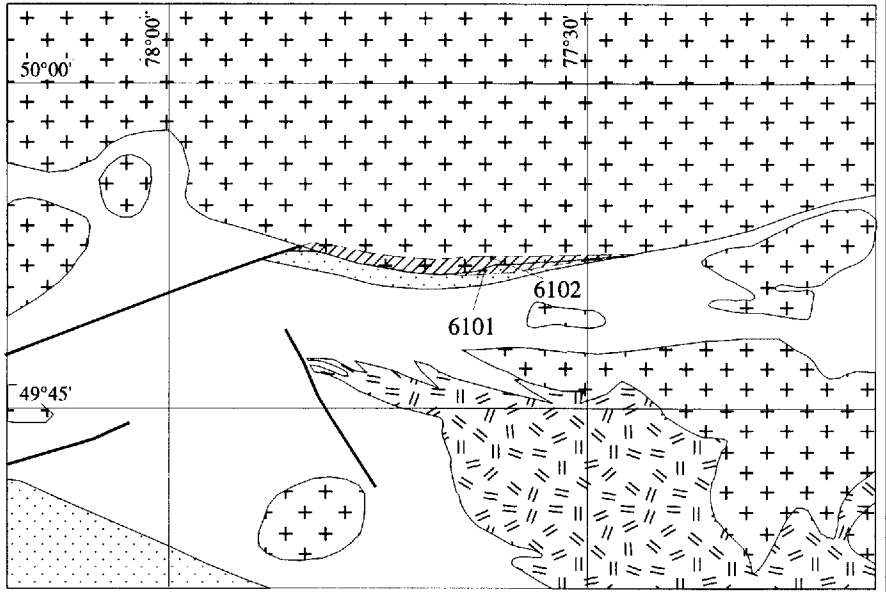


Nom Matagami-nord	Autre(s) nom(s):	No 603
------------------------------------	-------------------------	-------------------------

Sommaire géologique



- Zone de déformation
- Granitoïde
- Roches sédimentaires
- Intrusion mafique
- Roches volcaniques



Stations 6101, 6102	Nb. 2
----------------------------	--------------

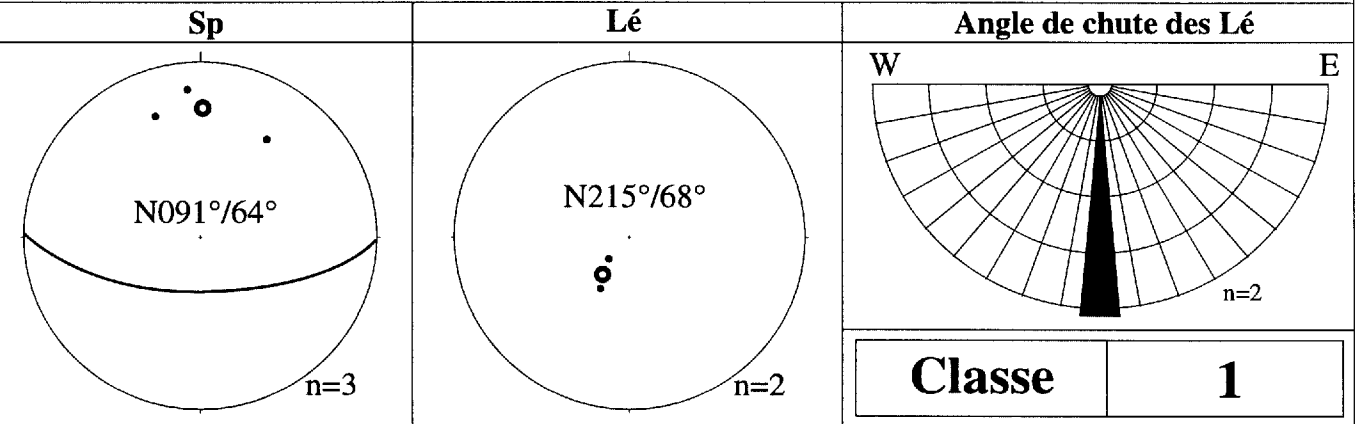
Paramètres géométriques		Indice déform. moy. (ID) 4	Fabriques	
Direction	090°		Direction_Sp	N 091°
Famille	E-W		Pendage_Sp	64°
Concordance	Longitudinale		Direction_Lé	N 215°
			Plongée_Lé	68°
			Lé Chute moy.	90°

Protolithe	S	Vergence	NORD
Métamorphisme	Schistes verts - amphibolite		
Alération		Mouvement	
Encaissant N	I1 - (Opatica)	Comp. Mv.	Pendage
Encaissant S	V3B - S (SV)	Sens Mv.	n.d.

Interprétation du mouvement	ISC
------------------------------------	------------

Note

Autre(s) référence(s) Sawyer et Benn 1993



Liste des références

- ALLARD, G.-O. 1960. Moitié sud du quart SE du canton de McKenzie. Dans Moitié sud du canton de McKenzie. Ministère des Mines, Québec; RG-95, pages 49-79.
- BABINEAU, J. 1983. Carte géologique et structurale de la région du Lac Malartic. Ministère de l'Énergie et des Ressources du Québec. DP 83-30, p.
- BOUCHARD, M. F. 1980. Région de Cadillac-Malartic. Ministère de l'Énergie et des Ressources du Québec. DPV-791.
- BRISSON, H., et GUHA, J. 1990. Étude d'indices aurifères dans la région du Lac Shortt, Abitibi, Québec. Ministère de l'Énergie et des Ressources. MB 91- .
- CHARBONNEAU, J. M., PICARD, C., et DUPUIS-HÉBERT, L. 1983. Géologie des unités stratigraphiques affleurant dans les cantons de Daubrée, Dolomieu, Saussure et La Ribourde, Abitibi-est. Dans Rapports d'étape des travaux en cours à la Division du Précambrien, Ministère de l'Énergie et des Ressources, Québec, ET 82-01, 1-67.
- CHOWN, E. H., DAIGNEAULT, R., MUELLER, W., et MORTENSEN, J. 1992. Tectonic evolution of the Northern Volcanic Zone, Abitibi Belt, Québec. *Journal canadien des Sciences de la Terre*, 29: 2211-2225.
- CORFU, F., KROGH, T. E., KWOK, Y. Y., et JENSEN, L. S. 1989. U-Pb zircon geochronology in the southwestern Abitibi greenstone belt, Superior Province. *Journal canadien des Sciences de la Terre*, 26: 1747-1763.
- COUTURE, J. F. 1989. L'indice Duvay. GAC-MAC, Montréal, Association Géologique du Canada, Livret-guide d'excursion A7,
- COUTURE, J. F., et PILOTE, P. 1991. Deux styles différents de minéralisation aurifère dans des contextes géologiques très similaires: les gisements Francoeur #3 et Lac Fortune, région d'Arntfield. Ministère de l'Énergie et des Ressources du Québec. DV-91-26, 51-56.
- DAIGNEAULT, R. 1982. Demie nord du canton de McKenzie. Ministère de l'Énergie et des Ressources du Québec. DP 82-08 (carte avec note marginale), p.
- DAIGNEAULT, R., et ARCHAMBAULT, G. 1990. Les grands couloirs de déformation de la sous-province de l'Abitibi. In *La ceinture polymétallique du Nord-Ouest québécois: Synthèse de 60 ans d'exploration minière - The Northwestern Quebec Polymetallic Belt. Édité par M. Rive, G. Riverin, A. Simard, J. M. Lulin and Y. Gagnon. Institut Canadien des Mines et de la Métallurgie, Volume spécial 43, 43-64.*
- DAIGNEAULT, R., et ALLARD, G. O. 1984. Nouvelle interprétation de la structure et de la stratigraphie du canton de Haüy. Ministère de l'Énergie et des Ressources, Québec. DP-84-34, 12p.
- DAIGNEAULT, R., ST-JULIEN, P., et ALLARD, G. O. 1990. Tectonic evolution of the northeast portion of the Archean Abitibi Greenstone Belt, Chibougamau area, Québec. *Journal canadien des Sciences de la Terre*, 27: 1714-1736.
- DESROCHERS, J. P., HUBERT, C., et PILOTE, P. 1991. Géologie du secteur du lac De Montigny, région de Val-d'Or. Ministère de l'Énergie et des Ressources du Québec. MB 91-24.
- DESROCHERS, J.-P., HUBERT, C., LUDDEN, J., et PILOTE, P., 1993. Accretion of Archean oceanic plateau fragments in the Abitibi greenstone belt, Canada. *Geology*, 21: 451-454.
- DIMROTH, E., ARCHAMBAULT, G., GOULET, N., GUHA, J., et MUELLER, W. 1984. A

mechanical analysis of the late Archean Gwillim Lake shear belt, Chibougamau area, Québec. *Journal canadien des Sciences de la Terre*, 21: 963-968.

DIMROTH, E., IMREH, L., ROCHELEAU, M., et GOULET, N. 1982. Evolution of the south-central part of the Archean Abitibi Belt, Quebec. Part I: Stratigraphy and paleogeographic model. *Journal Canadien des Sciences de la Terre*, 19: 1729-1758.

DIMROTH, E., IMREH, L., ROCHELEAU, M., and GOULET, N. 1983. Evolution of the south-central part of the Archean Abitibi Belt, Quebec. Part II: Tectonic evolution and geomechanical model. *Journal Canadien des Sciences de la Terre*, 20: 1355-1373.

DUBÉ, L.-M. 1988. Géologie du Complexe volcanique de Joutel et de poirier. Ministère de l'Énergie et des Ressources. MB 88-39.

GAUTHIER, N. 1986. Géologie du site minier Astoria. Ministère de l'Énergie et des Ressources du Québec. DP 86-14.

GOGHROD, H. 1994. Étude de la géométrie cinématique de la faille de Doda (Sous-province de l'Abitibi). M.Sc., Université du Québec à Chicoutimi, 87 pages.

GOODWIN, R., et RIDLER, R. H. 1970. The Abitibi Orogenic Belt. *Dans* Symposium on basins and geosynclines of the Canadian Shield, *Édité par* A. J. Baer. Geological Survey of Canada, Paper 70-40, 1-31.

GOULET, N. 1978. Stratigraphy and structural relationships across the Cadillac - Larder Lake fault, Rouyn - Beauchatel area, Québec. Ph. D. thesis, Queen's University, Kingston, Ont, Ministère des Richesses Naturelles du Québec, Québec, DPV-602, 155 p.

GOUTIER, J., et LACROIX, S. 1992. Géologie du secteur de la faille de Porcupine-Destor dans les cantons de Destor et de Duparquet. Ministère de l'Énergie et des Ressources, Québec. MB-92-06, 61p.

GOUTIER, J., MELANÇON, M., DION, P., VERPAELST, P., et RIVE, M., 1994. Compilation des datations isotopiques des sous-Provinces de l'Abitibi et de quelques unités adjacentes (Québec et Ontario). Ministère des Ressources Naturelles, Québec. MB 94-55, 40p.

GRAHAM, R. B. 1954. Parties des cantons d'Hébécourt, de Duparquet et de Destor, comté d'Abitibi-Ouest. Ministère des Mines, Québec. Rapport Géologique 61.

GUNNING, H. C., et AMBROSE, J. W. 1940. Région de Malartic (Québec). Commission Géologique du Canada, mémoire 222.

HOCQ, M. 1990. Carte lithostratigraphique des sous-provinces de l'Abitibi et du Pontiac. Ministère de l'Énergie et des Ressources du Québec. DV-89-04.

HOLMES, S. 1959. Région de Fancamp-Haüy, Abitibi est. Ministère des Mines du Québec. RG-84.

HUBERT, C., TRUDEL, P., et GÉLINAS, L. 1984. Archean wrench fault tectonics and structural evolution of the Blake River Group Abitibi Belt, Quebec. *Journal canadien des Sciences de la Terre*, 21: 1024-1032.

HUBERT, C., 1990. Geologic framework, evolution and structural setting of gold and base metal deposits of the Abitibi greenstone belt, Canada. Geology Department (Key Centre) and University. Extension University Western Australia, Publication 24, 53-62.

IMREH, L. 1976. Nouvelle lithostratigraphie à l'ouest de Val-d'Or. Ministère des Richesses Naturelles du Québec. DPV-349.

LABBÉ, J. Y. 1994. Évolution des failles de la Sous-province de l'Abitibi: Exemple des discontinuités structurales de Lyndhurst et de Macamic, Québec. Ph. D., Université du Québec à Chicoutimi, 271 p.

LABBÉ, J. Y. 1994. Synthèse géologique de la région d'Amos, Abitibi. Ministère des Ressources Naturelles du Québec. MB 94-09.

LABBÉ, J. Y., DAIGNEAULT, R., et COUSINEAU, P. 1992. Analyse structurale de la discontinuité de Lyndhurst, Sous-province de l'Abitibi. *Journal canadien des Sciences de la Terre*, 29: 783-792.

LACROIX, S. 1994. Ministère des Ressources naturelles du Québec. MB 94-54.

LACROIX, S., et SAWYER, E. W. 1995. An Archean fold-thrust belt in the northwestern Abitibi greenstone belt: structural and seismic evidence. *Journal canadien des Sciences de la Terre*, 32: 97-112.

LACROIX, S., SIMARD, A., PILOTE, P., et DUBÉ, L. M. 1990. Regional geologic elements and mineral resources of the Harricana-Turgeon Belt, Abitibi of NW Quebec. *Dans La ceinture polymétallique du Nord-Ouest québécois: - The Northwestern Quebec Polymetallic Belt, Édité par M. Rive, G. Riverin, A. Simard, J. M. Lulin and Y. Gagnon. Institut Canadien des Mines et de la Métallurgie, Volume spécial 43, 313-326.*

LAUZIÈRE, K., CHOWN, E. H., et SHARMA, K. M. N. 1989. Rapport intérimaire du projet Caopatina, secteur Lac Remick. Ministère de l'Énergie et des Ressources du Québec. MB 89-60, 93 p.

LEGAULT, M. I., COUTURE, J. F., et DAIGNEAULT, R. 1995. Étude structurale et métallogénique du couloir de déformation de Fancamp, phase 1. Ministère des Ressources Naturelles du Québec. MB 95-50, 71 p.

LUDDEN, J., HUBERT, C., et GARIEPY, C. 1986. The tectonic evolution of the Abitibi greenstone belt of Canada. *Geological Magazine*, 123: 153-166.

MARQUIS, P., et HUBERT, C. 1989. The Dumagami Structural Zone: its evolution and features for the Doyon, Bousquet nos.1 and 2, and Donald J. LaRonde gold mines of southwestern Abitibi, Québec. *Dans Mineralization and Shear Zones, Édité par J. T. Bursnall. Geological Association of Canada, Short Course Notes Volume 6, 226-238.*

MOORHEAD, J. 1991. Géologie de la partie orientale de la Sous-province de l'Abitibi, secteur de Senneterre. Ministère de l'Énergie et des Ressources du Québec. DV 91-26, 17-18.

MORTENSEN, J. K. 1993a. U-Pb Geochronology of the eastern Abitibi Subprovince: Part 1: Chibougamau-Matagami-Joutel. *Journal canadien des Sciences de la Terre*, 30: 11-28.

MORTENSEN, J. K. 1993b. U-Pb geochronology of the eastern Abitibi Subprovince. Part 2: Noranda-Kirkland Lake area. *Journal canadien des Sciences de la Terre*, 30: 29-41.

MUELLER, W., et DONALDSON, J. A. 1992. Development of sedimentary basins in the Archean Abitibi belt, Canada: an overview. *Journal canadien des Sciences de la Terre*, 29: 2249-2265.

MUELLER, W., DAIGNEAULT, R., MORTENSEN, J., et CHOWN, E. H. 1996. Archean terrane docking: Upper Crust Collision Tectonics, Abitibi Greenstone Belt, Quebec, Canada. *Tectonophysics*,

MUELLER, W., DAIGNEAULT, R., and CHOWN, E. H. 1995. Archean terrane docking: Destor-Porcupine Manneville zone, Abitibi greenstone belt Québec, Canada. EMPOB Meeting, 28 Aug.- 1 Sept. Field guidebook A-1, p.

NORMAN, G. W. H. 1937. East half Opémisca map-area, Québec. Commission géologique du Canada. paper 37-11, p.

PILOTE, P., GUHA, J., DAIGNEAULT, R., ROBERT, F., et GOLIGHTLY, J. P. 1990. Contexte structural et minéralisations aurifères des gîtes Casa-Bérardi, Abitibi, Québec. *Journal canadien des Sciences de la Terre*, 27: 1672-1685.

PROULX, M. 1991. Synthèse du sillon de roches vertes de Currie-Le Sueur. Ministère de l'Énergie et des Ressources, Québec. SIG 91-01 carte no 2155.

ROBERT, F. 1989. Internal structure of the Cadillac tectonic zone southeast of Val d'Or, Abitibi greenstone belt, Québec. *Journal canadien des Sciences de la Terre*, **26**: 2661-2675.

ROCHELEAU, M., HÉBERT, R., ST-JULIEN, P., RACINE, M., GAUDREAU, R., et LACOSTE, P. 1990. La ceinture de l'Abitibi à l'est de Val-d'Or: un secteur économiquement méconnu affecté par la tectonique et le métamorphisme Grenvillien. *Dans Les ceintures polymétalliques du NO québécois, Édité par M. Rive, P. Verpaelst, G. Riverin, A. Simard, J. M. Lulin and Y. Gagnon. Symposium de l'ICM, Volume Spécial 43, 269-284.*

SAWYER, E. W., et BENN, K. 1993. Structure of the high-grade Opatica Belt and adjacent low-grade Abitibi Subprovince, Canada: an Archaean mountain front. *Journal of Structural Geology*, **15**: 1443-1458.

TAIT, L., et CHOWN, E. H. 1987. Géologie de la région de Du Guesclin, district de Chibougamau. Ministère de l'Énergie et des Ressources du Québec. DP 87-12 (carte annotée), p.

TAIT, L., PILOTE, P., et CHOWN, E. H. 1987. Géologie de la région du lac à l'Eau Jaune, district de Chibougamau. Ministère de l'Énergie et des Ressources du Québec. MB 87-24, p.

TOURIGNY, G., HUBERT, C., BROWN, A. C., et CRÉPEAU, R. 1988. Canadian geology of the Blake River Group at the Bousquet Mine, Abitibi, Québec. *Journal Canadien des Sciences de la Terre*, **25**: 581-592.

TOURIGNY, G., HUBERT, C., BROWN, A., et CRÉPEAU, R. 1989. Structural control of gold mineralization at the Bousquet mine, Abitibi, Québec. *Journal canadien des Sciences de la Terre*, **26**: 157-175.

Annexe 1 - Liste des données structurales

#ZD	Station	Nom_ZD	Id	Ty	Dir_S	Pen	Id	Ty	Dir_L	PI	AC	IDEF	UTME	UTMN	ZONE	CARTE
101	1023	Cadillac-ouest	2	Sp	264	64	3	Lé	345	61	85	3.5	650300	5339450	17	32D02
101	1023	Cadillac-ouest	7	Sp	280	69	8	Lé	7	69	90	3.5	650300	5339450	17	32D02
101	1023	Cadillac-ouest	9	Sp	278	58	10	Lé	14	58	93	3.5	650300	5339450	17	32D02
101	1024	Cadillac-ouest	1	Sp	240	60	0	Lé	0	0	90	1	657050	5342100	17	32D02
101	1025	Cadillac-ouest	3	Sp	240	75	4	Li	13	70	0	1.5	658250	5341625	17	32D02
101	1026	Cadillac-ouest	1	Sp	260	81	0		0	0	0	2	657800	5342250	17	32D02
101	1027	Cadillac-ouest	1	Sp	250	70	2	Lé	300	65	74	3.5	659050	5342600	17	32D02
101	1027	Cadillac-ouest	3	Sp	295	73	4	Lé	334	64	70	3.5	659050	5342600	17	32D02
101	1054	Cadillac-ouest	1	Sp	283	53	2	Lé	332	52	65	3.5	654875	5341950	17	32D02
101	1054	Cadillac-ouest	3	Sp	278	66	4	Lé	345	64	80	3.5	654875	5341950	17	32D02
101	1112	Cadillac-ouest	1	Sp	266	40	2	Lé	9	40	90	4	646000	5337500	17	32D03
101	1112	Cadillac-ouest	1	Sp	266	40	3	Lc	269	8	0	4	646000	5337500	17	32D03
101	1112	Cadillac-ouest	4	Sp	272	50	5	Lé	15	45	99	4	646000	5337500	17	32D03
101	1112	Cadillac-ouest	6	Sp	280	51	7	Lé	26	51	100	4	646000	5337500	17	32D03
101	1112	Cadillac-ouest	6	Sp	280	51	8	Lc	320	33	0	4	646000	5337500	17	32D03
101	1112	Cadillac-ouest	9	Sp	333	40	0		0	0	0	4	646000	5337500	17	32D03
101	1112	Cadillac-ouest	10	Sp	281	45	11	Lé	20	45	90	4	646000	5337500	17	32D03
101	1112	Cadillac-ouest	12	Sp	270	41	13	Lé	359	41	90	4	646000	5337500	17	32D03
101	1112	Cadillac-ouest	14	Sp	281	45	15	Lc	301	19	27	4	646000	5337500	17	32D03
101	1113	Cadillac-ouest	1	Sp	262	55	2	Lé	355	55	92	3.5	645875	5338200	17	32D03
101	1113	Cadillac-ouest	1	Sp	262	55	3	Lc	283	25	0	3.5	645875	5338200	17	32D03
101	1113	Cadillac-ouest	4	Sp	252	55	5	Lé	341	52	89	3.5	645875	5338200	17	32D03
101	1113	Cadillac-ouest	4	Sp	252	55	6	Lc	285	11	0	3.5	645875	5338200	17	32D03
101	1113	Cadillac-ouest	9	Sp	265	55	0		0	0	0	3.5	645875	5338200	17	32D03
101	1113	Cadillac-ouest	10	Sp	264	55	11	Lé	337	54	80	3.5	645875	5338200	17	32D03
101	1115	Cadillac-ouest	2	Sp	260	74	2	Lé	10	65	98	4	645550	5339450	17	32D03
101	1115	Cadillac-ouest	3	Sp	278	74	4	Lé	4	74	90	4	645550	5339450	17	32D03
101	4121	Cadillac-ouest	13	Sp	258	52	14	Lp	77	44	0	4.5	654450	5342000	17	32D02
101	4121	Cadillac-ouest	1	Sp	276	52	2	Lé	350	52	90	4.5	654450	5342000	17	32D02
101	4121	Cadillac-ouest	3	Sp	256	74	4	Lé	37	65	109	4.5	654450	5342000	17	32D02
101	4121	Cadillac-ouest	5	Sp	204	87	6	Lé	11	63	116	4.5	654450	5342000	17	32D02
101	4121	Cadillac-ouest	7	Sp	250	30	8	Lp	76	25	0	4.5	654450	5342000	17	32D02
101	4121	Cadillac-ouest	12	Sp	254	70	0		0	0	0	4.5	654450	5342000	17	32D02
101	4122	Cadillac-ouest	1	Sp	260	64	2	Lé	12	63	99	3	656900	5342150	17	32D02
101	4123	Cadillac-ouest	1	Sp	99	89	2	Lé	193	90	90	4.5	657900	5342250	17	32D02
101	4124	Cadillac-ouest	1	Sp	240	66	2	Lé	326	66	90	4.5	658850	5342300	17	32D02
101	4124	Cadillac-ouest	3	Sp	227	59	4	Lé	304	56	83	4.5	658850	5342300	17	32D02
101	4148	Cadillac-ouest	1	Sp	252	47	2	Lé	297	38	56	4	658400	5342375	17	32D02
101	4149	Cadillac-ouest	1	Sp	255	68	2	Lé	312	54	71	4.5	658575	5342375	17	32D02
101	4149	Cadillac-ouest	3	Sp	305	33	4	Lé	332	13	30	4.5	658575	5342375	17	32D02
101	5006	Cadillac-ouest	1	Sp	285	51	2	Lé	340	40	64	2.5	641100	5339975	17	32D03
101	5008	Cadillac-ouest	1	Sp	295	65	0		0	0	0	3.5	641600	5339925	17	32D03
101	5008	Cadillac-ouest	4	Sp	292	55	5	Li	330	55	0	3.5	641600	5339925	17	32D03
101	5009	Cadillac-ouest	1	Sp	282	35	2	Lé	30	35	105	4.5	637750	5334550	17	32D03
101	5010	Cadillac-ouest	1	Sp	285	32	2	Lé	38	32	110	3	637750	5334100	17	32D03
101	5027	Cadillac-ouest	1	Sp	252	48	2	Lé	340	48	90	4	628550	5337600	17	32D03
101	5029	Cadillac-ouest	2	Sp	268	75	0		0	0	0	1.5	650350	5339800	17	32D02
101	5029	Cadillac-ouest	3	Sp	253	54	0		0	0	0	1.5	650350	5339800	17	32D02
101	5029	Cadillac-ouest	4	Sp	239	61	5	Lé	329	56	90	1.5	650350	5339800	17	32D02
101	5029	Cadillac-ouest	6	Sp	250	30	0		0	0	0	1.5	650350	5339800	17	32D02
101	5030	Cadillac-ouest	1	Sp	265	52	2	Lé	339	58	90	3	650325	5339450	17	32D02
101	5031	Cadillac-ouest	1	Sp	268	51	0		0	0	0	3	650350	5338800	17	32D02
101	5031	Cadillac-ouest	2	Sp	282	60	3	Lé	345	60	90	3	650350	5338800	17	32D02
101	5032	Cadillac-ouest	2	Sp	275	50	3	Lé	1	50	90	2	650425	5338425	17	32D02
101	5033	Cadillac-ouest	1	Sp	269	39	2	Lé	0	40	90	3	650375	5338350	17	32D02
101	5034	Cadillac-ouest	1	Sp	284	39	2	Lé	39	36	110	2.5	650400	5338100	17	32D02
101	5034	Cadillac-ouest	5	Sp	295	40	0		0	0	0	2.5	650400	5338100	17	32D02
101	5044	Cadillac-ouest	1	Sp	82	36	2	Lé	121	25	45	3.5	655025	5338475	17	32D02
101	5044	Cadillac-ouest	3	Sp	100	70	0		0	0	0	3.5	655025	5338475	17	32D02
101	5045	Cadillac-ouest	1	Sp	90	85	2	Lé	90	1	1	2	654825	5338600	17	32D02
101	5046	Cadillac-ouest	1	Sp	288	43	2	Lé	345	18	59	3.5	654950	5338775	17	32D02
101	5046	Cadillac-ouest	1	Sp	288	43	3	Lé	311	20	30	3.5	654950	5338775	17	32D02
101	5046	Cadillac-ouest	5	Sp	282	70	6	Lé	298	37	140	3.5	654950	5338775	17	32D02
101	5047	Cadillac-ouest	1	Sp	208	32	2	Lé	322	27	111	2	655000	5339150	17	32D02
101	5047	Cadillac-ouest	3	Sp	240	40	4	Lé	283	36	53	2	655000	5339150	17	32D02
101	5048	Cadillac-ouest	1	Sp	260	46	2	Lé	320	34	65	3	655000	5339350	17	32D02
101	5048	Cadillac-ouest	3	Sp	270	85	4	Lé	320	64	74	3	655000	5339350	17	32D02
101	5048	Cadillac-ouest	5	Sp	274	35	6	Lé	348	34	77	3	655000	5339350	17	32D02
101	5049	Cadillac-ouest	1	Sp	240	25	2	Lé	325	30	90	3	654850	5339450	17	32D02
101	5050	Cadillac-ouest	2	Sp	310	52	0		0	0	0	2	655000	5339500	17	32D02
101	5051	Cadillac-ouest	1	Sp	255	40	2	Lé	315	40	68	3.5	654900	5339800	17	32D02
101	5052	Cadillac-ouest	1	Sp	265	42	2	Lé	330	42	72	3	654900	5340300	17	32D02
101	5053	Cadillac-ouest	1	Sp	290	50	2	Lé	8	50	90	3.5	654700	5340700	17	32D02
101	5053	Cadillac-ouest	6	Sp	270	53	7	Lé	31	49	100	3.5	654700	5340700	17	32D02
101	5054	Cadillac-ouest	1	Sp	245	45	2	Lé	317	41	75	4	654800	5341425	17	32D02
101	5054	Cadillac-ouest	3	Sp	224	58	4	Lé	12	41	130	4	654800	5341425	17	32D02
101	5069	Cadillac-ouest	1	Sp	317	32	2	Lé	2	24	50	3	644755	5338910	17	32D03
101	5069	Cadillac-ouest	7	Sp	263	75	0		0	0	0	3	644755	5338910	17	32D03
101	5069	Cadillac-ouest	12	Sp	315	30	13	Lé	357	18	46	3	644755	5338910	17	32D03
101	5070	Cadillac-ouest	1	Sp	277	45	2	Lé	333	40	64	3	644687	5338924	17	32D03
101	5070	Cadillac-ouest	3	Sp	281	52	4	Lé	330	44	62	3	644687	5338924	17	32D03

Annexe 1 - Liste des données structurales

#ZD	Station	Nom_ZD	Id	Ty	Dir_S	Pen	Id	Ty	Dir_L	PI	AC	IDEF	UTME	UTMN	ZONE	CARTE
101	5070	Cadillac-ouest	9	Sp	240	79	0		0	0	0	3	644687	5338924	17	32D03
101	5070	Cadillac-ouest	12	Sp	245	30	0		0	0	0	3	644687	5338924	17	32D03
101	5071	Cadillac-ouest	1	Sp	265	77	2	Lé	335	66	80	4	646315	5339860	17	32D03
101	5071	Cadillac-ouest	3	Sp	267	81	0		0	0	0	4	646315	5339860	17	32D03
101	5071	Cadillac-ouest	5	Sp	307	76	0		0	0	0	4	646315	5339860	17	32D03
101	5071	Cadillac-ouest	6	Sp	261	70	7	Lp	278	53	0	4	646315	5339860	17	32D03
101	5072	Cadillac-ouest	1	Sp	310	35	0		0	0	0	4	652745	5341379	17	32D02
101	5072	Cadillac-ouest	2	Sp	239	49	3	Lé	330	49	90	4	652745	5341379	17	32D02
101	5072	Cadillac-ouest	4	Sp	285	55	5	Lé	310	35	40	4	652745	5341379	17	32D02
101	5072	Cadillac-ouest	6	Sp	290	44	0		0	0	0	4	652745	5341379	17	32D02
101	5072	Cadillac-ouest	7	Sp	295	57	8	Lé	323	36	45	4	652745	5341379	17	32D02
101	5073	Cadillac-ouest	1	Sp	110	60	0		0	0	0	1	652975	5341189	17	32D02
101	8027	Cadillac-ouest	1	Sp	268	44	2	Lé	1	44	90	3	644550	5336875	17	32D03
101	8028	Cadillac-ouest	1	Sp	280	55	2	Lé	0	50	84	3.5	644000	5336875	17	32D03
101	8093	Cadillac-ouest	1	Sp	244	46	2	Lé	22	38	128	3	625975	5338325	17	32D03
101	8093	Cadillac-ouest	3	Sp	245	63	4	Lc	281	54	0	3	625975	5338325	17	32D03
102	1031	Cadillac-centre-ouest	1	Sp	85	81	2	Lé	254	71	108	2.5	681400	5344600	17	32D02
102	1031	Cadillac-centre-ouest	3	Sp	77	72	4	Lé	197	70	100	2.5	681400	5344600	17	32D02
102	2112	Cadillac-centre-ouest	1	Sp	252	82	2	Lé	251	68	68	3	692164	5345216	17	32D01
102	2112	Cadillac-centre-ouest	3	Sp	261	86	4	Lé	283	79	80	3	692164	5345216	17	32D01
102	2113	Cadillac-centre-ouest	1	Sp	264	84	2	Lé	322	81	84	3	691920	5345204	17	32D01
102	2114	Cadillac-centre-ouest	1	Sp	255	87	2	Lé	15	85	94	3.5	689965	5344841	17	32D01
102	2114	Cadillac-centre-ouest	3	Sp	255	89	4	Lé	266	85	85	3.5	689965	5344841	17	32D01
102	2115	Cadillac-centre-ouest	1	Sp	265	82	2	Lé	293	74	74	3	689806	5344793	17	32D01
102	6066	Cadillac-centre-ouest	1	Sp	90	90	2	Lé	270	6	174	2.5	692056	5345304	17	32D01
102	6066	Cadillac-centre-ouest	3	Sp	260	85	4	Lé	290	70	73	2.5	692056	5345304	17	32D01
102	6066	Cadillac-centre-ouest	3	Sp	260	85	5	Lé	285	80	81	2.5	692056	5345304	17	32D01
102	6066	Cadillac-centre-ouest	6	Sp	78	86	7	Lé	78	6	6	2.5	692056	5345304	17	32D01
103	2104	Cadillac-centre	1	Sp	270	84	2	Lé	82	57	122	4	701564	5344969	17	32D01
103	2104	Cadillac-centre	3	Sp	268	82	4	Lé	64	66	111	4	701564	5344969	17	32D01
103	2104	Cadillac-centre	5	Sp	270	81	6	Lé	281	49	50	4	701564	5344969	17	32D01
103	2104	Cadillac-centre	7	Sp	259	80	8	Lé	343	80	90	4	701564	5344969	17	32D01
103	2105	Cadillac-centre	1	Sp	241	85	2	Lé	62	34	36	3	701804	5345181	17	32D01
103	2106	Cadillac-centre	1	Sp	256	87	2	Lc	252	60	0	3.5	702143	5345102	17	32D01
103	2106	Cadillac-centre	4	Sp	87	85	5	Lé	256	51	123	3.5	702143	5345102	17	32D01
103	2106	Cadillac-centre	6	Sp	244	87	7	Lé	252	70	70	3.5	702143	5345102	17	32D01
103	2122	Cadillac-centre	1	Sp	242	84	2	Lc	274	65	0	3	702986	5343411	17	32D01
103	2122	Cadillac-centre	2	Sp	243	84	4	Lé	18	78	98	3	702986	5343411	17	32D01
103	2122	Cadillac-centre	5	Sp	168	81	0		0	0	0	3	702986	5343411	17	32D01
103	2122	Cadillac-centre	7	Sp	243	83	8	Lé	246	20	20	3	702986	5343411	17	32D01
103	2123	Cadillac-centre	1	Sp	149	72	0		0	0	0	3	702914	5343324	17	32D01
103	2124	Cadillac-centre	1	Sp	340	86	2	Lc	128	70	0	3	702946	5342887	17	32D01
103	2124	Cadillac-centre	3	Sp	65	83	0		0	0	0	3	702946	5342887	17	32D01
103	2124	Cadillac-centre	4	Sp	150	82	5	Lé	165	55	56	3	702946	5342887	17	32D01
103	2124	Cadillac-centre	12	Sp	154	84	13	Lé	170	69	70	3	702946	5342887	17	32D01
103	2124	Cadillac-centre	14	Sp	177	68	15	Lé	264	68	90	3	702946	5342887	17	32D01
103	2124	Cadillac-centre	16	Sp	170	89	17	Lé	181	85	85	3	702946	5342887	17	32D01
103	6009	Cadillac-centre	1	Sp	117	85	2	Lé	142	80	81	1.5	714663	5335189	17	32D01
103	6018	Cadillac-centre	1	Sp	295	68	2	Lé	105	35	144	2.5	720091	5334353	17	32D01
103	6031	Cadillac-centre	1	Sp	314	87	2	Lé	135	57	122	3.5	705774	5339796	17	32D01
103	6032	Cadillac-centre	1	Sp	310	78	2	Lé	128	22	158	2.5	705819	5340079	17	32D01
103	6032	Cadillac-centre	1	Sp	310	78	3	Lé	135	35	145	2.5	705819	5340079	17	32D01
103	6038	Cadillac-centre	2	Sp	110	78	4	Ls	120	35	0	2	702405	5343084	17	32D01
103	6038	Cadillac-centre	5	Sp	128	82	6	Lé	128	32	32	2	702405	5343084	17	32D01
103	6039	Cadillac-centre	1	Sp	270	77	2	Lé	15	77	90	3	702348	5344718	17	32D01
103	6040	Cadillac-centre	1	Sp	270	74	2	Lc	295	60	63	3.5	701847	5344838	17	32D01
103	6040	Cadillac-centre	3	Sp	260	76	4	Lé	12	76	90	3.5	701847	5344838	17	32D01
103	6041	Cadillac-centre	0		0	0	5	Lé	275	2	0	5	701423	5344802	17	32D01
103	6041	Cadillac-centre	1	Sp	100	78	2	Lé	110	59	60	5	701423	5344802	17	32D01
103	6041	Cadillac-centre	3	V	100	78	4	Lé	130	0	0	5	701423	5344802	17	32D01
103	10090	Cadillac-centre	1	Sp	290	72	2	Lé	104	19	160	3.5	719791	5334450	17	32D01
103	10091	Cadillac-centre	1	Sp	290	70	2	Lé	102	19	160	3	719920	5334400	17	32D01
103	10093	Cadillac-centre	1	Sp	70	84	2	Lé	237	64	115	2	701860	5345080	17	32D01
103	10094	Cadillac-centre	3	Sp	265	88	4	Lé	84	30	150	3.5	701400	5344520	17	32D01
103	10094	Cadillac-centre	5	Sp	95	80	6	Lé	107	49	50	3.5	701400	5344520	17	32D01
104	2084	Cadillac-est	1	Sp	280	71	2	Lé	294	25	28	4	323563	5322696	18	32C03
104	2084	Cadillac-est	3	Sp	282	82	4	Lé	100	4	176	4	323563	5322696	18	32C03
104	2084	Cadillac-est	5	Sp	285	74	6	Lé	326	60	68	4	323563	5322696	18	32C03
104	2084	Cadillac-est	7	Sp	95	90	8	Lé	95	1	1	4	323563	5322696	18	32C03
104	2084	Cadillac-est	9	Sp	279	70	10	Lé	280	3	3	4	323563	5322696	18	32C03
104	4078	Cadillac-est	1	Sp	55	84	2	Lé	187	80	97	3.5	309100	5324150	18	32C04
104	12122	Cadillac-est	1	Sp	275	80	2	Lé	62	72	105	4.5	297888	5324869	18	32C04
108	6145	Mic-Mac	1	Sp	85	60	2	Lé	185	60	96	3	681250	5349550	17	32D07
108	6145	Mic-Mac	3	Sp	97	70	4	Lé	172	70	85	3	681250	5349550	17	32D07
110	8096	Fortune	1	Sp	252	68	2	Lé	36	51	120	3.5	626750	5338675	17	32D03
110	8096	Fortune	3	Sp	248	72	4	Lc	273	25	0	3.5	626750	5338675	17	32D03
111	5002	Pelletier	1	Sp	270	80	0		0	0	0	5	643350	5341950	17	32D03
111	8031	Pelletier	1	Sp	258	54	0		0	0	0	2	638050	5341500	17	32D03
111	8032	Pelletier	1	Sp	68	80	2	Lé	245	68	105	3	637550	5341550	17	32D03
112	8085	Francoeur	1	Sp	266	47	0		0	0	0	1.5	628500	5340450	17	32D03
112	8086	Francoeur	1	Sp	275	38	0		0	0	0	1	628325	5340525	17	32D03

Annexe 1 - Liste des données structurales

#ZD	Station	Nom_ZD	Id	Ty	Dir_S	Pen	Id	Ty	Dir_L	PI	AC	IDEF	UTME	UTMN	ZONE	CARTE
112	8087	Francoeur	1	Sp	295	30	2	Lé	17	30	86	3	629300	5340475	17	32D03
112	8087	Francoeur	3	Sp	278	48	0		0	0	0	3	629300	5340475	17	32D03
113	4038	Dumagami	1	Sp	92	86	2	Lé	125	81	88	4	690075	5347150	17	32D08
113	4038	Dumagami	5	Sp	82	75	6	Lé	243	50	128	4	690075	5347150	17	32D08
113	4038	Dumagami	5	Sp	82	75	7	Lc	80	22	0	4	690075	5347150	17	32D08
113	4039	Dumagami	1	Sp	274	83	2	Lé	293	61	63	4.5	690000	5347575	17	32D08
113	4039	Dumagami	3	Sp	90	87	4	Lé	265	80	100	4.5	690000	5347575	17	32D08
113	6142	Dumagami	1	Sp	110	70	0		0	0	0	5	683900	5347400	17	32D07
114	4125	Dalembert	1	Sp	297	70	2	Lé	11	68	84	3.5	646700	5360450	17	32D06
115	3209	Courbe	1	Sp	105	83	2	Lé	185	83	90	4	642550	5366650	17	32D06
116	12121	Viau	1	Sp	95	85	2	Lé	185	85	95	4	669548	5351792	17	32D07
120	6008	Roc-d'Or	1	Sp	303	80	2	Lé	112	12	166	4	720399	5334889	17	32D01
120	6008	Roc-d'Or	3	Sp	112	88	4	Lé	113	12	12	4	720399	5334889	17	32D01
121	6004		1	Sp	295	60	2	Lé	85	48	126	3.5	719867	5336914	17	32D01
121	6004		3	Sp	290	53	4	Lé	75	32	134	3.5	719867	5336914	17	32D01
129	6025	Joubi	1	Sp	290	66	2	Lé	10	65	86	3.5	284888	5330838	18	32C04
129	6025	Joubi	3	Sp	292	72	4	Lé	2	66	82	3.5	284888	5330838	18	32C04
129	6061	Joubi	1	Sp	270	72	2	Lé	325	52	85	3.5	289026	5329049	18	32C04
131	2083	Louvicoourt	1	Sp	264	75	2	Lé	293	50	56	4	323220	5323553	18	32C03
131	2083	Louvicoourt	3	Sp	264	70	4	Lé	328	67	81	4	323220	5323553	18	32C03
131	2083	Louvicoourt	5	Sp	284	73	6	Lé	296	49	50	4	323220	5323553	18	32C03
131	2083	Louvicoourt	7	Sp	289	80	8	Lé	289	44	44	4	323220	5323553	18	32C03
131	2083	Louvicoourt	11	Sp	267	67	12	Lé	291	43	48	4	323220	5323553	18	32C03
131	2085	Louvicoourt	1	Sp	279	81	0		0	0	0	3.5	331267	5321385	18	32C03
131	4082	Louvicoourt	1	Sp	87	78	2	Lé	267	11	169	2.5	308100	5325950	18	32C04
131	4083	Louvicoourt	1	Sp	68	84	2	Lé	70	9	9	3.5	308400	5326000	18	32C04
132	2077	Sigma 2	1	Sp	89	72	2	Lé	160	76	85	3	317253	5326535	18	32C03
132	2077	Sigma 2	3	Sp	84	78	4	Lé	151	77	85	3	317253	5326535	18	32C03
132	2081	Sigma 2	1	Sp	89	85	2	Lé	236	76	99	3.5	323392	5325032	18	32C03
133	2079	Sleepy	1	Sp	270	79	2	Lé	350	84	89	4	317547	5327190	18	32C03
133	12102	Sleepy	1	Sp	92	82	2	Lé	245	73	105	3	317230	5327240	18	32C04
133	12102	Sleepy	3	Sp	270	84	4	Lé	301	78	80	3	317230	5327240	18	32C04
134	4081	Dunraine	1	Sp	256	79	2	Lé	260	9	10	4	308400	5327550	18	32C04
134	4081	Dunraine	3	Sp	81	85	4	Lé	256	4	4	4	308400	5327550	18	32C04
134	4081	Dunraine	5	Sp	75	78	6	Lé	74	6	6	4	308400	5327550	18	32C04
135	2087	Colombière	1	Sp	238	80	2	Lé	342	80	90	4	311564	5329752	18	32C04
135	2087	Colombière	3	Sp	243	72	4	Lé	349	71	95	4	311564	5329752	18	32C04
135	8139	Colombière	1	Sp	243	85	2	Lé	67	78	105	4	309875	5329625	18	32D09
135	8139	Colombière	3	Sp	252	76	4	Lé	36	60	117	4	309875	5329625	18	32D09
135	8139	Colombière	5	Sp	241	75	6	Lé	37	55	121	4	309875	5329625	18	32D09
136	4080	Aumague	2	Sp	270	72	4	Lé	357	72	88	3.5	297500	5329400	18	32C04
136	4080	Aumague	1	Sp	266	68	2	Lé	2	66	92	3.5	297500	5329400	18	32C04
137	4073	Sigma sud	1	Sp	72	88	2	Lé	221	88	90	3.5	297800	5330750	18	32C04
137	12105	Sigma sud	1	Sp	265	85	2	Lé	355	85	90	3	293910	5330600	18	32C04
138	4077	Manitou	1	Sp	250	71	2	Lé	312	65	79	3.5	305950	5329125	18	32C04
138	12107	Manitou	1	Sp	247	76	2	Lé	337	76	90	3	310067	5330700	18	32C04
138	12108	Manitou	1	Sp	250	80	2	Lé	57	10	170	3.5	309445	5329846	18	32C04
139	4085		2	Sp	256	79	0		0	0	0	1	308350	5325300	18	32C04
139	4156		1	Sp	84	69	2	Lé	86	29	29	3.5	308400	5325300	18	32C04
139	4156		5	Sp	82	80	6	Lé	91	33	34	3.5	308400	5325300	18	32C04
139	4156		8	Sp	76	76	0		0	0	0	3.5	308400	5325300	18	32C04
139	4156		9	Sp	80	67	10	Lé	84	14	20	3.5	308400	5325300	18	32C04
139	4156		12	Sp	75	75	13	Lé	80	17	0	3.5	308400	5325300	18	32C04
140	2093	Senneville	1	Sp	264	79	0		0	0	0	3.5	346798	5330702	18	32C03
140	2094	Senneville	1	Sp	290	65	2	Lé	35	55	98	4.5	349389	5330009	18	32C03
140	2094	Senneville	3	Sp	294	72	4	Lé	21	72	90	4.5	349389	5330009	18	32C03
140	2095	Senneville	1	Sp	292	62	2	Lé	23	60	90	4.5	349790	5330069	18	32C03
140	2095	Senneville	3	Sp	296	70	4	Lé	38	70	94	4.5	349790	5330069	18	32C03
140	4012	Senneville	1	Sp	107	72	2	Lé	107	16	164	3	305000	5347275	18	32C05
140	4013	Senneville	1	Sp	306	71	2	Lé	124	6	0	4.5	305020	5347600	18	32C05
140	4013	Senneville	1	Sp	306	71	3	Lp	122	35	0	4.5	305020	5347600	18	32C05
150	1203	Parfouru-sud	1	Sp	115	70	2	Lc	275	33	0	4	681350	5350625	17	32D07
150	1203	Parfouru-sud	3	Sp	115	55	4	Lé	258	36	140	4	681350	5350625	17	32D07
150	1203	Parfouru-sud	5	Sp	105	85	6	Lé	280	64	105	4	681350	5350625	17	32D07
150	1203	Parfouru-sud	7	Sp	100	79	8	Lé	245	72	105	4	681350	5350625	17	32D07
150	1203	Parfouru-sud	9	Sp	295	90	10	Lé	295	55	55	4	681350	5350625	17	32D07
150	4041	Parfouru-sud	1	Sp	86	84	2	Lé	242	75	104	3	692750	5348060	17	32D08
150	4042	Parfouru-sud	1	Sp	84	76	2	Lé	242	58	119	4	689650	5348300	17	32D08
150	8080	Parfouru-sud	1	Sp	134	75	2	Lé	292	49	130	2	669400	5358500	17	32D07
151	1198	Parfouru-nord	1	Sp	110	90	0		0	0	0	4	669950	5361875	17	32D07
151	1198	Parfouru-nord	2	Sp	290	70	3	Lé	297	19	20	4	669950	5361875	17	32D07
151	4112	Parfouru-nord	1	Sp	285	79	2	Lé	282	22	22	3.5	672150	5360600	17	32D07
152	1202	LaPause	1	Sp	70	81	0		0	0	0	4	682400	5354200	17	32D07
152	1202	LaPause	2	Sp	75	66	3	Lé	253	5	175	4	682400	5354200	17	32D07
152	8077	LaPause	1	Sp	120	33	2	Lé	185	29	64	3.5	678875	5355475	17	32D07
152	8078	LaPause	1	Sp	71	66	0		0	0	0	3	678700	5355600	17	32D07
153	6013	Rivière-Héva	1	Sp	355	84	0		0	0	0	3.5	711466	5345737	17	32D01
153	6013	Rivière-Héva	20	Sp	172	80	0		0	0	0	3.5	711466	5345737	17	32D01
153	6013	Rivière-Héva	23	Sp	151	80	24	Lé	325	9	0	3.5	711466	5345737	17	32D01
153	6013	Rivière-Héva	25	Sp	175	84	0		0	0	0	3.5	711466	5345737	17	32D01
153	6013	Rivière-Héva	28	Sp	171	80	0		0	0	0	3.5	711466	5345737	17	32D01

Annexe 1 - Liste des données structurales

#ZD	Station	Nom_ZD	Id	Ty	Dir_S	Pen	Id	Ty	Dir_L	PI	AC	IDEF	UTME	UTMN	ZONE	CARTE
153	6013	Rivière-Héva	31	Sp	143	78	32	Lé	276	55	0	3.5	711466	5345737	17	32D01
153	6014	Rivière-Héva	1	Sp	116	79	0		0	0	0	3	711339	5345730	17	32D01
153	6014	Rivière-Héva	2	Sp	110	83	3	Lé	130	65	67	3	711339	5345730	17	32D01
153	6014	Rivière-Héva	2	Sp	110	83	4	Lé	137	65	68	3	711339	5345730	17	32D01
153	6014	Rivière-Héva	5	Sp	110	65	6	Lp	125	45	0	3	711339	5345730	17	32D01
153	6014	Rivière-Héva	11	Sp	149	77	12	Lé	325	67	0	3	711339	5345730	17	32D01
153	6014	Rivière-Héva	13	Sp	150	60	0		0	0	0	3	711339	5345730	17	32D01
153	6014	Rivière-Héva	14	Sp	152	67	15	Lc	315	37	0	3	711339	5345730	17	32D01
153	6014	Rivière-Héva	16	Sp	331	85	17	Lc	328	10	0	3	711339	5345730	17	32D01
153	6014	Rivière-Héva	18	Sp	116	69	19	Lé	194	65	0	3	711339	5345730	17	32D01
153	6014	Rivière-Héva	20	Sp	110	75	21	Lé	128	50	0	3	711339	5345730	17	32D01
153	6014	Rivière-Héva	24	Sp	125	84	0		0	0	0	3	711339	5345730	17	32D01
153	6014	Rivière-Héva	25	Sp	134	78	26	Lé	208	86	0	3	711339	5345730	17	32D01
153	6014	Rivière-Héva	29	Sp	138	81	0		0	0	0	3	711339	5345730	17	32D01
154	8065	Malartic	1	Sp	160	79	2	Lé	170	34	33	5	708075	5352550	17	32D08
154	8066	Malartic	1	Sp	125	42	2	Lé	168	32	50	3	707725	5352000	17	32D08
154	8069	Malartic	1	Sp	92	48	2	Lé	169	45	77	3.5	707825	5352200	17	32D08
154	8069	Malartic	3	Sp	51	50	4	Lé	166	43	120	3.5	707825	5352200	17	32D08
154	8071	Malartic	1	Sp	83	61	2	Lé	218	53	118	3.5	707950	5352350	17	32D08
154	8071	Malartic	3	Sp	80	64	4	Lé	165	64	90	3.5	707950	5352350	17	32D08
154	8072	Malartic	1	Sp	158	30	2	Lé	197	17	42	5	707975	5352450	17	32D08
154	8074	Malartic	1	Sp	42	55	2	Lé	156	50	107	4	708675	5350900	17	32D08
154	8075	Malartic	1	Sp	157	62	2	Lé	189	42	52	4	708675	5350175	17	32D08
155	2071	Manneville-sud	1	Sp	337	63	2	Lé	111	51	116	4	707787	5358464	17	32D08
155	2071	Manneville-sud	3	Sp	339	51	4	Lé	83	46	99	4	707787	5358464	17	32D08
155	2071	Manneville-sud	5	Sp	320	60	6	Lé	95	45	120	4	707787	5358464	17	32D08
155	2071	Manneville-sud	7	Sp	310	74	8	Lé	93	44	126	4	707787	5358464	17	32D08
155	2071	Manneville-sud	9	Sp	320	56	10	Lé	100	38	127	4	707787	5358464	17	32D08
155	2071	Manneville-sud	11	Sp	305	55	12	Lé	82	46	120	4	707787	5358464	17	32D08
155	2071	Manneville-sud	13	Sp	324	62	14	Lé	117	44	130	4	707787	5358464	17	32D08
155	2071	Manneville-sud	15	Sp	332	45	16	Lé	85	42	107	4	707787	5358464	17	32D08
155	2071	Manneville-sud	17	Sp	321	45	18	Lé	90	38	120	4	707787	5358464	17	32D08
155	2071	Manneville-sud	19	Sp	340	50	20	Lé	93	48	105	4	707787	5358464	17	32D08
155	2071	Manneville-sud	21	Sp	296	52	22	Lé	75	40	125	4	707787	5358464	17	32D08
155	2071	Manneville-sud	23	Sp	324	50	24	Lé	101	39	125	4	707787	5358464	17	32D08
155	2072	Manneville-sud	1	Sp	314	74	2	Lé	95	50	120	4	710922	5356965	17	32D08
155	2072	Manneville-sud	3	Sp	300	64	4	Lé	88	47	125	4	710922	5356965	17	32D08
155	2073	Manneville-sud	0		0	0	16	Lé	85	43	0	4	707905	5358569	17	32D08
155	2073	Manneville-sud	1	Sp	335	41	2	Lé	81	40	102	4	707905	5358569	17	32D08
155	2073	Manneville-sud	3	Sp	299	52	4	Lé	70	38	122	4	707905	5358569	17	32D08
155	2073	Manneville-sud	5	Sp	25	41	0		0	0	0	4	707905	5358569	17	32D08
155	2073	Manneville-sud	8	Sp	281	66	0		0	0	0	4	707905	5358569	17	32D08
155	2073	Manneville-sud	9	Sp	285	63	0		0	0	0	4	707905	5358569	17	32D08
155	2073	Manneville-sud	10	Sp	335	54	11	Lé	58	54	86	4	707905	5358569	17	32D08
155	2073	Manneville-sud	12	Sp	334	53	13	Lé	49	53	90	4	707905	5358569	17	32D08
155	2073	Manneville-sud	14	Sp	341	49	15	Lé	69	46	89	4	707905	5358569	17	32D08
155	2073	Manneville-sud	16	Sp	325	50	17	Lé	70	49	100	4	707905	5358569	17	32D08
155	2073	Manneville-sud	18	Sp	320	54	19	Lé	48	54	90	4	707905	5358569	17	32D08
155	2074	Manneville-sud	1	Sp	261	82	2	Lé	73	81	96	4	708601	5358193	17	32D08
155	2075	Manneville-sud	1	Sp	110	70	2	Lé	271	16	155	4.5	705424	5361087	17	32D08
155	2076	Manneville-sud	1	Sp	112	66	2	Lé	158	58	116	3.5	705355	5361077	17	32D08
155	2076	Manneville-sud	3	Sp	291	78	4	Lé	311	58	60	3.5	705355	5361077	17	32D08
155	4045	Manneville-sud	1	Sp	135	70	2	Lé	188	62	72	3.5	699300	5361900	17	32D08
155	4046	Manneville-sud	1	Sp	130	0	0		0	0	0	2	699600	5361800	17	32D08
155	4197	Manneville-sud	1	Sp	310	54	2	Lé	98	32	135	4	710935	5356982	17	32D08
155	6046	Manneville-sud	1	Sp	175	88	2	Lé	175	20	88	4.5	282199	5346198	18	32C04
155	6046	Manneville-sud	3	Sp	170	88	4	Lé	50	50	0	4.5	282199	5346198	18	32C04
155	6065	Manneville-sud	1	Sp	45	55	2	Lé	102	33	64	0	708186	5358517	17	32D08
155	6065	Manneville-sud	3	Sp	317	62	0		0	0	0	0	708186	5358517	17	32D08
155	6172	Manneville-sud	1	Sp	121	79	2	Lé	172	68	77	4	704907	5361104	17	32D08
155	6173	Manneville-sud	1	Sp	97	70	2	Lé	195	64	94	3.5	704000	5361021	17	32D08
155	6174	Manneville-sud	1	Sp	117	77	2	Lé	216	76	91	0	702613	5360988	17	32D08
155	6175	Manneville-sud	1	Sp	91	88	2	Lé	262	65	116	3.5	702325	5360874	17	32D08
155	8002	Manneville-sud	1	Sp	121	57	2	Lé	292	13	163	3	683175	5365600	17	32D07
155	8002	Manneville-sud	0		0	0	4	Lé	305	18	0	3	683175	5365600	17	32D07
155	8003	Manneville-sud	1	Sp	210	18	2	Lé	305	15	94	4	683050	5365450	17	32D07
155	8003	Manneville-sud	3	Sp	150	11	4	Lé	300	5	150	4	683050	5365450	17	32D07
155	8003	Manneville-sud	5	Sp	145	15	6	Lé	302	12	153	4	683050	5365450	17	32D07
155	8052	Manneville-sud	1	Sp	120	55	2	Lé	126	3	7	3	686525	5364925	17	32D08
155	8052	Manneville-sud	3	Sp	108	55	4	Lé	282	6	8	3	686525	5364925	17	32D08
155	8063	Manneville-sud	1	Sp	84	74	2	Lé	95	34	36	4	695175	5362675	17	32D08
155	8063	Manneville-sud	3	Sp	254	87	0		0	0	0	4	695175	5362675	17	32D08
155	8063	Manneville-sud	4	Sp	272	84	5	Lé	92	18	161	4	695175	5362675	17	32D08
155	8097	Manneville-sud	1	Sp	86	75	0		0	0	0	3	285375	5344950	18	32C04
155	8097	Manneville-sud	2	Sp	73	90	3	Lé	73	5	5	3	285375	5344950	18	32C04
155	8098	Manneville-sud	1	Sp	277	87	2	Lé	98	47	131	3	285925	5344850	18	32C04
155	8099	Manneville-sud	1	Sp	291	83	0		0	0	0	3	285900	5344900	18	32C04
155	8099	Manneville-sud	2	Sp	289	88	0		0	0	0	3	285900	5344900	18	32C04
155	8099	Manneville-sud	3	Sp	105	75	4	Lé	132	74	72	3	285900	5344900	18	32C04
155	8103	Manneville-sud	1	Sp	305	80	0		0	0	0	1.5	286925	5344100	18	32C04
155	8129	Manneville-sud	1	Sp	308	79	2	Lé	105	58	122	4	710915	5356983	17	32D08

Annexe 1 - Liste des données structurales

#ZD	Station	Nom_ZD	Id	Ty	Dir_S	Pen	Id	Ty	Dir_L	PI	AC	IDEF	UTME	UTMN	ZONE	CARTE
155	8129	Manneville-sud	3	Sp	314	73	4	Lé	116	35	140	4	710915	5356983	17	32D08
155	8129	Manneville-sud	5	Sp	310	59	6	Lé	102	41	129	4	710915	5356983	17	32D08
155	8129	Manneville-sud	7	Sp	327	56	8	Lé	98	47	121	4	710915	5356983	17	32D08
155	8129	Manneville-sud	11	Sp	59	58	0		0	0	0	4	710915	5356983	17	32D08
155	8129	Manneville-sud	12	Sp	310	71	13	Lé	101	53	132	4	710915	5356983	17	32D08
156	6075	Manneville-centre	1	Sp	140	46	2	Lé	204	46	72	3	280040	5348084	18	32C05
156	6181	Manneville-centre	1	Sp	134	49	2	Lé	224	35	90	4	717539	5362555	17	32D08
156	6182	Manneville-centre	1	Sp	212	74	2	Lé	244	46	53	4.5	717191	5362795	17	32D08
156	6182	Manneville-centre	3	Sp	215	52	4	Lé	230	40	46	4.5	717191	5362795	17	32D08
156	6183	Manneville-centre	1	Sp	61	60	2	Lé	144	53	86	2	715918	5361558	17	32D08
156	6184	Manneville-centre	1	Sp	6	52	2	Lé	106	51	106	4.5	715347	5359673	17	32D08
156	6184	Manneville-centre	3	Sp	333	41	4	Lé	90	38	111	4.5	715347	5359673	17	32D08
156	6193	Manneville-centre	1	Sp	69	80	0		0	0	0	2.5	278001	5352715	18	32C05
156	6193	Manneville-centre	4	Sp	57	78	5	Lé	244	11	0	2.5	278001	5352715	18	32C05
156	6194	Manneville-centre	1	Sp	234	70	2	Lé	35	70	0	4	277871	5352388	18	32C05
156	8104	Manneville-centre	1	Sp	340	55	0		0	0	0	3.5	279575	5349625	18	32C05
156	8104	Manneville-centre	2	Sp	344	35	3	Lé	14	19	30	3.5	279575	5349625	18	32C05
156	8104	Manneville-centre	4	Sp	343	36	5	Lé	15	23	33	3.5	279575	5349625	18	32C05
156	8105	Manneville-centre	1	Sp	350	82	0		0	0	0	4	279700	5349650	18	32C05
156	8105	Manneville-centre	2	Sp	348	84	3	Lé	352	15	15	4	279700	5349650	18	32C05
156	8105	Manneville-centre	4	Sp	347	80	5	Lé	349	8	8	4	279700	5349650	18	32C05
156	8110	Manneville-centre	1	Sp	150	51	0		0	0	0	4	717850	5362450	17	32D08
156	8110	Manneville-centre	2	Sp	153	0	0		0	0	0	4	717850	5362450	17	32D08
156	8113	Manneville-centre	3	Sp	183	83	0		0	0	0	2	719400	5356700	17	32D08
156	8113	Manneville-centre	4	Sp	186	69	5	Lé	192	50	130	2	719400	5356700	17	32D08
156	8114	Manneville-centre	1	Sp	173	60	2	Lé	183	39	45	3	719550	5356600	17	32D08
156	8115	Manneville-centre	1	Sp	195	76	0		0	0	0	2.5	719600	5356600	17	32D08
156	8115	Manneville-centre	2	Sp	196	71	3	Lé	203	28	29	2.5	719600	5356600	17	32D08
156	8127	Manneville-centre	1	Sp	175	54	2	Lé	335	25	155	4	717750	5368000	17	32D08
156	8127	Manneville-centre	3	Sp	180	62	4	Lé	350	26	135	4	717750	5368000	17	32D08
200	2068	Manneville-nord	1	Sp	335	26	2	Lé	104	18	127	3.5	707939	5357310	17	32D08
200	2068	Manneville-nord	8	Sp	328	15	9	Lé	89	13	120	3.5	707939	5357310	17	32D08
200	2069	Manneville-nord	1	Sp	280	80	2	Lé	90	15	161	4	707900	5357429	17	32D08
200	2069	Manneville-nord	4	Sp	104	87	5	Lé	104	5	5	4	707900	5357429	17	32D08
200	2070	Manneville-nord	1	Sp	38	25	2	Lé	95	7	57	3	708125	5357346	17	32D08
200	2118	Manneville-nord	1	Sp	278	40	2	Lé	55	20	134	2	290987	5365500	18	32C05
200	2118	Manneville-nord	3	Sp	320	26	4	Lé	49	26	90	2	290987	5365500	18	32C05
200	2127	Manneville-nord	1	Sp	255	25	2	Lé	53	11	156	4.5	292034	5365298	18	32C05
200	2127	Manneville-nord	3	Sp	272	34	4	Lé	8	34	90	4.5	292034	5365298	18	32C05
200	2129	Manneville-nord	1	Sp	242	72	2	Lé	50	47	130	0	292296	5365393	18	32C05
200	4025	Manneville-nord	1	Sp	267	75	2	Lé	83	4	5	2	303200	5362780	18	32C05
200	4026	Manneville-nord	1	Sp	290	54	2	Lé	8	43	82	4.5	294400	5366700	18	32C05
200	4047	Manneville-nord	1	Sp	282	32	2	Lé	334	31	57	3	695100	5370780	17	32D08
200	4047	Manneville-nord	3	Sp	312	19	4	Lé	353	18	44	3	695100	5370780	17	32D08
200	4047	Manneville-nord	5	Sp	89	54	6	Lé	184	55	93	3	695100	5370780	17	32D08
200	4047	Manneville-nord	7	Sp	254	52	8	Lé	351	50	94	3	695100	5370780	17	32D08
200	4047	Manneville-nord	9	Sp	115	2	10	Lé	205	2	90	3	695100	5370780	17	32D08
200	4047	Manneville-nord	11	Sp	250	45	0		0	0	0	3	695100	5370780	17	32D08
200	4162	Manneville-nord	1	Sp	246	42	2	Lé	341	43	94	4.5	712400	5370100	17	32D08
200	4179	Manneville-nord	1	Sp	266	51	2	Lé	5	51	96	4	294025	5366100	18	32C05
200	4179	Manneville-nord	3	Sp	270	46	4	Lé	11	46	98	4	294025	5366100	18	32C05
200	4179	Manneville-nord	5	Sp	265	45	6	Lé	0	45	92	4	294025	5366100	18	32C05
200	4180	Manneville-nord	1	Sp	271	36	0		0	0	0	3.5	289825	5367025	18	32C05
200	4181	Manneville-nord	1	Sp	288	47	2	Lé	89	24	150	4.5	289350	5366900	18	32C05
200	4181	Manneville-nord	3	Sp	292	36	0		0	0	0	4.5	289350	5366900	18	32C05
200	4182	Manneville-nord	1	Sp	272	36	2	Lé	66	15	150	4.5	288975	5367000	18	32C05
200	4183	Manneville-nord	1	Sp	270	48	2	Lé	63	30	141	4	288375	5366850	18	32C05
200	4186	Manneville-nord	1	Sp	273	24	2	Lé	41	22	125	4	286850	5366250	18	32C05
200	6091	Manneville-nord	1	Sp	4	42	2	Lé	21	14	22	4	286674	5365911	18	32C05
200	6091	Manneville-nord	3	Sp	304	21	4	Lé	27	21	83	4	286674	5365911	18	32C05
200	6094	Manneville-nord	1	Sp	240	15	2	Lé	55	4	175	3	288225	5366690	18	32C05
200	6140	Manneville-nord	1	Sp	303	35	2	Lé	345	32	50	4	715696	5370241	17	32D08
200	6140	Manneville-nord	6	Sp	285	30	7	Lé	13	29	88	4	715696	5370241	17	32D08
200	6141	Manneville-nord	1	Sp	269	54	2	Lé	18	45	103	2	716886	5368942	17	32D08
200	6141	Manneville-nord	3	Sp	304	50	0		0	0	0	2	716886	5368942	17	32D08
200	6141	Manneville-nord	4	Sp	255	55	0		0	0	0	2	716886	5368942	17	32D08
200	6141	Manneville-nord	5	Sp	245	30	6	Lé	325	25	81	2	716886	5368942	17	32D08
200	6147	Manneville-nord	2	Sp	273	40	3	Lé	4	38	91	4	717716	5369053	17	32D08
200	6147	Manneville-nord	2	Sp	273	40	5	Lé	358	36	84	4	717716	5369053	17	32D08
200	6147	Manneville-nord	6	Sp	260	45	7	Lé	350	34	70	4	717716	5369053	17	32D08
200	6148	Manneville-nord	1	Sp	268	30	2	Lé	348	29	81	4.5	718452	5368784	17	32D08
200	6148	Manneville-nord	4	Sp	285	40	5	Lé	348	34	68	4.5	718452	5368784	17	32D08
200	6149	Manneville-nord	1	Sp	232	29	2	Lé	340	16	108	4	718590	5368623	17	32D08
200	6149	Manneville-nord	1	Sp	232	29	4	Lé	340	18	106	4	718590	5368623	17	32D08
200	6150	Manneville-nord	1	Sp	237	23	2	Lé	358	23	119	4.5	718927	5368462	17	31D08
200	6151	Manneville-nord	1	Sp	199	36	2	Lé	342	27	136	4.5	719187	5368324	17	32D08
200	6151	Manneville-nord	3	Sp	223	28	4	Lé	340	23	115	4.5	719187	5368324	17	32D08
200	6177	Manneville-nord	1	Sp	261	24	2	Lé	48	16	142	3.5	708010	5370265	17	32D08
200	6195	Manneville-nord	1	Sp	285	14	2	Lé	48	14	122	2	291075	5365578	18	32C05
200	8001	Manneville-nord	1	Sp	259	25	2	Lé	322	25	70	4	693175	5368750	17	32D08
200	8001	Manneville-nord	4	Sp	255	35	5	Lé	310	25	59	4	693175	5368750	17	32D08

Annexe 1 - Liste des données structurales

#ZD	Station	Nom_ZD	Id	Ty	Dir_S	Pen	Id	Ty	Dir_L	PI	AC	IDEF	UTME	UTMN	ZONE	CARTE
200	8004	Manneville-nord	2	Sp	225	35	3	Lé	296	24	73	4	693454	5365734	17	32D08
200	8004	Manneville-nord	5	Sp	208	15	6	Lé	300	11	91	4	693454	5365734	17	32D08
200	8005	Manneville-nord	1	Sp	175	15	2	Lé	305	8	129	3.5	693538	5365846	17	32D08
200	8006	Manneville-nord	1	Sp	242	6	2	Lé	312	6	80	3	693327	5365882	17	32D08
200	8007	Manneville-nord	1	Sp	212	16	2	Lé	288	10	87	4	692916	5366547	17	32D08
200	8007	Manneville-nord	3	Sp	220	21	4	Lé	309	22	89	4	692916	5366547	17	32D08
200	8009	Manneville-nord	1	Sp	205	23	2	Lé	298	12	104	4	692960	5366633	17	32D08
200	8009	Manneville-nord	3	Sp	248	8	3	Lé	296	8	48	4	692960	5366633	17	32D08
200	8010	Manneville-nord	1	Sp	265	32	2	Lé	285	14	24	4	693032	5366774	17	32D08
200	8011	Manneville-nord	1	Sp	242	18	2	Lé	300	18	60	3	693049	5366807	17	32D08
200	8012	Manneville-nord	1	Sp	230	20	2	Lé	297	20	69	3.5	693092	5366894	17	32D08
200	8013	Manneville-nord	1	Sp	180	11	2	Lé	310	11	130	2.5	693186	5366954	17	32D08
200	8013	Manneville-nord	4	Sp	228	12	5	Lé	294	11	66	2.5	693186	5366954	17	32D08
200	8014	Manneville-nord	2	Sp	210	20	3	Lé	294	19	86	2.5	693159	5367017	17	32D08
200	8015	Manneville-nord	1	Sp	220	12	2	Lé	298	10	79	2	693311	5366930	17	32D08
200	10096	Manneville-nord	3	Sp	230	35	0		0	0	0	4	693300	5365775	17	32D08
200	10096	Manneville-nord	4	Sp	240	30	5	Lé	292	23	0	4	693300	5365775	17	32D08
202	4142	Destor-Porcupine	1	Sp	75	84	2	Lc	252	25	0	3	625050	5375550	17	32D11
202	4142	Destor-Porcupine	1	Sp	75	84	3	Lc	252	34	147	3	625050	5375550	17	32D11
202	4142	Destor-Porcupine	4	Sp	94	56	5	Lé	226	47	117	3	625050	5375550	17	32D11
202	4142	Destor-Porcupine	6	Sp	94	51	7	Lé	193	49	99	3	625050	5375550	17	32D11
202	4142	Destor-Porcupine	8	Sp	59	89	9	Lé	236	38	142	3	625050	5375550	17	32D11
202	4142	Destor-Porcupine	11	Sp	233	77	0		0	0	0	3	625050	5375550	17	32D11
202	4142	Destor-Porcupine	12	Sp	54	86	13	Lé	56	30	30	3	625050	5375550	17	32D11
202	4143	Destor-Porcupine	1	Sp	243	82	2	Lé	60	33	147	3.5	615475	5375975	17	32D11
202	4151	Destor-Porcupine	1	Sp	91	89	2	Lc	93	4	0	3	631425	5373725	17	32D11
202	4151	Destor-Porcupine	1	Sp	91	89	3	Lé	91	41	41	3	631425	5373725	17	32D11
203	2097	Bolduc	1	Sp	309	79	2	Lé	29	76	87	2	310760	5380618	18	32C12
203	2097	Bolduc	5	Sp	286	69	6	Lé	2	68	85	2	310760	5380618	18	32C12
203	2098	Bolduc	1	Sp	312	52	2	Lé	339	25	36	3	310705	5380892	18	32C12
203	2098	Bolduc	3	Sp	323	63	4	Lé	32	61	80	3	310705	5380892	18	32C12
210	4147	Central-Duparquet	1	Sp	265	63	2	Lé	51	42	128	3	633157	5373617	17	32D11
210	4147	Central-Duparquet	3	Sp	260	58	4	Lé	52	41	132	3	633157	5373617	17	32D11
210	4147	Central-Duparquet	5	Sp	256	75	6	Ls	76	0	0	3	633157	5373617	17	32D11
210	4147	Central-Duparquet	7	Sp	265	63	8	Lé	70	27	150	3	633157	5373617	17	32D11
211	2023	St-Mathieu	1	Sp	272	53	0		0	0	0	4	280183	5371314	18	32C05
211	2023	St-Mathieu	2	Sp	277	62	3	Lé	333	48	68	4	280183	5371314	18	32C05
211	2023	St-Mathieu	4	Sp	250	72	5	Lé	262	33	35	4	280183	5371314	18	32C05
211	6137	St-Mathieu	1	Sp	282	55	2	Lé	42	48	108	5	715569	5371336	17	32D08
211	6138	St-Mathieu	1	Sp	282	50	2	Lé	45	38	114	4	715759	5371298	17	32D08
211	6146	St-Mathieu	1	Sp	292	43	2	Lé	18	43	90	3	714556	5371230	17	32D08
212	6132	Figury	1	Sp	264	51	0		0	0	0	3	714263	5373961	17	32D08
212	6133	Figury	1	Sp	265	60	2	Lé	5	64	94	0	713873	5373752	17	32D08
212	6134	Figury	1	Sp	251	62	2	Lé	351	60	94	4.5	713469	5373954	17	32D08
212	6135	Figury	1	Sp	262	78	2	Lé	8	71	95	3	713596	5373617	17	32D08
213	2056	Uniacke	1	Sp	143	86	2	Lé	304	56	122	4	318384	5360174	18	32C06
213	4165	Uniacke	1	Sp	140	89	2	Lé	320	20	160	3.5	321250	5359100	18	32C06
213	6001	Uniacke	1	Sp	324	80	4	Lé	330	20	21	4	321721	5358531	18	32C06
213	6002	Uniacke	1	Sp	120	78	2	Lé	300	10	170	4	323790	5357954	18	32C06
213	6062	Uniacke	1	Sp	97	82	2	Lé	265	26	152	4.5	329909	5353231	18	32C06
213	6063	Uniacke	1	Sp	137	83	2	Lé	315	16	164	4	321508	5359936	18	32C06
213	6064	Uniacke	1	Sp	156	61	2	Lé	307	52	123	4	323608	5357337	18	32C06
213	6064	Uniacke	3	Sp	155	62	4	Lé	310	35	138	4	323608	5357337	18	32C06
213	6064	Uniacke	7	Sp	147	88	0		0	0	0	4	323608	5357337	18	32C06
213	6064	Uniacke	8	Sp	327	85	0		0	0	0	4	323608	5357337	18	32C06
214	4146	Donchester	1	Sp	285	85	2	Lé	285	5	5	3	631150	5374075	17	32D11
214	4152	Donchester	1	Sp	279	77	0		0	0	0	3	631425	5374050	17	32D11
216	4242	Lyndhurst	1	Sp	252	90	0		0	0	0	3.5	659954	5381942	17	32D10
216	4249	Lyndhurst	1	Sp	114	72	0		0	0	0	3	647941	5380678	17	32D10
216	4250	Lyndhurst	1	Sp	345	73	2	Lé	75	73	90	3.5	645141	5379928	17	32D11
216	4252	Lyndhurst	1	Sp	52	84	0		0	0	0	3.5	636796	5378414	17	32D11
216	4252	Lyndhurst	2	Sp	82	75	0		0	0	0	3.5	636796	5378414	17	32D11
216	4253	Lyndhurst	1	Sp	89	80	0		0	0	0	3	636783	5378536	17	32D11
216	4253	Lyndhurst	2	Sp	80	85	0		0	0	0	3	636783	5378536	17	32D11
216	4254	Lyndhurst	1	Sp	275	72	2	Lé	350	69	83	3.5	634471	5378468	17	32D11
216	4254	Lyndhurst	3	Sp	261	87	4	Lé	307	80	82	3.5	634471	5378468	17	32D11
216	4255	Lyndhurst	1	Sp	236	80	0		0	0	0	2.5	633984	5378576	17	32D11
216	4255	Lyndhurst	1	Sp	130	72	0		0	0	0	2.5	633984	5378576	17	32D11
216	7015	Lyndhurst	1	Sp	265	70	0		0	0	0	3	634673	5378712	17	32D11
216	12114	Lyndhurst	1	Sp	270	80	2	Lé	303	72	75	4.5	629999	5378529	17	32D11
217	3210	Radisson	1	Sp	80	70	2	Lé	170	70	90	3	645850	5371100	17	32D06
221	1160	Dagenais	1	Sp	190	77	0		0	0	0	3	639425	5391400	17	32D11
221	1160	Dagenais	2	Sp	197	60	3	Lé	7	17	160	3	639425	5391400	17	32D11
221	1161	Dagenais	1	Sp	205	70	0		0	0	0	4	639325	5391425	17	32D11
221	1161	Dagenais	2	Sp	22	85	3	Lé	43	76	77	4	639325	5391425	17	32D11
221	1161	Dagenais	4	Sp	290	80	5	Lé	93	59	120	4	639325	5391425	17	32D11
221	1173	Dagenais	1	Sp	352	81	0		0	0	0	2	639450	5391725	17	32D11
221	1174	Dagenais	1	Sp	191	79	0		0	0	0	3.5	639350	5391850	17	32D11
221	1174	Dagenais	2	Sp	15	90	3	Lé	195	8	172	3.5	639350	5391850	17	32D11
221	1175	Dagenais	1	Sp	32	87	0		0	0	0	4.5	639150	5391800	17	32D11
221	1175	Dagenais	2	Sp	200	84	0		0	0	0	4.5	639150	5391800	17	32D11

Annexe 1 - Liste des données structurales

#ZD	Station	Nom_ZD	Id	Ty	Dir_S	Pen	Id	Ty	Dir_L	PI	AC	IDEF	UTME	UTMN	ZONE	CARTE
221	1175	Dagenais	3	Sp	203	76	4	Lé	18	9	170	4.5	639150	5391800	17	32D11
221	1175	Dagenais	5	Sp	205	66	6	Lé	25	3	177	4.5	639150	5391800	17	32D11
221	1175	Dagenais	7	Sp	182	62	8	Lé	270	62	90	4.5	639150	5391800	17	32D11
221	1175	Dagenais	9	Sp	208	75	10	Lé	279	74	85	4.5	639150	5391800	17	32D11
221	1175	Dagenais	11	Sp	198	74	12	Lé	270	73	85	4.5	639150	5391800	17	32D11
221	1176	Dagenais	1	Sp	188	73	0		0	0	0	4.5	640000	5393725	17	32D11
221	1176	Dagenais	2	Sp	164	80	3	Lé	343	33	147	4.5	640000	5393725	17	32D11
221	1176	Dagenais	3	Sp	180	80	4	Lé	354	30	150	4.5	640000	5393725	17	32D11
221	10015	Dagenais	1	Sp	196	64	2	Lé	198	5	5	4	639450	5391725	17	32D11
221	10015	Dagenais	3	Sp	198	65	4	Lé	200	5	5	4	639450	5391725	17	32D11
222	1044	La Reine	1	Sp	222	64	0		0	0	0	4.5	614925	5401550	17	32D14
222	1045	La Reine	1	Sp	299	47	2	Lé	350	50	66	3	620475	5405200	17	32D14
222	1186	La Reine	1	Sp	150	88	2	Lé	330	27	153	4	622925	5400800	17	32D11
222	1186	La Reine	3	Sp	165	85	0		0	0	0	4	622925	5400800	17	32D11
222	1186	La Reine	4	Sp	132	86	5	Lé	306	51	128	4	622925	5400800	17	32D11
222	1186	La Reine	6	F	227	22	7	Lé	344	15	116	4	622925	5400800	17	32D11
222	1186	La Reine	8	Sp	330	90	9	Lé	330	50	50	4	622925	5400800	17	32D11
222	1186	La Reine	10	Sp	144	75	11	Lé	304	52	125	4	622925	5400800	17	32D11
222	1189	La Reine	1	Sp	287	65	0		0	0	0	4.5	612250	5400450	17	32D11
223	1043	Duvan	1	Sp	315	86	0		0	0	0	3	620375	5410000	17	32D14
223	1046	Duvan	1	Sp	174	68	2	Lé	338	33	144	4	627000	5405600	17	32D14
223	1046	Duvan	3	Sp	184	56	4	Lé	346	25	150	4	627000	5405600	17	32D14
223	1047	Duvan	1	Sp	163	70	2	Lé	335	40	141	3.5	627850	5406350	17	32D14
223	1047	Duvan	3	Sp	166	55	4	Lé	337	18	160	3.5	627850	5406350	17	32D14
223	1047	Duvan	5	Sp	166	55	6	Lé	334	16	160	3.5	627850	5406350	17	32D14
223	1083	Duvan	1	Sp	298	25	2	Lé	336	15	40	4	614350	5416500	17	32D14
223	1083	Duvan	3	Sp	298	25	4	Lé	17	25	80	4	614350	5416500	17	32D14
223	1116	Duvan	1	Sp	185	85	2	Lé	5	40	139	4	616492	5416584	17	32D14
223	1116	Duvan	3	Sp	178	68	4	Lé	343	32	145	4	616492	5416584	17	32D14
223	1117	Duvan	1	Sp	144	74	2	Lé	325	28	162	4	615914	5416407	17	32D14
223	1117	Duvan	0		0	0	3	Lé	3	55	0	4	615914	5416407	17	32D14
223	1117	Duvan	4	Sp	192	79	5	Lé	359	49	130	4	615914	5416407	17	32D14
223	1118	Duvan	1	Sp	158	85	2	Lé	342	33	147	5	615209	5416192	17	32D14
223	1118	Duvan	4	Sp	152	84	5	Lé	329	25	155	5	615209	5416192	17	32D14
223	1118	Duvan	6	Sp	160	90	7	Lé	340	45	135	5	615209	5416192	17	32D14
223	1119	Duvan	2	Sp	308	87	3	Lé	328	40	44	5	615209	5416192	17	32D14
223	1119	Duvan	4	Sp	317	80	5	Lé	320	15	15	5	615209	5416192	17	32D14
223	1120	Duvan	2	Sp	327	81	3	Lé	329	4	4	5	615209	5416192	17	32D14
223	1121	Duvan	1	Sp	148	80	2	Lé	324	34	145	5	615209	5416192	17	32D14
223	1121	Duvan	3	Sp	145	80	4	Lé	322	15	165	5	615209	5416192	17	32D14
223	1122	Duvan	1	Sp	318	90	2	Lé	318	45	45	4.5	615278	5416470	17	32D14
223	1122	Duvan	3	Sp	311	72	0		0	0	0	4.5	615278	5416470	17	32D14
223	1122	Duvan	4	Sp	336	81	5	Lé	328	5	5	4.5	615278	5416470	17	32D14
223	1122	Duvan	6	Sp	292	76	0		0	0	0	4.5	615278	5416470	17	32D14
223	1122	Duvan	7	Sp	141	80	8	Lé	313	21	6	4.5	615278	5416470	17	32D14
223	1122	Duvan	10	Sp	309	78	11	Lé	319	39	40	4.5	615278	5416470	17	32D14
223	1123	Duvan	0		0	0	1	Lé	315	38	0	3.5	617800	5413375	17	32D14
223	1123	Duvan	2	Sp	185	54	3	Lé	330	38	130	3.5	617800	5413375	17	32D14
223	1123	Duvan	4	Sp	151	86	5	Lé	328	33	147	3.5	617800	5413375	17	32D14
223	1125	Duvan	1	Sp	160	73	2	Lé	155	28	28	4	616576	5416154	17	32D14
223	1125	Duvan	3	Sp	175	69	4	Lé	338	37	140	4	616576	5416154	17	32D14
223	1126	Duvan	1	Sp	185	78	2	Lé	350	35	142	4	616514	5416193	17	32D14
223	1126	Duvan	3	Sp	335	79	4	Lé	348	49	50	4	616514	5416193	17	32D14
223	1126	Duvan	5	Sp	175	73	6	Lé	336	47	130	4	616514	5416193	17	32D14
223	1182	Duvan	1	Sp	135	77	2	Lé	321	11	168	3.5	619850	5410325	17	32D14
223	1182	Duvan	3	Sp	132	70	4	Lé	300	30	148	3.5	619850	5410325	17	32D14
223	1182	Duvan	5	Sp	134	77	6	Lé	309	20	160	3.5	619850	5410325	17	32D14
224	1084	Desmêloïze	1	Sp	140	74	2	Lé	305	10	16	3.5	612200	5423100	17	32D14
224	1084	Desmêloïze	3	Sp	138	60	4	Lé	277	49	120	3.5	612200	5423100	17	32D14
224	1085	Desmêloïze	1	Sp	146	82	0		0	0	0	3.5	611500	5422875	17	32D14
224	1085	Desmêloïze	2	Sp	145	60	3	Lé	315	17	160	3.5	611500	5422875	17	32D14
224	1204	Desmêloïze	1	Sp	126	80	2	Lé	290	64	115	3	612900	5423100	17	32D14
224	1204	Desmêloïze	3	Sp	125	80	4	Lé	288	59	120	3	612900	5423100	17	32D14
224	1205	Desmêloïze	1	Sp	126	80	2	Lé	328	56	122	4	613050	5423600	17	32D14
224	1205	Desmêloïze	3	Sp	282	65	4	Lé	349	63	80	4	613050	5423600	17	32D14
225	1036	Macamic	1	Sp	105	76	0		0	0	0	3	609950	5426200	17	32D14
225	1037	Macamic	1	Sp	291	82	0		0	0	0	2.5	612400	5427150	17	32D14
225	1037	Macamic	2	Sp	295	84	3	Lé	295	2	84	2.5	612400	5427150	17	32D14
225	1039	Macamic	1	Sp	306	84	0		0	0	0	3	620450	5420075	17	32D01
225	1039	Macamic	2	Sp	302	83	3	Lé	115	18	161	3	620450	5420075	17	32D01
225	1039	Macamic	5	Sp	320	87	6	Lé	320	2	2	3	620450	5420075	17	32D01
225	1086	Macamic	1	Sp	282	84	2	Lé	282	3	3	3.5	616800	5423150	17	32D14
225	1086	Macamic	4	Sp	299	76	0		0	0	0	3.5	616800	5423150	17	32D14
225	1086	Macamic	6	Sp	299	76	7	Lé	300	3	3	3.5	616800	5423150	17	32D14
225	1158	Macamic	1	Sp	312	65	0		0	0	0	3	658150	5395000	17	32D10
225	1158	Macamic	2	Sp	263	21	0		0	0	0	3	658150	5395000	17	32D10
225	1158	Macamic	3	Sp	284	44	4	Lé	44	39	113	3	658150	5395000	17	32D10
225	1158	Macamic	5	Sp	270	70	0		0	0	0	3	658150	5395000	17	32D10
225	1158	Macamic	6	Sp	296	65	7	Lé	14	65	85	3	658150	5395000	17	32D10
225	1158	Macamic	8	Sp	285	40	9	Lé	93	10	165	3	658150	5395000	17	32D10
225	1177	Macamic	2	Sp	291	55	0		0	0	0	4	612350	5427575	17	32D14

Annexe 1 - Liste des données structurales

#ZD	Station	Nom_ZD	Id	Ty	Dir_S	Pen	Id	Ty	Dir_L	PI	AC	IDEF	UTME	UTMN	ZONE	CARTE
225	1177	Macamic	3	Sp	295	55	4	Lé	86	22	143	4	612350	5427575	17	32D14
225	1177	Macamic	6	Sp	292	57	7	Lé	40	56	100	4	612350	5427575	17	32D14
225	1178	Macamic	1	Sp	292	75	0		0	0	0	4.5	612350	5427750	17	32D14
225	1178	Macamic	2	Sp	293	59	0		0	0	0	4.5	612350	5427750	17	32D14
225	1178	Macamic	3	Sp	118	89	4	Lé	267	62	89	4.5	612350	5427750	17	32D14
225	1178	Macamic	5	Sp	295	58	6	Lé	78	44	125	4.5	612350	5427750	17	32D14
225	1178	Macamic	7	Sp	120	90	0		0	0	0	4.5	612350	5427750	17	32D14
225	1179	Macamic	1	Sp	299	81	2	Lé	110	10	168	3.5	618950	5420850	17	32D14
225	1179	Macamic	3	Sp	115	90	4	Lé	115	15	15	3.5	618950	5420850	17	32D14
225	1179	Macamic	5	Sp	300	82	6	Lé	120	1	179	3.5	618950	5420850	17	32D14
225	1180	Macamic	1	Sp	312	86	2	Lé	132	5	175	4.5	618925	5420750	17	32D14
225	1180	Macamic	3	Sp	132	90	4	Lé	312	10	170	4.5	618925	5420750	17	32D14
225	1181	Macamic	1	Sp	291	74	0		0	0	0	3	641900	5404300	17	32D14
225	1181	Macamic	2	Sp	139	54	3	Lé	293	31	140	3	641900	5404300	17	32D14
225	1208	Macamic	1	Sp	287	72	2	Lé	300	37	39	4	624025	5416900	17	32D14
225	1208	Macamic	3	Sp	295	77	4	Lé	305	36	37	4	624025	5416900	17	32D14
225	1208	Macamic	5	Sp	294	72	6	Lé	309	38	40	4	624025	5416900	17	32D14
225	1209	Macamic	1	Sp	113	84	2	Lé	290	10	10	4	624000	5416175	17	32D14
225	1209	Macamic	3	Sp	304	75	4	Lé	127	2	3	4	624000	5416175	17	32D14
225	1209	Macamic	5	Sp	350	60	0		0	0	0	4	624000	5416175	17	32D14
225	1209	Macamic	8	Sp	299	85	9	Lé	299	5	5	4	624000	5416175	17	32D14
225	1210	Macamic	1	Sp	282	83	2	Lé	284	44	44	4	621200	5418025	17	32D14
225	1210	Macamic	3	Sp	106	87	4	Lé	284	35	35	4	621200	5418025	17	32D14
225	1211	Macamic	1	Sp	286	85	0		0	0	0	4	622200	5418350	17	32D14
225	1211	Macamic	3	Sp	285	75	4	Lé	312	43	45	4	622200	5418350	17	32D14
225	1212	Macamic	1	Sp	295	78	2	Lé	108	16	18	2.5	612350	5427750	17	32D14
225	1213	Macamic	1	Sp	294	70	2	Lé	105	40	41	3.5	612350	5427750	17	32D14
225	1213	Macamic	3	Sp	296	63	4	Lé	83	47	125	3.5	612350	5427750	17	32D14
225	1213	Macamic	5	Sp	120	90	6	Lé	120	30	30	3.5	612350	5427750	17	32D14
225	1214	Macamic	1	Sp	291	65	2	Lé	293	22	22	4	612350	5427750	17	32D14
225	1214	Macamic	3	Sp	292	75	4	Lé	107	19	160	4	612350	5427750	17	32D14
225	1215	Macamic	1	Sp	294	88	2	Lé	290	5	5	4	612350	5427750	17	32D14
225	1215	Macamic	3	Sp	106	90	4	Lé	106	20	20	4	612350	5427750	17	32D14
225	1216	Macamic	1	Sp	120	80	2	Lé	117	55	55	3.5	612350	5427750	17	32D14
225	1216	Macamic	3	Sp	297	77	4	Lé	103	52	126	3.5	612350	5427750	17	32D14
225	1216	Macamic	5	Sp	302	75	6	Lé	105	54	124	3.5	612350	5427750	17	32D14
225	1217	Macamic	1	Sp	288	84	2	Lé	93	52	126	3.5	612350	5427750	17	32D14
225	1217	Macamic	3	Sp	290	81	4	Lé	100	56	126	3.5	612350	5427750	17	32D14
225	1217	Macamic	5	Sp	283	80	6	Lé	15	80	90	3.5	612350	5427750	17	32D14
225	1217	Macamic	7	Sp	123	80	8	Lé	118	60	60	3.5	612350	5427750	17	32D14
225	1217	Macamic	9	Sp	102	90	10	Lé	282	85	95	3.5	612350	5427750	17	32D14
225	1217	Macamic	11	Sp	290	81	12	Lé	92	64	115	3.5	612350	5427750	17	32D14
225	1217	Macamic	13	Sp	283	80	14	Lé	83	63	115	3.5	612350	5427750	17	32D14
225	1218	Macamic	1	Sp	114	87	2	Lé	111	16	18	3	612200	5427550	17	32D14
225	1218	Macamic	4	Sp	295	75	0		0	0	0	3	612200	5427550	17	32D14
225	1218	Macamic	5	Sp	294	75	6	Lé	294	1	1	3	612200	5427550	17	32D14
225	2038	Macamic	1	Sp	287	80	2	Lé	104	45	134	4.5	612350	5427750	17	32D14
225	2038	Macamic	3	Sp	291	80	4	Lé	109	40	140	4.5	612350	5427750	17	32D14
225	2038	Macamic	5	Sp	288	83	6	Lé	107	50	130	4.5	612350	5427750	17	32D14
225	2038	Macamic	7	Sp	290	74	8	Lé	95	60	119	4.5	612350	5427750	17	32D14
225	2038	Macamic	9	Sp	284	80	10	Lé	36	83	93	4.5	612350	5427750	17	32D14
225	2039	Macamic	1	Sp	284	62	2	Lé	102	62	116	3.5	612350	5427750	17	32D14
225	4130	Macamic	1	Sp	290	89	2	Lé	289	6	6	3	661000	5391825	17	32D10
225	4130	Macamic	3	Sp	284	89	4	Lé	280	23	24	3	661000	5391825	17	32D10
225	4131	Macamic	1	Sp	133	65	2	Lé	300	24	0	2	662100	5391900	17	32D10
225	4131	Macamic	3	Sp	118	68	0		0	0	0	2	662100	5391900	17	32D10
225	4131	Macamic	4	ZC	278	85	5	Lé	275	43	43	2	662100	5391900	17	32D10
225	4232	Macamic	1	Sp	105	84	0		0	0	0	4.5	631121	5410684	17	32D14
225	4232	Macamic	2	Sp	78	85	0		0	0	0	4.5	631121	5410684	17	32D14
225	4232	Macamic	3	Sp	73	84	0		0	0	0	4.5	631121	5410684	17	32D14
225	4233	Macamic	1	Sp	290	71	0		0	0	0	4	643040	5404736	17	32D14
225	4233	Macamic	2	Sp	302	76	0		0	0	0	4	643040	5404736	17	32D14
225	4234	Macamic	1	Sp	106	82	2	Lé	288	23	157	5	645263	5403052	17	32D14
225	4235	Macamic	1	Sp	313	71	2	Lé	133	5	175	5	646300	5402599	17	32D14
225	4236	Macamic	1	Sp	283	67	2	Lé	106	24	156	5	645522	5402858	17	32D14
225	4237	Macamic	1	Sp	291	77	2	Lé	110	5	175	4.5	648135	5401271	17	32D10
225	4237	Macamic	3	Sp	284	74	4	Lé	110	13	167	4.5	648135	5401271	17	32D10
225	4238	Macamic	1	Sp	290	68	2	Lé	100	30	148	4.5	652301	5398065	17	32D10
225	4238	Macamic	3	Sp	306	81	4	Lé	125	11	169	4.5	652301	5398065	17	32D10
225	4238	Macamic	5	Sp	295	74	6	Lé	104	40	139	4.5	652301	5398065	17	32D10
225	4239	Macamic	1	Sp	122	90	0		0	0	0	4.5	656943	5394967	17	32D10
225	4240	Macamic	1	Sp	307	76	0		0	0	0	4.5	669820	5385018	17	32D10
225	4240	Macamic	2	Sp	297	74	0		0	0	0	4.5	669820	5385018	17	32D10
225	7001	Macamic	1	Sp	300	80	2	Lé	120	7	172	4	646475	5402500	17	32D14
225	7003	Macamic	1	Sp	290	80	0		0	0	0	4	643118	5405474	17	32D14
225	7016	Macamic	1	Sp	105	84	0		0	0	0	4.5	656641	5395129	17	32D10
225	7019	Macamic	1	Sp	125	85	2	Lé	125	5	5	4	669750	5385687	17	32D10
225	7020	Macamic	1	Sp	105	80	2	Lé	180	78	87	4	670677	5384044	17	32D10
226	1145	Landrienne	2	Sp	78	87	3	Lé	257	25	155	5	692375	5376150	17	32D09
226	1145	Landrienne	5	Sp	79	74	0		0	0	0	5	692375	5376150	17	32D09
226	1145	Landrienne	7	Sp	92	90	8	Lé	272	15	165	5	692375	5376150	17	32D09

Annexe 1 - Liste des données structurales

#ZD	Station	Nom_ZD	Id	Ty	Dir_S	Pen	Id	Ty	Dir_L	PI	AC	IDEF	UTME	UTMN	ZONE	CARTE
226	1145	Landrienne	9	Sp	78	85	9	Lé	258	5	175	5	692375	5376150	17	32D09
226	1145	Landrienne	11	Sp	84	85	12	Lé	263	10	170	5	692375	5376150	17	32D09
226	1145	Landrienne	13	Sp	88	82	14	Lé	89	5	5	5	692375	5376150	17	32D09
226	2019	Landrienne	1	Sp	86	90	0		0	0	0	4.5	283558	5377808	18	32C12
226	2019	Landrienne	2	Sp	270	70	3	Lé	87	9	170	4.5	283558	5377808	18	32C12
226	2020	Landrienne	1	Sp	267	85	2	Lé	80	60	120	4.5	283767	5377808	18	32C01
226	2020	Landrienne	3	Sp	273	76	4	Lé	79	43	135	4.5	283767	5377808	18	32C01
226	4030	Landrienne	3	Sp	290	83	4	Lé	105	1	1	4	303500	5376940	18	32C12
226	4030	Landrienne	5	Sp	296	85	0		0	0	0	4	303500	5376940	18	32C12
226	4030	Landrienne	6	Sp	291	76	7	Lé	111	1	1	4	303500	5376940	18	32C12
228	4158	Croteau	1	Sp	264	88	2	Lé	1	88	90	3	711750	5381300	17	32D09
228	4159	Croteau	1	Sp	99	74	2	Lé	270	29	150	4	711850	5380800	17	32D09
228	4160	Croteau	1	Sp	272	88	2	Lc	43	89	0	3	711725	5380550	17	32D09
228	4160	Croteau	1	Sp	272	88	3	Lé	274	13	13	3	711725	5380550	17	32D09
228	4224	Croteau	1	Sp	273	52	2	Lé	21	52	90	4	718900	5379500	17	32D08
229	4226		1	Sp	267	74	2	Lé	12	74	90	4	718000	5381100	17	32D09
230	1147	Paramount	1	Sp	86	74	0		0	0	0	3	720225	5383875	17	32D09
230	2018	Paramount	1	Sp	75	88	0		0	0	0	3	282436	5382662	18	32C12
230	2018	Paramount	2	Sp	90	85	3	Lé	169	85	90	3	282436	5382662	18	32C12
231	1106	St-Viateur	1	Sp	25	74	2	Lé	183	55	122	4	712000	5385275	17	32D09
231	1106	St-Viateur	3	Sp	40	80	4	Lé	124	80	90	4	712000	5385275	17	32D09
231	1207	St-Viateur	1	Sp	120	70	2	Lé	160	66	72	4	704250	5384775	17	32D09
231	1207	St-Viateur	3	Sp	120	70	4	Lé	156	58	65	4	704250	5384775	17	32D09
231	7021	St-Viateur	1	Sp	90	70	2	Lé	205	50	106	4	704250	5384775	17	32D12
231	8132	St-Viateur	1	Sp	252	49	2	Lé	245	6	170	4	704650	5384725	17	32D09
231	8133	St-Viateur	1	Sp	92	52	2	Lé	203	46	104	4	707775	5384400	17	32D09
231	8133	St-Viateur	3	Sp	80	56	4	Lé	226	35	130	4	707775	5384400	17	32D09
231	8134	St-Viateur	1	Sp	77	82	0	Lé	218	76	92	4	710000	5383875	17	32D09
232	1109	Jonpol	1	Sp	300	75	2	Lé	112	56	123	5	717325	5386425	17	32D09
232	1109	Jonpol	3	Sp	301	77	4	Lé	104	76	103	5	717325	5386425	17	32D09
232	1109	Jonpol	5	Sp	300	74	6	Lé	86	63	112	5	717325	5386425	17	32D09
232	1109	Jonpol	7	Sp	294	75	8	Lé	85	61	115	5	717325	5386425	17	32D09
232	1110	Jonpol	1	Sp	287	79	0		0	0	0	4	716650	5386000	17	32D09
232	1111	Jonpol	1	Sp	294	75	2	Lé	107	21	157	4	716425	5387250	17	32D09
232	1111	Jonpol	3	Sp	278	68	4	Lé	97	2	178	4	716425	5387250	17	32D09
232	1111	Jonpol	5	Sp	288	65	6	Lé	93	20	158	4	716425	5387250	17	32D09
232	4036	Jonpol	1	Sp	292	72	2	Lé	105	9	169	3.5	716350	5387200	17	32D09
232	4036	Jonpol	3	Sp	282	85	4	Lé	102	22	158	3.5	716350	5387200	17	32D09
232	4036	Jonpol	5	Sp	286	77	6	Lé	90	25	150	3.5	716350	5387200	17	32D09
232	4036	Jonpol	7	Sp	282	74	8	Lé	81	52	125	3.5	716350	5387200	17	32D09
232	8137	Jonpol	1	Sp	284	89	2	Lé	318	88	88	4	716650	5386000	17	32D09
232	8138	Jonpol	1	Sp	290	87	2	Lé	104	65	115	4	717050	5386500	17	32D09
232	8138	Jonpol	3	Sp	296	73	4	Lé	77	64	110	4	717050	5386500	17	32D09
233	1132	Dalquier	1	Sp	99	84	2	Lé	259	60	117	4	697175	5398950	17	32D09
233	1133	Dalquier	1	Sp	287	71	2	Lé	6	69	86	4	700100	5399150	17	32D09
233	1133	Dalquier	5	Sp	287	71	6	Lé	11	71	88	4	700100	5399150	17	32D09
233	1134	Dalquier	1	Sp	270	66	0		0	0	0	4	701575	5397375	17	32D09
234	2102	Fontana	1	Sp	300	65	2	Lé	312	12	17	3	285086	5392036	18	32C12
234	10017	Fontana	2	S	100	80	3	Lé	100	4	0	3.5	285086	5392036	18	32C12
235	1013	Macamic-nord	1	Sp	283	64	0		0	0	0	4	643800	5406050	17	32D14
235	1013	Macamic-nord	3	Sp	283	64	4	Lé	35	62	100	4	643800	5406050	17	32D14
235	1149	Macamic-nord	1	Sp	280	70	2	Lé	310	37	47	3	660450	5400675	17	32D10
235	1206	Macamic-nord	1	Sp	311	85	2	Lé	312	14	14	4	659025	5401600	17	32D10
235	1206	Macamic-nord	3	Sp	305	86	4	Lé	309	44	44	4	659025	5401600	17	32D10
235	7004	Macamic-nord	1	Sp	300	80	0		0	0	0	4	642986	5406077	17	32D14
236	1150	Macamic-nord	1	Sp	224	82	0		0	0	0	5	663975	5401650	17	32D10
236	1150	Macamic-nord	2	Sp	226	66	3	Lé	46	6	6	5	663975	5401650	17	32D10
236	1150	Macamic-nord	4	Sp	232	60	5	Lé	260	22	35	5	663975	5401650	17	32D10
236	1150	Macamic-nord	6	Sp	222	75	0		0	0	0	5	663975	5401650	17	32D10
236	1150	Macamic-nord	7	Sp	273	70	8	Lé	273	2	2	5	663975	5401650	17	32D10
236	1151	Macamic-nord	1	Sp	215	80	0		0	0	0	5	664400	5401800	17	32D10
236	1151	Macamic-nord	2	Sp	228	85	3	Lé	237	60	60	5	664400	5401800	17	32D10
236	1156	Macamic-nord	1	Sp	255	74	2	Lé	283	68	69	4	662725	5400250	17	32D10
236	1156	Macamic-nord	3	Sp	257	80	4	Lé	277	63	65	4	662725	5400250	17	32D10
236	1156	Macamic-nord	5	Sp	65	90	6	Lé	245	50	130	4	662725	5400250	17	32D10
237	1065	Authier	1	Sp	101	90	0		0	0	0	4	651350	5411000	17	32D15
237	1065	Authier	2	Sp	95	88	3	Lé	96	18	18	4	651350	5411000	17	32D15
237	1075	Authier	1	Sp	280	70	0		0	0	0	2.5	664091	5408147	17	32D15
237	1075	Authier	2	Sp	285	87	0		0	0	0	2.5	664091	5408147	17	32D15
237	1079	Authier	1	Sp	302	73	0		0	0	0	1.5	670356	5405206	17	32D15
237	4135	Authier	1	Sp	285	42	2	Lé	26	39	98	4.5	670400	5405150	17	32D15
237	4135	Authier	3	Sp	295	49	4	Lé	46	40	106	4.5	670400	5405150	17	32D15
237	4136	Authier	1	Sp	286	76	2	Lé	19	64	92	3.4	669250	5406550	17	32D15
238	2045	Duvay	1	Sp	125	85	0		0	0	0	2	282372	5397199	18	32C12
238	4035	Duvay	1	Sp	277	72	2	Lé	302	72	0	4	282050	5397320	18	32C12
238	10016	Duvay	1	Sp	333	16	0		0	0	0	3	287050	5394750	18	32C12
300	1067	Chicobi-sud	1	Sp	280	90	0		0	0	0	4	650325	5413150	17	32D15
300	1067	Chicobi-sud	2	Sp	280	89	3	Lé	97	70	110	4	650325	5413150	17	32D15
300	1095	Chicobi-sud	1	Sp	283	75	0		0	0	0	3.5	705050	5411650	17	32D16
300	1095	Chicobi-sud	3	Sp	277	87	4	Lé	86	75	105	3.5	705050	5411650	17	32D16
300	1096	Chicobi-sud	1	Sp	84	75	0		0	0	0	3.5	706050	5411000	17	32D16

Annexe 1 - Liste des données structurales

#ZD	Station	Nom_ZD	Id	Ty	Dir_S	Pen	Id	Ty	Dir_L	PI	AC	IDEF	UTME	UTMN	ZONE	CARTE
301	1012	Chicobi-nord	2	Sp	287	65	3	Lé	95	30	148	0.5	620632	5422910	17	32D14
301	1012	Chicobi-nord	1	Sp	285	65	0		0	0	0	0.5	620632	5422910	17	32D14
301	1016	Chicobi-nord	1	Sp	295	58	0		0	0	0	3	623950	5420600	17	32D14
301	1016	Chicobi-nord	2	Sp	295	56	3	Lé	25	56	90	3	623950	5420600	17	32D14
301	1016	Chicobi-nord	4	Sp	297	56	5	Lé	23	56	88	3	623950	5420600	17	32D14
301	1072	Chicobi-nord	1	Sp	263	80	0		0	0	0	4.5	676150	5424375	17	32D15
301	1098	Chicobi-nord	1	Sp	93	83	0		0	0	0	3.5	719000	5410750	17	32D16
301	1219	Chicobi-nord	1	Sp	281	76	2	Lé	77	42	132	4	618925	5424150	17	32D14
301	1219	Chicobi-nord	3	Sp	281	84	4	Lé	296	40	140	4	618925	5424150	17	32D14
302	1003	Clermont	1	Sp	307	75	0		0	0	0	2.5	627750	5423400	17	32D14
302	1004	Clermont	1	Sp	302	84	0		0	0	0	3	628450	5423450	17	32D14
302	1005	Clermont	1	Sp	301	76	2	Lé	37	76	90	3	628475	5423450	17	32D14
302	1006	Clermont	1	Sp	300	73	2	Lé	42	73	90	4	628250	5423050	17	32D14
302	12014	Clermont	1	Sp	295	75	2	Lé	80	65	110	2	618770	5427180	17	32D14
302	12057	Clermont	1	Sp	358	59	0		0	0	0	3.5	620650	5425642	17	32D14
302	12057	Clermont	2	Sp	45	73	3	Lé	93	68	75	3.5	620650	5425642	17	32D14
302	12057	Clermont	4	Sp	335	85	0		0	0	0	3.5	620650	5425642	17	32D14
302	12057	Clermont	5	Pa	90	80	6	Lp	65	64	0	3.5	620650	5425642	17	32D14
302	12057	Clermont	7	Pa	72	82	8	Lp	68	60	0	3.5	620650	5425642	17	32D14
303	1002	Normétal	1	Sp	307	77	2	Lé	95	74	103	4	619500	5428500	17	32D14
303	1002	Normétal	3	Sp	302	75	4	Lé	87	65	110	4	619500	5428500	17	32D14
303	1002	Normétal	5	Sp	303	82	6	Lé	85	77	100	4	619500	5428500	17	32D14
303	1002	Normétal	7	Sp	302	75	8	Lé	96	61	115	4	619500	5428500	17	32D14
303	1007	Normétal	1	Sp	305	90	2	Lé	95	70	107	4	618761	5428570	17	32D14
303	1007	Normétal	1	Sp	305	90	3	Ls	305	10	0	4	618761	5428570	17	32D14
303	1007	Normétal	5	Sp	303	72	6	Lé	29	72	90	4	618761	5428570	17	32D14
303	1007	Normétal	7	Sp	305	70	8	Lé	62	68	100	4	618761	5428570	17	32D14
303	1008	Normétal	1	Sp	309	82	2	Lé	325	79	79	4	618534	5428709	17	32D14
303	1008	Normétal	3	Sp	305	70	4	Lé	62	68	100	4	618534	5428709	17	32D14
303	1008	Normétal	5	Sp	295	80	6	Lé	70	76	100	4	618534	5428709	17	32D14
303	1009	Normétal	1	Sp	294	74	2	Lé	47	70	98	4	618672	5428677	17	32D14
303	1009	Normétal	3	Sp	299	88	0		0	0	0	4	618672	5428677	17	32D14
303	1015	Normétal	1	Sp	85	60	0		0	0	0	1.5	633650	5424350	17	32D14
303	2040	Normétal	1	Sp	111	79	2	Lé	120	60	60	4.5	617120	5430064	17	32E04
303	12001	Normétal	1	Sp	275	76	2	Lé	278	12	12	4	615255	5431246	17	32E03
303	12002	Normétal	1	Sp	283	78	0		0	0	0	4	615315	5431380	17	32E03
303	12004	Normétal	1	Sp	298	77	2	Lé	97	58	120	2	614505	5431715	17	32E03
303	12004	Normétal	3	Sp	20	60	0		0	0	0	2	614505	5431715	17	32E03
303	12015	Normétal	1	Sp	295	80	2	Lé	87	70	108	3	618410	5428550	17	32E03
303	12016	Normétal	1	Sp	275	85	2	Lé	94	17	163	4	615080	5431310	17	32E03
303	12017	Normétal	1	Sp	78	80	2	Lé	106	70	72	3	614230	5431595	17	32E03
303	12017	Normétal	3	Ss	290	70	0		0	0	0	3	614230	5431595	17	32E03
303	12017	Normétal	4	Sp	349	66	0		0	0	0	3	614230	5431595	17	32E03
303	12018	Normétal	1	Sp	80	82	2	Lé	89	49	50	4	614225	5431640	17	32E03
303	12018	Normétal	3	S1	124	85	0		0	0	0	4	614225	5431640	17	32E03
303	12018	Normétal	4	S2	240	84	0		0	0	0	4	614225	5431640	17	32E03
303	12019	Normétal	1	Sp	278	76	2	Lé	88	34	145	4	614230	5431670	17	32E03
303	12033	Normétal	1	Sp	302	86	2	Lé	110	72	108	3	618585	5429260	17	32E03
303	12033	Normétal	3	Sp	292	88	4	Lé	105	75	105	3	618585	5429260	17	32E03
303	12033	Normétal	5	Sp	310	88	0		0	0	0	3	618585	5429260	17	32E03
303	12033	Normétal	6	Sp	290	89	0		0	0	0	3	618585	5429260	17	32E03
303	12033	Normétal	7	Sp	265	86	8	Lé	73	72	108	3	618585	5429260	17	32E03
303	12034	Normétal	1	Sp	95	85	2	Lé	101	50	50	3	618455	5429380	17	32E03
303	12035	Normétal	1	Sp	102	80	2	Lé	130	70	72	3	618460	5429430	17	32E03
303	12035	Normétal	3	Sp	108	89	4	Lé	135	88	88	3	618460	5429430	17	32E03
303	12035	Normétal	5	Sp	90	85	6	Lé	116	79	80	3	618460	5429430	17	32E03
303	12036	Normétal	1	Sp	300	88	2	Lé	114	72	108	3.5	618460	5429455	17	32E03
303	12037	Normétal	1	Sb	315	83	0		0	0	0	4	618385	5429510	17	32E03
303	12037	Normétal	2	Sp	282	84	0		0	0	0	4	618385	5429510	17	32E03
303	12037	Normétal	3	Sp	289	88	4	Li	295	72	72	4	618385	5429510	17	32E03
303	12049	Normétal	1	Sp	303	77	2	Lé	98	61	116	4	618855	5428606	17	32E03
303	12049	Normétal	3	Sp	301	87	4	Lé	111	74	106	4	618855	5428606	17	32E03
303	12049	Normétal	5	Sp	301	79	6	Lé	67	76	98	4	618855	5428606	17	32E03
303	12049	Normétal	7	Sp	306	79	8	Lé	79	75	100	4	618855	5428606	17	32E03
303	12049	Normétal	9	Sp	314	79	10	Lé	90	75	101	4	618855	5428606	17	32E03
303	12049	Normétal	11	Sp	302	81	12	Lé	88	74	103	4	618855	5428606	17	32E03
303	12049	Normétal	13	Sp	305	85	14	Lé	66	84	93	4	618855	5428606	17	32E03
303	12049	Normétal	15	Sp	309	74	16	Lé	92	65	110	4	618855	5428606	17	32E03
303	12049	Normétal	17	Sp	296	82	18	Lé	96	68	111	4	618855	5428606	17	32E03
303	12049	Normétal	19	Sp	303	79	20	Lé	83	73	103	4	618855	5428606	17	32E03
303	12049	Normétal	21	Sp	297	79	22	Lé	80	72	104	4	618855	5428606	17	32E03
303	12051	Normétal	1	Sp	101	69	2	Lé	238	61	111	2	632560	5425344	17	32D14
303	12052	Normétal	1	Sp	100	69	2	Lé	190	69	90	4	632526	5425340	17	32D14
303	12052	Normétal	3	Sp	95	64	4	Lc	246	45	128	4	632526	5425340	17	32D14
303	12052	Normétal	5	Sp	96	76	6	Lé	194	76	92	4	632526	5425340	17	32D14
303	12052	Normétal	7	Sp	94	70	8	Lc	246	52	123	4	632526	5425340	17	32D14
303	12052	Normétal	9	Sp	96	71	10	Lé	183	71	89	4	632526	5425340	17	32D14
303	12052	Normétal	11	Sp	96	71	12	Lc	249	53	122	4	632526	5425340	17	32D14
303	12052	Normétal	13	Sp	95	71	14	Lc	248	53	122	4	632526	5425340	17	32D14
303	12052	Normétal	15	Sp	95	71	16	Lé	162	69	82	4	632526	5425340	17	32D14
303	12053	Normétal	1	Sp	102	60	2	Lé	211	59	100	3.5	632325	5425243	17	32D14

Annexe 1 - Liste des données structurales

#ZD	Station	Nom_ZD	Id	Ty	Dir_S	Pen	Id	Ty	Dir_L	PI	AC	IDEF	UTME	UTMN	ZONE	CARTE
303	12053	Normétal	2	Sp	102	60	3	Lc	251	42	130	3.5	632325	5425243	17	32D14
303	12053	Normétal	1	Sp	104	66	2	Lé	201	66	93	3.5	632325	5425243	17	32D14
303	12053	Normétal	0		0	0	0		0	0	0	3.5	632325	5425243	17	32D14
303	12053	Normétal	1	Sp	103	65	2	Lc	258	42	132	3.5	632325	5425243	17	32D14
303	12053	Normétal	1	Sp	98	68	2	Lé	191	68	91	3.5	632325	5425243	17	32D14
303	12053	Normétal	1	Sp	98	68	3	Lc	232	61	110	3.5	632325	5425243	17	32D14
303	12053	Normétal	1	Sp	103	64	2	Lé	209	63	97	3.5	632325	5425243	17	32D14
303	12053	Normétal	1	Sp	103	64	3	Lc	255	44	129	3.5	632325	5425243	17	32D14
303	12053	Normétal	4	Ss	220	66	0		0	0	0	3.5	632325	5425243	17	32D14
303	12053	Normétal	1	Sp	91	68	2	Lé	178	68	89	3.5	632325	5425243	17	32D14
303	12053	Normétal	1	Sp	91	68	3	Lc	234	56	116	3.5	632325	5425243	17	32D14
303	12053	Normétal	1	Sp	110	70	2	Lé	186	69	85	3.5	632325	5425243	17	32D14
303	12053	Normétal	1	Sp	110	70	3	Lc	258	55	119	3.5	632325	5425243	17	32D14
303	12053	Normétal	1	Sp	112	71	2	Lé	174	69	80	3.5	632325	5425243	17	32D14
303	12053	Normétal	1	Sp	105	70	2	Lé	201	70	92	3.5	632325	5425243	17	32D14
303	12053	Normétal	1	Sp	105	70	3	Lc	263	46	130	3.5	632325	5425243	17	32D14
303	12053	Normétal	4	Sp	103	78	5	Lé	193	78	90	3.5	632325	5425243	17	32D14
303	12053	Normétal	1	Sp	105	82	0		0	0	0	3.5	632325	5425243	17	32D14
303	12053	Normétal	2	Ss	70	72	0		0	0	0	3.5	632325	5425243	17	32D14
303	12053	Normétal	1	Sp	109	61	2	Lé	193	61	87	3.5	632325	5425243	17	32D14
303	12053	Normétal	1	Sp	101	69	2	Lc	239	60	112	3.5	632325	5425243	17	32D14
303	12053	Normétal	1	Sp	110	65	2	Lé	177	63	80	3.5	632325	5425243	17	32D14
303	12054	Normétal	1	Sp	112	62	2	Lé	232	59	105	4	632664	5424626	17	32D14
303	12055	Normétal	1	S0	130	0	0		0	0	0	0	632666	5424603	17	32D14
303	12055	Normétal	2	Sp	105	70	3	Lé	217	69	98	0	632666	5424603	17	32D14
303	12055	Normétal	2	Sp	105	70	4	Lc	269	37	140	0	632666	5424603	17	32D14
303	12056	Normétal	1	Sp	103	74	0		0	0	0	4	632915	5424744	17	32D14
303	12056	Normétal	2	Ss	228	88	0		0	0	0	4	632915	5424744	17	32D14
303	12059	Normétal	1	Sp	88	68	2	Lé	90	5	5	5	610502	5433090	17	32 E03
303	12059	Normétal	3	Sb	110	85	4	Lé	115	42	42	5	610502	5433090	17	32 E03
303	12060	Normétal	1	Sp	116	85	2	Lé	295	7	173	4	610662	5432940	17	32 E03
303	12060	Normétal	3	Sp	164	78	0		0	0	0	4	610662	5432940	17	32 E03
303	12061	Normétal	1	Sp	122	80	2	Lé	300	14	166	4	610655	5432890	17	32 E03
303	12062	Normétal	1	Sp	303	65	2	Lé	303	1	1	4	610550	5432938	17	32 E03
303	12064	Normétal	1	Sp	323	77	2	Lé	53	77	89	4.5	610502	5432880	17	32 E03
303	12065	Normétal	1	Sp	314	73	0		0	0	0	4	610508	5432952	17	32 E03
303	12065	Normétal	2	Sp	308	65	0		0	0	0	4	610508	5432952	17	32 E03
303	12080	Normétal	1	S0	297	85	0		0	0	0	2.5	619472	5428745	17	32 E03
303	12080	Normétal	2	Sp	297	85	0		0	0	0	2.5	619472	5428745	17	32 E03
303	12080	Normétal	3	Ss	100	85	0		0	0	0	2.5	619472	5428745	17	32 E03
303	12080	Normétal	4	S0	305	85	0		0	0	0	2.5	619472	5428745	17	32 E03
303	12080	Normétal	5	Ss	285	88	0		0	0	0	2.5	619472	5428745	17	32 E03
303	12081	Normétal	1	S0	300	87	0		0	0	0	3	619447	5428760	17	32 E03
303	12081	Normétal	2	Sp	300	87	0		0	0	0	3	619447	5428760	17	32 E03
303	12081	Normétal	3	Ss	275	80	0		0	0	0	3	619447	5428760	17	32 E03
303	12082	Normétal	1	S0	300	78	0		0	0	0	3.5	619332	5428799	17	32 E03
303	12082	Normétal	2	Sp	300	78	0		0	0	0	3.5	619332	5428799	17	32 E03
303	12082	Normétal	3	Pa	300	78	4	Lp	108	74	0	3.5	619332	5428799	17	32 E03
303	12083	Normétal	1	Sp	294	85	2	Lé	69	83	95	4	619257	5428800	17	32 E03
303	12084	Normétal	1	Sp	312	83	0		0	0	0	4	619308	5428786	17	32 E03
303	12086	Normétal	1	Sp	282	72	0		0	0	0	3.5	619264	5428904	17	32 E03
303	12087	Normétal	1	Sp	300	70	2	Lé	30	70	90	4	619426	5428699	17	32 E03
303	12088	Normétal	1	Sp	310	85	0		0	0	0	4	619357	5428617	17	32 E03
303	12089	Normétal	1	Sp	293	80	2	Lé	64	76	100	4.5	619320	5428575	17	32 E03
303	12090	Normétal	1	Sp	295	75	2	Lé	44	74	95	4.5	619238	5428485	17	32D14
303	12090	Normétal	3	Sp	295	85	4	Lé	104	65	115	4.5	619238	5428485	17	32D14
303	12091	Normétal	1	Sp	309	79	2	Lé	75	76	98	4	619292	5428544	17	32 E03
305	1061		1	Sp	8	74	2	Lé	150	72	104	3.5	664950	5428575	17	32D15
305	1061		3	Sp	20	83	4	Lé	188	59	120	3.5	664950	5428575	17	32D15
306	6113		1	Sp	230	75	2	Lé	260	66	78	5	636526	5462702	17	32 E07
306	6114		0		0	0	6	Lé	265	59	0	4.5	636223	5462408	17	32 E07
306	6114		1	Sp	90	72	2	Lé	240	32	139	4.5	636223	5462408	17	32 E07
306	6114		3	Sp	95	60	4	Lé	270	47	135	4.5	636223	5462408	17	32 E07
307	6118	Boivin-Paradis	1	Sp	355	43	2	Lé	136	41	125	3	630343	5461382	17	32 E07
307	6119	Boivin-Paradis	1	Sp	95	78	0		0	0	0	3	628694	5460862	17	32 E07
307	6120	Boivin-Paradis	1	Sp	100	70	2	Lé	235	70	104	3.5	628282	5460691	17	32 E07
307	6121	Boivin-Paradis	1	Sp	270	62	0		0	0	0	3.5	625764	5460222	17	32 E07
307	6170	Boivin-Paradis	1	Sp	75	73	2	Lé	255	5	175	0	637979	5454576	17	32 E04
308	8017		1	Sp	50	75	2	Lé	53	23	23	4.5	310250	5428500	18	32C13
400	4201	Laflamme-sud	1	Sp	146	70	2	Lé	243	70	90	3.5	343050	5414050	18	32C14
401	2049	Laflamme-nord	1	Sp	100	80	0		0	0	0	3	677159	5432950	17	32 E03
402	2034		1	Sp	24	80	0		0	0	0	4	683738	5441398	17	32 E02
402	2034		2	Sp	24	80	3	Lé	29	25	25	4	683738	5441398	17	32 E02
402	2053		1	Sp	0	78	0		0	0	0	3	684078	5442117	17	32 E02
402	2053		2	Sp	346	43	3	Lé	75	43	90	3	684078	5442117	17	32 E02
402	2054		1	Sp	0	70	2	Lé	60	69	80	4.5	684009	5441853	17	32 E02
402	2054		3	Sp	8	73	4	Lé	31	52	55	4.5	684009	5441853	17	32 E02
404	2057		1	Sp	270	75	0		0	0	0	3.5	281757	5457553	18	32F04
404	2057		2	Sp	277	74	3	Lé	278	9	9	3.5	281757	5457553	18	32F04
404	2057		4	Sp	271	89	5	Lé	271	6	6	3.5	281757	5457553	18	32F04
404	2057		6	Sp	274	72	7	Lé	276	5	5	3.5	281757	5457553	18	32F04

Annexe 1 - Liste des données structurales

#ZD	Station	Nom_ZD	Id	Ty	Dir_S	Pen	Id	Ty	Dir_L	PI	AC	IDEF	UTME	UTMN	ZONE	CARTE
404	2058		1	Sp	280	74	0		0	0	0	4	282901	5458542	18	32F04
405	2059		1	Sp	77	90	2	Lé	70	84	84	3	286432	5460081	18	32F05
405	2060		1		0	0	1	Lé	90	79	0	3	286803	5460886	18	32F05
405	2061		1	Sp	218	75	2	Lé	234	61	62	4.5	288855	5461787	18	32F05
405	2061		3	Sp	25	90	4	Lé	205	65	115	4.5	288855	5461787	18	32F05
406	2006	Harricana	2	Sp	298	84	0		0	0	0	3.5	694082	5481374	17	32 E09
406	2007	Harricana	1	Sp	302	86	0		0	0	0	4	694005	5481489	17	32 E09
406	2008	Harricana	1	Sp	120	90	0		0	0	0	4	693698	5481361	17	32 E09
406	2008	Harricana	2	Sp	105	88	3	Lé	150	87	88	4	693698	5481361	17	32 E09
406	2009	Harricana	1	Sp	309	79	0		0	0	0	3.5	693417	5481298	17	32 E09
406	2009	Harricana	2	Sp	310	82	3	Lé	26	82	88	3.5	693417	5481298	17	32 E09
406	2011	Harricana	1	Sp	320	71	0		0	0	0	3	693455	5480249	17	32 E09
406	2012	Harricana	1	Sp	302	80	0		0	0	0	3	693788	5479980	17	32 E09
406	2012	Harricana	2	Sp	302	76	3	Lé	304	10	10	3	693788	5479980	17	32 E09
406	2013	Harricana	1	Sp	286	85	2	Lé	35	79	94	3.5	696014	5481873	17	32 E09
406	2013	Harricana	3	Sp	285	83	4	Lé	70	78	100	3.5	696014	5481873	17	32 E09
406	2035	Harricana	2	Sp	123	80	0		0	0	0	3	694356	5480069	17	32 E09
406	2035	Harricana	3	Sp	103	70	0		0	0	0	3	694356	5480069	17	32 E09
406	2035	Harricana	4	Sp	325	85	5	Lé	327	25	25	3	694356	5480069	17	32 E09
406	2035	Harricana	4	Sp	325	85	7	Lc	0	0	100	3	694356	5480069	17	32 E09
407	2037		1	Sp	342	83	2	Lé	154	30	150	5	682888	5475268	17	32 E09
407	2037		1	Sp	342	83	3	Lm	348	64	64	5	682888	5475268	17	32 E09
407	2037		4	Sp	153	90	5	Lé	153	50	50	5	682888	5475268	17	32 E09
408	4202		1	Sp	140	66	2	Lé	186	72	90	3	347550	5424500	18	32C14
409	8019		1	Sp	255	70	2	Lé	53	58	98	5	309625	5431875	18	32F04
410	2062	Bordure Marest	1	Sp	174	72	0		0	0	0	2.5	298292	5447450	18	32F04
410	2062	Bordure Marest	2	Sp	189	76	3	Lé	243	60	73	2.5	298292	5447450	18	32F04
410	2064	Bordure Marest	1	Sp	168	77	0		0	0	0	1.5	297870	5450184	18	32F04
410	2065	Bordure Marest	1	Sp	144	54	2	Lé	263	45	110	3	297467	5450766	18	32F04
410	8018	Bordure Marest	1	Sp	276	65	2	Lé	316	60	68	5	307500	5438500	18	32C13
410	8018	Bordure Marest	3	Sp	300	87	4	Lé	304	62	62	5	307500	5438500	18	32C13
414	4203		1	Sp	102	74	2	Lé	114	66	66	5	349075	5430550	18	32F03
415	3192	Quévillon	1	Sp	257	85	2	Lé	103	80	99	3	360500	5446000	18	32F02
415	4208	Quévillon	1	Sp	81	83	2	Lé	166	80	89	3.5	354500	5442900	18	32F02
415	4209	Quévillon	1	Sp	81	81	2	Lé	199	79	95	4.5	356050	5443800	18	32F02
415	4212	Quévillon	1	Sp	264	82	2	Lé	297	77	80	4	360500	5446000	18	32F02
416	3191	Franquet	1	Sp	272	85	2	Lé	275	60	60	4	362250	5452100	18	32F02
416	3191	Franquet	1	Sp	272	85	3	Lé	275	38	38	4	362250	5452100	18	32F02
416	4009	Franquet	1	Sp	266	84	2	Lé	293	83	84	4	362250	5452100	18	32F02
416	4010	Franquet	1	Sp	257	80	2	Lé	334	82	88	3.5	362050	5451130	18	32F02
419	3195	Chieftain	1	Sp	100	80	2	Lé	217	80	90	3	362080	5454850	18	32F02
419	4007	Chieftain	1	Sp	265	80	2	Lé	225	78	81	3.5	362080	5454850	18	32F02
419	4172	Chieftain	1	Sp	280	82	2	Lé	280	18	18	3	378450	5450800	18	32F02
419	4173	Chieftain	1	Sp	314	86	2	Lé	316	20	20	4	376700	5451550	18	32F02
419	4174	Chieftain	1	Sp	130	85	2	Lé	310	5	175	4	379025	5448850	18	32F02
419	4175	Chieftain	1	Sp	310	88	2	Lé	130	2	178	4.5	379800	5448325	18	32F02
420	3028	Cameron	1	Sp	125	87	2	Lé	117	1	1	5	363685	5461096	18	32F07
420	3028	Cameron	4	Sp	298	81	5	Lé	300	6	6	5	363685	5461096	18	32F07
420	3029	Cameron	1	Sp	117	80	2	Lé	125	1	1	5	362724	5462002	18	32F07
420	3030	Cameron	1	Sp	297	85	2	Lé	122	12	168	5	362152	5462025	18	32F07
420	3031	Cameron	1	Sp	282	72	2	Lé	290	39	40	5	359423	5461995	18	32F07
420	3032	Cameron	0		0	0	3	Lé	280	51	0	3.5	358791	5462281	18	32F07
420	3032	Cameron	0		0	0	4	Lé	5	89	0	3.5	358791	5462281	18	32F07
420	3032	Cameron	1	Sp	270	75	2	Lé	259	59	59	3.5	358791	5462281	18	32F07
420	3033	Cameron	1	Sp	122	90	2	Lé	125	15	15	5	360460	5461934	18	32F07
420	3041	Cameron	1	Sp	292	67	2	Lé	346	60	73	3.5	369249	5459467	18	32F07
420	3041	Cameron	0		0	0	3	Lé	297	5	0	3.5	369249	5459467	18	32F07
420	3043	Cameron	1	Sp	266	87	2	Lé	270	14	14	4.5	366977	5459151	18	32F07
420	3043	Cameron	3	Sp	120	86	4	Lé	300	10	170	4.5	366977	5459151	18	32F07
420	3043	Cameron	5	Sp	70	85	6	Lé	281	1	0	4.5	366977	5459151	18	32F07
420	3044	Cameron	1	Sp	275	85	0		0	0	0	3	369131	5458549	18	32F07
420	3045	Cameron	1	Sp	300	80	2	Lé	300	11	11	4	367701	5458941	18	32F07
420	3045	Cameron	1	Sp	300	80	3	Lé	305	35	35	4	367701	5458941	18	32F07
420	3046	Cameron	1	Sp	140	47	0		0	0	0	3.5	367385	5458309	18	32F07
420	3046	Cameron	4	Sp	175	60	0		0	0	0	3.5	367385	5458309	18	32F07
420	3046	Cameron	5	ZC	95	80	6	Lé	257	24	24	3.5	367385	5458309	18	32F07
420	3046	Cameron	7	Sp	257	24	0		0	0	0	3.5	367385	5458309	18	32F07
420	3047	Cameron	1	Sp	340	70	2	Lé	320	71	0	4	367400	5458489	18	32F07
420	3047	Cameron	9	Sp	140	80	0		0	0	0	4	367400	5458489	18	32F07
420	3048	Cameron	1	Sp	268	72	2	Lé	290	50	53	2	368108	5457962	18	32F07
420	3049	Cameron	1	Sp	132	83	2	Lé	280	40	132	3.5	368454	5458203	18	32F07
420	3050	Cameron	1	Sp	107	85	0		0	0	0	3	370304	5457481	18	32F07
420	3054	Cameron	1	Sp	122	80	2	Lé	322	44	133	3.5	364195	5460114	18	32F07
420	3055	Cameron	1	Sp	120	76	2	Lé	120	5	5	4.5	364286	5460490	18	32F07
420	3056	Cameron	1	Sp	270	80	2	Lé	90	4	176	4.5	364647	5460581	18	32F07
420	3058	Cameron	1	Sp	122	75	2	Lé	295	14	164	4	375453	5459670	18	32F07
420	3058	Cameron	3	Sp	122	75	4	Lé	295	15	163	4	375453	5459670	18	32F07
420	3059	Cameron	1	Sp	294	74	2	Lé	300	35	36	4.5	374926	5459369	18	32F07
420	3060	Cameron	1	Sp	287	87	2	Lé	290	4	4	4	377153	5460031	18	32F07
420	3061	Cameron	1	Sp	285	85	2	Lé	290	40	40	2.5	378778	5458963	18	32F07
420	3062	Cameron	1	Sp	287	80	2	Lé	92	21	155	4	378944	5458993	18	32F07

Annexe 1 - Liste des données structurales

#ZD	Station	Nom_ZD	Id	Ty	Dir_S	Pen	Id	Ty	Dir_L	PI	AC	IDEF	UTME	UTMN	ZONE	CARTE
420	3063	Cameron	1	Sp	265	75	2	Lé	275	35	36	2.5	378673	5458541	18	32F07
420	3064	Cameron	1	Sp	140	81	2	Lé	127	14	13	4.5	376717	5458918	18	32F07
420	3065	Cameron	1	Sp	132	80	2	Lé	305	44	135	4.5	377243	5458331	18	32F07
420	3066	Cameron	1	Sp	110	90	2	Lé	285	20	160	4	379244	5456976	18	32F07
420	3066	Cameron	1	Sp	110	90	3	Lé	113	4	4	4	379244	5456976	18	32F07
420	3075	Cameron	1	Sp	272	80	2	Lé	92	22	158	4.5	386475	5452625	18	32F02
420	3076	Cameron	1	Sp	285	60	2	Lé	95	10	0	4.5	386900	5452450	18	32F02
420	3077	Cameron	1	Sp	280	86	2	Lé	280	5	5	5	389050	5452100	18	32F02
420	3078	Cameron	1	Sp	270	76	2	Lé	270	6	6	5	389350	5452050	18	32F02
420	3081	Cameron	1	Sp	265	80	2	Lé	85	20	160	4	389575	5453925	18	32F02
420	3084	Cameron	1	Sp	65	80	2	Lé	245	27	153	4	388725	5453575	18	32F02
420	3085	Cameron	1	Sp	107	88	2	Lé	287	5	175	5	388575	5452975	18	32F02
420	3086	Cameron	1	Sp	97	90	2	Lé	277	20	160	5	388550	5452800	18	32F02
420	3087	Cameron	1	Sp	277	85	2	Lé	277	2	2	4	386400	5453225	18	32F02
420	3094	Cameron	1	Sp	272	78	2	Lé	272	30	30	3.5	385875	5454975	18	32F02
420	3095	Cameron	1	Sp	84	90	2	Lé	157	88	89	3	385600	5454700	18	32F02
420	3095	Cameron	3	Sp	84	90	4	Lé	264	35	145	3	385600	5454700	18	32F02
420	3096	Cameron	1	Sp	285	87	0		0	0	0	3.5	385925	5454250	18	32F02
420	3097	Cameron	1	Sp	102	82	0		0	0	0		385525	5453650	18	32F02
420	3101	Cameron	1	Sp	107	90	2	Lé	107	5	5	5	377844	5455741	18	32F07
420	3101	Cameron	3	Sp	294	85	4	Lé	294	5	5	5	377844	5455741	18	32F07
420	3102	Cameron	1	Sp	287	87	2	Lé	287	5	5	5	378026	5455216	18	32F07
420	3104	Cameron	1	Sp	125	75	2	Lé	305	5	175	4	377561	5454681	18	32F07
420	4167	Cameron	1	Sp	130	85	2	Lé	240	85	90	4	344300	5469800	18	32F06
420	4167	Cameron	3	Sp	142	71	4	Lé	145	10	10	4	344300	5469800	18	32F06
420	4168	Cameron	1	Sp	270	80	0		0	0	0	1.5	336500	5478800	18	32F06
420	5028	Cameron	1	Sp	137	78	2	Lé	302	33	144	3	372553	5457447	18	32F07
420	5028	Cameron	3	Sp	116	79	4	Lé	289	40	140	3	372553	5457447	18	32F07
420	6208	Cameron	1	Sp	297	80	2	Lé	110	7	174	3.5	335463	5480762	18	32F06
423	4176		1	Sp	285	82	2	Lé	5	82	90	4.5	405992	5452601	18	32F01
423	4228		1	Sp	90	85	2	Lé	270	10	170	4.5	396158	5452996	18	32F02
424	3080	Mountain	1	Sp	245	78	2	Lé	42	64	114	4	389700	5453760	18	32F02
424	3082	Mountain	1	Sp	75	80	2	Lé	255	20	160	3.5	389225	5454125	18	32F02
424	3083	Mountain	1	Sp	240	70	0		0	0	0	3	388800	5453925	18	32F02
424	3161	Mountain	1	Sp	100	85	2	Lé	135	85	90	5	394100	5457200	18	32F08
424	3162	Mountain	1	Sp	60	75	0	Lé	95	72	0	3.5	395200	5457350	18	32F08
424	3164	Mountain	1	Sp	255	80	0		0	0	0	3	394650	5456650	18	32F08
424	3164	Mountain	2	ZC	250	70	3	Lé	294	58	67	3	394650	5456650	18	32F08
424	3165	Mountain	1	Sp	65	80	2	Lé	165	80	90	3	395500	5457250	18	32F08
425	3090		1	Sp	260	60	2	Lé	287	75	77	3	389150	5455900	18	32F02
425	3092		1	Sp	250	80	2	Lé	255	45	45	3	389400	5456600	18	32F07
425	3092		3	Sp	155	20	4	Lé	255	22	100	3	389400	5456600	18	32F07
425	3092		5	Sp	235	85	6	Lé	285	85	90	3	389400	5456600	18	32F07
425	3092		7	Sp	260	85	8	Lé	260	50	50	3	389400	5456600	18	32F07
426	3034		1	Sp	335	85	0		0	0	0	3	365200	5463350	18	32F07
426	3190		1	Sp	315	80	2	Lé	45	80	90	3	365300	5464525	18	32F07
427	3025		1	Sp	135	90	0		0	0	0	3.5	376275	5463000	18	32F07
427	3026		1	Sp	290	65	3	Lé	42	65	0	3.5	376175	5463090	18	32F07
428	3015	Esther	1	Sp	82	84	2	Lé	82	65	65	4	376400	5465300	18	32F07
428	3017	Esther	1	Sp	276	86	2	Lé	122	87	0	5	375625	5464590	18	32F07
428	3017	Esther	3	Sp	277	89	4	Lé	288	85	85	0	375625	5464590	18	32F07
428	3022	Esther	1	Sp	270	81	2	Lé	55	75	104	3	377850	5465215	18	32F07
428	3023	Esther	1	Sp	270	85	2	Lé	300	80	81	2.5	377950	5465450	18	32F07
429	3168		1	Sp	115	80	2	Lé	290	72	108	3	394150	5462175	18	32F08
429	3169		1	Sp	95	85	2	Lé	285	50	50	3	394700	5461875	18	32F08
429	3170		1	Sp	245	82	2	Lé	0	79	95	1	394150	5462150	18	32F08
429	3171		1	Sp	80	72	2	Lé	152	80	90	3	392475	5463000	18	32F08
429	3172		1	Sp	82	88	2	Lé	75	85	86	3.5	392300	5462900	18	32F08
429	3172		1	Sp	82	88	3	Lé	290	85	95	3.5	392300	5462900	18	32F08
430	3123		1	Sp	117	88	2	Lé	200	87	90	3	387375	5466875	18	32F07
430	3124		1	Sp	97	85	2	Lé	190	85	90	3	387650	5466700	18	32F07
430	3125		1	Sp	87	90	2	Lé	295	70	108	3	387250	5466525	18	32F07
431	4004		1	Sp	222	70	2	Lé	20	17	152	4	362350	5457875	18	32F07
431	4004		0		0	0	4	Lé	57	13	0	4	362350	5457875	18	32F07
431	4005		1	Sp	241	74	2	Lé	222	16	16	4	362180	5457460	18	32F07
432	3197	Pusticamica	1	Sp	75	62	2	Lé	205	62	108	3.5	402900	5471675	18	32F08
432	3198	Pusticamica	1	Sp	197	70	2	Lé	250	65	75	3.5	402300	5471200	18	32F08
432	3198	Pusticamica	1	Sp	197	70	3	Lé	250	45	65	3.5	402300	5471200	18	32F08
432	3199	Pusticamica	1	Sp	253	82	2	Lé	270	86	90	1	402050	5471200	18	32F08
432	3201	Pusticamica	1	Sp	250	75	2	Lé	304	71	79	3.5	406150	5473850	18	32F08
432	3203	Pusticamica	1	Sp	247	88	2	Lé	247	50	50	4	401225	5470800	18	32F08
433	3202	Doda	1	Sp	282	84	2	Lé	313	64	68	3.5	408150	5473900	18	32F08
433	3202	Doda	1	Sp	282	84	3	Lé	300	55	57	3.5	408150	5473900	18	32F08
433	4213	Doda	1	Sp	278	88	2	Lé	97	29	151	4	508900	5469950	18	32G07
433	4214	Doda	1	Sp	291	86	2	Lé	111	31	149	4	509100	5469900	18	32G07
433	4217	Doda	1	Sp	288	65	2	Lé	70	64	110	4	519250	5469950	18	32G07
433	4304	Doda	1	sP	85	84	2	Lé	85	52	52	0	508452	5469661	18	32G07
433	4305	Doda	1	Sp	88	86	2	Lé	88	47	47	4	507989	5469669	18	32G07
433	4306	Doda	1	Sp	260	80	2	Lé	80	34	146	4	507654	5469634	18	32G07
433	4307	Doda	1	Sp	270	81	2	Lé	86	41	139	0	507182	5469813	18	32G07
500	6123	Casa-Berardi	1	Sp	90	80	2	Lé	245	68	110	4	629195	5491386	17	32 E12

Annexe 1 - Liste des données structurales

#ZD	Station	Nom_ZD	Id	Ty	Dir_S	Pen	Id	Ty	Dir_L	PI	AC	IDEF	UTME	UTMN	ZONE	CARTE
500	6200	Casa-Berardi	1	Sp	90	70	2	Lé	180	60	90	5	622807	5491685	17	32 E07
500	6201	Casa-Berardi	1	Sp	92	68	2	Lé	175	68	90	5	626927	5492139	17	32 E07
500	6202	Casa-Berardi	1	Sp	85	70	2	Lé	175	70	90	3	627099	5492008	17	32 E07
500	6203	Casa-Berardi	1	Sp	103	68	2	Lé	193	68	0	5	314797	5485857	0	32F05
500	6204	Casa-Berardi	1	Sp	105	75	2	Lé	160	72	80	4	314797	5485582	18	32F05
500	6205	Casa-Berardi	1	Sp	100	70	2	Lé	190	70	90	5	315317	5484866	18	32F05
501	7025	Guercheville	1	Sp	63	70	2	Lé	133	70	83	4	449550	5495700	18	32G12
501	7026	Guercheville	1	Sp	246	86	2	Lé	284	79	81	5	447350	5495650	18	32G12
501	7027	Guercheville	1	Sp	277	73	2	Lé	4	80	89	4	449750	5496300	18	32G12
501	7028	Guercheville	1	Sp	288	83	2	Lé	307	81	82	4	443800	5495400	18	32G12
501	7029	Guercheville	1	Sp	85	85	2	Lé	246	55	123	4	449700	5496200	18	32G12
501	9014	Guercheville	1	Sp	301	78	2	Lé	53	60	101	3	530938	5483518	18	32G10
502	4215	Remick	1	Sp	110	89	2	Lé	108	55	55	4	511550	5470400	18	32G07
502	4216	Remick	1	Sp	280	75	2	Lé	92	30	149	4	516250	5469750	18	32G07
502	4218	Remick	1	Sp	100	89	2	Lé	100	20	20	5	521100	5471400	18	32G07
502	4300	Remick	1	Sp	105	85	2	Lé	105	38	38	4	510996	5470064	18	32G07
502	4301	Remick	1	Sp	105	82	2	Lé	105	35	35	0	511113	5470150	18	32G07
502	4302	Remick	1	Sp	295	82	2	Lé	105	40	140	4	509111	5470689	18	32G07
502	4303	Remick	1	Sp	90	88	2	Lé	85	35	35	0	508845	5470749	18	32G07
503	4219		1	Sp	110	89	2	Lé	290	20	160	4.5	516050	5474400	18	32G07
506	3205		1	Sp	70	55	2	Lé	120	40	60	5	365684	5487386	18	32F10
506	4171		1	Sp	88	88	2	Lé	255	75	105	4	343200	5484300	18	32F06
507	6109	Broullan	1	Sp	118	68	2	Lé	256	49	119	3	643054	5519919	17	32 E15
507	6116	Broullan	2	Sp	270	90	0	Lé	270	30	30	3	648320	5519033	17	32 E16
507	6117	Broullan	1	Sp	100	70	0		0	0	0	3.5	639371	5518376	17	32 E15
511	6100	Matagami	1	Sp	265	77	2	Lé	285	70	71	3	309239	5522642	18	32F13
511	6100	Matagami	3	Sp	265	80	4	Lé	90	5	175	3	309239	5522642	18	32F13
511	6104	Matagami	1	Sp	75	90	2	Lé	286	83	96	3.5	313196	5523853	18	32F13
511	6104	Matagami	4	Sp	125	78	5	Lé	252	66	104	3.5	313196	5523853	18	32F13
512	6099	Garon	1	Sp	90	90	0		0	0	0	3	308786	5521596	18	32F13
516	2135		1	Sp	100	87	2	Lé	104	67	0	4.5	314718	5516020	18	32F13
516	2135		3	Sp	92	85	4	Lé	110	74	75	4.5	314718	5516020	18	32F13
517	6206		1	Sp	160	60	2	Lé	286	55	110	4	329181	5490462	18	32F11
517	6207		1	Sp	190	73	2	Lé	340	56	120	5	329045	5492257	18	32F11
519	3003	Madeleine	2	Sp	307	63	3	Lé	26	63	85	5	375750	5469300	18	32F07
519	3004	Madeleine	1	Sp	347	35	2	Lé	16	25	38	5	373925	5469400	18	32F07
519	3004	Madeleine	3	Sp	282	77	4	Lé	314	70	73	5	373925	5469400	18	32F07
519	3005	Madeleine	1	Sp	297	70	2	Lé	336	70	90	5	374175	5469400	18	32F07
519	3006	Madeleine	1	Sp	271	80	2	Lé	335	78	85	5	374475	5469425	18	32F07
519	3006	Madeleine	3	Sp	350	40	4	Lé	5	40	42	5	374475	5469425	18	32F07
519	3012	Madeleine	1	Sp	285	88	2	Lé	205	85	89	4	374340	5468590	18	32F07
519	3057	Madeleine	1	Sp	240	73	2	Lé	300	72	81	5	378800	5469800	18	32F07
519	3146	Madeleine	1	Sp	252	65	2	Lé	15	50	110	3	381300	5469850	18	32F07
519	3147	Madeleine	1	Sp	240	85	2	Lé	40	55	123	0	385175	5471450	18	32F07
519	3148	Madeleine	1	Sp	60	70	0		0	0	0	3	386250	5472250	18	32F07
519	3148	Madeleine	2	Sp	90	75	0	Lé	345	85	0	3	386250	5472250	18	32F07
519	3149	Madeleine	1	ZC	180	80	2	Lé	350	15	165	3	389100	5472150	18	32F07
519	3149	Madeleine	4	Sp	225	58	5	Lé	335	55	100	3	389100	5472150	18	32F07
519	3149	Madeleine	6	Sp	222	55	7	Lé	330	55	100	3	389100	5472150	18	32F07
519	3149	Madeleine	8	Sp	235	75	9	Lé	335	65	94	3	389100	5472150	18	32F07
519	3149	Madeleine	10	Sp	245	70	0		0	0	0	3	389100	5472150	18	32F07
520	9002	Verneuil	1	Sp	305	80	2	Lé	275	75	77	3	527487	5486989	18	32G10
520	9004	Verneuil	1	Sp	125	75	2	Lé	250	72	100	3.5	527845	5488064	18	32G10
520	9009	Verneuil	1	Sp	230	70	2	Lé	270	55	110	5	527528	5489585	18	32G10
520	9009	Verneuil	3	Sp	50	65	4	Lé	210	45	132	5	527528	5489585	18	32G10
520	9011	Verneuil	1	Sp	291	78	2	Lé	304	77	78	3	528237	5487009	18	32G10
520	9012	Verneuil	1	Sp	311	86	2	Lé	4	64	74	3	529158	5486288	18	32G10
520	10067	Verneuil	1	Sp	152	72	2	Lé	279	68	103	4	527110	5489375	18	32G10
520	10068	Verneuil	1	Sp	142	79	2	Lé	306	55	123	4	527065	5489340	18	32G10
520	10069	Verneuil	1	Sp	185	70	2	Lé	348	79	0	4	527060	5489440	18	32G10
520	10070	Verneuil	1	Sp	295	56	0		0	0	0	4	527150	5489650	18	32G10
520	10071	Verneuil	1	Sp	225	80	2	Lé	250	68	70	4	527160	5489780	18	32G10
520	10072	Verneuil	1	Sp	230	66	0		0	0	0	4	527005	5489775	18	32G10
520	10073	Verneuil	1	Sp	295	77	2	Lé	310	48	50	3.5	527380	5489140	18	32G10
520	10074	Verneuil	1	Sp	300	80	0		0	0	0	3.5	526900	5489780	18	32G10
520	10075	Verneuil	1	Sp	121	76	2	Lé	215	21	0	4	527320	5489800	18	32G10
520	10075	Verneuil	3	Cs	210	89	4	Lé	214	24	0	4	527320	5489800	18	32G10
520	10076	Verneuil	2	Sp	300	80	0		0	0	0	0.5	527480	5487300	18	32G10
521	9001	Fancamp	1	Sp	215	85	2	Lé	220	45	45	4	524691	5487633	18	32G10
521	9001	Fancamp	4	Sp	225	82	0		0	0	0	4	524691	5487633	18	32G10
521	9005	Fancamp	1	Sp	225	78	0		0	0	0	4	529010	5490497	18	32G10
521	9006	Fancamp	1	Sp	225	85	2	Lé	90	58	65	5	529115	5490635	18	32G10
521	9007	Fancamp	1	Sp	225	85	2	Lé	90	58	65	4	528553	5490453	18	32G10
521	9008	Fancamp	1	Sp	215	65	2	Lé	275	70	80	5	528365	5490100	18	32G10
521	9015	Fancamp	1	Sp	211	65	0		0	0	0	4	528424	5489995	18	32G10
521	9021	Fancamp	1	Sp	230	85	2	Lé	272	80	82	4	531777	5492204	18	32G10
521	9022	Fancamp	1	Sp	155	76	0		0	0	0	5	533393	5493407	18	32G10
521	9027	Fancamp	1	Sp	100	81	0		0	0	0	1	533995	5494483	18	32G10
521	9227	Fancamp	1	Sp	264	72	2	Lé	354	72	90	4	542331	5501222	18	32G09
521	9236	Fancamp	1	Sp	100	76	0		0	0	0	5	540346	5500482	18	32G09
521	9237	Fancamp	1	Sp	104	76	2	Lé	184	76	90	4	540372	5500569	18	32G09

Annexe 1 - Liste des données structurales

#ZD	Station	Nom_ZD	Id	Ty	Dir_S	Pen	Id	Ty	Dir_L	PI	AC	IDEF	UTME	UTMN	ZONE	CARTE
521	9241	Fancamp	1	Sp	285	85	0		0	0	0	5	542596	5501520	18	32G09
521	9241	Fancamp	4	Sp	295	80	2	Lé	48	82	95	5	542596	5501520	18	32G09
521	9259	Fancamp	1	Sp	286	82	2	Lé	343	73	85	4	542122	5501013	18	32G09
521	9260	Fancamp	1	Sp	270	73	0		0	0	0	4	541800	5500900	18	32G09
521	9260	Fancamp	2	Sp	235	65	0		0	0	0	4	541800	5500900	18	32G09
521	9274	Fancamp	1	Sp	55	74	0		0	0	0	3	540937	5500664	18	32G09
521	9277	Fancamp	1	Sp	215	84	0		0	0	0	4	540035	5500158	18	32G09
521	9278	Fancamp	2	Sp	180	88	0		0	0	0	4	540026	5500292	18	32G09
521	9279	Fancamp	1	Sp	300	85	2	Lé	222	77	88	5	539963	5500177	18	32G09
521	9281	Fancamp	1	Sp	251	84	0		0	0	0	4	539623	5500264	18	32G09
521	9282	Fancamp	1	Sp	266	80	0		0	0	0	4	539397	5500168	18	32G09
521	9289	Fancamp	1	Sp	261	84	0		0	0	0	3	542261	5501090	18	32G09
521	9290	Fancamp	1	Sp	275	72	0		0	0	0	4	542471	5501370	18	32G09
521	9292	Fancamp	1	Sp	95	80	0		0	0	0	5	539073	5499771	18	32G09
521	9294	Fancamp	1	Sp	290	86	0		0	0	0	3	539218	5499880	18	32G09
521	9295	Fancamp	1	Sp	259	84	0		0	0	0	5	539222	5499899	18	32G09
521	9296	Fancamp	1	Sp	286	76	0		0	0	0	3	539405	5500037	18	32G09
521	9297	Fancamp	1	Sp	250	67	0		0	0	0	4	539388	5499977	18	32G09
521	9299	Fancamp	1	Sp	260	47	0		0	0	0	4	538987	5499454	18	32G09
521	9300	Fancamp	1	Sp	264	61	0		0	0	0	5	538964	5499081	18	32G09
521	9300	Fancamp	2	Sp	239	77	3	Lé	271	66	70	5	538964	5499081	18	32G09
521	9301	Fancamp	1	Sp	266	76	0		0	0	0	3.5	539008	5498919	18	32G09
521	9302	Fancamp	1	Sp	260	70	0		0	0	0	4	538987	5498653	18	32G09
521	9303	Fancamp	1	Sp	270	70	0		0	0	0	4	538909	5498706	18	32G09
521	9304	Fancamp	1	Sp	232	76	0		0	0	0	5	538857	5498732	18	32G09
521	9309	Fancamp	1	Sp	245	71	0		0	0	0	4	538639	5498653	18	32G09
521	9310	Fancamp	1	Sp	280	72	0		0	0	0	2	538604	5498497	18	32G09
521	9324	Fancamp	1	Sp	84	86	0		0	0	0	5	539675	5499724	18	32G09
521	9340	Fancamp	1	Sp	278	75	2	Lé	74	57	120	4	542296	5501118	18	32G09
521	9353	Fancamp	1	Sp	255	82	0		0	0	0	5	539371	5499576	18	32G09
521	9354	Fancamp	1	Sp	70	0	0		0	0	0	5	539484	5499637	18	32G09
521	10052	Fancamp	1	Sp	65	0	0		0	0	0	3.5	523410	5487190	18	32G10
521	10057	Fancamp	1	Sp	242	65	2	Lé	355	63	100	3.5	523950	5486360	18	32G10
521	10058	Fancamp	1	Sp	278	77	2	Lé	348	76	89	4	523850	5486540	18	32G10
521	10060	Fancamp	1	Sp	220	85	2	Lé	223	30	30	4	524691	5487633	18	32G10
521	10077	Fancamp	1	Sp	256	71	2	Lé	7	70	97	3.5	538900	5498550	18	32G10
522	9264	Bordure LaDauversière	1	Sp	314	85	0		0	0	0	3	546746	5498900	18	32G09
522	9266	Bordure LaDauversière	1	Sp	303	84	0		0	0	0	4	546456	5498966	18	32G09
522	9267	Bordure LaDauversière	1	Sp	297	75	0		0	0	0	5	546661	5498887	18	32G09
522	9268	Bordure LaDauversière	1	Sp	271	53	0		0	0	0	5	546654	5498808	18	32G09
522	10082	Bordure LaDauversière	1	Sp	229	54	0		0	0	0	3.5	538300	5495600	18	32G10
522	10084	Bordure LaDauversière	1	Sp	30	75	0		0	0	0	3	538300	5494740	18	32G10
522	10085	Bordure LaDauversière	1	Sp	210	64	2	Lé	341	47	111	4	538245	5494660	18	32G10
522	10086	Bordure LaDauversière	1	Sp	190	62	2	Lé	299	61	99	4.5	537850	5494230	18	32G10
522	10086	Bordure LaDauversière	3	Sp	183	71	4	Lé	337	60	114	4.5	537850	5494230	18	32G10
522	10088	Bordure LaDauversière	1	Sp	166	54	2	Lé	285	50	108	4	538020	5492515	18	32G10
522	10089	Bordure LaDauversière	1	Sp	168	60	0		0	0	0	4.5	537900	5492280	18	32G10
523	9201	Queylus	1	Sp	292	80	2	Lé	49	79	95	5	546616	5499556	18	32G09
523	9202	Queylus	1	Sp	273	73	0		0	0	0	4	545616	5499599	18	32G09
523	9203	Queylus	1	Sp	283	54	0		0	0	0	3	546607	5499712	18	32G09
523	9204	Queylus	1	Sp	295	81	0		0	0	0	3	546589	5499825	18	32G09
523	9205	Queylus	1	Sp	300	81	0		0	0	0	4	546528	5499765	18	32G09
523	9205	Queylus	2	Sp	297	82	3	Lé	27	80	90	4	546528	5499765	18	32G09
523	9206	Queylus	1	Sp	294	85	0		0	0	0	4	546598	5499869	18	32G09
523	9212	Queylus	1	Sp	268	57	0		0	0	0	3	546241	5499669	18	32G09
523	9213	Queylus	1	Sp	297	73	0		0	0	0	4	545318	5499582	18	32G09
523	9215	Queylus	1	Sp	255	73	2	Lé	345	73	90	4	544654	5499554	18	32G09
523	9220	Queylus	1	Sp	305	69	0		0	0	0	3	546469	5499679	18	32G09
523	9221	Queylus	1	Sp	294	84	2	Lé	24	84	90	5	546529	5499900	18	32G09
523	9224	Queylus	1	Sp	265	69	0		0	0	0	4	546469	5499786	18	32G09
523	9224	Queylus	2	Sp	286	75	3	Lé	6	72	86	4	546469	5499786	18	32G09
523	9231	Queylus	1	Sp	286	72	2	Lé	16	72	90	4	546502	5499527	18	32G09
523	9269	Queylus	1	Sp	302	70	0		0	0	0	4	544515	5499600	18	32G09
523	9284	Queylus	1	Sp	236	80	0		0	0	0	4	546194	5499784	18	32G09
523	9305	Queylus	1	Sp	285	57	0		0	0	0	5	540473	5499315	18	32G09
523	9318	Queylus	1	Sp	82	55	0		0	0	0	3	539609	5498824	18	32G09
523	9320	Queylus	1	Sp	257	64	0		0	0	0	5	539588	5498949	18	32G09
523	9320	Queylus	2	Sp	275	65	3	Lé	5	65	90	5	539588	5498949	18	32G09
524	9258		1	Sp	278	72	2	Lé	8	72	90	4	541957	5500674	18	32G09
525	9226	Audet	1	Sp	285	78	0		0	0	0	4	542862	5501205	18	32G09
525	9240	Audet	1	Sp	62	81	2	Lé	353	85	88	1	542619	5501391	18	32G09
525	9334	Audet	1	Sp	111	80	2	Lé	123	49	50	5	547858	5501356	18	32G09
525	9335	Audet	1	Sp	285	90	0		0	0	0	4	547734	5501066	18	32G09
525	9336	Audet	1	Sp	108	80	0		0	0	0	4	547578	5501242	18	32G09
526	9018	Mondor	1	Sp	129	86	0		0	0	0	4	525007	5495961	18	32G10
526	9699	Mondor	1	Sp	135	80	0		0	0	0	4	519434	5503058	18	32G10
527	9069		1	Sp	45	90	0		0	0	0	4	530946	5498917	18	32G10
527	9070		1	Sp	230	85	0		0	0	0	4	531052	5498976	18	32G10
527	9155		1	Sp	355	75	2	Lé	85	75	90	4	531602	5501071	18	32G10
527	9155		3	Sp	360	80	2	Lé	90	80	90	4	531602	5501071	18	32G10
527	9164		1	Sp	290	73	0		0	0	0	4	531487	5501844	18	32G10

Annexe 1 - Liste des données structurales

#ZD	Station	Nom_ZD	Id	Ty	Dir_S	Pen	Id	Ty	Dir_L	PI	AC	IDEF	UTME	UTMN	ZONE	CARTE
528	9337		1	Sp	95	72	0		0	0	0	4	549061	5502175	18	32G09
528	9338		1	Sp	92	71	0		0	0	0	4	548470	5502590	18	32G09
529	9170		1	Sp	105	80	2	Lé	195	80	90	3	535601	5504003	18	32G10
529	9192		1	Sp	110	75	2	Lé	200	75	0	4	535636	5503989	18	32G10
529	9193		1	Sp	100	85	2	Lé	145	83	85	4	535294	5503979	18	32G10
530	9060		1	Sp	135	80	2	Lé	172	74	78	4	535228	5503525	18	32G10
532	5074	Renault	1	Sp	62	75	2	Lé	152	72	90	4	437672	5515270	18	32G13
532	5074	Renault	3	Sp	95	84	0		0	0	0	4	437672	5515270	18	32G13
532	5075	Renault	1	Sp	108	90	2	Lé	180	90	90	5	438719	5515968	18	32G14
532	5076	Renault	1	Sp	122	90	2	Lé	180	90	90	4.5	439120	5516334	18	32G14
533	5079	Nottaway	1	Sp	100	84	2	Lé	95	16	16	5	439935	5517819	18	32G14
533	5080	Nottaway	1	Sp	310	85	2	Lé	310	10	10	4	440153	5518469	18	32G14
533	5081	Nottaway	1	Sp	295	62	2	Lé	312	34	38	3	440403	5518793	18	32G14
533	8049	Nottaway	2	Sp	82	87	3	Lé	262	8	172	3	443975	5514700	18	32G13
550	4069	Kapunapotagen	1	Sp	77	60	2	Lé	178	60	96	3	483025	5519150	18	32G14
550	9092	Kapunapotagen	2	Sp	130	72	0		0	0	0	2	530041	5506495	18	32G10
550	9093	Kapunapotagen	1	Sp	130	85	2	Lé	130	52	52	4	529922	5506353	18	32G10
550	9094	Kapunapotagen	1	Sp	125	85	0		0	0	0	4	529875	5506335	18	32G10
550	9095	Kapunapotagen	1	Sp	140	85	0		0	0	0	3	529881	5506400	18	32G10
550	9097	Kapunapotagen	1	Sp	125	85	2	Lé	125	65	65	3.5	530315	5506786	18	32G10
550	9112	Kapunapotagen	1	Sp	120	75	2	Lé	160	66	72	4	530486	5507088	18	32G10
550	9113	Kapunapotagen	1	Sp	120	82	0		0	0	0	3	530397	5506969	18	32G10
550	9177	Kapunapotagen	1	Sp	125	75	0		0	0	0	4	530854	5507088	18	32G10
550	9178	Kapunapotagen	1	Sp	120	70	0		0	0	0	4	530486	5507088	18	32G10
550	9180	Kapunapotagen	1	Sp	100	80	2	Lé	190	80	90	4	531487	5506868	18	32G10
550	9194	Kapunapotagen	1	Sp	289	85	0		0	0	0	3.5	533461	5505479	18	32G10
550	9194	Kapunapotagen	3	Sp	110	85	4	Lé	120	60	60	3.5	533461	5505479	18	32G10
550	9195	Kapunapotagen	1	Sp	110	75	0		0	0	0	3.5	533380	5506760	18	32G10
550	9196	Kapunapotagen	1	Sp	90	90	0		0	0	0	1	533484	5506881	18	32G10
550	9436	Kapunapotagen	1	Sp	273	79	2	Lé	195	75	87	4	536553	5505089	18	32G09
550	11167	Kapunapotagen	1	Sp	310	61	2	Lé	40	61	90	2	523249	5509930	18	32G10
550	11169	Kapunapotagen	1	Sp	64	62	0		0	0	0	4	565166	5507003	18	32G09
550	11170	Kapunapotagen	1	Sp	88	70	2	Lé	116	40	0	3.5	565119	5506589	18	32G09
550	11171	Kapunapotagen	1	Sp	52	68	0		0	0	0	4	565739	5506498	18	32G09
550	11172	Kapunapotagen	2	Sp	80	64	3	Lé	175	50	0	4	566357	5506727	18	32G09
550	11173	Kapunapotagen	1	Sp	60	40	2	Lé	163	39	0	4	565834	5506816	18	32G09
550	11174	Kapunapotagen	1	Sp	59	70	2	Lé	106	76	0	4	566459	5506351	18	32G09
550	11175	Kapunapotagen	1	Sp	130	50	0		0	0	0	4.5	567145	5506741	18	32G09
552	4052		1	Sp	290	68	2	Lé	318	72	74	3.5	502150	5518250	18	32G15
552	4053		1	Sp	282	72	2	Lé	4	81	89	3.5	501550	5518350	18	32G15
553	9518	Gaudreault	1	Sp	255	86	2	Lé	255	65	0	2.5	522657	5513507	18	32G15
553	9519	Gaudreault	1	Sp	80	86	2	Lé	0	0	0	3	522652	5513592	18	32G15
553	9520	Gaudreault	1	Sp	260	85	2	Lé	240	67	68	2	522720	5513584	18	32G15
553	9524	Gaudreault	1	Sp	248	78	2	Lé	240	65	65	4	522737	5513534	18	32G15
553	9525	Gaudreault	1	Sp	260	75	2	Lé	280	70	71	4.5	522721	5513572	18	32G15
553	9530	Gaudreault	1	Sp	250	85	0		0	0	0	2	522130	5513737	18	32G15
553	9531	Gaudreault	1	Sp	255	80	2	Lé	310	70	75	3	522045	5513739	18	32G15
555	9454	Opémisca	1	Sp	275	75	2	Lé	291	64	65	4	519028	5522443	18	32G15
555	9455	Opémisca	1	Sp	309	71	2	Lé	316	56	56	5	518955	5522417	18	32G15
555	9457	Opémisca	0		0	0	1	Lé	290	61	0	3	518594	5522717	18	32G15
555	9458	Opémisca	1	Sp	195	55	2	Lé	285	55	90	4	518520	5522717	18	32G15
555	9459	Opémisca	1	Sp	189	68	2	Lé	280	64	90	4	518407	5522951	18	32G15
555	9460	Opémisca	1	Sp	235	80	2	Lé	275	72	76	4	518494	5523105	18	32G15
555	9461	Opémisca	1	Sp	260	87	2	Lé	240	74	75	3	518714	5523405	18	32G15
555	9463	Opémisca	1	Sp	275	84	2	Lé	288	61	62	4	519175	5523165	18	32G15
556	8038	Sauvage	1	Sp	250	65	2	Lé	8	65	110	4	557400	5529300	18	32G16
556	8040	Sauvage	1	Sp	250	85	2	Lé	15	80	96	4	557250	5529125	18	32G16
556	9402	Sauvage	1	Sp	95	85	2	Lé	145	80	84	4	553188	5529352	18	32G16
556	9405	Sauvage	1	Sp	265	70	0		0	0	0	4	552912	5529263	18	32G16
556	9406	Sauvage	1	Sp	60	75	0		0	0	0	4	552888	5529251	18	32G16
556	9407	Sauvage	1	Sp	259	41	0		0	0	0	4	552887	5529220	18	32G16
556	9408	Sauvage	1	Sp	235	82	0		0	0	0	5	552898	5529192	18	32G16
556	9419	Sauvage	1	Sp	90	90	2	Lé	0	90	90	4	549859	5528808	18	32G16
556	9437	Sauvage	1	Sp	270	84	2	Lé	129	88	90	4	533845	5524248	18	32G16
556	9438	Sauvage	1	Sp	270	76	2	Lé	15	76	94	4	532843	5524095	18	32G16
556	9439	Sauvage	1	Sp	265	88	2	Lé	335	88	90	4	532802	5523872	18	32G16
556	9440	Sauvage	1	Sp	300	85	2	Lé	294	50	50	4	532033	5524524	18	32G16
556	9442	Sauvage	1	Sp	78	90	2	Lé	256	78	102	3.5	533923	5524929	18	32G16
556	9608	Sauvage	1	Sp	76	85	0		0	0	0	1	578637	5536618	18	32H13
556	9661	Sauvage	1	Sp	75	65	0		0	0	0	3	577334	5536392	18	32I04
556	9664	Sauvage	1	Sp	82	78	0		0	0	0	4	578494	5536511	18	32I04
556	9665	Sauvage	1	Sp	83	65	2	Lé	125	55	65	2	578544	5536548	18	32I04
556	9666	Sauvage	1	Sp	360	30	2	Lé	122	22	119	3	578651	5536673	18	32I04
556	9668	Sauvage	1	Sp	15	80	0		0	0	0	3	578632	5536634	18	32I04
556	9669	Sauvage	1	Sp	65	80	0		0	0	0	4	578632	5536634	18	32I04
556	11145	Sauvage	1	Sp	100	84	2	Lé	180	84	90	3	535792	5524979	18	32G15
556	11146	Sauvage	1	Sp	90	86	2	Lé	248	79	100	3.5	536067	5525000	18	32G16
556	11147	Sauvage	1	Sp	95	89	2	Lé	185	89	90	3	535223	5524919	18	32G15
556	11148	Sauvage	1	Sp	110	90	0		0	0	0	4	533894	5524233	18	32G15
556	11148	Sauvage	2	Sp	262	85	0		0	0	0	4	533894	5524233	18	32G15
556	11149	Sauvage	1	Sp	260	87	0		0	0	0	4	533480	5524015	18	32G15

Annexe 1 - Liste des données structurales

#ZD	Station	Nom_ZD	Id	Ty	Dir_S	Pen	Id	Ty	Dir_L	Pl	AC	IDEF	UTME	UTMN	ZONE	CARTE
556	11150	Sauvage	1	Sp	265	78	2	Lé	355	78	90	3.5	533479	5524054	18	32G15
556	11153	Sauvage	1	Sp	85	85	0		0	0	0	3.5	557285	5529112	18	32G16
556	11154	Sauvage	1	Sp	275	80	0		0	0	0	4	558175	5528738	18	32G16
556	11160	Sauvage	1	Sp	45	75	0		0	0	0	4	567393	5531215	18	32G16
556	11163	Sauvage	1	Sp	55	75	0		0	0	0	4	570423	5533026	18	32G16
556	11163	Sauvage	2	Sp	66	75	0		0	0	0	4	570423	5533026	18	32G16
556	11164	Sauvage	1	Sp	80	80	0		0	0	0	4	570436	5533107	18	32G16
556	11164	Sauvage	2	Sp	70	80	0		0	0	0	4	570436	5533107	18	32G16
557	9446		1	Sp	220	79	2	Lé	270	76	81	5	568645	5529958	18	32G16
557	9447		1	Sp	55	84	2	Lé	235	84	96	4	568612	5529939	18	32G16
558	11152		1	Sp	255	75	2	Lé	5	70	0	4	549722	5529210	18	32G16
558	11152		4	Sp	255	74	5	Lé	342	74	90	4	549722	5529210	18	32G16
559	9443		1	Sp	267	84	2	Lé	5	85	90	4	547814	5529245	18	32G16
561	9412		1	Sp	254	86	2	Lé	98	61	64	4	560112	5531730	18	32G16
561	9413		1	Sp	80	86	2	Lé	77	79	79	4	560241	5531792	18	32G16
561	9414		1	Sp	75	85	2	Lé	90	72	73	4	560583	5531603	18	32G16
580	9420	Faribault	1	Sp	56	82	2	Lé	233	42	138	5	546606	5540177	18	32J01
580	9421	Faribault	1	Sp	55	83	2	Lé	130	72	86	5	546534	5540128	18	32J01
580	9422	Faribault	1	Sp	55	85	2	Lé	205	55	120	3	546667	5540159	18	32J01
580	9424	Faribault	1	Sp	32	86	2	Lé	210	65	115	5	546817	5540257	18	32J01
580	9425	Faribault	1	Sp	48	86	2	Lé	232	58	122	5	546834	5540280	18	32J01
580	11004	Faribault	1	Sp	65	70	2	Lé	210	65	110	5	544240	5538452	18	32G16
580	11005	Faribault	1	Sp	65	75	2	Lé	210	65	110	5	544433	5538499	18	32G16
580	11016	Faribault	1	Sp	72	85	0		0	0	0	3	547654	5540391	18	32J01
580	11021	Faribault	1	Sp	222	85	2	Lé	262	84	85	4	546572	5540082	18	32J01
580	11022	Faribault	1	Sp	44	66	2	Lé	134	66	90	3	546650	5540214	18	32J01
580	11024	Faribault	1	Sp	65	81	2	Lé	254	79	110	4	546789	5540282	18	32J01
580	11025	Faribault	1	Sp	290	82	2	Lé	82	73	75	3	546934	5540313	18	32J01
580	11048	Faribault	1	Sp	95	80	0		0	0	0	4	566334	5543011	18	32J01
580	11048	Faribault	2	Sp	100	75	3	Lé	320	67	108	4	566334	5543011	18	32J01
580	11049	Faribault	1	Sp	98	80	2	Lé	188	80	90	4	566282	5542974	18	32J01
580	11050	Faribault	1	Sp	101	76	2	Lé	334	73	100	3	566270	5542948	18	32J01
580	11051	Faribault	1	Sp	312	90	2	Lé	312	65	115	4	566317	5542825	18	32J01
580	11052	Faribault	1	Sp	85	90	2	Lé	85	89	90	4	566493	5542652	18	32J01
580	11053	Faribault	1	Sp	70	80	2	Lé	160	80	90	3	566600	5542627	18	32J01
580	11054	Faribault	1	Sp	90	80	0		0	0	0	4.5	566634	5542602	18	32J01
580	11055	Faribault	2	Sp	93	90	0		0	0	0	2.5	566646	5542558	18	32J01
580	11056	Faribault	1	Sp	108	88	2	Lé	198	88	90	4	566280	5542649	18	32J01
580	11057	Faribault	1	Sp	85	78	2	Lé	175	78	90	4	566297	5542604	18	32J01
580	11058	Faribault	1	Sp	121	86	2	Lé	211	86	90	4.5	566377	5542635	18	32J01
580	11059	Faribault	1	Sp	96	86	2	Lé	271	55	55	4.5	568526	5542780	18	32J01
580	11059	Faribault	3	Sp	96	88	4	Lé	270	65	65	4.5	568526	5542780	18	32J01
580	11063	Faribault	2	Sp	91	83	0		0	0	0	3.5	568703	5542742	18	32J01
580	11064	Faribault	1	Sp	108	81	2	Lé	150	77	80	4	568888	5542861	18	32J01
580	11067	Faribault	1	Sp	271	86	0		0	0	0	2	569397	5542790	18	32J01
580	11072	Faribault	1	Sp	66	82	0		0	0	0	2	569919	5542150	18	32J01
580	11073	Faribault	2	Sp	64	62	0		0	0	0	2	570095	5542197	18	32J01
580	11074	Faribault	1	Sp	65	58	2	Lé	155	58	90	2.5	570051	5542145	18	32J01
580	11075	Faribault	1	Sp	123	74	2	Lé	213	74	90	2	570151	5542125	18	32J01
580	11076	Faribault	1	Sp	86	80	2	Lé	221	76	100	4	570094	5542310	18	32J01
580	11077	Faribault	1	Sp	95	88	2	Lé	266	80	100	2	570127	5542585	18	32J01
580	11081	Faribault	1	Sp	83	80	0		0	0	0	4	570407	5542115	18	32J01
580	11082	Faribault	1	Sp	65	85	0		0	0	0	3.5	570626	5542453	18	32J01
581	9433	Faribault-sud	1	Sp	260	80	2	Lé	286	68	70	5	548110	5540021	18	32J01
581	9434	Faribault-sud	1	Sp	270	84	2	Lé	305	80	82	4	548266	5540019	18	32J01
581	11042	Faribault-sud	1	Sp	65	90	0		0	0	0	4	546856	5539229	18	32J01
581	11043	Faribault-sud	1	Sp	55	90	0		0	0	0	3	546824	5539171	18	32J01
582	9597	France	1	Sp	84	75	0		0	0	0	3	580034	5540136	18	32G16
582	9598	France	1	Sp	123	57	2	Lé	330	40	0	3.5	580281	5540005	18	32G16
582	9637	France	1	Sp	103	90	2	Lé	281	62	118	2	577284	5539433	18	32J04
582	9638	France	1	Sp	70	80	2	Lé	90	60	62	3	578672	5539534	18	32J04
582	11083	France	1	Sp	82	75	0		0	0	0	3	570056	5539054	18	32J01
582	11084	France	1	Sp	55	75	2	Lé	172	75	0	3.5	570645	5539247	18	32J01
582	11085	France	1	Sp	86	65	2	Lé	208	61	105	5	572013	5538701	18	32H13
582	11088	France	1	Sp	90	70	0		0	0	0	3.5	573847	5539161	18	32J04
582	11089	France	1	Sp	92	70	0		0	0	0	2	573418	5539109	18	32J04
582	11090	France	1	Sp	95	65	1	Lé	162	63	80	4	573169	5539068	18	32J04
582	11091	France	1	Sp	85	69	2	Lé	145	67	80	4.5	572408	5538675	18	32H13
582	11092	France	1	Sp	98	62	2	Lé	226	56	110	3.5	574967	5539247	18	32J04
582	11093	France	1	Sp	83	55	0		0	0	0	4	570022	5539501	18	32J01
582	11093	France	2	Sp	75	77	0		0	0	0	4	570022	5539501	18	32J01
582	11093	France	3	Sp	98	70	0		0	0	0	4	570022	5539501	18	32J01
584	9636		1	Sp	115	77	0		0	0	0	4	575101	5540529	18	32J04
591	9587	Barlow	1	Sp	264	87	0		0	0	0	4	521991	5554915	18	32J02
591	9592	Barlow	1	Sp	270	80	2	Lé	270	70	70	4	524476	5554995	18	32J02
591	9703	Barlow	1	Sp	75	60	2	Lé	162	62	0	3.5	534389	5555703	18	32J02
591	9704	Barlow	1	Sp	90	60	0		0	0	0	3	532868	5556549	18	32J02
591	11103	Barlow	1	Sp	81	87	2	Lé	171	87	90	4.5	529480	5556565	18	32J02
591	11140	Barlow	1	Sp	80	50	0		0	0	0	3	563011	5551553	18	32J01
600	9453	Bordure-nord	1	Sp	115	64	2	Lé	195	63	86	4	548983	5555774	18	32J01
600	11094	Bordure-nord	1	Sp	76	64	2	Lé	166	64	90	2	532972	5557819	18	32J02

Annexe 1 - Liste des données structurales

#ZD	Station	Nom_ZD	Id	Ty	Dir_S	Pen	Id	Ty	Dir_L	PI	AC	IDEF	UTME	UTMN	ZONE	CARTE
600	11095	Bordure-nord	1	Sp	84	66	0		0	0	0	2	533114	5557830	18	32J02
600	11096	Bordure-nord	1	Sp	71	56	0		0	0	0	3	533514	5557835	18	32J02
600	11098	Bordure-nord	1	Sp	100	85	0		0	0	0	2	533210	5557773	18	32J02
600	11099	Bordure-nord	1	Sp	82	70	2	Lé	125	62	70	4	533885	5557808	18	32J02
600	11100	Bordure-nord	1	Sp	89	69	2	Lé	212	66	103	4	533943	5557750	18	32J02
600	11101	Bordure-nord	1	Sp	61	52	2	Lé	194	43	120	4	533996	5557509	18	32J02
600	11102	Bordure-nord	1	Sp	67	73	2	Lé	215	60	115	3.5	528382	5557061	18	32J02
600	11104	Bordure-nord	1	Sp	103	78	2	Lé	253	67	110	4	538115	5557313	18	32J01
600	11104	Bordure-nord	3	Sp	103	78	4	Lé	234	65	0	4	538115	5557313	18	32J01
600	11105	Bordure-nord	1	Sp	90	71	2	Lé	235	59	115	2.5	538268	5557330	18	32J01
600	11109	Bordure-nord	1	Sp	85	80	2	Lé	248	59	120	4	536448	5557937	18	32J01
600	11110	Bordure-nord	1	Sp	107	85	0		0	0	0	4	536736	5557717	18	32J01
600	11110	Bordure-nord	2	Sp	90	70	2	Lé	207	67	100	4	536736	5557717	18	32J01
600	11111	Bordure-nord	1	Sp	130	81	0		0	0	0	4	545530	5556865	18	32J01
600	11112	Bordure-nord	1	Sp	163	31	2	Lé	247	31	81	4.5	545592	5556955	18	32J01
600	11113	Bordure-nord	1	Sp	100	50	0		0	0	0	3.5	547010	5556169	18	32J01
600	11114	Bordure-nord	1	Sp	91	59	2	Lé	209	56	105	5	547823	5556094	18	32J01
600	11114	Bordure-nord	3	Sp	79	43	4	Lé	131	36	60	5	547823	5556094	18	32J01
600	11115	Bordure-nord	1	Sp	92	42	2	Lé	194	41	99	4	547673	5555968	18	32J01
600	11116	Bordure-nord	1	Sp	98	55	0		0	0	0	3	547628	5555920	18	32J01
600	11117	Bordure-nord	1	Sp	99	41	0		0	0	0	4	547563	5555802	18	32J01
600	11117	Bordure-nord	2	Sp	84	38	3	Lé	199	35	110	4	547563	5555802	18	32J01
600	11118	Bordure-nord	1	Sp	115	64	0		0	0	0	4	548958	5555737	18	32J01
600	11118	Bordure-nord	2	Sp	91	46	2	Lé	195	45	100	4	548958	5555737	18	32J01
600	11119	Bordure-nord	1	Sp	80	40	2	Lé	201	36	115	4.5	549420	5555494	18	32J01
600	11119	Bordure-nord	3	Sp	95	33	4	Lé	161	30	70	4.5	549420	5555494	18	32J01
600	11120	Bordure-nord	1	Sp	100	64	2	Lé	179	64	85	4	549518	5555417	18	32J01
600	11121	Bordure-nord	1	Sp	65	70	0		0	0	0	4	550793	5553811	18	32J01
600	11122	Bordure-nord	1	Sp	80	45	0		0	0	0	3.5	550896	5553415	18	32J01
600	11123	Bordure-nord	1	Sp	45	32	2	Lé	190	20	140	3.5	556039	5553687	18	32J01
600	11124	Bordure-nord	1	Sp	65	30	2	Lé	194	24	125	4	555183	5553806	18	32J01
600	11124	Bordure-nord	2	Sp	60	57	0		0	0	0	4	555183	5553806	18	32J01
600	11125	Bordure-nord	1	Sp	80	32	2	Lé	170	32	90	4.5	555572	5554007	18	32J01
600	11126	Bordure-nord	1	Sp	71	50	2	Lé	145	50	0	4	562884	5553304	18	32J01
600	11127	Bordure-nord	1	Sp	76	53	2	Lé	166	53	90	4	562886	5553269	18	32J01
600	11128	Bordure-nord	1	Sp	95	65	2	Lé	175	55	90	4	564374	5553334	18	32J01
600	11129	Bordure-nord	1	Sp	89	64	2	Lé	118	36	0	4.5	564428	5553638	18	32J01
600	11129	Bordure-nord	3	Sp	70	68	4	Lé	116	61	70	4.5	564428	5553638	18	32J01
600	11130	Bordure-nord	1	Sp	89	37	0		0	0	0	4	564904	5552932	18	32J01
600	11132	Bordure-nord	1	Sp	92	54	2	Lé	120	39	0	4	564107	5553490	18	32J01
600	11132	Bordure-nord	3	Sp	105	43	4	Lé	150	39	0	4	564107	5553490	18	32J01
600	11134	Bordure-nord	1	Sp	83	44	0		0	0	0	4	564004	5553526	18	32J01
600	11134	Bordure-nord	2	Sp	100	48	3	Lé	140	39	0	4	564004	5553526	18	32J01
600	11134	Bordure-nord	4	Sp	98	48	5	Lp	270	35	0	4	564004	5553526	18	32J01
600	11135	Bordure-nord	1	Sp	95	58	2	Lé	137	36	0	4	564116	5553497	18	32J01
600	11135	Bordure-nord	3	Sp	95	58	4	Lé	138	47	60	4	564116	5553497	18	32J01
600	11136	Bordure-nord	1	Sp	97	48	0		0	0	0	4	564235	5553734	18	32J01
600	11137	Bordure-nord	1	Sp	90	43	0		0	0	0	4.5	563619	5552799	18	32J01
600	11137	Bordure-nord	2	Sp	80	45	3	Lé	142	29	0	4.5	563619	5552799	18	32J01
600	11138	Bordure-nord	1	Sp	85	45	2	Lé	110	20	0	4.5	563693	5552764	18	32J01
600	11138	Bordure-nord	3	Sp	105	41	4	Lé	128	19	30	4.5	563693	5552764	18	32J01
600	11139	Bordure-nord	1	Sp	75	66	2	Lé	229	44	130	4	563449	5551898	18	32J01
600	11141	Bordure-nord	1	Sp	88	32	0		0	0	0	4	566436	5552497	18	32J01
600	11141	Bordure-nord	2	Sp	97	40	3	Lé	157	36	66	4	566436	5552497	18	32J01
600	11141	Bordure-nord	4	Sp	105	37	5	Lé	166	33	66	4	566436	5552497	18	32J01
603	6101	Matagami-nord	2	Sp	85	74	3	Lé	225	75	90	3.5	311522	5525786	18	32F13
603	6101	Matagami-nord	4	Sp	70	64	5	Lp	90	12	0	3.5	311522	5525786	18	32F13
603	6102	Matagami-nord	1	Sp	123	58	2	Lé	210	62	89	3	312104	5526867	18	32F13